

**Die *in situ*
rutenium(III)chloriedkatalisatorsisteem
vir alkeenmetatese
in 'n nywerheidsomgewing**

DW Serfontein
B.Sc. (UP), Hons. B.Sc. (PU vir CHO)



Verhandeling voorgelê vir gedeeltelike nakoming
van die vereistes vir die graad
Magister Scientiae
in
Chemie
in die Fakulteit Natuurwetenskappe
van die
Potchefstroomse Universiteit vir Christelike Hoër Onderwys.



Studieleier : Prof. H.C.M. Vosloo

Mei 2005

Potchefstroom


Potchefstroomse Universiteit
vir Christelike Hoër Onderwys

INHOUDSOPGawe

INHOUDSOPGawe	I
---------------------	---

LYS VAN AFKORTINGS	v
--------------------------	---

1 DOEL VAN ONDERSOEK	1
1.1 Inleiding	1
1.2 Doel van Studie	2
1.3 Literatuurverwysings	3
2 LITERATUURSTUDIE	5
2.1 Inleiding	5
2.2 Toepassings van alkeenmetatese	9
2.3 Homogene metatesekatalisatore	12
2.3.1 Wolfram	12
2.3.2 Molibdeen	13
2.3.3 Rutenium	13
2.4 Faktore wat die reaksie met Ru-sisteme beïnvloed	15
2.5 Die meganisme van alkeenmetatese	17
2.6 Vorming van die karbeen	19
2.7 Die <i>in situ</i> -katalisatorsisteem	22
2.7.1 Inleiding	22
2.7.2 Rutenium(III)chloried	22
2.7.3 Meganisme	24
2.7.4 Newereaksies	25
2.8 Deaktivering van die metaalkarbeen	27
2.9 Literatuurverwysings	29
3 EKSPERIMENTEEL	33
3.1 Eksperimentele besonderhede	33
3.1.1 Reagense, substrate en oplosmiddels	33
3.1.2 Apparaat	33
3.2 Opmaak van voorraadoplossings	35
3.3 Eksperimentele prosedure	38
3.4 Analitiese procedures	39
3.4.1 Gaschromatografie	39
3.4.2 KMR-studie	40
3.5 Definisies en berekening	42
3.6 Literatuurverwysings	43
4 RESULTATE EN BESPREKING	45
4.1 Die <i>in situ</i> $\text{RuCl}_3 \cdot x\text{H}_2\text{O}$ -katalisatorsisteem	45
4.2 Ondersoek na die faktore wat die <i>in situ</i> -reaksie beïnvloed	49
4.2.1 Die tipe alkyn	49
4.2.2 Die tipe fosfienligand	56

4.2.3 Die invloed van waterstof	58
4.2.4 Invloed van oplosmiddels	63
4.3 Optimisering van die $\text{RuCl}_3 \cdot x\text{H}_2\text{O}/\text{BDD}/\text{PCy}_3/\text{H}_2$ -sisteem.....	66
4.3.1 Invloed van die reaksietemperatuur	66
4.3.2 Invloed van die [Ru].....	69
4.3.3 Invloed van die Ru:PCy ₃ -molverhouding.....	73
4.3.4 Invloed van die Ru:BDD-molverhouding	77
4.4 Optimisering van die $\text{RuCl}_3 \cdot x\text{H}_2\text{O}/\text{EtOH}/\text{BDD}/\text{EP}/\text{H}_2$ -sisteem	81
4.4.1 Invloed van die reaksietemperatuur	81
4.4.2 Invloed van die [Ru].....	85
4.4.3 Invloed van die Ru:EP-molverhouding	90
4.4.4 Invloed van die Ru:BDD-molverhouding	96
4.5 Die invloed van bymiddels op die $\text{RuCl}_3 \cdot x\text{H}_2\text{O}/\text{EtOH}/\text{BDD}/\text{PCy}_3/\text{H}_2$ -sisteem	99
4.5.1 Invloed van oksigenate en 1,5-heksadieen	100
4.5.2 Invloed van sure	102
4.6 KMR-studie van die $\text{RuCl}_3 \cdot x\text{H}_2\text{O}/\text{EtOH}/\text{BDD}/\text{PCy}_3/\text{H}_2$ -sisteem	106
4.6.1 Ondersoek na die invloed van die volgorde van byvoeging van reagense... ..	106
4.6.2 Interaksie van BDD met 1,5-heksadieen	122
4.6.3 Interaksie van BDD met PCy ₃	126
4.6.4 Interaksie tussen $\text{RuCl}_3 \cdot x\text{H}_2\text{O}$ (in EtOH) met PCy ₃ (in PhCl) alleen en PCy ₃ (in PhCl) tesame met BDD (in PhCl)	126
4.6.5 Interaksie van $\text{RuCl}_3 \cdot x\text{H}_2\text{O}$ met PCy ₃ met en sonder H ₂	126
4.6.6 Interaksie van $\text{RuCl}_3 \cdot x\text{H}_2\text{O}$ met BDD en PCy ₃ met en sonder 1-akteen	129
4.6.7 Interaksie van $\text{RuCl}_3 \cdot x\text{H}_2\text{O}$ met BDD en PCy ₃ met en sonder H ₂	129
4.6.8 Die invloed van sure op die reagense	130
4.6.9 Die reaksieverloop met Ru:PCy ₃ :BDD = 1:5:10	133
4.6.10 Die reaksieverloop in gedeutereerde oplosmiddels	133
4.7 Reaksie van 'n Fischer-Tropsch-alkeensnit met die $\text{RuCl}_3 \cdot x\text{H}_2\text{O}/\text{EtOH}/\text{BDD}/$ fosfien/H ₂ -sisteem	139
4.8 Literatuurverwysings	145
5 GEVOLGTREKKINGS	147
5.1 Ondersoek na die invloed van verskillende faktore op die $\text{RuCl}_3 \cdot x\text{H}_2\text{O}/$ alkyn/fosfien/H ₂ -katalisatorsisteem.....	147
5.1.1 Die tipe alkyn	147
5.1.2 Die tipe ligand	148
5.1.3 Tydperk van waterstofvloei	149
5.1.4 Invloed van oplosmiddels	150
5.2 Optimisering van die $\text{RuCl}_3 \cdot x\text{H}_2\text{O}/\text{BDD}/\text{Ligand}/\text{H}_2$ -sisteem	150
5.2.1 Invloed van reaksietemperatuur	150
5.2.2 Invloed van [Ru]	153
5.2.3 Invloed van Ru:ligand-molverhouding	158
5.2.4 Invloed van Ru:BDD-molverhouding	164
5.2.5 Die invloed van bymiddels op die $\text{RuCl}_3 \cdot x\text{H}_2\text{O}/\text{EtOH}/\text{BDD}/\text{PCy}_3/\text{H}_2$ -sisteem ..	166
5.2.6 Invloed van sure	168
5.3 KMR-studie van die $\text{RuCl}_3 \cdot x\text{H}_2\text{O}/\text{EtOH}/\text{BDD}/\text{PCy}_3/\text{H}_2$ -sisteem	168
5.3.1 Volgorde van byvoeging van reagense	168
5.3.2 Die invloed van sure	171
5.3.3 Die reaksieverloop	172

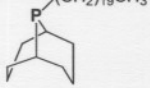
5.4 Metateste van 'n Fischer-Tropsch C7-alkeensnit.....	173
5.4.1 Die invloed van die Ru:PCy ₃ -molverhouding.....	173
5.5 Opsomming	175
5.6 Literatuurverwysings.....	176
OPSOMMING.....	177
SUMMARY	179
BEDANKINGS	181

LYS VAN AFKORTINGS

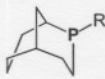
Me	metiel
Et	etiel
Pr	propiel
Bu	butiel
L	ligand
RQMP	ringopeningmetatesepolimerisasie
RSM	ringsluitingsmetatese
ADMET	asikliese dieenmetatese
TFA	trifluoorsynsuur
FID	vlamionisasiedetektor
PMP	primêre metateseprodukte
SMP	sekondêre metateseprodukte
PhCl	chloorbenseen
NMP	N-metielpirrolidoon
BDD	2-butyn-1,4-dioldiasetaat
COD	sikloöktadieen
PCy ₃	trisikloheksielfosfien
IMes	mesitiel imidasool



EP (3,3,1-isomeer)



VCH



EP (4,2,1-isomeer)



Lim C18



Glossary van afkortingen

Iodine	IBR
air	IR
chloro	ICL
gold	IGT
boron	IBR
silicon	ISI
zinc	IZN
mercury	IMR
tin	ITS
lead	ILD
antimony	ASB
arsenic	ARS
nickel	NIK
copper	CUP
tin-lead	TIN
tin-copper	TIN
tin-zinc	TIN
tin-lead-zinc	TIN
tin-copper-zinc	TIN
tin-copper-zinc-lead	TIN
tin-copper-zinc-lead-antimony	TIN



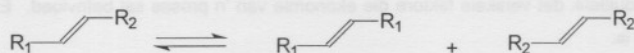
skielik meer voordele van al jou studie sou sou begin te maak om die moontlike toepassing van jou werk aan jou universiteit te vertoon.

Die volgende hoofdstukke gaan daarop in hoe jy jou werk kan gebruik om jou studie te verbeter.

1 DOEL VAN ONDERSOEK

1.1 Inleiding

Alkeenmetatese is 'n proses waarmee die dubbelbinding van alkene gebreek kan word en na uitruiling weer kan vorm om nuwe alkene bestaande uit die gedeeltes weerskante van die dubbelbinding te vorm. Die oorspronklike alkene is ook teenwoordig, en die reaksie is 'n ewewigsreaksie.¹ Skematis kan dit soos volg voorgestel word:



Hierdie voorstelling gee slegs 'n algemene voorstelling van alkeenmetatese, en die aard van die R-groepe het 'n beduidende invloed op die effektiwiteit van die reaksie. Vir sekere gefunksionaliseerde R-groepe is die reaksie moeilik en soms (vir die huidige) onmoontlik om uit te voer.¹

Baie navorsing het egter in die afgelope paar jaar plaasgevind om die reaksies met verskeie funksionele groepe moontlik te maak, asook om stereoselektiwiteit in te bring.² Die toename in die aantal katalisatore wat intussen ontwikkel is, maak dit moontlik om baie spesifieke molekules te maak. Hierdie prosesse vind dan ook baie goeie toepassing in die farmaseutiese bedryf en die ferromoondstryf, waar meer koste-effektiewe metodes om spesifieke molekules te maak, voortdurend gesoek word. Vir hierdie prosesse word heel dikwels van ringsluitingmetatese gebruik gemaak. Vir laasgenoemde is dit nodig om 'n dien te gebruik, waar die koolstofbrug tussen die dubbelbindings uiteindelik die ring vorm:



Hierdie sintetiese roetes is in sommige gevalle kommersiëel regverdigbaar vanweë die hoë waarde van die produkte. Vir die Philips-triolefienproses is die kommersiële waarde die gemak waarmee die reaksie uitgevoer kan word; met eteen, propeen en buteen is die aantal moontlike produkte beperk.

Indien die metateseproses vir langer lineêre alkene gebruik word, is daar verskeie ander faktore

wat belangrik word. Indien isomerisasie van die dubbelbinding plaasvind, word die aantal moontlike metateseprodukte aansienlik verhoog. Verder het die selfmetatese van terminale alkene 'n interne alkeen tot gevolg. Hierdie interne alkene het nie dieselfde waarde as die spesialiteitschemikalië hierbo genoem nie. Heterogene metateseprosesse het normaalweg beduidende dubbelbindingisomerisasie tot gevolg, met die gevolg dat heterogene metatese-sisteme 'n groot verskeidenheid produkte lewer.¹

Vir 'n metateseproses om in 'n industriële omgewing ekonomies regverdigbaar te wees, is dit nodig dat die netto produk meer waardevol moet wees as die grondstof. Verder moet die verskil in waarde beduidend meer wees as die proseskoste om die hoér waarde produk te vorm. Dit is dus duidelik dat verskeie faktore die ekonomie van 'n proses sal beïnvloed. Enkele van die faktore is:

- Die koste van die katalisatore.
- Energiekoste.
- Selektiwiteit na die verlangde produk.
- Minimisering van onbruikbare neweprodukte.

1.2 Doel van Studie

In die Fisher-Tropsch-proses word 'n wye verskeidenheid verbindings van wisselende koolstofkettinglengtes gemaak. Gelykydig hiermee word verskeie gefunksionaliseerde verbindings gevorm. Die belangrikste van die gefunksionaliseerde verbindings is die oksigenate. Verskeie aansprake bestaan in die literatuur dat die Grubbs-katalisatorsisteem 'n hoë weerstand toon teen hierdie verbindings.⁵⁻⁷

In Fischer-Tropsch-prosesse word voorts alkene van alle moontlike koolstofkettinglengtes gevorm tussen die kortste en langste kettings. Dit bring mee dat verbindings met gelyke sowel as ongelyke koolstofgetalle in so 'n produkreeks voorkom. Verder is nie al die alkene lineêr nie. Vanweë markneigings is daar variasie in die vraag na die verskillende verbindings, en kan daar enige tyd 'n vraag na langer en korter koolstofkettinglengteverbindings ontstaan. Aangesien metatese 'n proses is waarmee die koolstofkettinglengte van alkene gemanipuleer kan word, gee dit aanleiding tot 'n proses waarmee die markneigings gevolg kan word deur bloot reaksiekondisies te verander. Vir so 'n proses om ekonomies regverdigbaar te wees, is dit nodig om die proseskoste laer te maak as die verskil in waarde tussen die grondstof en die produk. Die koste van katalisatore is een van die komponente wat die ekonomie van so 'n proses kan bepaal.

Nubel en Hunt^{3,4} het 'n katalisatorsisteem ontwikkel waarmee 'n Ru-gebaseerde katalisator in 'n eenpotsintese *in situ* vervaardig kan word en die alkeenmetatesreaksie gelyktydig uitgevoer kan word. Met hierdie proses kan metatese potensiël goedkoper bedryf word as wat die geval met die voorafbereide katalisatore is.

Die doel van hierdie ondersoek is om te bepaal:

1. Hoe goed die voorgestelde *in situ* katalisatorsisteem met die metatese van 1-okteen na 7-tetradeseen (primêre metatesereaksie) presteer.
2. Hoe gevoelig die katalisatorsisteem is vir die verbindings waarvoor die Grubbs-katalisator ongevoelig is.
3. Watter reaksiekondisies nodig is om die katalisatorsisteem onder industriële realistiese kondisies optimaal te bedryf.
4. Hoe bruikbaar die katalisatorsisteem vir 'n werklike Fischer-Tropsch-alkeensnit is.

Hierdie aspekte is aangespreek deur die metatese van 1-okteen in die teenwoordigheid van die gepubliseerde *in situ* katalisatorsisteem te optimiseer. Die optimiseringsondersoek het aspekte van katalisatorontwikkeling ingesluit deur oplosmiddel, ligande en bymiddels te varieer. Die deaktivering van die sisteem met verskillende verbindings is ondersoek. Daarna is die resultate uitgebrei deur reaksies met 'n werklike Fischer-Tropsch-alkeensnit met 'n 7-koolstofkettinglengte uit te voer.

1.3 Literatuurverwysings

1. JC Mol, KJ Ivin, *Olefin Metathesis and Metathesis Polymerisation*, Academic Press, London, 1997
2. AM Rouhi, *Chem. Eng. News*, 2002, 23 Desember, 29; AM Rouhi, *Chem. Eng. News*, 2002, 23 Desember, 34
3. PO Nubel, CL Hunt, *J. Mol. Catal. A: Chem.*, 1999, 145, 323
4. PO Nubel, CL Hunt, DS Choi, TJ Marks, *US Patent 6 159 890*, 2000
5. AK Chatterjee, T-L Choi, DP Sanders, RH Grubbs, *J. Am. Chem. Soc.*, 2003, 125(37), 11360
6. P Schwab, RH Grubbs, JW Ziller, *J. Am. Chem. Soc.*, 1996, 118, 100
7. J Louie en RH Grubbs, *Organometallics*, 2002, 21, 2153

n' ja iet die oersprong van die geskiedenis van die Afrikaans as 'n uitstaande taal.

Die volgende paragraaf wat die geskiedenis van die Afrikaans daarvan uitstaande taal toon, moet die leser aanvanklik tot die teks gaan voor die voortgang van die volgende deel.

Dieparagraaf wat die geskiedenis van die Afrikaans daarvan uitstaande taal toon, moet die leser aanvanklik tot die teks gaan voor die voortgang van die volgende deel. Dieparagraaf wat die geskiedenis van die Afrikaans daarvan uitstaande taal toon, moet die leser aanvanklik tot die teks gaan voor die voortgang van die volgende deel.

Dieparagraaf wat die geskiedenis van die Afrikaans daarvan uitstaande taal toon, moet die leser aanvanklik tot die teks gaan voor die voortgang van die volgende deel.

5.1 Tintinuensialiseering

10. Malibek K., 1985. Dzherjinsk: Uchitelnitsa, Naukova Dumka, Kyiv.	1
11. Tsvetkov, A., 1991. Tsvetkov V. I. and L. M. Tsvetkova. Voprosy slavistiki. Naukova Dumka, Kyiv.	1
12. V. I. Tsvetkov, 1993. Osnovy sovremennoj russkoj grammatiki. Naukova Dumka, Kyiv.	1
13. V. I. Tsvetkov, 1995. Russkij jazyk. Naukova Dumka, Kyiv.	1
14. V. I. Tsvetkov, 1996. Russkij jazyk. Naukova Dumka, Kyiv.	1
15. V. I. Tsvetkov, 1999. Russkij jazyk. Naukova Dumka, Kyiv.	1
16. V. I. Tsvetkov, 2000. Russkij jazyk. Naukova Dumka, Kyiv.	1
17. V. I. Tsvetkov, 2001. Russkij jazyk. Naukova Dumka, Kyiv.	1
18. V. I. Tsvetkov, 2003. Russkij jazyk. Naukova Dumka, Kyiv.	1
19. V. I. Tsvetkov, 2005. Russkij jazyk. Naukova Dumka, Kyiv.	1
20. V. I. Tsvetkov, 2006. Russkij jazyk. Naukova Dumka, Kyiv.	1
21. V. I. Tsvetkov, 2007. Russkij jazyk. Naukova Dumka, Kyiv.	1
22. V. I. Tsvetkov, 2008. Russkij jazyk. Naukova Dumka, Kyiv.	1
23. V. I. Tsvetkov, 2009. Russkij jazyk. Naukova Dumka, Kyiv.	1
24. V. I. Tsvetkov, 2010. Russkij jazyk. Naukova Dumka, Kyiv.	1
25. V. I. Tsvetkov, 2011. Russkij jazyk. Naukova Dumka, Kyiv.	1
26. V. I. Tsvetkov, 2012. Russkij jazyk. Naukova Dumka, Kyiv.	1
27. V. I. Tsvetkov, 2013. Russkij jazyk. Naukova Dumka, Kyiv.	1
28. V. I. Tsvetkov, 2014. Russkij jazyk. Naukova Dumka, Kyiv.	1
29. V. I. Tsvetkov, 2015. Russkij jazyk. Naukova Dumka, Kyiv.	1
30. V. I. Tsvetkov, 2016. Russkij jazyk. Naukova Dumka, Kyiv.	1
31. V. I. Tsvetkov, 2017. Russkij jazyk. Naukova Dumka, Kyiv.	1
32. V. I. Tsvetkov, 2018. Russkij jazyk. Naukova Dumka, Kyiv.	1
33. V. I. Tsvetkov, 2019. Russkij jazyk. Naukova Dumka, Kyiv.	1
34. V. I. Tsvetkov, 2020. Russkij jazyk. Naukova Dumka, Kyiv.	1
35. V. I. Tsvetkov, 2021. Russkij jazyk. Naukova Dumka, Kyiv.	1
36. V. I. Tsvetkov, 2022. Russkij jazyk. Naukova Dumka, Kyiv.	1

soos 'n alkeenmetatese vir 'n alkene om te vorm tot 'n alkene met 'n dubbeldubbelbindingsstruktuur. Fischer se BT se naam kom daar nie meer gebruik nie.

2 LITERATUURSTUDIE

2.1 Inleiding

Alkeenmetatese is die proses waarmee twee dubbelbindings gebreek word en weer aanmekaargevoeg word. Hierdie proses kan wel spontaan plaasvind,¹ maar dan is redelike drastiese kondisies nodig. Aangesien metatese in beginsel tussen enige twee dubbelbindings, beide aan dieselfde of aan verskillende molekules, kan plaasvind, skep dit die geleentheid om deel van verskeie sintetiese prosesse te wees. Metatese van kompleks molekules kan ook groot aanwending vind in prosesse wat van natuurlike verbindings gebruik maak.⁶

Schneider en Frolich¹ het in 1931 ontdek dat propeen sonder 'n katalisator omgeskakel kan word na eteen en buteen by 'n temperatuur van ongeveer 725 °C, terwyl 'n reaksie wat aanvanklik as "disproporsioneerung" of "dismutatie" bekend gestaan het, met 'n heterogene metaaloksiedkatalisator soos MoO₃/Al₂O₃ by 160 °C uitgevoer is. Ringopeningpolimerisasie is in dieselfde typerk uitgevoer met Ziegler-Natta-katalisatorsisteme soos MoCl₅/Et₃Al by kamertemperatuur. Banks en Bailey² het, terwyl hulle by Philips Petroleum besig was met die ontwikkeling van 'n heterogene Mo(CO)₆/Al₂O₃-katalisatorsisteem vir die alkilering van iso-alkene, ontdek dat metatese ook met hierdie katalisatorsisteem uitgevoer kan word. Met hierdie katalisatore kan die reaksie dus vergemaklik word na 'n reaksie wat by meer gematigde kondisies plaasvind.

Die ontdekking dat WCl₆/EtAlCl₂/EtOH (1:4:1) polimerisasie van sikloökteen en sikloökta-1,5-dieen sowel as die "disproporsioneerung" van 2-penteen kon teweegbring, het daartoe bygedra dat ontdek is dat beide die polimerisasiereaksie en die "disproporsioneerung" in wese dieselfde reaksie is.⁹ Hierdie reaksie het die naam "metatese" gekry. Die uitdrukking "alkeenmetatese" is die eerste keer deur Calderon in 1967 gebruik.³ Die benaming is aangele vanaf die Griekse woorde *meta* wat "verander" en *tithemi* wat "plek" beteken. In die geval waar 'n interne alkeen deur metatese met eteen omgeskakel word na twee terminale alkene, het die term "etenolise" later ontstaan.⁴

Stabiele metaalkarbene bestaande uit metaalatome in 'n lae oksidasietoestand en 'n 18-elektronelling, soos W[=C(OMe)Me](CO)₅, is die eerste keer deur Fischer berei.⁹ Hierdie Fischer-karbene kan gewoonlik uitgeken word aan die teenwoordigheid van een of twee heteroatome (O, N of S) gebind aan die karbeenkoolstof. Verskeie sulke katalisatore is tans

bekend. Later het Schrock aangetoon dat verbindings met die metaalatoom in 'n hoë

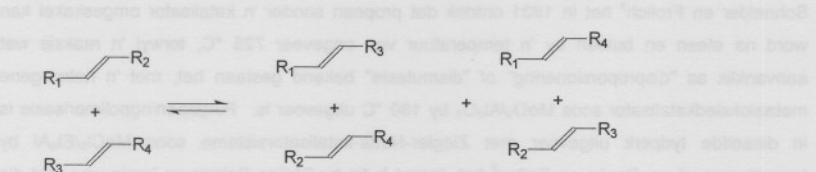
oksidasietoestand berei kan word met minder as 18 elektrone.⁶ Schrock-karbene het normaalweg nie 'n heteroatoom anders as Si aan die karbeenkoolstof gebind nie. 'n Voorbeeld van 'n Schrock-karbeen is $\text{Cl}_2\text{H}(\text{PR}_3)\text{TaV}(\text{CHCMe}_3)$. Fischer-karbene is normaalweg metatese-onaktief tensy hoë temperature en/of kokatalisatore gebruik word, en Schrock-karbene is aktief vir metatese mits die regte oplosmiddels gebruik word.⁶

Alkeenmetatese vind plaas tussen 2 dubbelbindings van dieselfde molekule of tussen die dubbelbindings van verskillende molekules. Verskillende reaksiemoontlikhede bestaan:

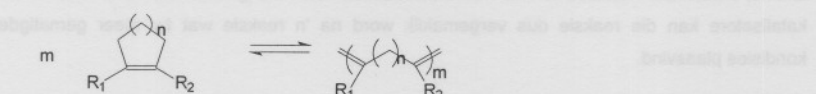
- *homometatese of selfmetatese*



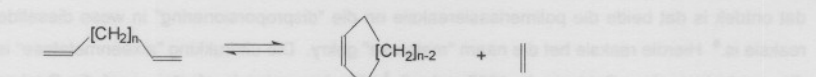
- *kruismetatese*



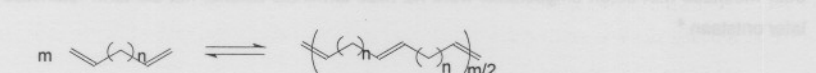
- *ringopeningmetatesepolimerisasie (ROMP)*



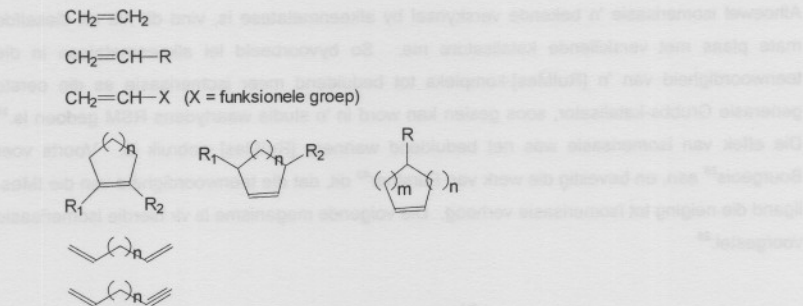
- *ringsluitingsmetatese (RSM)*



- *asikliese dieenmetatese (ADMET)*

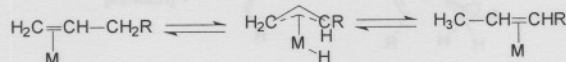


Metatese kan op 'n verskeidenheid alkenesubstrate uitgevoer word. Die keuse van die substraat bepaal die eindproduk, en tipiese voorbeelde is:

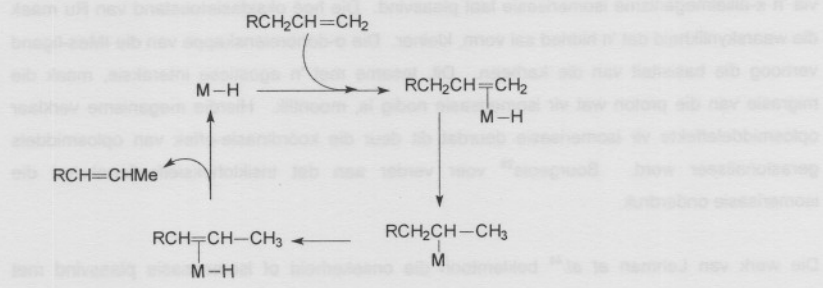


Isomerisasie van alkene in die teenwoordigheid van ruteniumkomplekse is 'n bekende verskynsel.^{26,27,44} Alhoewel Taylor isomerisasie met Ru tydens metatese toegeskryf het aan residuale suur in die oplosmiddel,⁵⁴ het Bourgeois²⁵ en ander die teorie verwerp aangesien die byvoeging van NaHCO_3 nie die isomerisasie onderdruk het nie. Herrmann *et al.*⁵³ gee die onderstaande meganismes vir isomerisasie met oorgangsmetale:

- *Allielmeganismus (1,3-H-verskuiwing)*

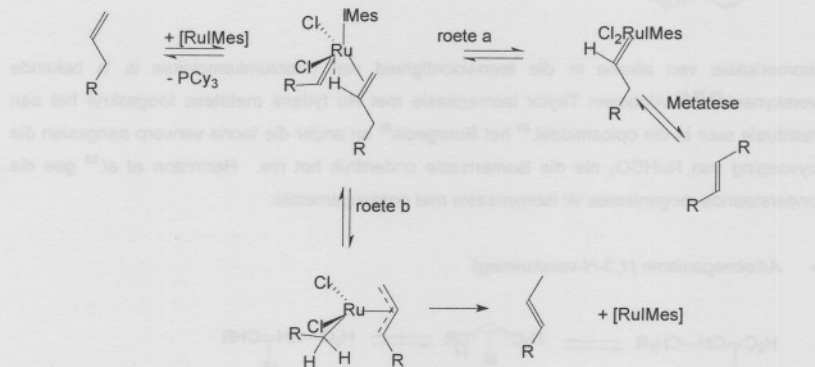


- *Metaalhidriedmeganismus (1,2-H-verskuiwing)*



Die onderskeid tussen die twee meganismes kan gewoonlik slegs met deuteriumstudies vasgestel word.

Alhoewel isomerisasie 'n bekende verskynsel by alkeenmetatese is, vind dit nie tot dieselfde mate plaas met verskillende katalisatore nie. So byvoorbeeld lei alkenemetatese in die teenwoordigheid van 'n [RuIMes]-kompleks tot beduidend meer isomerisasie as die eerste generasie Grubbs-katalisator, soos gesien kan word in 'n studie waartydens RSM gedoen is.²⁵ Die effek van isomerisasie was net beduidend wanneer [RuIMes] gebruik is. Voorts voer Bourgeois²⁵ aan, en bevestig die werk van Fürstner⁴² dit, dat die teenwoordigheid van die IMes-ligand die neiging tot isomerisasie verhoog. Die volgende meganisme is vir hierdie isomerisasie voorgestel:²⁵



Volgens hierdie meganisme, langs *roete a* word die aktiewe metatesekatalisator via die metallasillobutaantussenproduk gevorm. Hierdie reaksie is egter in kompetisie met *roete b*, wat via 'n π -allielmeganismus isomerisasie laat plaasvind. Die hoë oksidasietoestand van Ru maak die waarskynlikheid dat 'n hidried sal vorm, kleiner. Die σ -donoreienskappe van die IMes-ligand verhoog die basisiteit van die karbeen. Dit, tesame met 'n agostiese interaksie, maak die migrasie van die proton wat vir isomerisasie nodig is, moontlik. Hierdie meganisme verklaar oplosmiddeleffekte vir isomerisasie deurdat dit deur die koördinasie-effek van oplosmiddels gerasionaliseer word. Bourgeois²⁵ voer verder aan dat trisikloheksifosfienoksied die isomerisasie onderdruk.

Die werk van Lehman *et al.*⁴⁴ beklemtoon die onsekerheid of isomerisasie plaasvind met dieselfde kompleks as metatese, en of die ontbindingsproduk vir die isomerisasie verantwoordelik is. Fürstner *et al.*⁴⁵ het 'n ruteniumdihidriedkompleks RuCl₂(PCy₃)₂(H)₂ geïsoleer wat

ook moontlik vir die isomerisasie verantwoordelik mag wees.

Alhoewel min aanduidings bestaan vir isomerisasie met die eerste generasie Grubbs-katalisator, is aanduidings van isomerisasie van substrate met alliliese O- en N-funksionele groepe wel gevind.⁴⁵ In reaksies van terminale alkene neem isomerisasie af indien die gevormde eteen deurlopend deur borrelig met 'n inerte gas verwijder word. Dit kan verklaar word deurdat die verwijdering van eteen die terugwaartse reaksie verhinder. Dit bring mee dat minder van die terminale alkeen teenwoordig is en dus is die konsentrasie isomeriseerbare alkeen minder. Eksperimente met 'n 2-alkeen, waar geen metilideenvorming moontlik is nie, het aangetoond dat die metilideen nie alleen vir isomerisasie verantwoordelik is nie.⁴⁴

2.2 Toepassings van alkeenmetatese

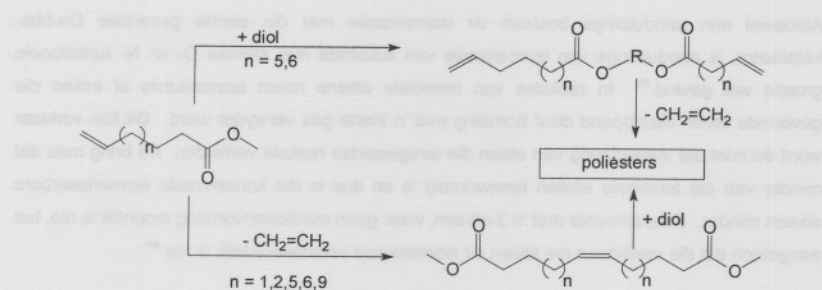
Die waarde van alkeenmetatese kan getoon word deur die veelsydigheid van metatese in sinteses te illustreer. Die meeste toepassings van alkeenmetatese behels een of meer van die volgende:

a. Verandering van die kettinglengte van die alkeen

Deur selfmetatese van nie-simmetriese alkene, asook kruismetatese met nie-identiese alkene kan 'n mengsel van produkte van verskillende kettinglengtes verkry word. Hierdie produkte kan met prosesse soos distillasie geskei word.⁵ Die ongewenste produkte kan in die reaksie teruggeplaas word om die ewewig na die verlangde produk te verskuif. Die resulterende alkene kan byvoorbeeld in ander prosesse soos hidroformilering gebruik word om alkohole te maak. Metatese word ook toenemend gebruik in die vervaardiging van produkte vanuit hernubare hulpronne. As voorbeeld word die vorming van poliesters vanuit ω-onversadigde vetsuurmetielesters getoon (Skema 2.1). Hierdie alifatiese poliesters het die voordeel dat hulle totaal biodegradeerbaar is.⁵¹

Een voorbeeld wat die bruikbaarheid van metatese as tussenstap in 'n Fischer-Tropsch-proses illustreer, is die vervaardiging van bisikliese muskusse, wat gebruik word vir hulle uitstekende geureienskappe. As voorbeeld word die vervaardiging van 7-asetiel-1,1,3,4,4,6-heksametietetralien getoon.⁶ Tydens die eerste metatesestap word 2,4,4-trimetiel-pent-2-een met eteen gereageer om 3,3-dimetiel-but-1-een (neohekseen) en 2-metielpropeen te vorm:

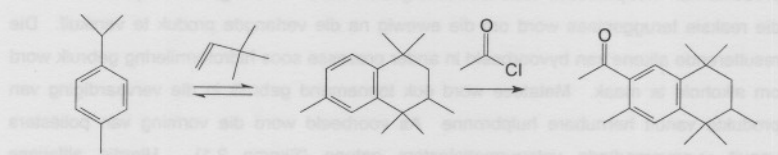




Skema 2.1 Polimeervorming vanuit 'n hernubare bron.

Die ongewenste 2-metielpropeen word met 'n dimerisasieproses na 2,4,4-trimetiel-pent-2-een en 2,4,4-trimetiel-pent-1-een omgeskakel. Laasgenoemde word na 2,4,4-trimetielpent-2-een geïsomeriseer, wat weer die uitgangstof vorm. Geen netto neweprodukte word dus gevorm nie.

In die volgende stap word die 3,3-dimetiel-but-1-een met p-simeen gereageer om 7-asetiel-1,1,3,4,4,6-heksametiel-tetralien te vorm:



Die bisikliese produk is 'n muskus, wat in parfum gebruik kan word. Die sintetiese muskus se waarde lê in die lae produksiekoste, kleurloosheid en stabilitet teenoor alkalieë en lig wat gesogte eienskappe in die parfuumbedryf is. Verskeie ander prosesse is bekend waarvoor metatese 'n tussenstap is.⁵⁶⁻⁵⁸

b. Ringsluiting

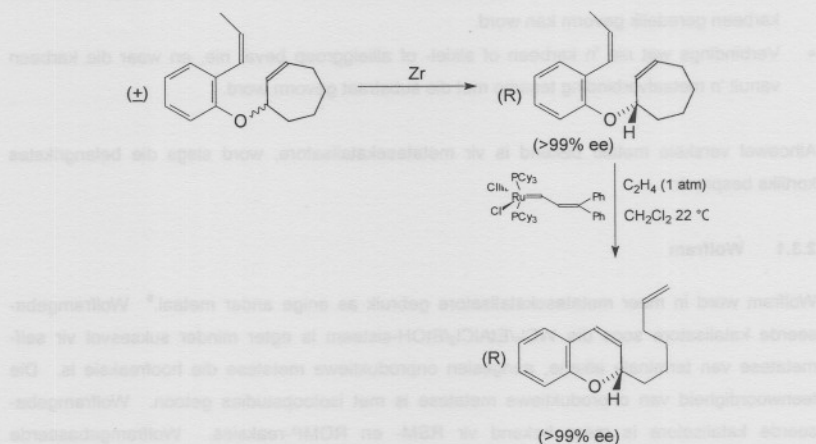
In gevalle waar meer as een dubbelbinding in 'n alkeen voorkom, kan onder sekere kondisies en voorwaardes ringsluiting bewerk word. Die entropie van die ringverbindings verskaf die energetiese dryfkrag vir ringsluiting bo kruismetatese.⁷ Ringsluiting word

dikwels in die farmaseutiese bedryf gebruik om gefunksionaliseerde ringverbindings vanuit byvoorbeeld amiene en alkohole te verky.

'n Interessante voorbeeld van ringsluitingmetatese is die sintese van 'n 2-gesubstitueerde chromeen, waar die metatese 'n 7-lidring open en 'n 6-lidring in die plek daarvan sluit (Skema 2.2).⁵⁵ Die reaksie werk net met 'n 7- of 8-lidring, maar nie met 'n 5- of 6-lidring nie. Die teenwoordigheid van eteen voorkom intermolekulêre metatese, wat tot 'n "dimeer" aanleiding sal gee. Chromene vorm tussenverbinding vir 'n verskeidenheid farmaseutiese middels.⁵⁹

c. Ringopening

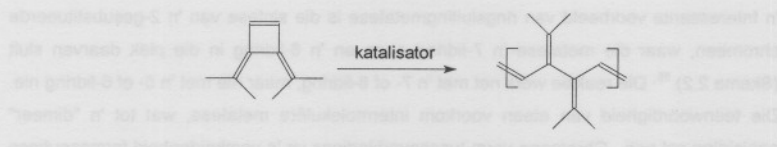
Waar ringverbindings dubbelbindings in die ring bevat, is dit onder sekere voorwaarde moontlik om hierdie ringe deur kruismetatese oop te maak. In die meeste gevalle vind hierdie proses tesame met polimerisasie plaas, aangesien die geopende ring twee dubbelbindings op terminale posisies bevat, wat kruismetatese met naasliggende en geopende ringe kan ondergaan. Die verlaging in entalpie as gevolg van die verligting van ringspanning gee aanleiding tot die vorming van polimere.⁷



Skema 2.2 Sintese van 2-gesubstitueerde chromeen met RSM.

Hierdie proses staan dan ook in die algemeen as ROMP (ringopeningmetatese-

polimerisasie) bekend en word aan die hand van die volgende voorbeeld geïllustreer:



Die reaksie word in die teenwoordigheid van $[Ti(=CH_2)Cp_2]$ -bronne as katalisator of met $WOCl_4/EtAlCl_2$ in $PhCl$ by $-78^\circ C$ en die monomeer in die gasfase uitgevoer. Die gevormde polymeer is deurskynend, oplosbaar en kan geleidend gemaak word deur dit met jodium te reageer.

2.3 Homogene metatesekatalisatore

Verskeie homogene metatesekatalisatore is bekend, waarvan op enkele uitsonderings na almal 'n oorgangsmetaal bevat. Metatesekatalisatorsisteme bestaan soms uit enkelkomplekse plus die alkenesubstraat, maar sisteme met twee of meer komponente is meer algemeen.⁶ Die katalisatorvoorlopers kan in drie groepe ingedeel word:

- Verbindings wat 'n karbeen bevat.
- Verbindings wat 'n alkiel- of allielgroep en 'n kokatalisator bevat, soos $EtAlCl_2$, waaruit die karbeen geredelik gevorm kan word.
- Verbindings wat nie 'n karbeen of alkiel- of allielgroep bevat nie, en waar die karbeen vanuit 'n metaalverbinding tesame met die substraat gevorm word.

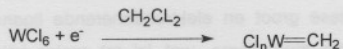
Alhoewel verskeie metale bekend is vir metatesekatalisatore, word slegs die belangrikstes kortliks bespreek.

2.3.1 Wolfram

Wolfram word in meer metatesekatalisatore gebruik as enige ander metaal.⁶ Wolframgebaseerde katalisatore soos die $WC_6/EtAlCl_2/EtOH$ -sisteem is egter minder suksesvol vir self-metatese van terminale alkene, aangesien onproduktiewe metatese die hoofreaksie is. Die teenwoordigheid van onproduktiewe metatese is met isotoopstudies getoon. Wolframgebaseerde katalisatore is meer bekend vir RSM- en ROMP-reaksies. Wolframgebaseerde katalisatore vind onder ander groot toepassing in stereospesifieke reaksies, soos byvoorbeeld wanneer $W(CPh_2)(CO)_5$ of $WF_6/RAICl_2$ met 'n metaallalliel as kokatalisator en blymiddels soos etielakrlaat, 2-t-butielkresol of divinjelsilaan reageer, word die cis-dubbelbinding by voorkeur

gevorm.

Voorbeeld is bekend waar wolframgebaseerde metatesekatalisatore *in situ* gevorm word, soos byvoorbeeld die reduksie van WCl_6 of MoCl_5 in CH_2Cl_2 met 'n Al-elektrode:

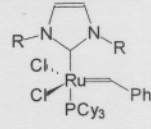
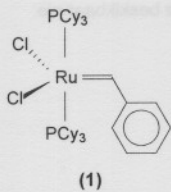


2.3.2 Molibdeen

Die eerste metatese-aktiewe stabiele karbeenkompleks wat ontdek is, was die $(\text{CO})_5\text{Mo}=\text{C}(\text{Ph})\text{ONBu}_4$ -kompleks. Die afgeleide $(\text{CO})_5\text{Mo}=\text{C}(\text{HCHMe}_3)$ -kompleks is ook baie aktief vir metatese en kan *in situ* berei word deur die stabiele $\text{Mo}(\text{=NAr})(\text{=NCMe}_3)(\text{CH}_2\text{CMe}_3)$ -kompleks met EtOH in die teenwoordigheid van 'n alkenesubstraat te reageer. Verskeie ander Mo-komplekse kan gebruik word as katalisatorvoorlopers om aktiewe katalisatore te berei.⁶

2.3.3 Rutenium

Die ontdekking van die Ru-bensilideen-bis-fosfienkompleks van Grubbs(1) het 'n groot impak op die ontwikkeling van alkeenmetatese gehad.³⁸ Grubbs se katalisatorsisteem is een van die mees aktiewe sisteme vir RSM en ROMP van veral gefunksionaliseerde sisteme,^{10,11} maar nie veel navorsing is op lineêre alkene gedoen nie. Eerste generasie Grubbs- (1) en tweede generasie Grubbs-katalisatore(2) met die aangeduide PCy_3 -ligand as die bekendste voorbeeld, is veral bekend vir funksionele groep-toleransie in homogene sisteme, asook stabilitet teenoor lug en water.^{6,8} Die teenwoordigheid van steriese groot elektronenkenkende ligande vorm die gesikste metatesekatalisatorsisteme.³⁴

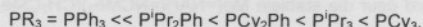


Die eerste generasie Grubbs-katalisator (1) bestaan uit 'n Ru-kern met twee trisikloheksielfosfienligande en twee chloriede. Die karbeenligand heet 'n bensilideen. Die molekule

het die vorm van 'n vervormde vierkantig-piramidale struktuur met die twee *trans*-chloried-

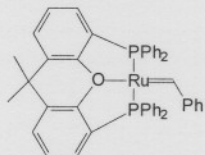
ligande en die twee *trans*-fosfieniligande as die basis van die piramide met die karbeengedeelte aan die bopunt.¹²

Die aard van die karbeengedeelte beïnvloed die inisiëring sowel as propagering van die kataltiese reaksie.⁵⁰ Steriese groot en elektrononderende ligande stabiliseer die metallasiklobutanintermediêr in die mekanisme, wat lei tot groter kataltiese aktiwiteit.^{12,49} Die katalisator toon slegs beperkte stabilitet, onder ander as gevolg van die bimolekulêre ontbindingsmecanisme.^{3,12} Van die tersiëre fosiene van die PR_3 -tippe lewer trisikloheksielfosfiene die beste resultate. Trifenielfosfiene en trisikloöktilfosfiene gee aanleiding tot minder aktiewe metatesekatalisatore.^{31,49} Die orde van aktiwiteit is



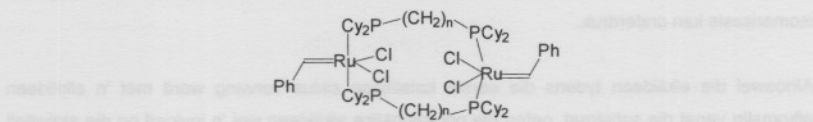
Nukleofiele imidasool-2-ilideenligande is neutrale, twee-elektronskenkende ligande wat as alternatiewe tot die fosiene gebruik is om die tweede generasie Grubbs-katalisator (2) te vorm.⁴⁸ Hierdie katalisatore is veral aktief indien slegs een van die twee fosfieniligande hiermee vervang word.^{3,10,12,24,41} Daar moet deurlopend gewaak word om nie dubbelsinnigheid in hierdie terme in te bou nie, aangesien dit na 'n groep verbindingen en nie werklik na een enkele verbinding verwys nie.

Wisselende sukses is behaal in pogings om die katalisator te verander deur bidentate difosfiene te gebruik. Mol *et al.*³⁸ het xantfos (9,9-dimetiel-4,5-bis-(difenielfosfino)xanteen) en dppf (1,1'-bis-(difenielfosfino)ferroseen) as difosfiene gebruik. Die Ru-verbinding met xantfos as ligand het geen metatese-aktiwiteit op *trans*-4-deseen getoon nie, en dié met dppf het slegs geringe aktiwiteit getoon. Die verduideliking vir die nie-aktiwiteit van die Ru-xantfos katalisator is dat daar 'n interaksie met die suurstof is, sodat die ligand tridentaat is. Hierdie kompleks is dan 6-koördinatief, met geen koördinasiepunt vir die alkeenmetatese beskikbaar nie:



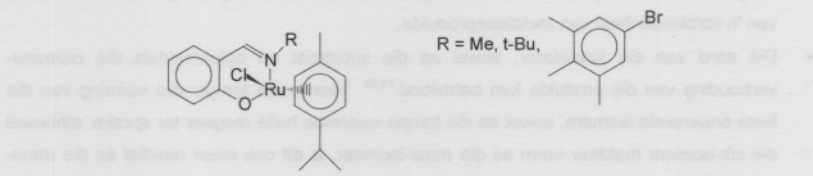
'n Verdere poging is deur Van Leeuwen *et al.*³⁸ uitgevoer om *trans*-koördinasie van twee fosiene wat met 'n alkielgroep gebruik is, met een Ru-kern te verkry deur twee bisikloheksiel-

fosiene in te bind met 'n pentielgroep. Die reaksie wat verkry is, was dimerisasie via die fosiene (die "vry" gedeelte van die fosfien het met 'n naasliggende ruteniumkern gekoördineer) om die onderstaande struktuur te vorm:



'n Metielgroep tussen die twee fosiene het geleid tot 'n verbinding wat nie metatese-aktief was nie. Laasgenoemde het waarskynlik 'n te rigiede ruggraat gehad, sodat die dissosiërende fosfien die alkeen steriges verhinder het om met die metaalkern te koördineer. Fogg *et al.*³⁰ het egter wel sukses gehad indien 'n butielgroep gebruik is om die fosfien te verbind, maar die verbinding tussen die Ru-kerne was by wyse van chloorgebrugde dimere. Pogings om die fosfien *trans* te verbind het almal misluk.

Ru-gebaseerde verbindings met bidentate ligande, waarvan sisteme met Schiff-basisse as ligand 'n voorbeeld is, word toenemend as metatesekatalisatore ondersoek.^{17,35,46} 'n Voorbeeld van so 'n Schiff-basiskatalisator word hieronder getoon:



Reaksies met hierdie katalisator is stadiger as dié van sisteme met monodentate ligande. Die *in situ*-bereiding van Ru-gebaseerde metatesekatalisatore is deur verskillende groepe ondersoek.^{14,18,19,20} Die sisteem soos deur Nubel en Hunt¹⁴ beskryf sal later meer breedvoerig bespreek word.

2.4 Faktore wat die reaksie met Ru-sisteme beïnvloed

Die ligand het 'n beduidende invloed op die Ru-sisteme. Die Grubbs-tipe katalisator met PPh_3 as ligand is nie so aktief soos die sisteem met PCy_3 as ligand (1) nie.⁴⁹ Verder is die een fosfienligand ook met groot sukses vervang met 'n N-hetersikliese ligand (2). Die keuse van

ligand het nie alleen 'n invloed op die aktiwiteit van die sisteem nie, maar ook op die

selektiwiteit.²⁵ Die katalisator met die N-heterosikliese ligand is meer bestand teen funksionele groepe, maar gee ook aanleiding tot meer isomerisasie, met gevvolglik meer sekondêre metateseprodukte.²⁵ Bourgeois *et al.*²⁵ het gevind dat die teenwoordigheid van OPCy₃ die isomerisasie kan onderdruk.

Alhoewel die alkilideen tydens die eerste katalitiese siklus vervang word met 'n alkilideen afkomstig vanaf die substraat, oefen die oorspronklike alkilideen wel 'n invloed op die aktiwiteit van die katalisator uit.⁵⁰ Die hoeveelheid van die oorspronklike alkilideen sal na verwagting in verhouding wees met die verhouding van die vrygestelde alkilideen met die substraat. Hierdie konsentrasie sal na verwagting weglaatbaar klein wees in die katalitiese siklus. Indien die alkilideen steries groot is, is inisiëring vinniger as propagering. Indien die alkilideen steries ooreenstem met die substraatmolekules, het die alkilideen geen invloed op metatese nie. Die alkilideen is wel belangrik in die sintese en stoor van die katalisator.

Studies op lineêre, gefunksionaliseerde sowel as interne alkene het aangetoon dat:

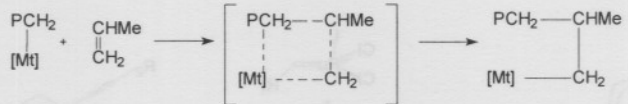
- Interne alkene neig om stadiger te reageer as terminale alkene.¹¹
- Isomerisasie vanaf meer interne na minder interne posisies van die dubbelbinding nie geredelik plaasvind nie.¹¹ Die verskynsel kan maklik met 'n gaschromatografiese analise vasgestel word, aangesien dubbelbindingisomerisasie aanleiding sal gee tot die vorming van 'n verskeidenheid van metateseprodukte.
- Die aard van die katalisator, sowel as die substraat en oplosmiddels die *cis/trans*-verhouding van die produkte kan beïnvloed.^{11,38} Hier is die tempo van vorming van die twee onderskeie isomere, sowel as die tempo waarmee hulle reageer ter sprake: alhoewel die *cis*-isomeer makliker vorm as die *trans*-isomeer, is dit ook meer reaktief as die *trans*-isomeer. Onproduktiewe selfmetatese van die simmetriese interne alkeen lei in sommige gevalle tot 'n groter verhouding van die *trans*-isomeer (met ander woorde, *cis/trans*-isomerisasie kan teweeggebring word deur die verskil in reaksietempos). Die verskil in reaksietempos is as gevolg van steriese effekte.¹¹
- Die steriese grootte van die substraat kan die reaksietempo beïnvloed.¹¹ Indien die dubbelbinding steries verhinder word om met die metaalkern te koördineer, sal geen reaksie plaasvind nie. Hoe minder die steriese verhindering, hoe makliker sal die dubbelbinding koördineer en hoe vinner behoort die reaksie te verloop. Hierdie verhindering sal 'n funksie wees van sowel die ligandgrootte as die substraatgeometrie. Indien 'n mengsel van meer en minder verhinderde substrate dus gebruik word, sal die metatese van die minder verhinderde substraat vinner verloop.¹¹

2.5 Die meganisme van alkeenmetatese

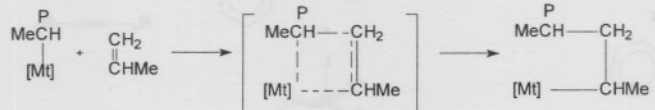
Daar bestaan 'n ooreenkoms tussen Ziegler-Natta-polimerisasie en metatese, deurdat in verskillende gevalle van dieselfde substraat gebruik gemaak kan word. In verskeie gevalle is daar al voorbeeld gemeld waar reaksies met tipiese Ziegler-Natta-katalisatore aanleiding kan gee tot ROMP sowel as Ziegler-Natta-polimerisasie, afhangende van die oplosmiddels en reaksiekondisies.⁶ Een voorbeeld hiervan is die polimerisasie van norborneen met $\text{Mo}(\text{CO})_5(\text{py})/\text{EtAlCl}_2/\text{R}_4\text{NCl}$ as katalisatorsisteem, waar 100% ROMP-produk gevorm word by 26 °C, teenoor 31% ROMP-produk by 110 °C. Die hoër temperatuur verander dus die reaksiemeganisme vanaf 'n metatesemeganisme na 'n Ziegler-Natta-polimerasiemeganisme.

Die Ziegler-Natta-polimerasiemeganisme is 'n metallasiklobutaanmeganisme wat ook as die Cossee-Arlman-meganisme bekend staan:

a. *Primêre invoeging*



b. *Sekondêre invoeging*

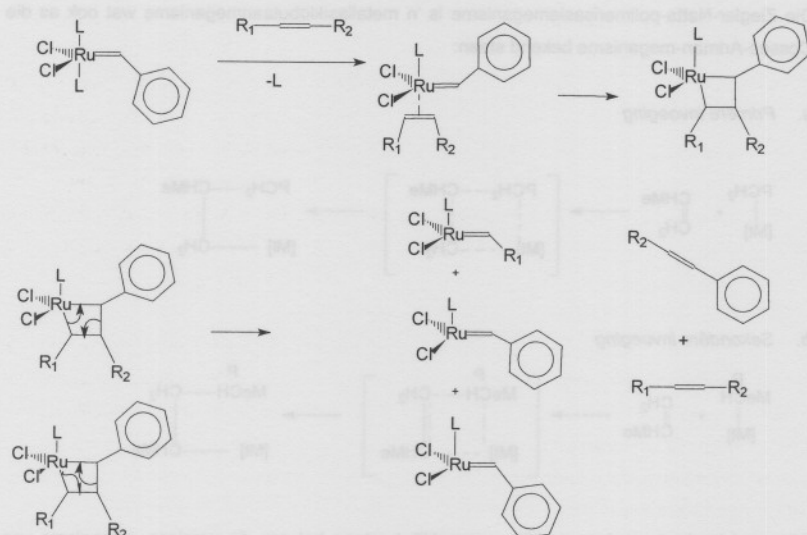


Alhoewel heelwat meningsverskille aanvanklik bestaan het oor die presiese meganisme van alkeenmetatese, is die meganisme tans baie goed uitgeklaar.^{1,3,6,22,49} Die meganisme soos oorspronklik deur Hérisson en Chauvin^{6,52} voorgestel word tans aanvaar. Hierdie meganisme is deur verskeie navorsers bevestig metveral deuteriumstudies waartydens die posisie en beweging van die waterstofatome gevolg is.^{6,9}

Die metaalkarbeenmeganisme met die Grubbs-katalisatorsisteem word in Skema 2.3 geïllustreer. Volgens hierdie meganisme vorm 'n metallasiklobutaanverbinding nadat een ligand gedissosieer en die alkeen gekoördineer het.⁴⁰ Die metallasiklobutan kan dan op een van twee maniere ontbind. Die siklus kan voortgesit word deur koördinering aan die bensilideen of die gevormde alkilideen, wat aanleiding gee tot die ontstaan van die onderskeie metatese-

produkte. Al die stappe in die metateseproses is ewewigstappe, sodat in 'n geslote sisteem die

finale produkverdeling bepaal word deur die termodinamiese ewewigsposisies, wat dan ook 'n funksie is van die onderskeie reaksietempos van die onderskeie voorwaarde en terugwaartse reaksies. Die reaksie met die alklideen sal verder bevorder word vanweë die groter konsentrasie van die alkeen in die reaksiemengsel. Die ewewigsposisie kan deur die manipulering van die reaksiekondisies beïnvloed word. In die geval van die selfmetatese van nie-simmetriese verbindinge is dit soms moontlik om die ewewig te verskuif deur kontinu een van die produkte uit die reaksiemengsel te verwys (byvoorbeeld eteen in die geval van terminale alkeenmetatese).



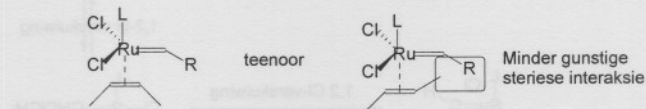
Skema 2.3 Die alkeenmetatesemeganisme met die Grubbs-katalisator.

Grubbs *et al.*^{22,49} het bevind dat die reaksie volgens 'n dissosiatiewe meganisme plaasvind; die ligand dissoseer eers om 'n reaktiewe 14-elektronspesie te vorm. Hierdie spesie koördineer met die alkeen en vorm dan 'n metallasiklobutaanverbinding deur 'n α,β -waterstofmigrasie. Verder is aangetoon dat die tempo waarteen metatese plaasvind 'n omgekeerde korrelasie toon met die tempo waarteen die fosfienligand heropgeneem word om weer die rustende toestand van die katalisator te vorm. Hierdie omgekeerde verband kan soos volg verduidelik word.

Indien die ligand vinnig dissoseer, maar weer vinnig opgeneem word, kan die 14-elektronspesie slegs deur enkele kataltiese siklusse gaan voordat die fosfien heropgeneem word en die rustende (onaktiewe) toestand van die katalisator vorm. Indien die fosfieliggand stadig koördineer, kan die 14-elektronspesie deur 'n groter aantal siklusse gaan voordat die katalisator na die rustende toestand terugkeer. Die totale sisteem verkeer dus langer in die katalties aktiewe toestand, en die oorkoepelende reaksietempo is groter. Verder is gevind dat ROMP onderdruk word indien vry PCy₃ by die Grubbs-katalisator gevoeg word.³³ Hierdie onderdrukking van die tempo ondersteun die teorie van 'n dissosiatiewe mekanisme. Die verhoging in konsentrasie van koördinerende verbindings sal die dissosiasie van die ligand vertraag, selfs al is die verbinding swakker koördinerend as die oorspronklike ligand. 'n Geringe mate van koördinering sonder fosfiendissosiasie kan wel plaasvind.⁴⁹ Deur die ligand te varieer, kan die selektiwiteit, stereoselektiwiteit en funksionele groep-toleransie gevarieer word.³⁶

Die tempo van metatese is afhanglik van die steriese omgewing van die dubbelbinding. In lineêre alkene sal ongesubstitueerde terminale alkene die vinnigste reageer, en alkene met groepes direk langs die dubbelbinding (bv 2-metiel-1-alken) sal bykans glad nie reageer nie.³⁴ Die steriese grootte van die eindgroep op die alkilideen beïnvloed inisiëring, groter groepes bevorder fosfiendissosiasie en lei tot vinniger inisiëring. Die metilideen wat vorm tydens selfmetatese van terminale alkene sal dus beduidend stadiger as die alkildene reageer. Die spesie wat dus die meeste sigbaar in KMR-spektra sal wees, is die metilideen.

Interne *cis*-alkene reageer vinniger as interne *trans*-alkene. Met die Grubbs-katalisator (1) is die tempo ongeveer twee keer so vinnig vir die *cis*-alkene as vir die *trans*-alkene.³⁴ Hierdie effek word direk aan steriese effekte toegeskryf: die *cis*-alkeen sal aan die metaal koördineer met beide groepes van die koolstofketting weg van die alkilideen. Met die *trans*-alkene is die steriese effek groter, aangesien een van die bene minder gunstig kan koördineer:

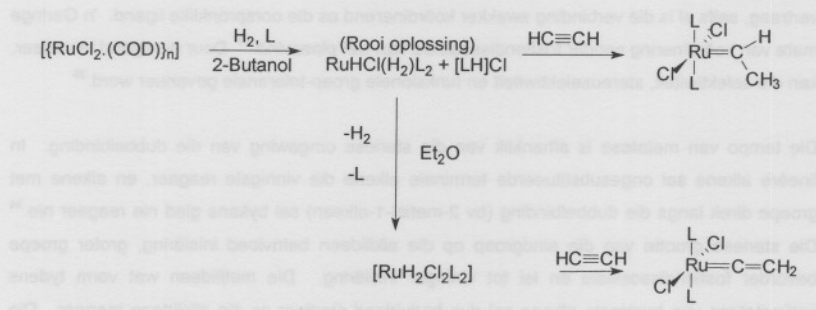


2.6 Vorming van die karbeen

In die *in situ*-katalisatorsisteem, wat later in groter detail bespreek word, word van 'n metaalsout en organiese en organofosfaatverbindings gebruik gemaak, terwyl die mekanisme vir alkeenmetatese 'n karbeenmeganisme is. Die vorming van 'n karbeen onder verskillende

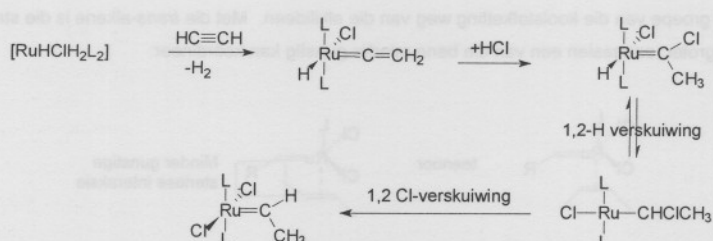
kondisies word dus kortlik bespreek.

Werner *et al.*¹⁷⁻¹⁹ het aangetoon dat ruteniumhidriedkompleks met terminale alkyne kan reageer om carbene te vorm. In 'n reaksie (Skema 2.3) is $[\text{RuCl}_2(\text{COD})_n]$ in 2-butanol by 80°C in teenwoordigheid van H_2 en diisopropelfosfaan gereageer om 'n donkerrooi oplossing van die hidried te vorm. Indien terminale alkyne by hierdie oplossing by 25°C gevoeg word, vorm die karbeenkompleks $[\text{RuCl}_2(=\text{CR})(\text{P}^i\text{Pr}_3)_2]$ met goeie opbrengs. Die hidried kan geïsoleer word deur dit met diëtieleter op te werk, waarna reaksie met die alkyn 'n vinilideenkompleks lewer.



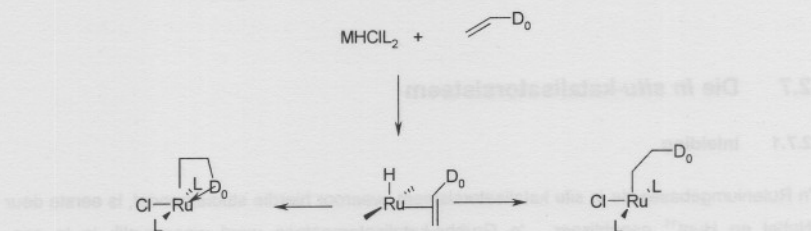
Skema 2.4 Die vorming van die karbeen vanuit 'n geïsoleerde tussenproduk.

Die meganisme van hierdie reaksie kan soos volg geïllustreer word:¹⁶



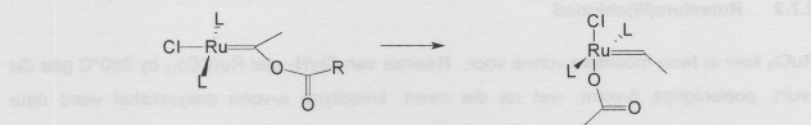
Volgens hierdie meganisme vorm die vinilideenkompleks, waarna HCl oor die dubbelbinding addeer om die chlorokarbeenkompleks te vorm. Invoeging van die karbeen in die $\text{Ru}-\text{H}$ binding gee die 14-elektronspesie, wat herraangskik om die karbeen te vorm. Hierdie meganisme word ondersteun deur werk deur Grubbs gedoen, sowel as KMR studies met DCI .

Ondersoek na die dehidrohalogenering van 'n $\text{Ru}(\text{H})_2\text{Cl}_2\text{L}_2$ -kompleks met 'n sterk basis om 'n verbinding met empiriese formule RuHCIL_2 te vorm, toon dat die samestelling van die alkeen wat vir karbeenvorming gebruik word, belangrik is. Indien die alkeen 'n lineêre, terminale alkeen is, toon DFT-berekeninge sowel as eksperimentele resultate dat die isomerisasie van 'n alkeen na 'n gekoördineerde karbeen nie plaasvind nie.¹³ Die isomeriese ewewig bevoordeel 'n stabiele metallasiklobutanverbinding (links op die onderstaande figuur):



Indien die terminale waterstof op die alkeen egter vervang word met 'n elektronskenkende groep, stabiliseer die groep die gekoördineerde sowel as die vry karbeen en verskuif die ewewig na regs. Net so stabiliseer die π -donerende eienskappe van Ru die karbeen. Indien die chloriedligand op Ru met CO vervang word, verskuif die ewewig na links as gevolg van die verminderde π -donerende effek van CO ¹³ en vorm die stabiele karbeen ook nie. Indien D_0 egter 'n OR-substituent is, vorm die karbeen wel.

Vanuit bogenoemde is dit dus duidelik dat die vorming van die metallasiklobutan wat nodig is vir die propagering van die metatesereaksie moeilik sal plaasvind indien karbeenvorming nie deur middel van 'n tussenstap met 'n ander molekule gefasiliteer word nie. In die sisteem soos beskryf deur Nubel en Hunt¹⁴ moet die gefunksionaliseerde alkyn dus hierdie eerste karbeenvorming fasiliteer. Hierdie voorgestelde meganisme en gepaardgaande DFT-berekeninge verduidelik waarom BDD, 'n simmetriese gefunksionaliseerde alkyn, soveel beter vaar as verskeie van die ander alkyne wat getoets is. Die teenwoordigheid van die goeie verlatende groep, die asetaatgroep, fasiliteer die karbeenvorming. Wanneer die alkyn koördineer, migreer een van die asetaatgroepe na die metaalkern volgens die volgende meganisme:¹³



Ru word tot 'n groot mate as oorgangsmetaal in metatesekatalisatore gebruik. Os, wat direk

onder Ru in die periodieke tabel geplaas word, toon baie ooreenkoms met Ru. Indien Os as metaalkern gebruik word, veroorsaak die groter koördinasiegetal van Os dat een meer ligand aan die metaalkern kan bind. Os is dan ook geneig om eerder 'n karbyn as 'n karbeen te vorm. Die karbeen-karbynvorming is 'n ewewigsproses. In die geval van Ru is die ewewig sodanig dat die karbeen uitsluitlik gevorm word, terwyl Os die ewewig na die karbyn laat skuif vanweë die meer reduserende eienskap van osmium, soos met DFT-berekene getoon is.¹³

2.7 Die *in situ*-katalisatorsisteem

2.7.1 Inleiding

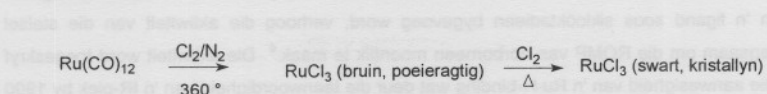
'n Ruteniumgebaseerde *in situ* katalisatorsisteem, waaroor hierdie studie handel, is eerste deur Nubel en Hunt¹⁴ gepubliseer. 'n Grubbs-katalisatoranaloog word waarskynlik in 'n een-potsintese vanuit 'n metaalsout in teenwoordigheid van 'n fosfienligand, alkeen en alkyn berei. Wanneer die katalisator vorm, vind metatese dadelik plaas. In die oorspronklike publikasie is gebruik gemaak van sowel α -alkene as metieloleaat as substraat. RuCl_3 en RuBr_3 is as metaalbron gebruik. Die sisteem maak verder gebruik van 'n ligand en 'n alkyn wat in oplossing in die reaksiemengsel teenwoordig moet wees. Matige temperature en atmosferiese druk, verkieslik in teenwoordigheid van waterstof, verskaf die kondisies waaronder die katalisator vorm en metatese plaasvind.

Verskeie ligande is ondersoek. Vier fosfiene is gevind wat tot hoogs aktiewe metatesesisteme geleid het: PCy_3 , $\text{P}(\text{Pr})_3$, $\text{PH}(\text{Bu})_2$ en $\text{PMe}(\text{Bu})_2$. Al hierdie ligande het steriese grootte en sterk Lewis-basiseienskappe in gemeen. Trisikloheksielfosfien en triisopropielfosfien is as die mees geskikte ligande bepaal, en BDD is as mees geskikte alkyn. In 'n tipiese eksperiment is 1-okteen na 7-tetradeseen omgeskakel in die teenwoordigheid van $\text{RuCl}_3 \cdot x\text{H}_2\text{O}$, PCy_3 en BDD by 80 °C terwyl 'n klein hoeveelheid waterstof deur die reaksiemengsel geborrel is. Die verloop van die reaksie is met gaschromatografie gevolg. 'n Geringe mate van neweprodukte het gevorm as gevolg van die isomerisasie van 1-okteen na 2-okteen, 3-okteen en 4-okteen, met daaropvolgende kruismetatese. Die waargenoemde isomerisasie was minder as 2% na 2 h. Geen hidrogenering van okteenpolimerisasie is waargeneem nie.

2.7.2 Rutenium(III)chloried

RuCl_3 kom in twee moontlike vorme voor. Reaksie van Cl_2/N_2 met $\text{Ru}(\text{CO})_{12}$ by 360°C gee die bruin, poeieragtige β -vorm, wat na die swart, kristallyne α -vorm omgeskakel word deur

verhitting in Cl_2 .⁶ 'n Ru besigheid wat nie vervaardig word nie kan tot gevolg daarvan dat die oorheen blyve gevouged reaksies wat voorstaan moet word.

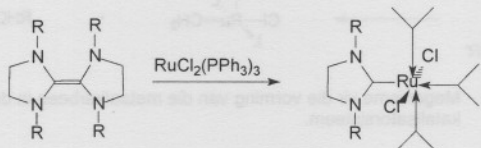


Die hoër oksidasietoestande van Ru word maklik verkry, makliker as byvoorbeeld vir yster. Daar bestaan uitgebreide chemie vir $M=O$ -spesies. Oksidasietoestande van -II, 0, I, II, III, IV, V, VI, VII en VIII is bekend vir Ru, met die II, III, IV en VI oksidasietoestande as die algemeenste.⁷ Die oksidasietoestande is veral afhanklik van die ligande, en die laer oksidasietoestande kom net voor saam met π -bindende ligande. Verder kan verskeie verbindings omkeerbare oksidasie ondergaan sodat verbindings met dieselfde struktuur maar verskillende ladings kan ontstaan.

Die kommersiëel beskikbare $\text{RuCl}_3 \cdot x\text{H}_2\text{O}$, wat vir hierdie studie gebruik is, word vervaardig deur verdamping van oplossings van RuO_4 in gekonsentreerde HCl. Die verbinding bestaan hoofsaaklik uit Ru^{IV} -komplekse. Ruteniumchloorkomplekse, waarvan die presiese aard nog onbekend is, word verkry wanneer hierdie verbindings elektrochemies of in etanol of met H_2/Pt -swart gereduseer word. Ruteniumstikstofkomplekse kom ook baie algemeen voor.

Een belangrike fosfienkompleks van Ru word gevorm deur $\text{RuCl}_3 \cdot x\text{H}_2\text{O}$ met PR_3 in alkohol te reageer om 'n hidried te vorm.⁸ Die proton word in hierdie geval van die oplosmiddel verkry. Die reaksiekondisies is belangrik. Indien 'n kort reaksietyd gebruik word vir 'n trialkielfosfien met RuCl_3 , word $\text{RuCl}_3(\text{PR}_3)_3$ gevorm. Indien 'n lang reaksietyd gebruik word, vorm $[\text{Ru}_2\text{Cl}_3(\text{PR}_3)_6]\text{Cl}$. Die kompleks $\text{RuHCl}(\text{PPh}_3)_3$ is voorts bekend as 'n baie aktiewe katalisator vir die hidrogenering van C=C-bindings. Dieselfde geld vir $\text{RuH}_2(\text{PPh}_3)_3$. In oplossing dissoosieer PPh_3 om 'n oop koördinasiepunt te skep vir substraatkoördinering en H-oordragte.

Ru vorm 'n verskeidenheid van M-M bindings waarin die Ru gebrug word deur vier ligande.^{9,38} Elektronryk alkene kan byvoorbeeld gebruik word om karbeenkomplekse te maak:¹⁵



Die ROMP van siklobuteen en 3-metilsiklobutaan kan egter plaasvind in 'n $\text{RuCl}_3 \cdot x\text{H}_2\text{O}$ -

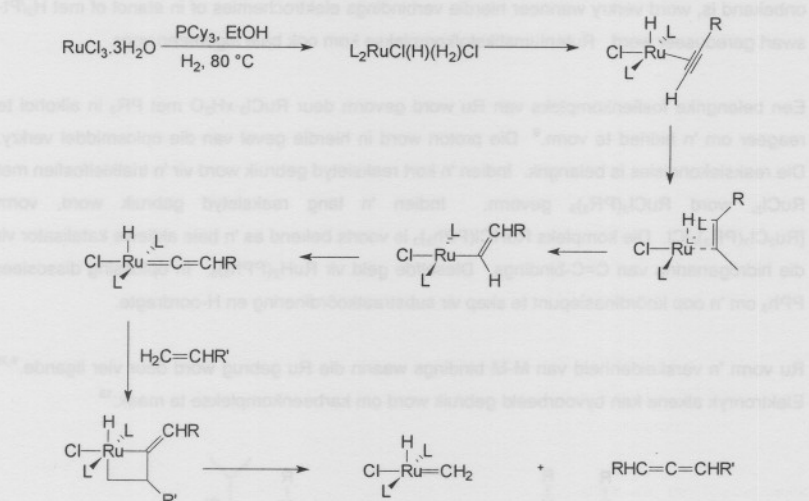
oplossing in etanol sowel as 'n emulsie in water in die afwesigheid van 'n addisionele ligand.

Indien 'n ligand soos siklooctadieen bygevoeg word, verhoog die aktiwiteit van die stelsel genoegsaam om die ROMP van norborneen moontlik te maak.⁶ Die aktiwiteit word toegeskryf aan die aanwesigheid van 'n Ru-H-binding wat deur die teenwoordigheid van 'n IR-piek by 1900 – 2100 cm⁻¹ bevestig word.

Verskeie ruteniumkompleksse word aktief vir ROMP deur die generering van die hidried deur waterstof deur die reaksiemengsel te borrel. Vir sommige sisteme is die teenwoordigheid van trifluorasyneuur (TFA) as protonbron vir hidriedvorming gerapporteer.⁶ Die effektiestste voorbeeld hiervan is die RuH₂(PPh₃)₄/TFA-sisteem.

2.7.3 Meganisme

Van Schalkwyk *et al.*²⁴ het die meganisme in Skema 2.5 vir die vorming van die metaalkarbeen vir die *in situ* katalisatorsisteem voorgestel.

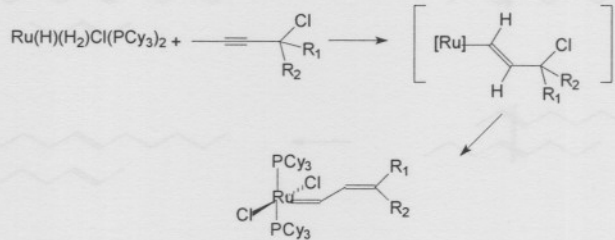


Skema 2.5 Meganisme vir die vorming van die metaalkarbeen in die *in situ* Ru-katalisatorsisteem.

Volgens hierdie meganisme, wat vir 'n terminale alkyn voorgestel word, vorm die alkyn 'n

metallasiklobuteentussenverbinding, wat dan deur middel van 'n β -waterstofoordrag 'n vinielverbinding vorm. Hierdie vinielverbinding ondergaan vervolgens onder die reaksiekondisies soos gebruik 'n α -waterstofoordrag om 'n vinilideen te vorm. Reaksie met 'n alkeen gee die nodige uitruiling om die metilideen te vorm wat verder in die reaksie deelneem en die kataltiese siklus binnegaan. Amoroso *et al.*³⁰ het 'n vinilideen wat onoplosbaar was in verskeie oplosmiddels geïsoleer en gekarakteriseer vir 'n chloorgebrugde dimeer en 3,3-dimetiel-1-butyn, met 'n bidentate ligand in die plek van die twee PCy_3 -ligande. Dit ondersteun die hipotese van 'n vinilideentussenstap vir karbeenvorming.

Grubbs *et al.*³⁹ het $\text{Ru}(\text{H})(\text{H}_2)\text{Cl}(\text{PCy}_3)_2$ vanuit die reaksie van $[\text{RuCl}_2(\text{COD})]_x$ met PCy_3 , sekbutielalkohol en triëtelamien in die teenwoordigheid van H_2 geïsoleer. Deur hierdie hidriedkompleks met propargylhaliede in verskillende oplosmiddels te reageer, is die rutenumkarbeen gevorm. Hulle het voorts gevind dat 'n verhoging in die steriese grootte van die alkyn die vorming van die karbeen bevordeel deurdat dit die vorming van 'n ongewensde Ru(IV)-verbinding, wat in kompetisie met die karbeenvorming plaasvind, onderdruk. Hierdie verbinding is as waarskynlik $\text{Ru}(\text{H})_2(\text{Cl})_2(\text{PCy}_3)_2$ gekarakteriseer. Hierdie waarneming gee 'n verdere moontlike verklaring waarom die BDD as alkyn so goed in die *in situ*-sisteem funksioneer. Die meganisme soos voorgestel deur Grubbs *et al.*³⁹ is soos volg:

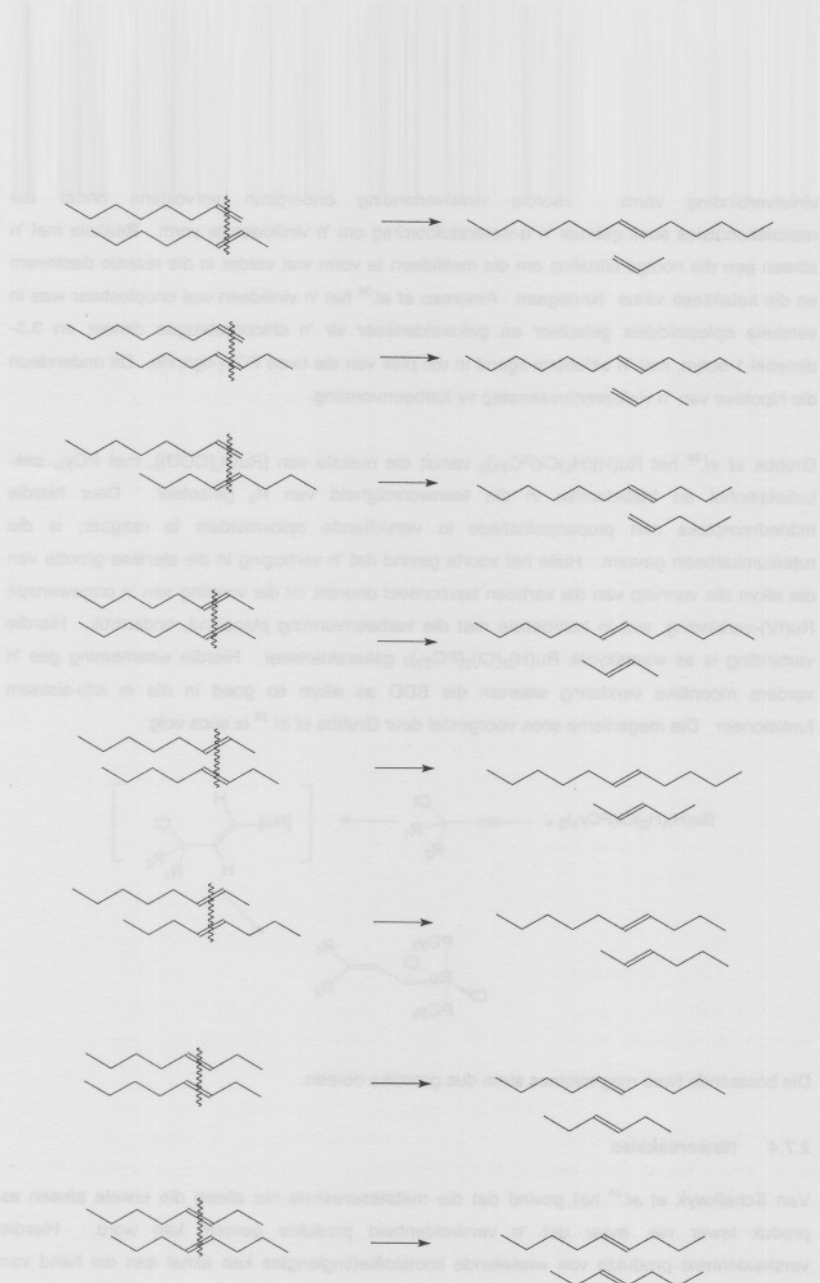


Die bestaande twee meganisme stem dus grootliks ooreen.

2.7.4 Newereaksies

Van Schalkwyk *et al.*²⁴ het gevind dat die metatesereaksie nie alleen die enkele alkeen as produk lewer nie, maar dat 'n verskeidenheid produkte gevorm kan word. Hierdie verskeidenheid produkte van wisselende koolstofkettinglengtes kan almal aan die hand van isomerisasie van die alkeendoublebinding vanaf die 1-posisie na die 2-, 3- en 4- posisies (in die geval van okteen) verduidelik word. Na isomerisasie kan elkeen van die gevormde produkte aan die metatesereaksie deelneem (Skema 2.6).

in gebroederskappe en voor lekturende sake moet hier gesamentre van die produktieskepsies.



Skema 2.6 Kruismatesreaksies van 'n aantal okteenisomere.

(© S. Smith) molekulêre synthese en ontwerp van nov-

Indien metatese vinniger of meer geredelik as isomerisasie plaasvind, sal hierdie produkte slegs in klein hoeveelhede vorm, en wel om die volgende redes:

- Statisties behoort trideseen die neweproduk te wees waarvan die meeste vorm, aangesien 2-okteen by voorkeur met 1-okteen, wat in groot oormaat teenwoordig is, sal reageer.
- 'n Beduidende hoeveelheid 2-okteen moet vorm voordat 'n beduidende hoeveelheid trideseen en 3-okteen kan vorm. Indien al die 2-okteen met 1-okteen reageer om trideseen te vorm, kan geen verdere neweprodukte vorm nie.
- Na verwagting sal steriese oorwegings die reaksie met die terminale alkyn bevoordeel.

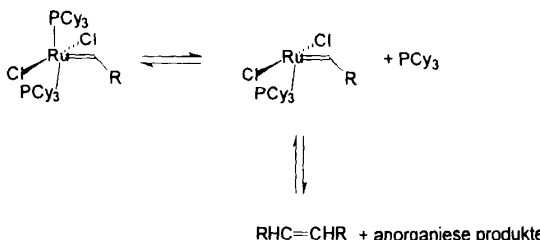
Van Schalkwyk³ het inderdaad gevind dat neweprodukte slegs in klein hoeveelhede vorm, wat daarop dui dat metatese die voorkeurreaksie, onder die kondisies soos gebruik, in hierdie sisteem is.

Verder is gevind dat die gebruik van 'n interne alkyn as alternatief tot 'n terminale alkyn in alle gevalle moontlik was, en dat die posisie van die trippelbinding nie 'n beduidende invloed op die metatese-aktiwiteit en -selektiwiteit uitoefen nie.

Grubbs *et al.*¹⁰ het aangetoon dat imidasool-alkilideenbevattende komplekses ook volgens 'n *in situ*-sisteem berei kan word. Vir hierdie sisteem is van 'n $\text{[(p-simeen)RuCl}_2\text{]}_2$ -dimeer as metaalbron gebruik gemaak en liganduitruiling is gebruik om die imidasool-alkilideenkomplekses te vorm. Oplosmiddeleffekte sowel as die teenwoordigheid van 'n terminale alkyn was baie belangrik. Alhoewel enkele gevalle gemeld is waar metatese plaasgevind het in die afwesigheid van die alkyn, het dit stadiger plaasgevind as in vergelykbare gevalle waar die alkyn wel teenwoordig was. Die hoër bindingsenergie van imidasoolligande vergeleke met dié van fosfienligande bring mee dat laasgenoemde die ligand is wat sal dissosieer tydens metatese. Die elektroniese en steriese effekte van die imidasoolligand het dus 'n bepalende invloed op die metatese-aktiwiteit van so 'n katalisatorsisteem.

2.8 Deaktivering van die metaalkarbeen

Deaktivering van die karbeen vind hoofsaaklik langs 'n monomolekulêre of bimolekulêre weg plaas.²⁸ Die bimolekulêre meganisme is die meer prominente meganisme vir alkilidene, terwyl slegs die monomolekulêre weg beduidend is in die deaktivering van die metilideen.^{22,42} Ulman en Grubbs⁴⁰ stel die volgende meganisme voor vir monomolekulêre deaktivering:



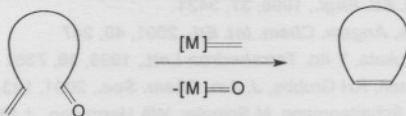
Hierdie meganisme is afgelei vanuit die teenwoordigheid van 'n dimeer in deaktiveringseksperimente. Tydens dieselfde eksperiment met 'n metilideen is die dimeer (eteen) nie waargeneem nie. Hierdie meganisme impliseer dat die byvoeging van ekstra fosfiën die deaktivering sal vertraag deur die ewig na links te skuif. Dit is inderdaad eksperimenteel gevind. Die byvoeging van ekstra fosfiën onderdruk egter ook metatese, aangesien metatese plaasvind in die toestand waar die fosfiën gedissoosieer is, en ekstra fosfiën die dissoosiasie onderdruk. Verder is gevind dat die toename in vry fosfiën soos verwag vanuit hierdie meganisme wel waarneembaar is in die aanvanklike fase van die reaksie, maar later wyk die hoeveelheid vry fosfiën af van die verwagte aangesien die vry fosfiën deur die vorming van onbepaalbare (deur KMR) Ru-spesies verbruik word. 'n Ongeïdentifiseerde KMR-piek by δ 34.6 ppm is ook teenwoordig.

Met die ontbinding van die metilideen was die dimeer nie waargeneem nie, en het die byvoeging van ekstra fosfiën ook nie die ontbinding vertraag nie. Dit dui daarop dat die metilideen via 'n bimolekulêre meganisme ontbind.

'n Meganisme vir dimerisasie deur chloorbrûe word deur Amoroso *et al.*³⁰ voorgestel. Hierdie meganisme lei tot die vorming van 'n katalities minder aktiewe karbeen. Amoroso *et al.* het van 'n bidentate bisfosfiën gebruik gemaak. Alhoewel hierdie fosfiën verskil van die trisikloheksielfosfiën, tref hulle wel die vergelyking met Grubbs se katalisator. Sodanige dimerisasie verklaar nie die totale verlies aan die α -waterstof deur van Schalkwyk³ waargeneem nie, maar gee wel 'n moontlike verklaring vir die drastiese afname in metatese-aktiwiteit in die reaksie. Dit kan verder verklaar waarom stadiger metatesekondisies tot laer totale metatese-opbrengs lei, deurdat dit 'n verklaring bied waarom deaktivering vinniger as metatese kan plaasvind onder kondisies waar dimeervorming metatese vertraag. 'n Ander deaktiveringse-meganisme is egter wel ter sprake, aangesien totale deaktivering van die metatesekatalisator reeds bewys is.³

Dit is bekend dat die metatese van gefunksionaliseerde alkene in die teenwoordigheid van die

Grubbs-katalisator kan plaasvind.⁶⁰ Dit is ook moontlik vir metatese van geoksigeneerde alkene om plaas te vind in die teenwoordigheid van ander katalisatore. Grubbs en Fu⁶¹ het selektiewe metatese van onversadigde ketone uitgevoer ten einde ongefunksionaliseerde sikliese alkene te vorm:



Hierdie reaksie word uitgevoer in die teenwoordigheid van $[\text{Mo}(\text{CHCMe}_2\text{Ph})(\text{Nar})(\text{OCMe}(\text{CF}_3)_2)_2\text{Ar}=2,6-(\text{Pr})_2\text{C}_6\text{H}_3]$. Verskeie onversadigde esters ondergaan metatese in teenwoordigheid van verskeie katalisatore.⁶ Hierdie reaksies vind veral plaas in die afwesigheid van oplosmiddels, en is van groot belang in die metatese van natuurprodukte. Eters kan ook metatese ondergaan, maar net soos esters is die korrekte keuse van katalisator noodsaaklik aangesien nie alle eters metatese in die teenwoordigheid van alle katalisatore ondergaan nie. Faktore soos die koolstofkettinglengte en die afstand tussen die suurstof en die dubbelbinding bepaal of die verbindings metatese sal ondergaan. Daar is dus 'n duidelike behoefte aan 'n metatesekatalisator wat aktief sal wees vir 'n groot verskeidenheid geoksigeneerde alkene.

2.9 Literatuurverwysings

1. RJ Haines, CJ Leigh, *Chem. Soc. Rev.*, 1975, 4, 155
2. PH Wagner, *Chem. Ind.*, 1992, 330
3. C van Schalkwyk, *Die kataltiese sintese van lineêre alkene via 'n metatesereaksie*, PhD-proefskrif, PU vir CHO, 2001, pp 112.
4. CPC Bradshaw, EW Hawman, L Turner, *J. Catal.*, 1967, 7, 269
5. JM Botha, JPK Reynhardt, C van Schalkwyk, HCM Vosloo, *International Patent Application* WO 01/46096 A1, 2001
6. JC Mol, KJ Ivin, *Olefin metathesis and metathesis polymerisation*, Academic Press, London, 1997, p 41
7. AK Chatterjee, T-L Choi, DP Sanders, RH Grubbs, *J. Am. Chem. Soc.*, 2003, 125, 11360
8. JA Love, MS Sanford, MW Day, RH Grubbs, *J. Am. Chem. Soc.*, 2003, 125, 10103
9. FA Cotton, G Wilkinson, CA Murillo, M Bochmann, *Advanced Inorganic Chemistry*, Sesde uitgawe, John Wiley and Sons, New York, 1999, p 1005
10. J Louie en RH Grubbs, *Organometallics*, 2002, 21, 2153
11. W Buchowicz, JC Mol, *J. Mol. Catal. A: Chem.*, 1999, 148, 97
12. L Jafarpour, SP Nolan, *J Organomet. Chem.*, 2001, 617-618, 17
13. KG Caulton, *J. Organomet. Chem.*, 2001, 617-618, 56
14. PO Nubel, CL Hunt, *J. Mol. Catal. A: Chem.*, 1999, 145, 323

15. RH Grubbs (Ed), *Handbook of Metathesis*, Vol 1, Wiley-VCH, Weinheim, 2003, 90
 16. N Döker, G Frenking, *J. Organomet. Chem.*, 2001, **617-618**, 225
 17. C Grünwald, J Wolf, P González-Herrero, H Werner, *Organometallics*, 1996, **15**, 1960
 18. J Wolf, W Stüer, C Grünwald, H Werner, P Schwab, M Schultz, *Angew. Chem.*, 1998, **100**, 1165; *Angew. Chem. Int. Ed. Engl.*, 1998, **37**, 1124
 19. W Stüer, J Wolf, H Werner, P Schwab, M Schultz, *Angew. Chem.*, 1998, **110**, 3603; *Angew. Chem. Int. Ed. Engl.*, 1998, **37**, 3421
 20. J Louie, RH Grubbs, *Angew. Chem. Int. Ed.*, 2001, **40**, 247
 21. M Murakami, M Ubukata, Y Ito, *Tetrahedron Lett.*, 1998, **39**, 7361
 22. MS Sanford, M Ulman, RH Grubbs, *J. Am. Chem. Soc.*, 2001, **123**, 749
 23. TS Weskamp, WC Schattenmann, M Spiegler, WA Herrmann, *J. Mol. Catal. A: Chem.*, 2002, **180**, 67; *Angew. Chem. Int. Ed.*, 1998, **37**, 2490
 24. C van Schalkwyk, HCM Vosloo, JM Botha, *J. Mol. Catal. A: Chem.*, 2002, **190**, 185
 25. D Bourgeois, A Pancrazi, SP Nolan, J Prunet, *J. Organomet. Chem.*, 2002, **643-644**, 247
 26. A Salvini, F Piacenti, P Frediani, A Devescovini, A Caporali, *J. Organomet. Chem.*, 200, **1625**, 255
 27. A Salvini, F Piacenti, P Frediani, *J. Mol. Catal. A: Chem.*, 2000, **159**, 185
 28. D Amoroso, GPA Yap, DE Fogg, *Can. J. Chem.*, 2001, **79**, 958
 29. M Ulman, RH Grubbs, *J. Org. Chem.*, 1999, **64**, 7202
 30. D Amoroso, GPA Yap, DE Fogg, *Organometallics*, 2002, **21**, 3335
 31. W Stüer, J Wolf, H Werner, *J. Organomet. Chem.*, 2002, **641**, 203
 32. DC Braddock, A Matsuno, *Tetrahedron Lett.*, 2002, **43**, 3305
 33. ST Nguyen, RH Grubbs, *J. Organomet. Chem.*, 1995, **497**, 195
 34. M Ahmed, AGM Barrett, DC Braddock, SM Cramp, PA Procopiou, *Tetrahedron Lett.*, 1999, **4**, 8657
 35. AH Hoveyda, DG Gillingham, JJ van Veldhuizen, O Kataoka, SB Garber, JS Kingsbury, JPA Harrity, *Org. Biomol. Chem.*, 2004, **2**, 8
 36. J Cossy, S Bouzbouz, AH Hoveyda, *J. Organomet. Chem.*, 2001, **624**, 327
 37. ST Nguyen, LK Johnson, RH Grubbs, *J. Am. Chem. Soc.*, 1992, **114**, 3974
 38. P Nieczypor, PWNM van Leeuwen, JC Mol, M Lutz, AL Spek, *J. Organomet. Chem.*, 2001, **625**, 58
 39. TE Wilhelm, TR Belderrain, SN Brown, RH Grubbs, *Organometallics*, 1997, **16-18**, 3867
 40. M Ulman, RH Grubbs, *Organometallics*, 1998, **17**, 2484
 41. L Jafarpour, SP Nolan, *J. Organomet. Chem.*, 2001, **617-618**, 17
 42. L Ackermann, A Fürstner, T Weskamp, FJ Kohl, WA Herrmann, *Tetrahedron Lett.*, 1999, **40**, 4787
 43. TM Trnka, RH Grubbs, *Acc. Chem. Res.*, 2001, **34**, 18
 44. SE Lehman, JE Schwendeman, PM O'Donnell, KB Wagener, *Inorg. Chim. Acta*, 2003, **345**, 190
 45. A Fürstner, L Ackermann, B Gabor, R Goddard, CW Lehmann, R Mynott, F Stelzer, OR Thiele, *Chem. Eur. J.*, 2001, **7**, 3236
 46. B De Clercq, F Verpoort, *J. Mol. Catal. A: Chem.*, 2002, **180**, 67
 47. S Fomine, S Martinez Vargas, MA Tlenkopatchev, *Organometallics*, 2003, **22**, 93
 48. T Weskamp, FJ Kohl, WA Herrmann, *J. Organomet. Chem.*, 1999, **582**, 362
 49. EL Dias, ST Nguyen, RH Grubbs, *J. Am. Chem. Soc.*, 1997, **119**, 3887
 50. P Schwab, RH Grubbs, JW Ziller, *J. Am. Chem. Soc.*, 1996, **118**, 100
 51. S Warwel, F Brüse, C Demes, M Kunz, MRg Klaas, *Chemosphere*, 2001, **43**, 39
-

52. J-L Hérrison, Y Chauvin, *Makromol. Chem.*, 1971, **141**, 161
53. B Cornils en WA Herrman, *Applied Homogeneous Catalysis with Organometallic Compounds*, Volume 2, VCH, Weinheim, 1996, p 980
54. SD Edwards, T Lewis, RJK Taylor, *Tetrahedron Lett.*, 1999, **40**, 4267
55. KJ Ivin, *J. Mol. Catal. A: Chem.*, 1998, **133**, 1
56. U Kazmaier, S Pähler, R Endermann, D Häbich, H-P Kroll, B Riedl, *Bioorg. Med. Chem.*, 2002, **12**, 3905
57. G Godin, E Garnier, P Compain, OR Martin, K Ikeda, N Asano, *Tetrahedron Lett.*, 2004, **45**, 579
58. TVRS Sastry, B Banerji, SK Kumar, AC Kunwar, J Das, JP Nandy, J Iqbal, *Tetrahedron Lett.*, 2002, **42**, 7621
59. R Braz-Filho, *Pure Appl. Chem.*, 1999, **71**, 1663
60. TM Trnka, RH Grubbs, *Acc. Chem. Res.*, 2001, **34**, 18
61. GC Fu, RH Grubbs, *J. Am. Chem. Soc.*, 1993, **115**, 3800

3 EKSPERIMENTEEL

3.1 Eksperimentele besonderhede

3.1.1 Reagense, substrate en oplosmiddels

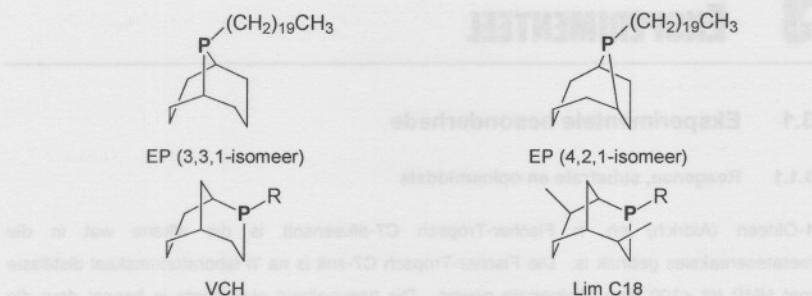
1-Okteen (Aldrich) en 'n Fischer-Tropsch C7-alkeensnit is die alkene wat in die metatesereaksies gebruik is. Die Fischer-Tropsch C7-snit is na 'n laboratoriumskaal distillasie met NMP tot <100 dpm oksigenate gewas. Die hoeveelheid oksigenate is bepaal deur die substraat met GC-MS te analiseer en die oksigenate te identifiseer volgens 'n standaard templaat wat deur Sasol opgestel is. Hierdie analise is deur Analitiese Tegnieke, Sasol Technology (Pty) Ltd uitgevoer. Beide die C7-snit en 1-okteen is met basiese alumina (Aldrich) geskud, ontgas deur dit met argon te borrel vir minstens 4 h en onder argon gestoor met die basiese alumina as residu onder in diehouer.

RuCl₃·xH₂O, 2-butyn-1,4-dioldiasetaat (BDD), N-metielpirrolidoon (NMP), oktadekaan, tersiëre butielhidroksiperoksied, trisikloheksielfosien, trisobutielfosien, etielheksielvinieleter, benosikoon, 2-oktenaal, 4-hekseen-3-on, 1,5-heksadieen, 4-tolueensulfoonsuur, metaansulfoonsuur, trifluorometaansulfoonsuur, asynsuur, soutsuur en trifluoroasynsuur (almal van Aldrich) is gebruik soos ontvang. Alle fosiene (uitsluitend trifenielfosien) is onder argon hanteer en gestoor. Lug, waterstof en helium is in die gaschromatograaf gebruik vir analises, soos ontvang vanaf Afrox. Argon 5 en waterstof is direk uit 'n silinder gevoer sonder enige verdere suiwering. EP, Lim C18 en VCH - word in hidroformileringsondersoek gebruik - is vanaf Sasol Technology (Pty) Ltd verky en is sonder enige verdere behandeling gebruik. Die strukture van hierdie drie verbindings word in Skema 3.1 getoon.

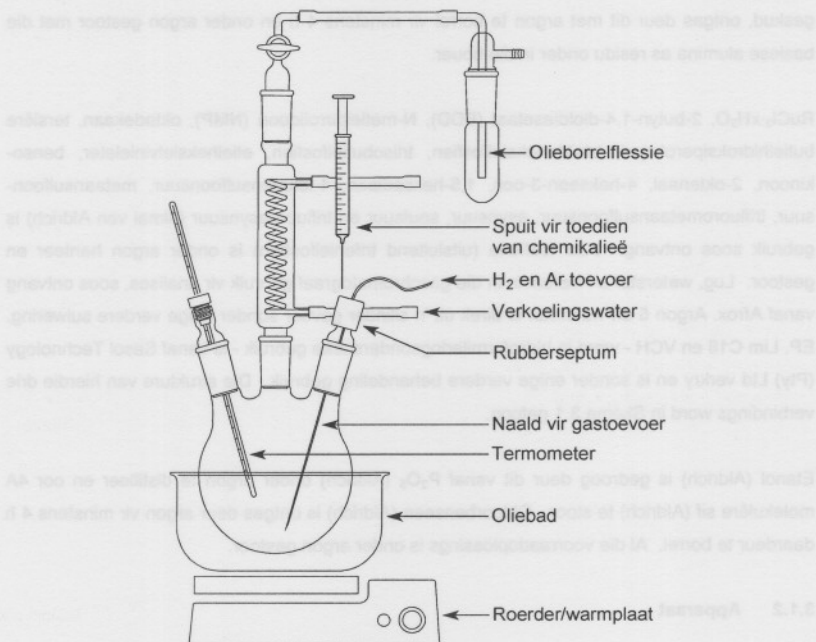
Etanol (Aldrich) is gedroog deur dit vanaf P₂O₅ (Aldrich) onder argon te distilleer en oor 4A molekulêre sif (Aldrich) te stoor. Chloorbenseen (Aldrich) is ontgas deur argon vir minstens 4 h daardeur te borrel. Al die voorraadoplossings is onder argon gestoor.

3.1.2 Apparaat

Metatesereaksies is in 'n refluxsopstelling (Figuur 3.1) onder argon in 'n 100 mL drienekfles uitgevoer. Die glasware is deeglik met aseton gewas en by 80 °C in 'n oond gedroog. Voor gebruik is dit in lug afgekoel. Gasse (H₂ en Ar) is deur 'n Tygon-pyp wat met 'n vlekvrye staal



Skema 3.1 Strukture van Sasol-fosfene wat in die ondersoek gebruik is.



Figuur 3.1 Apparaatopstelling vir metatesereaksies.

naald toegerus is, na die reaksiefles gevoer. Die koeler is verkoel deur water wat teen 2 °C deur 'n Lauda-verkoelingsbad verkoel is. Die reaksietemperatuur is verkry deur die oliebadtemperatuur met 'n elektroniese temperatuurbeheerder (warmplaat) te beheer. Die reaksietemperatuur is met 'n termometer in die reaksiefles te gekontroleer. Die reaksiemengsel is deur beide die gasvloeい en 'n magnetiese roerder geroer.

3.2 Opmaak van voorraadoplossings

Voorraadoplossings van die $\text{RuCl}_3 \cdot x\text{H}_2\text{O}$ kompleks, BDD en die onderskeie fosfiene is opgemaak. Alle voorraadoplossings is in Ar voorberei en gestoor in houers wat met septatoegerus is. Behalwe waar anders vermeld, is die Ru-kompleks berei deur $\text{RuCl}_3 \cdot x\text{H}_2\text{O}$ in EtOH op te los en oornag by kamertemperatuur te laat. Die onderskeie alkyne en fosfiene is in PhCl opgelos en dadelik gebruik. Die integriteit van die PCy_3 -oplossing is periodiek met ^{31}P -KMR geverifieer, en het gewissel van 80 tot 90% suwer. Die hoofonsuiwerheid is as triskloheksielfosfienoksied (OPCy_3) geïdentifiseer deur die oplossing in lug te laat en met herhaalde analises te bepaal watter piek groei. Spektrum 3.1 toon die ^{31}P -KMR-spektrum van 'n tipiese PCy_3 -voorraadoplossing in CDCl_3 . Die spektrum bestaan uit twee hoofpieke, naamlik δ 12.3 dpm [PCy_3] en δ 51.0 dpm [OPCy_3]. Die ander klein pieke is as gevolg van onsuiwerhede in die oplossing. Die ander ligande is almal binne 'n kort tyd van mekaar gebruik, en is net voordat dit die eerste keer gebruik is, geanalyseer.

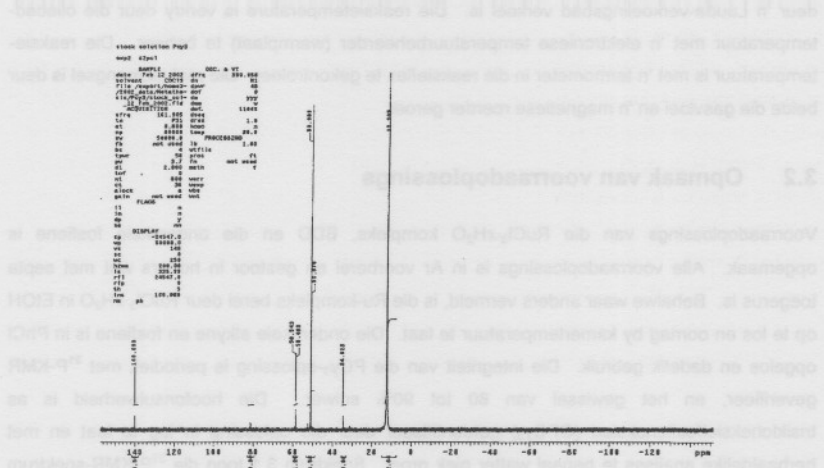
Spektrum 3.2 toon die ^{31}P -KMR-spektrum van EP in CDCl_3 . Aangesien EP uit twee isomere bestaan, is twee prominente singuletpieke by δ -34.3 dpm en δ 2.0 dpm sigbaar, een vir elke isomeer. Die twee klein singuletpieke by δ 43.0 dpm en δ 70.7 dpm is die pieke van die oksiede van die onderskeie isomere.

Spektrum 3.3 toon die ^{31}P -KMR-spektrum van VCH in CDCl_3 , twee singulette by δ -44.59 dpm en δ -51.28 dpm is waargeneem.

Spektrum 3.4 toon die ^{31}P -KMR-spektrum van Lim C18 in CDCl_3 , twee doeblette by δ -29.19 en -29.30 dpm, en δ -31.29 en -31.35 dpm is waargeneem.

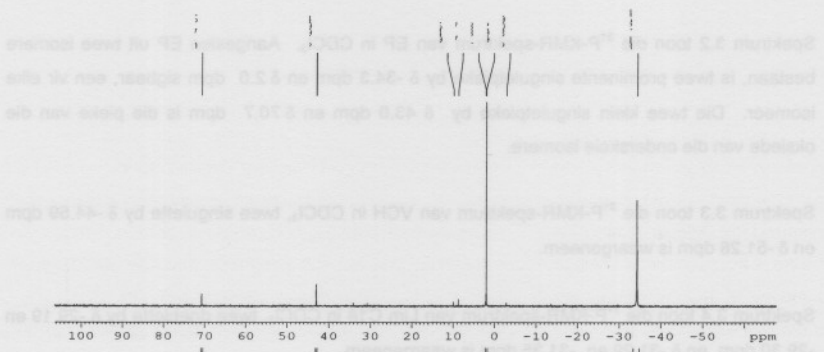
Spektrum 3.5 toon die ^{31}P -KMR-spektrum van $\text{P}(\text{Bu})_3$ in CDCl_3 , twee singulette by δ -43.33 dpm en δ -82.64 dpm (onbekend) is waargeneem. Die klein pieke is as gevolg van onsuiwerhede in die oplossing.

Dit is nie 'n volledige lys van koolstof-¹³C-KMRSpektre nie. Daar is baie meer.

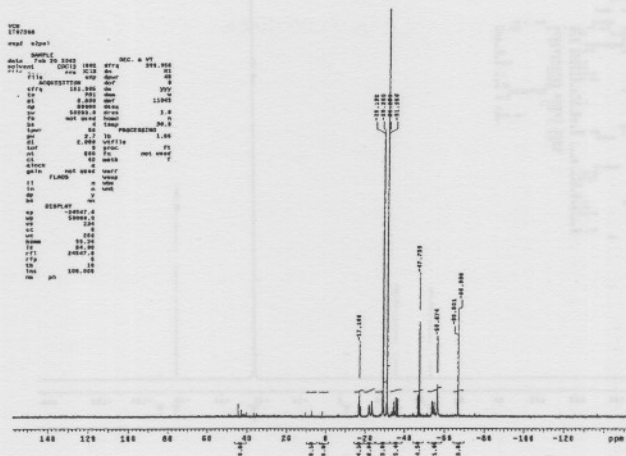
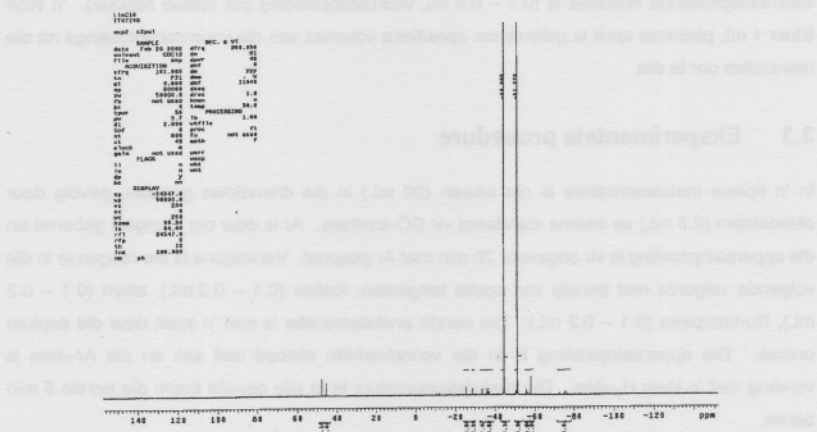


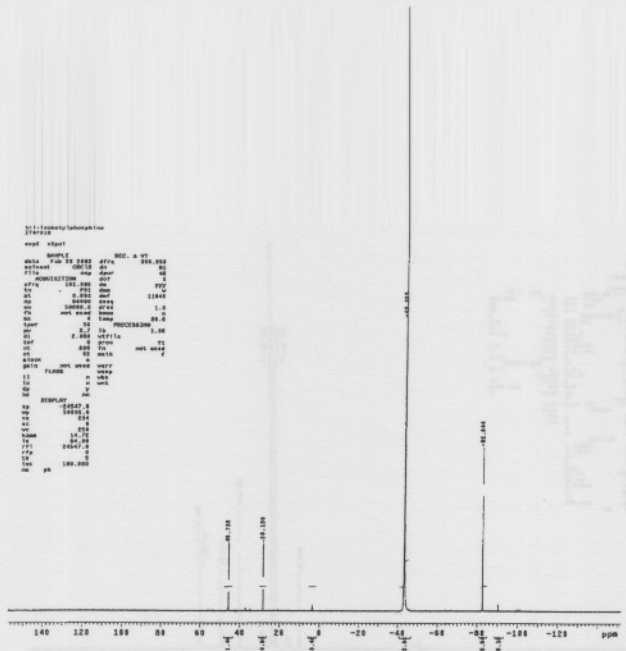
Spektrum 3.1 ³¹P-KMR-spektrum van 'n PCy₃-oplossing in CDCl₃.

Aandag reënkom nie by hierdie spektrum nie. Die ³¹P-pekte word gevorm deur die ¹³C-pekte van die CDCl₃-solvent. Die ³¹P-pekte van die organische stof word daarom nie gesien nie.



Spektrum 3.2 ³¹P-KMR-spektrum van 'n EP-oplossing in CDCl₃.

Spektrum 3.3 ^{31}P -KMR-spektrum van 'n VCH-oplossing in CDCl_3 .Spektrum 3.4 ^{31}P -KMR-spektrum van 'n Lim C18-oplossing in CDCl_3 .



Spektrum 3.5 ^{31}P -KMR-spektrum van 'n $\text{P}(\text{Bu})_3$ -oplossing in CDCl_3 .

Die konsentrasies van voorraadoplossings is bereken sodat die hoeveelhede van die voorraadoplossings realties is ($0.1 - 0.9 \text{ mL}$ voorraadoplossing per tipiese reaksie). 'n Wolf Stuer 1 mL plastiese spuit is gebruik om spesifieke volumes van die voorraadoplossings na die reaksiefles oor te dra.

3.3 Eksperimentele prosedure

In 'n tipiese metatesreaksie is die alkeen (20 mL) in die drienekfles geplaas, gevvolg deur oktadekaan (0.5 mL) as interne standaard vir GC-analises. Ar is deur die mengsel geborreel en die apparaatopstelling is vir ongeveer 20 min met Ar gespoel. Vervolgens is die reagense in die volgende volgorde met behulp van spuite toegedien: fosfien ($0.1 - 0.2 \text{ mL}$), alkyn ($0.1 - 0.2 \text{ mL}$), Ru-kompleks ($0.1 - 0.2 \text{ mL}$). Die eerste analisemonster is met 'n spuit deur die septum onttrek. Die apparaatopstelling is in die voorafverhitte oliebad laat sak en die Ar-vloeい is vervang met 'n klein H_2 -vloeい. Die reaksietemperatuur is in alle gevalle binne die eerste 5 min bereik.

Monsters is periodiek met 'n spuit deur 'n septum uit die reaksiemengsel onttrek, verdun met tolueen en met 2 - 3 druppels tersiêre butielhidroksiperoksied getermineer. Die reaksieverloop is met behulp van GC-analises as die vorming van tetradeseen, met die gepaardgaande

verbruik van 1-okteen, gevvolg. Die eteen wat gevorm het, is deur die kontinue waterstofborreling uit die reaksiemengsel verwijder.

Om die verlies van 1-okteen tydens die reaksie deur massa-oordrag as gevolg van die gasvloei tot 'n minimum te beperk is die reflukskoeler by 2 °C gehou. Tydens berekeninge is die massaverlies geag as 1-okteen en EtOH, aangesien PhCl (as oplosmiddel vir die reagense gebruik) nie tydens die reaksie verlore gegaan het nie.

'n Eksperiment is gekies om periodiek te herhaal en veranderings teen te meet. Hierdie eksperiment is onder die volgende reaksiekondisies uitgevoer: Die ruteniumkonsentrasie is volgens 'n verwagte industriële aanvaarbare konsentrasie gekies. Die metaal:ligand:alkyn-molverhouding asook reaksietemperatuur uit die literatuur is gebruik.¹ 'n Katalisator-konsentrasie van 100 dpm Ru [bereken as (massa rutenium/massa alkeen)] is gekies. As interne standaard is 0.5 mL oktadekaan gebruik. Verdunning as gevolg van oplosmiddels is buite rekening gelaat. Die alkeen:fosfien:alkyn-molverhouding was Ru:PCy₃:BDD = 1:2.5:10. 'n Oliebadtemperatuur van 80 °C is deurgaans gebruik, tensy anders vermeld.

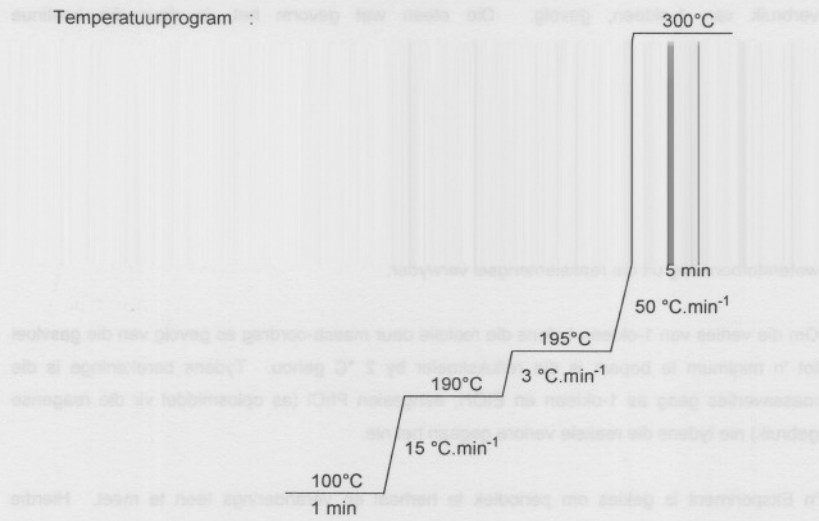
Hierdie eksperiment is minstens elke keer uitgevoer wanneer vars voorraadoplossings opgemaak is.

3.4 Analitiese procedures

3.4.1 Gaschromatografie

Reaksiemengsels is met behulp van 'n Hewlett Packard HP 6890N gaschromatograaf geanaliseer. 'n Pona kapillêre kolom (HP-Pona metielsiloksaan, 50 m x 0.2 mm x 0.5 µm, Agilent 19091S-001). Die volgende instrumentstellings en temperatuurprogram is deurgaans vir analises gebruik:

Inspuitvolume	:	0.2 µL
Inlaat	:	300:1 splitverhouding
Inlaattemperatuur	:	250 °C
Draergas	:	He
Gasvloei	:	0.8 mL.min ⁻¹
Detektor	:	FID, 300 °C
Detektorgasvloei	:	40 mL.min ⁻¹ H ₂ by 20 °C 450 mL.min ⁻¹ lug by 20 °C



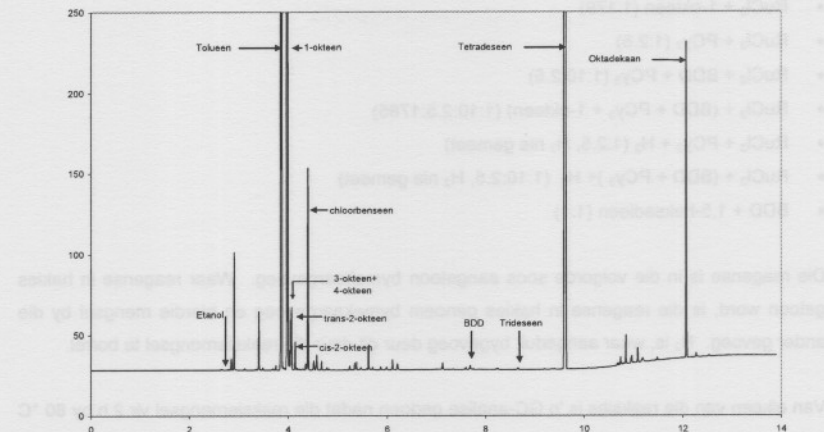
In Figuur 3.2 en 3.3 word tipiese chromatogramme na afloop van die metatesereaksies geïllustreer.

Die onderskeie pieke op die GC is met standarde bevestig. Die standarde wat gebruik is, was 1-okteen, *cis*- en *trans*-2-okteen, *cis*- en *trans*-3-okteen en *cis*- en *trans*-4-okteen. Aangesien die *cis*-isomere nie as geïsoleerde komponente vanaf die verskaffers verkry kon word nie, is mengsels van die isomere, asook die suwer *trans*-isomere vir piekidentifikasie gebruik. Aangesien die gekose kolom met die GC-temperatuurprogram soos gebruik nie die 3-okteen, 4-okteen en oktaan kon skei nie, is hierdie verbindings gesamentlik beskou. Slegs in enkele gevalle is teenstrydighede tussen die hoeveelhede isomere verkry. Hierdie teenstrydighede is dan verder ondersoek en word by die betrokke resultate bespreek.

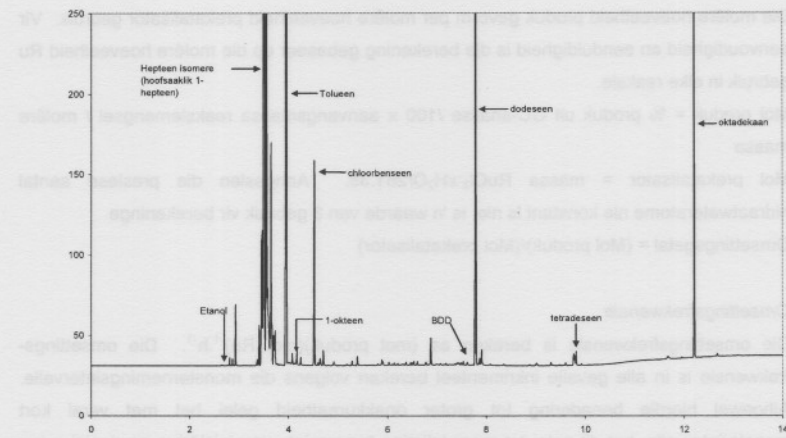
3.4.2 KMR-studie

KMR-spektra is geneem met behulp van 'n Varian Gemini-300 Breëband KMR spektrometer, met die sagtewarevrystelling 6.3E vir dataverwerking, asook 'n Varian Unity Inova 400 MHz KMR spektrometer en 'n 500 MHz Bruker Avance spektrometer. 'n Waltz 16 ¹H ontkoppelingsvolgorde is aangewend. Die spektrometers is met H₃PO₄ en TMS vir ³¹P en ¹H respektiewelik gekalibreer.

Die eerste KMR-eksperiment is uitgevoer deur die reaksiemengsels in monsterflessies onder Ar op te maak en vir 30 min te roer. 'n Porsie van hierdie reaksiemengsel is met 'n spuit verwyder en onder Ar in 'n KMR-buisie geplaas. Die restant van die reaksiemengsels is in 'n oliebad geplaas en by 80 °C vir 2 h gehou. Die reaksiemengsel is na kamertemperatuur afgekoel en weer onder Ar in 'n KMR-buisie geplaas. Die tweede analise is met die eerste vergelyk, asook met die analise van ander reaksiemengsels. Die reagense is vanuit die voorraadoplossings vir die metatese eksperimente geneem.



Figuur 3.2 Tipiese gaschromatogram van die reaksiemengsel van die metatese van 1-olien.



Figuur 3.3 Tipiese gaschromatogram van die reaksiemengsel van die metatese van 'n Fischer-Tropsch C7-alkenesnit.

Die reaksiemengsels (molverhoudings) wat gebruik is, was:

- $\text{RuCl}_3 + \text{BDD}$ (1:10)
- $\text{RuCl}_3 + 1\text{-okteen}$ (1:179)
- $\text{RuCl}_3 + \text{PCy}_3$ (1:2.5)
- $\text{RuCl}_3 + \text{BDD} + \text{PCy}_3$ (1:10:2.5)
- $\text{RuCl}_3 + (\text{BDD} + \text{PCy}_3 + 1\text{-okteen})$ (1:10:2.5:1785)
- $\text{RuCl}_3 + \text{PCy}_3 + \text{H}_2$ (1:2.5, H_2 nie gemeet)
- $\text{RuCl}_3 + (\text{BDD} + \text{PCy}_3) + \text{H}_2$ (1:10:2.5, H_2 nie gemeet)
- $\text{BDD} + 1,5\text{-heksadien}$ (1:1)

Die reagense is in die volgorde soos aangevoeg. Waar reagense in hakies getoon word, is die reagense in hakies genoem bymekaargevoeg en hierdie mengsel by die ander gevoeg. H_2 is, waar aangedui, bygevoeg deur dit deur die reaksiemengsel te borrel.

Van elkeen van die reaksies is 'n GC-analise gedoen nadat die reaksiemengsel vir 2 h by 80 °C gehou was.

3.5 Definisies en berekening

- *Omsettingsgetal*

Die molêre hoeveelheid produk gevorm per molêre hoeveelheid prekatalisator gebruik. Vir eenvoudigheid en eenduidigheid is die berekening gebaseer op die molêre hoeveelheid Ru gebruik in elke reaksie.

Mol produk = % produk uit GC-analise /100 x aanvangsmassa reaksiemengsel / molêre massa

Mol prekatalisator = massa $\text{RuCl}_3 \cdot x\text{H}_2\text{O}$ /261.35. Aangesien die presiese aantal hidraatwateratome nie konstant is nie, is 'n waarde van 3 gebruik vir berekening.

$$\text{Omsettingsgetal} = (\text{Mol produk})/(\text{Mol prekatalisator})$$

- *Omsettingsfrekwensie*

Die omsettingsfrekwensie is bereken as $(\text{mol produk})(\text{mol Ru})^{-1} \cdot \text{h}^{-1}$. Die omsettingsfrekwensie is in alle gevalle inkrimenteel bereken volgens die monsternemingsintervalle. Alhoewel hierdie benadering tot groter onakkuraatteid geleei het metveral kort monsterintervalle, het dit geleei tot meer inligting ten opsigte van inisiëring en deaktivering van die katalisator.

- *Selektiwiteit*

Primêre metateseproduk as massapersentasie van die som van 7-tetradeseen + 6-trideseen. Selektiwiteit is nie bereken vir metatese van die Fischer-Tropsch C7-alkeensnitte nie.

Standaard = % oktadekaan vanuit GC-analise x massa reaksiemengsel / 100

Standaard_{aanvang} = gemiddelde waarde van Standaard van eerste 3 analises per reaksie

Standaard_{monster} = Standaard bepaal vir elke monster

Massa alkeen = (Standaard_{aanvang}/ Standaard_{monster}) x % alkeen vanuit GC-analise x massa reaksiemengsel / 100

Selektiwiteit = (Massa 7-tetradeseen) / (Massa 7-tetradeseen + massa 6-trideseen) x 100

- *Isomerisasie*

Die somtotaal van (die massa-persentasie van al die nie-terminale isomere van die uitgangsstof) as massapersentasie van die totale reaksiemengsel.

Vir 1-okteen: (% 2-okteen + % 3-okteen + % 4-okteen)

- *Reaksiemengsel*

Die somtotaal van al die produkte soos bepaal per GC analise, met die gevormde eteen wiskundig bygevoeg en genormaliseer. Een mol eteen is bygereken vir elke mol interne alkeen gevorm. Die hoeveelheid metatese-produkte is teen 'n interne standaard bereken, en die funksionaliteit van die produktes was dieselfde as dié van die substraat, naamlik 'n mono-onversadigde koolhidraat. Die vlam-ionisasiedetektor van die gaschromatograaf sal dus dieselfde sensitiwiteit toon vir die produktes en die reagense. 'n Responsfaktor van 1 is dus deurgaans gebruik vir die berekening van die massapersentasies vanuit die piekareas van die onderskeie gaschromatogramme.

3.6 Literatuurverwysings

1. C van Schalkwyk, *Die kataltiese sintese van lineêre alkene via 'n metatesreaksie*, PhD-Proefskrif, PU vir CHO, 2001, p 73

• $\text{CO}_2 + \text{water} \rightarrow \text{oxyde} + \text{water}$ (met water en CO_2 ontstaat een zuurstofgas)

$\text{CO}_2 \times \text{longademissionen} = \text{exhalatieve CO}_2$ (longademissionen is de hoeveelheid CO_2 die per minuut uit de longen wordt uitgestoten) $\rightarrow \text{exhalatieve CO}_2 = \text{longademissionen} \times \text{exhalatieve CO}_2$

$$0,02 \times (\text{respiratieve CO}_2 + \text{respiratieve O}_2 \text{ consumptie}) + (\text{longademissionen} \times \text{exhalatieve CO}_2) = \text{totale CO}_2$$

dit moet gelijk zijn aan de hoeveelheid CO_2 die per minuut uit de longen wordt uitgestoten \rightarrow longademissionen moet gelijk zijn aan de hoeveelheid CO_2 die per minuut wordt uitgestoten

met de formule $\text{CO}_2 \text{ uitstoot} = \frac{\text{totale CO}_2}{\text{longademissionen}}$ kan de hoeveelheid CO_2 die per minuut wordt uitgestoten worden berekend. De hoeveelheid CO_2 die per minuut wordt uitgestoten is afhankelijk van de hoeveelheid O_2 die per minuut wordt ingeademd. De hoeveelheid CO_2 die per minuut wordt uitgestoten is ook afhankelijk van de hoeveelheid CO_2 die per minuut wordt ingeademd. De hoeveelheid CO_2 die per minuut wordt uitgestoten is ook afhankelijk van de hoeveelheid CO_2 die per minuut wordt ingeademd.

3.3.3. Toeslag voor ademhaling

de toeslag voor ademhaling is de extra hoeveelheid CO_2 die per minuut wordt uitgestoten door de ademhaling. De toeslag voor ademhaling is ook afhankelijk van de hoeveelheid CO_2 die per minuut wordt ingeademd.

metatese aktiwiteit van die $\text{RuCl}_3 \cdot x\text{H}_2\text{O}$ -katalisator op kappumelokon sien nuuslede
het hierdie katalisator sien nuuslede?

4 RESULTATE EN BESPREKING

4.1 Die *in situ* $\text{RuCl}_3 \cdot x\text{H}_2\text{O}$ -katalisatorsisteem

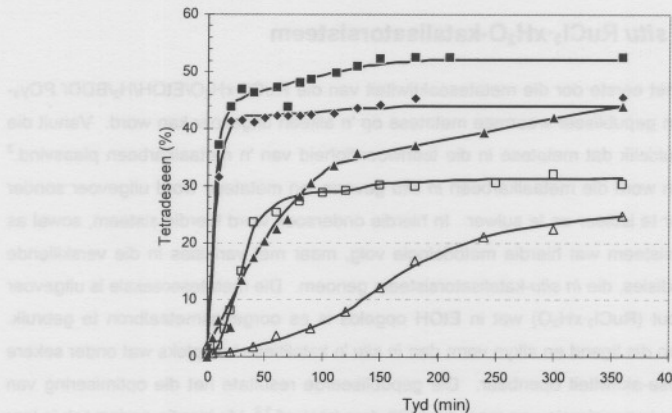
Nubel en Hunt¹ het eerste oor die metateseaktiwiteit van die $\text{RuCl}_3 \cdot x\text{H}_2\text{O}/\text{EtOH}/\text{H}_2/\text{BDD}/\text{PCy}_3$ -katalisatorsisteem gepubliseer waarmee metatese op 'n alleen uitgevoer kan word. Vanuit die literatuur is dit duidelik dat metatese in die teenwoordigheid van 'n metaalkarbeen plaasvind.² In hierdie sisteem word die metaalkarbeen *in situ* gevorm, en metatese word uitgevoer sonder om die katalisator te isolateer en te swiwer. In hierdie ondersoek word hierdie sisteem, sowel as enige katalisatorsisteem wat hierdie metodologie volg, maar met variasies in die verskillende reagense en kondisies, die *in situ*-katalisatorsisteem genoem. Die metatesereaksie is uitgevoer deur 'n metaalsoot ($\text{RuCl}_3 \cdot x\text{H}_2\text{O}$) wat in EtOH opgelos is as oorgangsmetaalbron te gebruik. Die byvoeging van die ligand en alkyn vorm dan *in situ* 'n katalytiese kompleks wat onder sekere kondisies metatese-aktiwiteit openbaar. Die gepubliseerde resultate het die optimisering van die sisteem by Ru-konsentrasie van meer as 1000 dpm beskryf.^{1,2} Vir hierdie ondersoek is laer konsentrasies gebruik ten einde tot die moontlike berekening van industriële kostes by te dra. Alhoewel die $\text{RuCl}_3 \cdot x\text{H}_2\text{O}$ met EtOH gereageer het en nie slegs opgelos het nie, word deurgaans na die $\text{RuCl}_3 \cdot x\text{H}_2\text{O}$ -oplossing verwys aangesien die werklike Ru-verbinding nie gekarakteriseer is nie.

Ter wille van vergelyking is 'n metatesereaksie met die Grubbs-katalisator (kyk 1) uitgevoer. Metatese van 1-okteen in die teenwoordigheid van die Grubbs-katalisator sonder enige oplosmiddels vind met gemak by kamertemperatuur sowel as hoër reaksietemperatuur plaas. 'n Vergelyking tussen die metatese van 1-okteen wat met die Grubbs-katalisator en die *in situ*-sisteem uitgevoer is, word in Figuur 4.1 getoon.

Die Grubbs-katalisator was beduidend meer aktief as die *in situ*-katalisatorsisteem. Met die Grubbs-katalisator is die maksimum omsetting vinniger bereik vir 'n gegewe temperatuur as wat met die *in situ*-sisteem bereik was. Verder is die omsettings wat met die Grubbs-katalisator bereik was groter as met die *in situ*-sisteem. Vir hierdie vergelyking is die katalisatorkonsentrasie vir beide gevalle as 'n massakonsentrasie bereken volgens Ru-inhoud. Die reaksies met die Grubbs-katalisator was sonder enige oplosmiddels uitgevoer. Met die *in situ*-sisteem is waterstof kontinu deur die reaksiemengsel geborreel. Ten einde die vergelyking tussen die twee sisteme so naby as moontlik aan mekaar te hou, was 'n kontinue Ar-borreling by die Grubbs-sisteem gebruik. Terwyl die H_2 in die *in situ*-sisteem aan die reaksie deelneem, help dit ook om

steen uit die reaksiemengsel te verwijder. Ar-borreling het hierdie funksie by die reaksies met

die Grubbs-katalisator vervul.



Figuur 4.1 Primêre metateseproduk van 1-okteen in die teenwoordigheid van die Grubbs 1-katalisator en die *in situ* sisteme,
 $\text{RuCl}_3 \cdot x\text{H}_2\text{O}/\text{EtOH}/\text{BDD}/\text{PCy}_3/\text{H}_2$ ($\text{Ru}:\text{PCy}_3:\text{BDD} = 1:2.5:10$,
 $[\text{Ru}] = 100 \text{ dpm}$).
(\triangle *in situ* 50°C \square *in situ* 80°C \blacktriangle Grubbs 25°C
 \blacklozenge Grubbs 60°C \blacksquare Grubbs 80°C)

Tydens die *in situ*-reaksie vind, soos met ander metatesereaksies, isomerisasie plaas met die gevoglike vorming van verskillende metateseprodukte. 'n Opsomming van die moontlike sekondêre produkte word in Tabel 4.1 getoon.³⁻⁵

Dit is bekend dat verskeie oorgangsmetaalkomplekse aktief vir alkeenisomerisasie is.^{1,6,7} Verskeie Ru-komplekse is aktief vir die isomerisasie van die dubbelbinding. Met Rukataliseerde metatesereaksies word isomerisasie dus as newereaksie verwag. Aangesien isomerisasie vanaf 1-okteen na 3-okteen en 4-okteen geskied via 2-okteen, sal 3-okteen en 4-okteen slegs in beduidende hoeveelhede vorm indien beduidende hoeveelhede 2-okteen in die reaksiemengsel voorkom. Beduidende hoeveelhede 2-okteen sal slegs voorkom indien isomerisasie plaasvind sonder dat die gevormde 2-okteen deur metatese uit die reaksiemengsel verwijder word. Dit sal gebeur indien metatese ophou terwyl isomerisasie nog plaasvind, of indien isomerisasie tesame met metatese plaasvind as kompeteerende reaksie en die isomer-

metatesekatalisatore word gevorm. Die totale aantal moontlike reaksies van die metatese van hepteen word hierin gegeen. Die totale aantal moontlike reaksies word gevorm deur die aantal moontlike reaksies van die primêre metatese en die aantal moontlike reaksies van die sekondêre metatese te sommeer.

Tabel 4.1 Moontlike reaksies van 1-okteen in die teenwoordigheid van metatesekatalisatore

Reaksie	Substrate	Produkte
1 Primêre metatese ^a		
Homometatese ^b	$C_7=C$	$C_7=C_7 + C=C$
2 Isomerisasie	$C_7=C$	$C_6=C_2$ $C_5=C_3$ $C_4=C_4$
3 Sekondêre metatese ^c		
Homometatese ^b	$C_m=C_n$ ^e	$C_m=C_m + C_n=C_n$
Kruismetatese ^d met isomerisasieprodukte	$C_7=C + C_6=C_2$	$C_7=C_6 + C_7=C_2 +$ $C_6=C + C_2=C$
	$C_7=C + C_5=C_3$	$C_7=C_5 + C_7=C_3 +$ $C_6=C + C_3=C$
	$C_7=C + C_4=C_4$	$C_7=C_4 + C_4=C$
Kruismetatese ^d van isomerisasieprodukte	$C_6=C_2 + C_5=C_3$	$C_2=C_3 + C_2=C_5 +$ $C_6=C_3 + C_6=C_5$
	$C_6=C_2 + C_4=C_4$	$C_2=C_4 + C_6=C_4$
	$C_5=C_3 + C_4=C_4$	$C_3=C_4 + C_5=C_4$

- a. Primêre metatese verwys na die vorming van die verlangde produkte 7-tetradesien en eteen (PMP = primêre metateseprodukte)
- b. Homometatese verwys na die metatesereaksie waarin alkene van dieselfde type met mekaar reageer.
- c. Sekondêre metatese verwys na die sekondêre metatesereaksies waarin al die alkene buiten 7-tetradesien tydens die reaksie gevorm word (SMP = sekondêre metateseprodukte).
- d. Kruismetatese verwys na die metatesereaksie waar alkene van verskillende tipes met mekaar reageer.
- e. $m + n = 8$

sasieresaksie vinnig genoeg plaasvind dat die 2-okteen nie dadelik deur die metateseresaksie

verbruik word nie. Kruismetatese van 1-okteen met 2-okteen sal lei tot die vorming van beduidende hoeveelhede 6-trideseen en propeen, en selfmetatese van 2-okteen sal lei tot die vorming van 6-dodeseen en 2-buteen.

Met die *in situ*-sisteem is deurgaans lae hoeveelhede sekondêre metateseprodukte (SMP's) gevorm. Van al die moontlike SMP's het slegs trideseen tot 'n voldoende mate gevorm om met die GC-analises bepaal te kon word. In die meeste gevalle het minder as 1% trideseen gevorm, en was die selektiwiteit van die metateseresaksie na 7-tetradeseen hoër as 98%. Die vorming van trideseen en die selektiwiteit word dus slegs getoon in die enkele gevalle waar dit 'n meer beduidende invloed op die resultate gehad het.

Die gedrag van die $\text{RuCl}_3 \cdot x\text{H}_2\text{O}/\text{EtOH}/\text{H}_2/\text{Alkyn}/\text{ligand}$ -katalisatorsisteem is ondersoek aan die hand van die volgende faktore:

- Die invloed van die tipe alkyn.
- Die invloed van die tipe fosfien.
- Die invloed van waterstofvlöei.
- Die invloed van die oplosmiddel gebruik vir $\text{RuCl}_3 \cdot x\text{H}_2\text{O}$, BDD en PCy_3 .

Die $\text{RuCl}_3 \cdot x\text{H}_2\text{O}/\text{EtOH}/\text{H}_2/\text{Alkyn}/\text{ligand}/\text{alkeen}$ -katalisatorsisteem is geoptimaliseer ten opsigte van 7-tetradesenvorming met PCy_3 as ligand aan die hand van die volgende reaksiekondisies:

- Die invloed van reaksietemperatuur.
- Die invloed van ruteniumkonsentrasie.
- Die invloed van die Ru: PCy_3 -verhouding.
- Die invloed van die Ru:BDD-verhouding.

Die $\text{RuCl}_3 \cdot x\text{H}_2\text{O}/\text{EtOH}/\text{H}_2/\text{Alkyn}/\text{ligand}/\text{alkeen}$ -katalisatorsisteem is geoptimaliseer ten opsigte van 7-tetradesenvorming met EP as ligand aan die hand van die volgende reaksiekondisies:

- Die invloed van reaksietemperatuur.
- Die invloed van ruteniumkonsentrasie.
- Die invloed van die Ru:EP-verhouding.
- Die invloed van die Ru:BDD-verhouding.

Die invloed van enkele bymiddels op die $\text{RuCl}_3 \cdot x\text{H}_2\text{O}/\text{EtOH}/\text{H}_2/\text{BDD}/\text{PCy}_3/1\text{-okteen}$ -katalisatorsisteem is bepaal ten einde enkele moontlike verbinding wat die metateseresaksie sal onderdruk te identifiseer. Aangesien verskeie oksigenate tydens Fischer-Tropsch-prosesse gevorm word en dus as onsuiwerhede in sodanige Fischer-Tropsch-snitte voorkom, is enkele

oksigenate as bymiddels bygevoeg ten einde te bepaal of hierdie oksigenate die katalisatorsisteem sal beïnvloed.

Volgens die gepubliseerde mechanismes^{5,12-14} vorm 'n metaalhidried as die eerste stap vir karbeenvorming. Aangesien Brønsted-sure as protodonors optree, is die sure by die *in situ*-katalisatorsisteem gevoeg ten einde vas te stel of die teenwoordigheid van hierdie protone die hidriedvorming tot so 'n mate kan bevoordeel dat dit tot 'n groter metatese-aktiwiteit sal lei.

Die bymiddels wat ondersoek is, was etielheksielvinieleter, bensokinoon, 2-oktenaal, water, 4-hekseen-3-on, 1,5-heksadieen, 4-tolueensulfoonsuur, metaansulfoonsuur, asynsuur, soutsuur en trifluoroasynsuur.

Aangesien vir die meeste reaksies slegs een datapunt na meer as 500 min reaksietyd bepaal is, en hierdie datapunt in die meeste gevalle oorengestem het met die datapunt by 500 min, is die resultate weergegee op 'n tydskaal van 0 – 500 min. In die geval van isomerisasie is die laaste datapunt beduidend, derhawe is isomerisasie op 'n tydskaal van 1 – 1400 min weergegee. In die enkele gevalle waar die laaste datapunt wel beduidend verskil het van die vorige datapunte, is hierdie uitsonderings in die teks gemeld.

4.2 Ondersoek na die faktore wat die *in situ*-reaksie beïnvloed

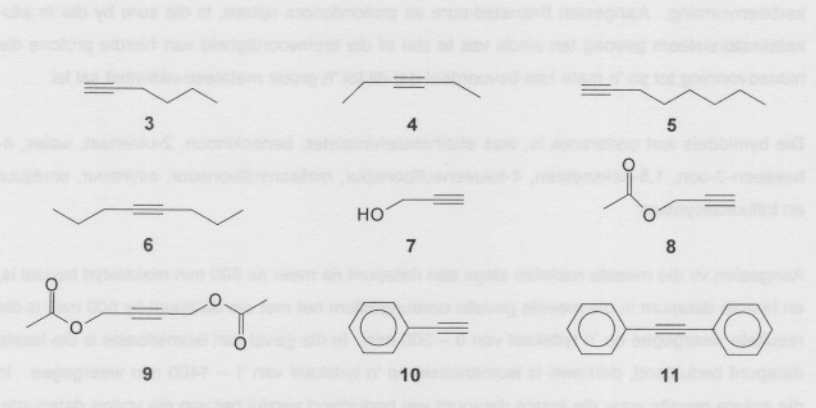
4.2.1 Die tipe alkyn

Volgens die mechanisme in die literatuur beskryf,^{2,7,8} is 'n alkyn nodig vir die vorming van die karbeen wat as prekatalisator optree. Die mechanisme soos beskryf toon dat 'n ongefunktionaliseerde, terminale alkyn ideaal behoort te wees vir hierdie reaksie,^{7,8} maar Nubel en Hunt¹ het gevind dat die dubbel-gefunktionaliseerde, simmetriese interne alkyn 2-butyn-1,4-dioldiasetaat (BDD) (9) die beste metatese-aktiwiteit gee. Caulton⁹ het met DFT-berekeninge die impak van die funksionalisering van die alkyn verduidelik, naamlik dat die elektronskenkende eienskappe van die funksionele groepe op die alkyn die tussenproduk stabiliseer, wat karbeenvorming aanhelp.

Ten einde die invloed van die tipe alkyn op die katalisatorsisteem te bepaal, is verskillende alkyne in metatesereaksies gebruik met PCy_3 as ligand. Die hoeveelheid Ru en PCy_3 is deurgaans konstant gehou en 'n molverhouding van Ru: PCy_3 :alkyn van 1:2.5:10 is gebruik. As ongefunktionaliseerde alkyne is 1-heksyn (3), 3-heksyn (4), 1-oktyn (5) en 4-oktyn (6) gekies. Alkyne met korter kettinglengtes is nie gebruik nie as gevolg van die lae kookpunte van hierdie alkyne. Die gefunktionaliseerde alkyne is sodanig gekies dat 'n interne alkyn gebruik is en 'n

terminale alkyn met 'n korter kettinglengte daarmee vergelyk is. Propargielalkohol is ook

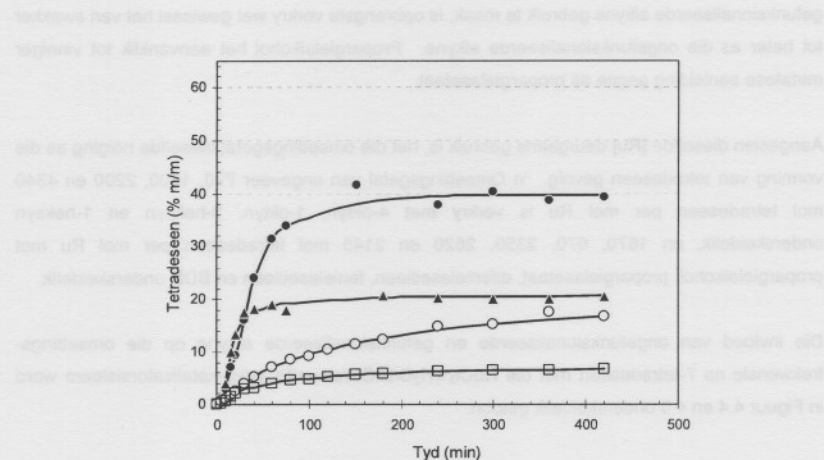
gebruik aangesien dit die alkohol is waaruit propargielasetaat berei is. Die gefunksionaliseerde alkyne wat gebruik is, was propargielalkohol (7), propargielasetaat (8), BDD (9), fenielasetileen (10), difenielasetileen (11).



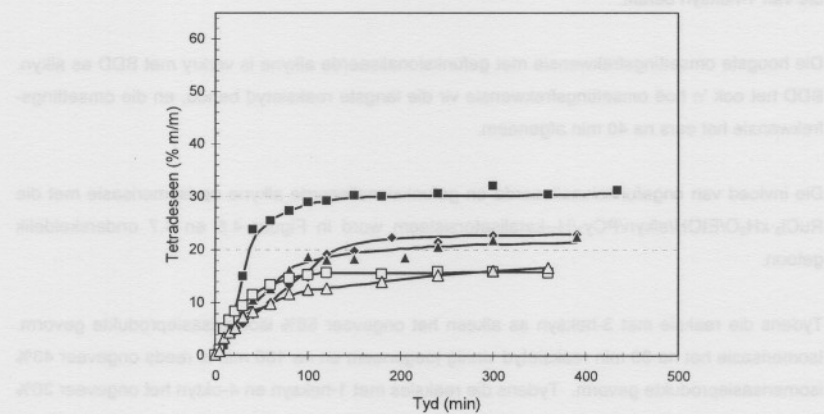
Die invloed van ongefunktionaliseerde en gefunktionaliseerde alkyne op die vorming van 7-tetradeseen word in Figuur 4.2 en 4.3 onderskeidelik getoon.

In die geval van ongefunktionaliseerde alkyne is die beste opbrengs van 7-tetradeseen met 1-heksyn verkry, gevvolg deur 3-heksyn, 1-oktyn en 4-oktyn. Van al die alkyne wat getoets is het BDD die tweede beste opbrengs van 7-tetradeseen gelewer. BDD is wel deurgaans as alkyn gebruik, behalwe wanneer anders vermeld. In die geval van gefunktionaliseerde alkyne is die beste opbrengs van 7-tetradeseen met BDD verkry, gevvolg deur fenielasetileen, difenielasetileen, propargielalkohol en propargielasetaat. Met BDD was die opbrengs van 7-tetradeseen bykans 10% hoër as met die ander gefunktionaliseerde alkyne. Verder het fenielasetileen en difenielasetileen bykans dieselfde opbrengs van 7-tetradeseen gelewer. Met propargielalkohol was ook dieselfde opbrengs 7-tetradeseen as met propargielasetaat verkry. Met BDD as alkyn was die opbrengs van 7-tetradeseen, naas dié verkry met 1-heksyn, die hoogste.

Die verskil tussen terminale en interne alkyne was groter vir die ongefunktionaliseerde alkyne as wat die geval was vir die gefunktionaliseerde alkyne. Die tipe funksionele groep het 'n beduidende invloed op die vorming van 7-tetradeseen gehad. Deur van verskillende



Figuur 4.2 Die invloed van ongefunksionaliseerde alkyne op die metatese van 1-octeen in die teenwoordigheid van die $\text{RuCl}_3 \cdot \text{xH}_2\text{O/EtOH}/\text{alkyn/PCy}_3/\text{H}_2$ -sisteem ($\text{Ru:PCy}_3:\text{alkyn} = 1:2.5:10$, $[\text{Ru}] = 100 \text{ dpm}$, $T = 80^\circ\text{C}$).
 (● 1-heksyn ▲ 3-heksyn ○ 1-oktyn □ 4-oktyn)



Figuur 4.3 Die invloed van gefunksionaliseerde alkyne op die metatese van 1-octeen in die teenwoordigheid van die $\text{RuCl}_3 \cdot \text{xH}_2\text{O/EtOH}/\text{alkyn/PCy}_3/\text{H}_2$ -sisteem ($\text{Ru:PCy}_3:\text{alkyn} = 1:2.5:10$, $[\text{Ru}] = 100 \text{ dpm}$, $T = 80^\circ\text{C}$).
 (■ BDD ♦ fenielasetileen ▲ difenielasetileen
 □ propargielalkohol △ propargielasetaat)

gefunksionaliseerde alkyne gebruik te maak, is opbrengste verkry wat gewissel het van swakker

tot beter as die ongefunksionaliseerde alkyne. Propargielalkohol het aanvanklik tot vinniger metatese aanleiding gegee as propargielasetaat.

Aangesien dieselfde [Ru] deurgaans gebruik is, het die omsettingsgetal dieselfde neiging as die vorming van tetradeseen gevolg. 'n Omsettingsgetal van ongeveer 770, 1800, 2200 en 4340 mol tetradeseen per mol Ru is verkry met 4-oktyn, 1-oktyn, 3-heksyn en 1-heksyn onderskeidelik, en 1670, 670, 2350, 2520 en 2145 mol tetradeseen per mol Ru met propargielalkohol, propargielasetaat, difenielasetileen, fenielasetileen en BDD onderskeidelik.

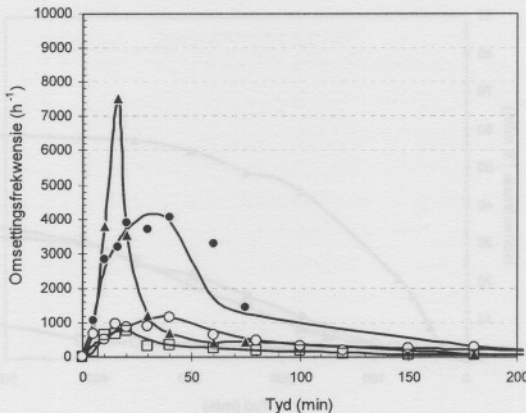
Die invloed van ongefunksionaliseerde en gefunksionaliseerde alkyne op die omsettingsfrekvensie na 7-tetradeseen met die $\text{RuCl}_3 \cdot x\text{H}_2\text{O}/\text{EtOH}/\text{alkyn}/\text{PCy}_3/\text{H}_2$ -katalisatorsisteem word in Figuur 4.4 en 4.5 onderskeidelik getoon.

Alkeenmetatese met 3-heksyn as alkyn het die hoogste omsettingsfrekvensie van die ongefunksionaliseerde alkyne getoon, maar die maksimum is reeds na 15 min bereik en het vinnig afgeneem. Alkeenmetatese met 1-heksyn as alkyn het 'n laer maksimum omsettingsfrekvensie bereik, maar die piek was breër en die maksimum is eers na 40 min bereik. Die ander ongefunksionaliseerde alkyne het omsettingsfrekvensies van minder as een-derde van dié van 1-heksyn bereik.

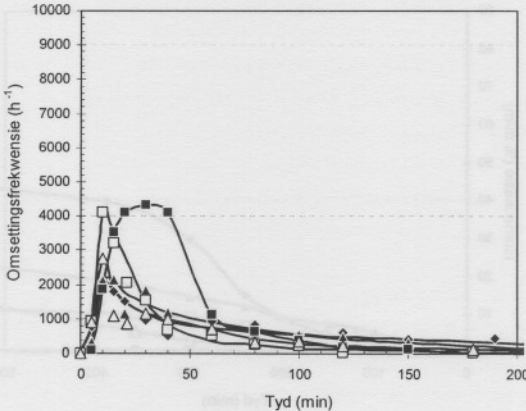
Die hoogste omsettingsfrekvensie met gefunksionaliseerde alkyne is verkry met BDD as alkyn. BDD het ook 'n hoë omsettingsfrekvensie vir die langste reaksietyd behou, en die omsettingsfrekvensie het eers na 40 min afgeneem.

Die invloed van ongefunksionaliseerde en gefunksionaliseerde alkyne op isomerisasie met die $\text{RuCl}_3 \cdot x\text{H}_2\text{O}/\text{EtOH}/\text{alkyn}/\text{PCy}_3/\text{H}_2$ -katalisatorsisteem word in Figuur 4.6 en 4.7 onderskeidelik getoon.

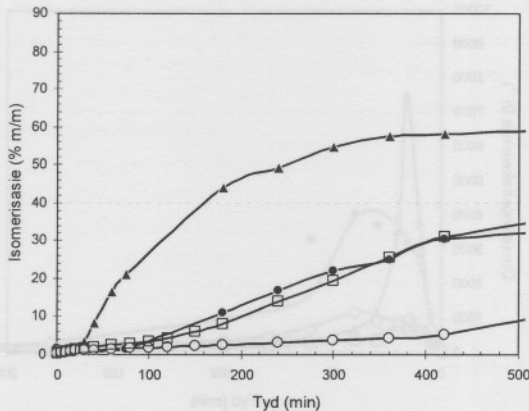
Tydens die reaksie met 3-heksyn as alkeen het ongeveer 58% isomerisasieprodukte gevorm. Isomerisasie het na 30 min reaksietyd vinnig toegeneem en na 180 min is reeds ongeveer 43% isomerisasieprodukte gevorm. Tydens die reaksies met 1-heksyn en 4-oktyn het ongeveer 30% isomerisasieprodukte gevorm. Vir die reaksie met 1-heksyn het isomerisasie na 80 min vinnig begin toeneem, terwyl dit vir die reaksie met 4-oktyn geleidelik begin toeneem het na 100 min reaksietyd. Vir die reaksie met 1-oktyn het isomerisasie bykans reglynig toegeneem vanaf ongeveer 0.9% na 10 min tot ongeveer 5.2% na 420 min.



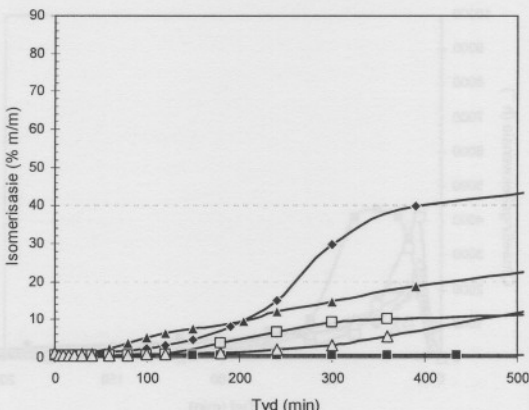
Figuur 4.4 Die invloed van die ongefunksionaliseerde alkyne op die omsettingsfrekvensie van 1-okteen in die teenwoordigheid van die $\text{RuCl}_3 \cdot x\text{H}_2\text{O}/\text{EtOH}/\text{alkyn}/\text{PCy}_3/\text{H}_2$ -sisteem ($\text{Ru}:\text{PCy}_3:\text{alkyn} = 1:2.5:10$, $[\text{Ru}] = 100 \text{ dpm}$, $T = 80^\circ\text{C}$).
 (● 1-heksyn ▲ 3-heksyn ○ 1-oktyn □ 4-oktyn)



Figuur 4.5 Die invloed van die gefunksionaliseerde alkyne op die omsettingsfrekvensie van 1-okteen in die teenwoordigheid van die $\text{RuCl}_3 \cdot x\text{H}_2\text{O}/\text{EtOH}/\text{alkyn}/\text{PCy}_3/\text{H}_2$ -sisteem ($\text{Ru}:\text{PCy}_3:\text{alkyn} = 1:2.5:10$, $[\text{Ru}] = 100 \text{ dpm}$, $T = 80^\circ\text{C}$).
 (■ BDD ◆ fenielasetileen ▲ difenielasetileen
 □ propargielalkohol △ propargielasetaat)



Figuur 4.6 Die invloed van die ongefunktionaliseerde alkyne op die isomerisasie van 1-okteen in die teenwoordigheid van die $\text{RuCl}_3 \cdot x\text{H}_2\text{O}/\text{EtOH}/\text{alkyn}/\text{PCy}_3/\text{H}_2$ -sisteem ($\text{Ru}:\text{PCy}_3:\text{alkyn} = 1:2.5:10$, $[\text{Ru}] = 100 \text{ dpm}$, $T = 80^\circ\text{C}$).
 (● 1-heksyn ▲ 3-heksyn ○ 1-oktyn □ 4-oktyn)



Figuur 4.7 Die invloed van die gefunktionaliseerde alkyne op die isomerisasie van 1-okteen in die teenwoordigheid van die $\text{RuCl}_3 \cdot x\text{H}_2\text{O}/\text{EtOH}/\text{alkyn}/\text{PCy}_3/\text{H}_2$ -sisteem ($\text{Ru}:\text{PCy}_3:\text{alkyn} = 1:2.5:10$, $[\text{Ru}] = 100 \text{ dpm}$, $T = 80^\circ\text{C}$).
 (■ BDD ◆ fenielasetileen ▲ difenielasetileen
 □ propargielalkohol △ propargielasetaat)

Tydens die reaksie met gefunksionaliseerde alkyne het ongeveer 0.5% isomerisasieprodukte binne die eerste 10 min reaksietyd gevorm. Tydens die reaksie met fenielasetileen as alkyn het ongeveer 39.8% isomerisasieprodukte gevorm en isomerisasie het geleidelik toegeneem met die reaksieverloop. Tydens die reaksie met difenielasetileen het isomerisasie bykans reglynig met tyd toegeneem vanaf ongeveer 2% na 60 min tot ongeveer 18.6% na 420 min. Reaksies met propargielalkohol en propargielasetaat as alkyne het ongeveer 10.6 en 5.4% isomerisasieprodukte onderskeidelik gevorm. Tydens die reaksie met BDD het die aanvanklike ongeveer 0.5% isomerisasieprodukte konstant gebly vir die totale verloop van die reaksie tot 420 min.

Die selektiwiteit van die metatesereaksies was hoog met al die alkyne gebruik, en het gewissel van ongeveer 97% vir 3-heksyn tot ongeveer 99.8% vir propargielalkohol, propargielasetaat en BDD. Die selektiwiteit wat gemeet is, was onderskeidelik ongeveer 99.2, 99.2, 98.5 en 97% vir 1-heksyn, 1-oktyn, 4-oktyn en 3-heksyn en ongeveer 99.8, 99.8, 98.6 en 98% vir propargielalkohol, propargielasetaat, BDD, difenielasetileen en fenielasetileen onderskeidelik.

Slegs geringe hoeveelhede trideseen is gevorm, naamlik 0.7, 0.4, 0.1 en 0.1% onderskeidelik vir die ongefunktionaliseerde alkyne 3-heksyn, 1-heksyn, 1-oktyn en 3-oktyn en ongeveer 0.5, 0.4, 0.05, 0.50 en 0.05% vir die gefunktionaliseerde alkyne difenielasetileen, fenielasetileen, propargielalkohol, propargielasetaat en BDD onderskeidelik.

Samevattend kan die tendense van die verskillende alkyne soos volg opgesom word:

- Die volgorde waarin die alkyn die vorming van trideseen verhoog het, was 1-heksyn > BDD > fenielasetileen > difenielasetileen = 3-heksyn = 1-oktyn > propargielalkohol = propargielasetaat > 4-oktyn.
- Die volgorde waarin die alkyn die maksimum omsettingsfrekwensies verhoog het, was 3-heksyn > BDD > propargielalkohol > 1-heksyn > propargielasetaat > fenielasetileen = difenielasetileen > 1-oktyn > 4-oktyn.
- Die volgorde waarin die alkyn die selektiwiteit van die metatesereaksie verhoog het, was propargielalkohol = BDD > propargielasetaat = 1-heksyn > fenielasetileen > 1-oktyn > 4-oktyn = 3-heksyn > difenielasetileen.
- Die volgorde waarin die alkyne die vorming van trideseen verhoog het, was 3-heksyn > difenielasetileen > fenielasetileen = 1-heksyn > 1-oktyn = 4-oktyn > propargielalkohol = propargielasetaat = BDD.

Tendense vir isomerisasie word nie hier aangetoon nie, aangesien die effek van die onderskeie alkyne op isomerisasie slegs gesien kan word deur die isomerisasieprofiële teen tyd te vergelyk

en absolute waardes min inligting bevat.

4.2.2 Die tipe fosfienligand

In die literatuur het Nubel en Hunt¹ gerapporteer dat verskillende fosfienligande ondersoek is vir die $\text{RuCl}_3 \cdot x\text{H}_2\text{O}/\text{EtOH}/\text{BDD}/\text{fosfien}/\text{H}_2$ -katalisatorsisteem. Daar is bevind dat nie alle ligande ewe geskik is vir alkeenmetatese nie. Tydens hierdie studie is die ondersoek na ander fosfienligande uitgebrei deur een van die ligande wat deur Nubel en Hunt gebruik is te ondersoek en saam met PCy_3 te vergelyk met enkele ligande wat bekend is vir hoë aktiwiteit in hidroformileringreaksies. Die ligande wat ondersoek is, was triisobutiefosfien, EP, Lim C18 en VCH. Laasgenoemde drie is tipiese hidroformileringligande, bestaande uit bisikliese fosfienligande met alifatiese groepe wat hoër molekulêre massa aan die ligande verleen.

Die vorming van 7-tetradeseen verkry met die verskillende ligande met die $\text{RuCl}_3 \cdot x\text{H}_2\text{O}/\text{EtOH}/\text{BDD}/\text{ligand}/\text{H}_2$ -katalisatorsisteem by 'n Ru:Ligand-molverhouding van 1:2.5 word in Figuur 4.8 getoon.

Vir die reaksietyd soos gemeet het slegs reaksies met die EP-ligand hoeveelhede 7-tetradeseen gevorm wat vergelykbaar was met reaksies met PCy_3 as ligand. Die reaksie met triisobutiefosfien as ligand het 3% tetradeseen gevorm en vinnige deaktivering getoon. Die reaksie met LimC18 het 'n lae opbrengs van 1.4% gehad na 1400 min. 'n Addisionele reeks eksperimente met 'n Ru:L-molverhouding van 1:10 het in al die gevalle behalwe LimC18 minder 7-tetradeseen gevorm as by 'n Ru:L verhouding van 1:2.5. Die reaksie met LimC18 en 'n Ru:L-verhouding van 1:10 het 4.7% 7-tetradeseen gevorm na 1400 min, maar slegs 0.1% na 360 min. Aangesien die reaksie soveel stadiger was as reaksies met PCy_3 en EP, en die inisiëring so stdig was, is dit nie verder met LimC18 as ligand ondersoek nie. Die reaksie met EP as ligand het 'n vergelykbare hoeveelheid 7-tetradeseen gevorm as die reaksie met PCy_3 as ligand.

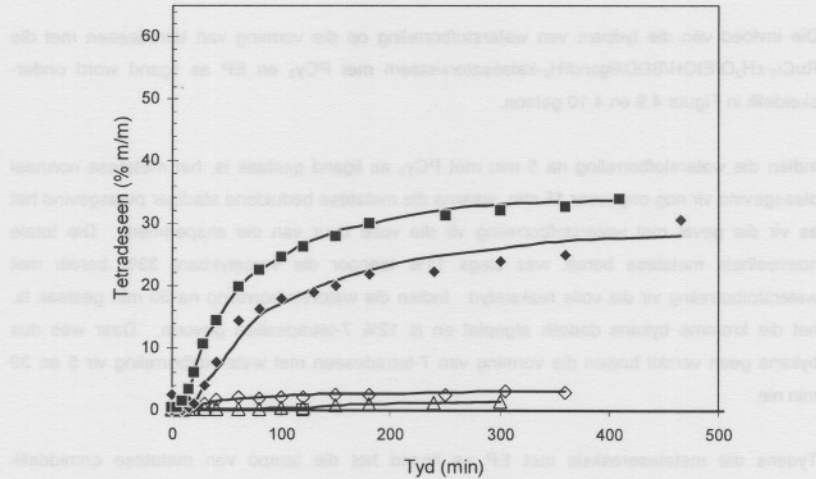
Die omsettingsgetalle en omsettingsfrekwensies was laag by die reaksies met al die ligande buiten EP en PCy_3 . Die maksimum omsettingsfrekwensie vir die reaksie met EP as ligand by 'n Ru:EP-molverhouding van 1:2.5 was ongeveer 1000 h^{-1} , en dié vir die reaksie met PiPr_3 as ligand was ongeveer 370 h^{-1} . Vir al die ander reaksies (met beide Ru:L-molverhoudings) was die maksimum omsettingsfrekwensies laer as 50 h^{-1} .

Die selektiwiteit was deurgaans hoog, behalwe in die geval waar EP as ligand gebruik is in 'n molverhouding van Ru:ligand = 1:10, waar die selektiwiteit gedaal het vanaf 99.3% na 100 min tot 88% na 1400 min. Hierdie lae selektiwiteit het gepaard gegaan met 'n lae 7-tetradeseen-

vorming (2.9%).

Minder as 0.1% trideseen het in al die gevalle gevorm. Tydens die metatesereaksie met $P(Pr)_3$ as ligand in 'n Ru:ligand-molverhouding van 1:2.5 het 3.6% isomerisasieprodukte gevorm, terwyl 1.3% isomerisasieprodukte gevorm het tydens die reaksie met 'n Ru:ligand-molverhouding van 1:10. Tydens die metatesereaksie met Lim C18 in 'n Ru:ligand-molverhouding van 1:10 het 18.5% isomerisasieprodukte gevorm. Laasgenoemde isomerisasie was laag tydens die eerste 360 min van die reaksie, en het hoofsaaklik gedurende die laaste 1040 min van die reaksie plaasgevind. Vir al die ander reaksies het minder as 1% isomerisasieprodukte gevorm.

Opsommend is die volgende neigings dus waargeneem: Die hoeveelhede 7-tetradeseen gevorm, sowel as die maksimum omsettingsfrekwensies het afgeneem in die volgorde $PCy_3 > EP > PPr_3 > Lim C18 \approx VCH$. Die selektiwiteit was deurgaans hoog, met minder as 0.1% trideseen gevorm. Isomerisasie was laag gedurende die eerste 360 min van al die reaksies.



Figuur 4.8 Die invloed van die verskillende ligande op die metatese van 1-octeen in die teenwoordigheid van die $RuCl_3 \cdot xH_2O/EtOH/BDD/ligand/H_2$ -sisteem (Ru:ligand: BDD = 1:2.5:10, [Ru] = 100 dpm, $T = 80^\circ C$).

(□ VCH ◇ PBu_3 △ Lim C18 ◆ EP ■ PCy_3)

4.2.3 Die invloed van waterstof

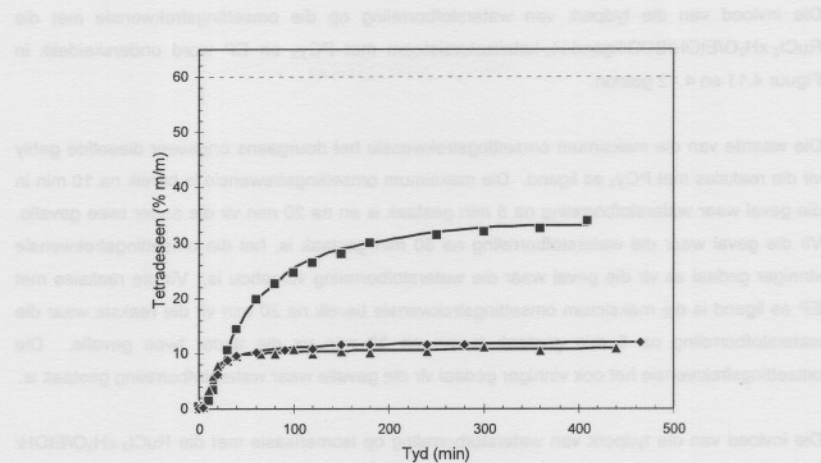
In die literatuur^{1,2} word gemeld dat waterstofgas kontinu tydens die metatesereaksie deur die reaksiemengsel geborrel is. Die rede hiervoor is dat die waterstof instrumenteel is in die vorming van die karbeen deur die vorming van 'n metaalhidried as tussenproduk te faciliteer.^{6,8} 'n Ondersoek is gedoen om te bepaal of hierdie borreling vir die volle verloop van die reaksie nodig is. Hierdie ondersoek kan lig werp op die meganisme vir die vorming van die katalisator, sowel as die tempo waarteen die katalisator *in situ* vorm. Vanuit vergelykende reaksies is gevind dat reaksies met die Grubbs-katalisator vinniger plaasgevind het en 'n hoër omsetting bereik is as wat die geval was met die ekwivalente *in situ*-sisteem. Dit is moontlik toe te skryf daarvan dat die vorming van die karbeen die tempobepalende stap in die *in situ*-sisteem is. Indien wel, sou dit beteken dat die karbeenvorming deurlopend plaasvind tydens die verloop van die reaksie.

Ten einde die invloed van die waterstofborreling te bepaal, is drie metatesereaksies met PCy₃ as ligand en drie met EP as ligand uitgevoer. Die reaksies is onderskeidelik uitgevoer deur die waterstofborreling na 5 min te staak, na 30 min te staak en vir die volle verloop van die reaksie waterstof te borrel.

Die invloed van die tydperk van waterstofborreling op die vorming van tetradeen met die RuCl₃·xH₂O/EtOH/BDD/ligand/H₂-katalisatorsisteem met PCy₃ en EP as ligand word onderskeidelik in Figuur 4.9 en 4.10 getoon.

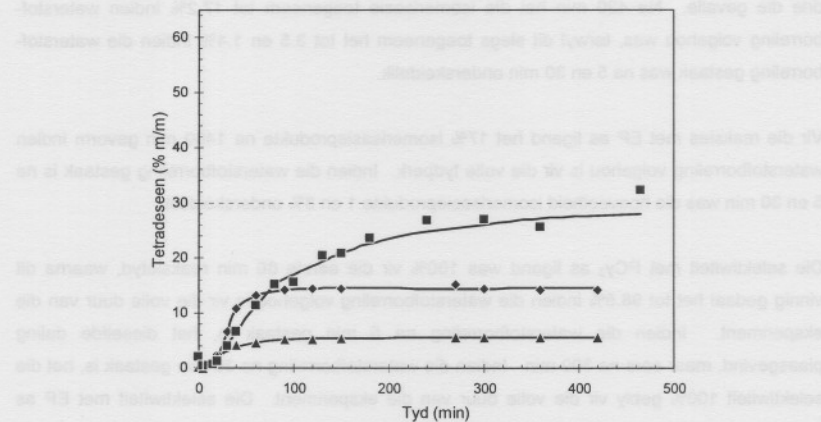
Indien die waterstofborreling na 5 min met PCy₃ as ligand gestaak is, het metatese normaal plaasgevind vir nog ongeveer 15 min, waarna die metatese beduidend stadiger plaasgevind het as vir die geval met waterstofborreling vir die volle duur van die eksperiment. Die totale hoeveelheid metatese bereik was slegs 11% teenoor die vergelykbare 33% bereik met waterstofborreling vir die volle reaksietyd. Indien die waterstofborreling na 30 min gestaak is, het die kromme bykans dadelik afgeplat en is 12% 7-tetradeen gevorm. Daar was dus bykans geen verskil tussen die vorming van 7-tetradeen met waterstofborreling vir 5 en 30 min nie.

Tydens die metatesereaksie met EP as ligand het die tempo van metatese onmiddellik afgeneem indien die waterstofborreling gestaak is. Indien die waterstofborreling na 5 min gestaak is, is slegs 5.5% 7-tetradeen gevorm. Indien die waterstofborreling na 30 min gestaak was, is 14.2% 7-tetradeen gevorm. Die effek van waterstofborreling was dus groter vir die reaksies met EP as ligand as vir die reaksies met PCy₃ as ligand.



Figuur 4.9 Die invloed van die tyd van waterstofborreling op die metatese van 1-okteen in die teenwoordigheid van die $\text{RuCl}_3 \cdot x\text{H}_2\text{O}/\text{EtOH}/\text{BDD}/\text{PCy}_3/\text{H}_2$ -sisteem ($\text{Ru:PCy}_3:\text{BDD} = 1:2.5:10$, $[\text{Ru}] = 100$ dpm, $T = 80^\circ\text{C}$).

(■ volle reaksietyd ◆ 30 min ▲ 5 min)



Figuur 4.10 Die invloed van die tyd van waterstofborreling op die metatese van 1-okteen in die teenwoordigheid van die $\text{RuCl}_3 \cdot x\text{H}_2\text{O}/\text{EtOH}/\text{BDD}/\text{EP}/\text{H}_2$ -sisteem ($\text{Ru:EP:BDD} = 1:2.5:10$, $[\text{Ru}] = 100$ dpm, $T = 80^\circ\text{C}$).

(■ volle reaksietyd ◆ 30 min ▲ 5 min)

Die invloed van die tydperk van waterstofborreling op die omsettingsfrekwensie met die

RuCl₃·xH₂O/EtOH/BDD/ligand/H₂-katalisatorsisteem met PCy₃ en EP word onderskeidelik in Figuur 4.11 en 4.12 getoon.

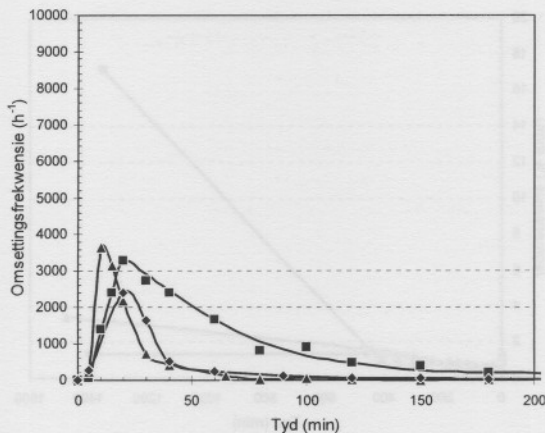
Die waarde van die maksimum omsettingsfrekwensie het deurgaans ongeveer dieselfde gebly vir die reaksies met PCy₃ as ligand. Die maksimum omsettingsfrewensijs is bereik na 10 min in die geval waar waterstofborreling na 5 min gestaak is en na 20 min vir die ander twee gevalle. Vir die geval waar die waterstofborreling na 30 min gestaak is, het die omsettingsfrekwensie vinniger gedaal as vir die geval waar die waterstofborreling volgehou is. Vir die reaksies met EP as ligand is die maksimum omsettingsfrekwensijs bereik na 20 min vir die reaksie waar die waterstofborreling na 5 min gestaak is, en na 30 min vir die ander twee gevalle. Die omsettingsfrekwensijs het ook vinniger gedaal vir die gevalle waar waterstofborreling gestaak is.

Die invloed van die tydperk van waterstofborreling op isomerisasie met die RuCl₃·xH₂O/EtOH/BDD/ligand/H₂-katalisatorsisteem met PCy₃ en EP word onderskeidelik in Figuur 4.13 en 4.14 getoon.

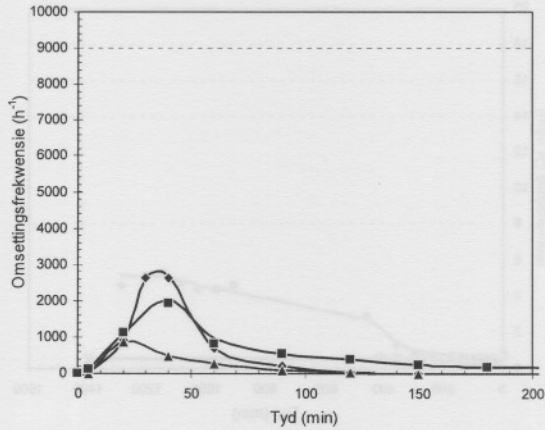
Die tydperk van waterstofborreling het min effek op isomerisasie gedurende die eerste 420 min van die reaksie met PCy₃ as ligand gehad. Die isomerisasie het ongeveer 1.3% bereik vir al drie die gevalle. Na 420 min het die isomerisasie toegeneem tot 17.2% indien waterstofborreling volgehou was, terwyl dit slegs toegeneem het tot 3.5 en 1.4% indien die waterstofborreling gestaak was na 5 en 30 min onderskeidelik.

Vir die reaksies met EP as ligand het 17% isomerisasieprodukte na 1400 min gevorm indien waterstofborreling volgehou is vir die volle tydperk. Indien die waterstofborreling gestaak is na 5 en 30 min was die hoeveelheid isomerisasieprodukte 1 en 3% onderskeidelik.

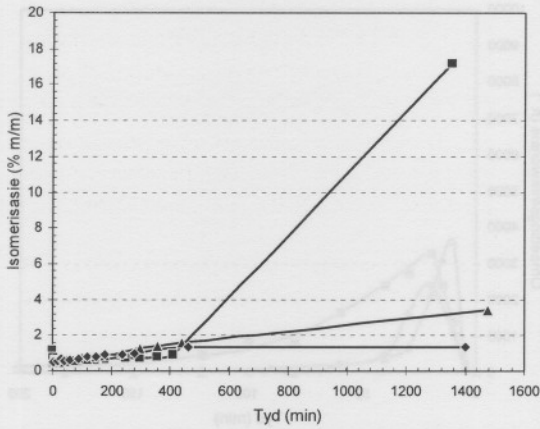
Die selektiwiteit met PCy₃ as ligand was 100% vir die eerste 60 min reaksietyd, waarna dit vinnig gedaal het tot 98.5% indien die waterstofborreling volgehou is vir die volle duur van die eksperiment. Indien die waterstofborreling na 5 min gestaak is, het dieselfde daling plaasgevind, maar eers na 300 min. Indien die waterstofborreling na 30 min gestaak is, het die selektiwiteit 100% gebly vir die volle duur van die eksperiment. Die selektiwiteit met EP as ligand was vir die eerste 90 min reaksietyd 100%, waarna dit vinnig gedaal het tot ongeveer 99.8% indien die waterstofborreling volgehou is vir 30 min of langer. Indien die waterstofborreling volgehou is vir die volle duur van die eksperiment, het die selektiwiteit verder tot 97% gedaal, terwyl dit konstant gebly het op 99.8% indien die waterstofborreling na 30 min gestaak is en 100% indien dit na 5 min gestaak is.



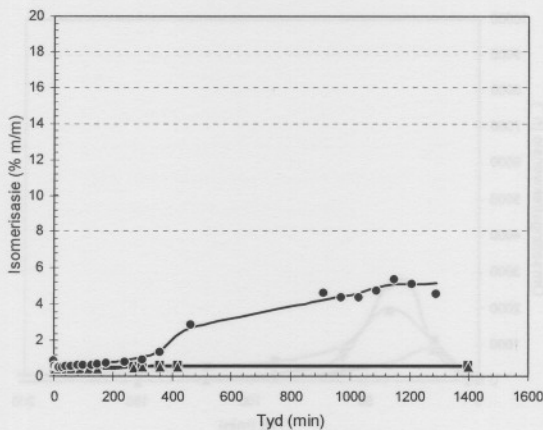
Figuur 4.11 Die invloed van die tyd van waterstofborreling op die omsettingsfrekvensie van 1-okteen in die teenwoordigheid van die $\text{RuCl}_3 \cdot x\text{H}_2\text{O}/\text{EtOH}/\text{BDD}/\text{PCy}_3/\text{H}_2$ -sisteem ($\text{Ru:PCy}_3:\text{BDD} = 1:2.5:10$, $[\text{Ru}] = 100 \text{ dpm}$, $T = 80^\circ\text{C}$).
 (■ volle reaksietyd ◆ 30 min ▲ 5 min)



Figuur 4.12 Die invloed van die tyd van waterstofborreling op die omsettingsfrekvensie van 1-okteen in die teenwoordigheid van die $\text{RuCl}_3 \cdot x\text{H}_2\text{O}/\text{EtOH}/\text{BDD}/\text{EP}/\text{H}_2$ -sisteem ($\text{Ru:EP:BDD} = 1:2.5:10$, $[\text{Ru}] = 100 \text{ dpm}$, $T = 80^\circ\text{C}$).
 (■ volle reaksietyd ◆ 30 min ▲ 5 min)



Figuur 4.13 Die invloed van die tyd van waterstofborreling op die isomerisasię van 1-okteen in die teenwoordigheid van die $\text{RuCl}_3 \cdot x\text{H}_2\text{O}/\text{EtOH}/\text{BDD}/\text{PCy}_3/\text{H}_2$ -sisteem ($\text{Ru:PCy}_3:\text{BDD} = 1:2.5:10$, $[\text{Ru}] = 100 \text{ dpm}$, $T = 80^\circ\text{C}$).
 (■ volle reaksietyd ◆ 30 min ▲ 5 min)



Figuur 4.14 Die invloed van die tyd van waterstofborreling op die isomerisasię van 1-okteen in die teenwoordigheid van die $\text{RuCl}_3 \cdot x\text{H}_2\text{O}/\text{EtOH}/\text{BDD}/\text{EP}/\text{H}_2$ -sisteem ($\text{Ru:EP:BDD} = 1:2.5:10$, $[\text{Ru}] = 100 \text{ dpm}$, $T = 80^\circ\text{C}$).
 (■ volle reaksietyd ◆ 30 min ▲ 5 min)

Die vorming van trideseen in reaksies met beide ligande was minder as 0.1% indien waterstofborreling nie vir die volle reaksieverloop volgehou is nie. Vir reaksies met PCy_3 as ligand is 0.1% trideseen gevorm en vir die reaksie met EP as ligand is 0.8% trideseen gevorm indien waterstofborreling vir die volle duur van die eksperiment volgehou is. In alle gevalle is minder as 0.1% trideseen gedurende die eerste 420 min van die reaksie gevorm.

Die effek van waterstofborreling op die katalisatorsisteem kan dus as volg opgesom word: Die metatese-aktiwiteit van die sisteem het voortgeduur vir 'n beperkte tyd indien die waterstofborreling gestaak is gedurende die reaksieverloop, maar het geleidelik tot minder metatese as wat die geval was met waterstofborreling gedurende die reaksieverloop. Hierdie verskynsel het ook geleidelik tot laer isomerisasie en hoër selektiwiteit indien die waterstofborreling gestaak was. Die grootte van die effek het verskil vir die twee ligande soos getoets.

4.2.4 Invloed van oplosmiddels

Die invloed van verskillende oplosmiddels is op die katalisatorsisteem bepaal. Uit die literatuur² is dit bekend dat die oplosmiddel vir $\text{RuCl}_3 \cdot x\text{H}_2\text{O}$ 'n invloed op die alkeenmetatesereaksie uitoefen. Dit word verder voorgestel dat hierdie oplosmiddels nie alleen as oplosmiddels optree nie, maar wel met die $\text{RuCl}_3 \cdot x\text{H}_2\text{O}$ reageer. Vir hierdie studie is gekyk na die invloed van EtOH en MeCOOH as oplosmiddels vir $\text{RuCl}_3 \cdot x\text{H}_2\text{O}$, asook die invloed van CHCl_3 en PhCl as oplosmiddel vir BDD en PCy_3 . Die resultaat was nodig om die effek van CHCl_3 as alternatief vir PhCl op die reaksiesisteem te bepaal aangesien CDCl_3 'n geskikte oplosmiddel vir KMR-studies is. Vanuit resultate verkry met 'n verwysingsreaksie wat verskeie kere uitgevoer is, is uit die herhaalbaarheid van die reaksie met dieselfde voorraadoplossings, sowel as vars opgemaakte voorraadoplossings, gevind dat die voorraadoplossings stadiig genoeg verouder het dat, alhoewel die kleur van die voorraadoplossing van $\text{RuCl}_3 \cdot x\text{H}_2\text{O}$ binne die eerste 2 dae effens verander het (meer bruin geword het), veroudering van voorraadoplossings nie 'n invloed op metatese gehad het nie. Voorraadoplossings kon oor 'n tydperk van so lank as 3 maande gebruik word. Die reaksies is uitgevoer met die onderstaande kombinasies van oplosmiddels:

- $\text{RuCl}_3 \cdot x\text{H}_2\text{O}$ opgelos in EtOH, BDD en PCy_3 opgelos in PhCl.
- $\text{RuCl}_3 \cdot x\text{H}_2\text{O}$ opgelos in EtOH, BDD en PCy_3 opgelos in CHCl_3 .
- $\text{RuCl}_3 \cdot x\text{H}_2\text{O}$ opgelos in MeCOOH, BDD en PCy_3 opgelos in PhCl.
- $\text{RuCl}_3 \cdot x\text{H}_2\text{O}$ opgelos in MeCOOH, BDD en PCy_3 opgelos in CHCl_3 .

Omdat die oplosmiddeleffekte ook ondersoek is met die oog op KMR-analises, is hierdie reaksies by 'n konsentrasie van 1250 dpm PCy_3 , wat hoog genoeg is vir sinvolle ^{31}P -KMR-analises, uitgevoer. Die reaksies is dus by 500 dpm Ru, 80 °C en 'n kontinue waterstofvloei

uitgevoer met 'n Ru:PCy:BDD-molverhouding van 1:2.5:10. Dieselfde konsentrasies is vir al die

oplosmiddels gebruik en geen addisionele oplosmiddel is by die reaksiemengsel gevoeg nie.

Die invloed van die verskillende oplosmiddelkombinasies op die vorming van 7-tetradeseen met die $\text{RuCl}_3 \cdot x\text{H}_2\text{O}$ /oplosmiddel/BDD/PCy₃/H₂-katalisatorsisteem word in Figuur 4.15 getoon.

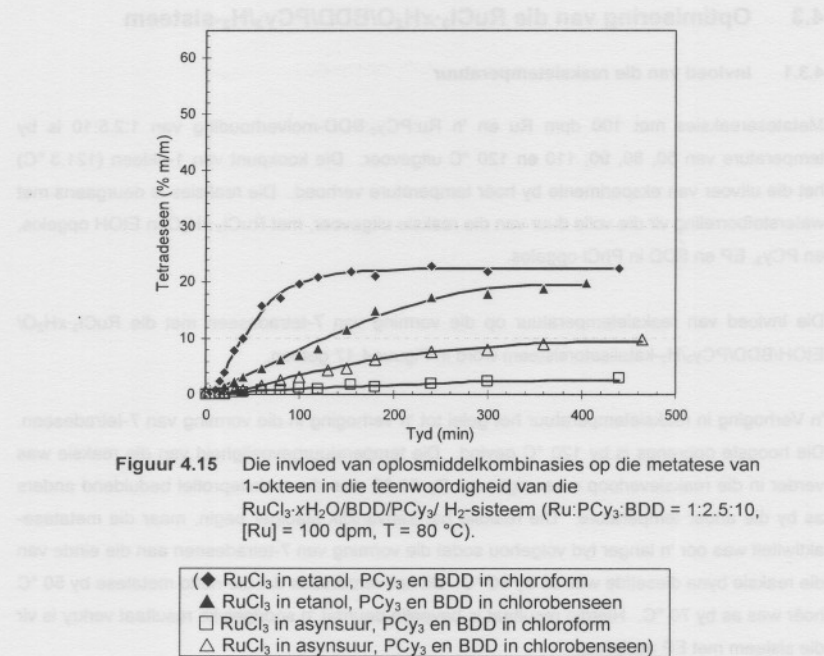
Vir hierdie eksperimente is van gesuiwerde 1-okteen vanaf 'n Fischer-Tropsch-bron gebruik gemaak. Hierdie 1-okteen was minder suiever as die 1-okteen afkomstig vanaf eteenoligomerisasieprosesse. Die resultate verkry met hierdie 1-okteen verskil van ooreenstemmende resultate met 1-okteen vanaf Aldrich. Die waardes verkry met hierdie "Fischer-Tropsch" 1-okteen kan dus nie direk met die ander data vergelyk word nie, maar die resultate van hierdie reeks eksperimente is wel onderling vergelykbaar. Die grootste onsuwerheid in die "Fischer-Tropsch" 1-okteen is met 'n GC as 2-okteen bepaal. Oksigenate kon moontlik ook voorkom.

Metatesreaksies met CHCl₃ as oplosmiddel vir die alkyn en ligand het aanleiding gegee tot die vorming van meer 7-tetradeseen as wat die geval was met PhCl as oplosmiddel. Metatesreaksies met MeCOOH as oplosmiddel vir $\text{RuCl}_3 \cdot x\text{H}_2\text{O}$ was stadiger as die reaksies met EtOH as oplosmiddel vir $\text{RuCl}_3 \cdot x\text{H}_2\text{O}$, en minder 7-tetradeseen is gevorm.

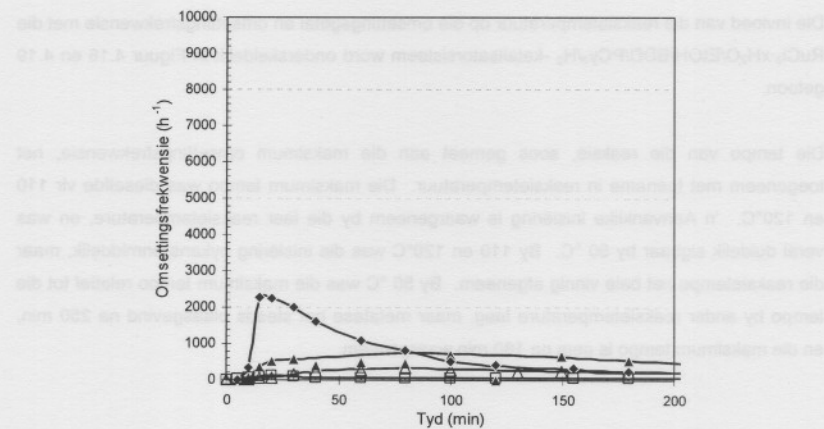
Die invloed van die verskillende oplosmiddelkombinasies op die omsettingsfrekwensie met die $\text{RuCl}_3 \cdot x\text{H}_2\text{O}$ /oplosmiddel/BDD/PCy₃/H₂-katalisatorsisteem word in Figuur 4.16 getoon.

Die reaksie met $\text{RuCl}_3 \cdot x\text{H}_2\text{O}$ opgelos in EtOH, en BDD en PCy₃ opgelos in CHCl₃ het die hoogste omsettingsfrekwensie getoon, gevvolg deur die reaksie met $\text{RuCl}_3 \cdot x\text{H}_2\text{O}$ opgelos in EtOH, en BDD en PCy₃ opgelos in PhCl. Die omsettingsfrekwensie vir die $\text{RuCl}_3 \cdot x\text{H}_2\text{O}$ opgelos in MeCOOH, en BDD en PCy₃ opgelos in PhCl was hoër as dié vir $\text{RuCl}_3 \cdot x\text{H}_2\text{O}$ opgelos in MeCOOH, en BDD en PCy₃ opgelos in CHCl₃. Beide hierdie omsettingsfrekwensies was laag in verhouding tot die reaksies met $\text{RuCl}_3 \cdot x\text{H}_2\text{O}$ $\text{RuCl}_3 \cdot x\text{H}_2\text{O}$ opgelos in EtOH.

Die verskillende oplosmiddelkombinasies het tot bykans dieselfde hoeveelheid isomerisasie met die $\text{RuCl}_3 \cdot x\text{H}_2\text{O}$ /oplosmiddel/BDD/PCy₃/H₂-katalisatorsisteem geleei. Die selektiwiteit van al die reaksies met die onderskeie oplosmiddels was hoër as 99.3% Trideseenvorming was in alle gevalle minder as 0.06%



Figuur 4.15 Die invloed van oplosmiddelkombinasies op die metatese van 1-okeen in die teenwoordigheid van die RuCl₃·xH₂O/BDD/PCy₃/H₂-sisteem (Ru:PCy₃:BDD = 1:2.5:10, [Ru] = 100 dpm, T = 80 °C).



Figuur 4.16 Die invloed van oplosmiddelkombinasies op die omsettingsfrekvensie van 1-okeen in die teenwoordigheid van die RuCl₃·xH₂O/BDD/PCy₃/H₂-sisteem (Ru:PCy₃:BDD = 1:2.5:10, [Ru] = 100 dpm, T = 80 °C).

4.3 Optimisering van die $\text{RuCl}_3 \cdot x\text{H}_2\text{O}/\text{BDD}/\text{PCy}_3/\text{H}_2$ -sisteem

4.3.1 Invloed van die reaksietemperatuur

Metatesereaksies met 100 dpm Ru en 'n Ru:PCy₃:BDD-molverhouding van 1:2.5:10 is by temperature van 50, 80, 90, 110 en 120 °C uitgevoer. Die kookpunt van 1-okteen (121.3 °C) het die uitvoer van eksperimente by hoër temperature verhoed. Die reaksies is deurgaans met waterstofborrelig vir die volle duur van die reaksie uitgevoer, met $\text{RuCl}_3 \cdot x\text{H}_2\text{O}$ in EtOH opgelos, en PCy₃, EP en BDD in PhCl opgelos.

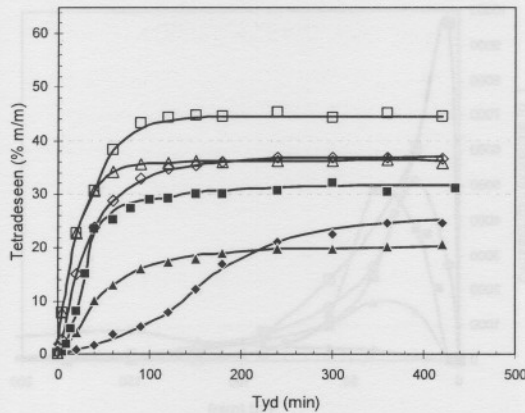
Die invloed van reaksietemperatuur op die vorming van 7-tetradeseen met die $\text{RuCl}_3 \cdot x\text{H}_2\text{O}/\text{EtOH}/\text{BDD}/\text{PCy}_3/\text{H}_2$ -katalisatorsisteem word in Figuur 4.17 getoon.

'n Verhoging in reaksietemperatuur het geleei tot 'n verhoging in die vorming van 7-tetradeseen. Die hoogste opbrengs is by 120 °C gevind. Die temperatuurgevoeligheid van die reaksie was verder in die reaksieverloop meer sigbaar. By 50 °C was die reaksieprofiel beduidend anders as by die ander temperature. Die reaksie het aanvanklik stadiger begin, maar die metateseaktiwiteit was oor 'n langer tyd volgehou sodat die vorming van 7-tetradeseen aan die einde van die reaksie byna dieselfde was as by 80 °C. Dit het veroorsaak dat die netto metatese by 50 °C hoër was as by 70 °C. Hierdie resultaat is bevestig deurdat 'n soortgelyke resultaat verkry is vir die sisteem met EP as ligand.

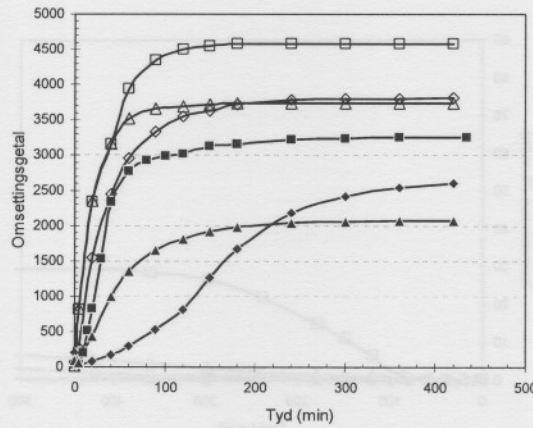
Die invloed van die reaksietemperatuur op die omsettingsgetal en omsettingsfrekwensie met die $\text{RuCl}_3 \cdot x\text{H}_2\text{O}/\text{EtOH}/\text{BDD}/\text{PCy}_3/\text{H}_2$ -katalisatorsisteem word onderskeidelik in Figuur 4.18 en 4.19 getoon.

Die tempo van die reaksie, soos gemeet aan die maksimum omsettingsfrekwensie, het toegeneem met toename in reaksietemperatuur. Die maksimum tempo was dieselfde vir 110 en 120°C. 'n Aanvanklike inisiëring is waargeneem by die laer reaksietemperature, en was veral duidelik sigbaar by 50 °C. By 110 en 120°C was die inisiëring bykans onmiddelik, maar die reaksietempo het baie vinnig afgeneem. By 50 °C was die maksimum tempo relatief tot die tempo by ander reaksietemperature laag, maar metatese het steeds plaasgevind na 250 min, en die maksimum tempo is eers na 180 min waargeneem.

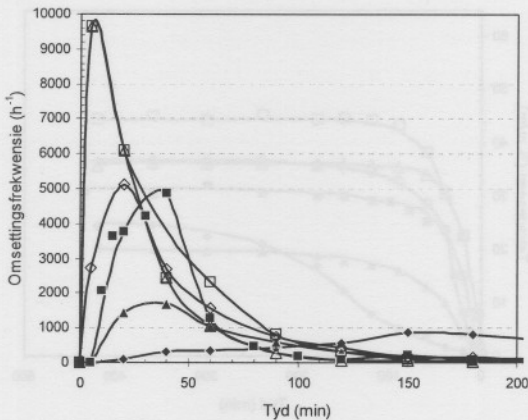
$$\begin{aligned} & \text{metatese sif op enige temperatuur moet nes bekoms sif } 27.2 \text{ mg/g}^2 \\ & \text{sif nes diegoekomost sif nes metate-1 nes ekwale-} \\ & \text{07-8.21 \times 005 \times 10^6 \text{ mg/g}^2 \text{ metate-1} / (27.2 \times 10^6) \text{ sif nes } 0.21 \times [0.07] \\ & [0.21 \times 7 \text{ mg/g}^2 \text{ sif nes } 0.21 \times [0.07]] \end{aligned}$$



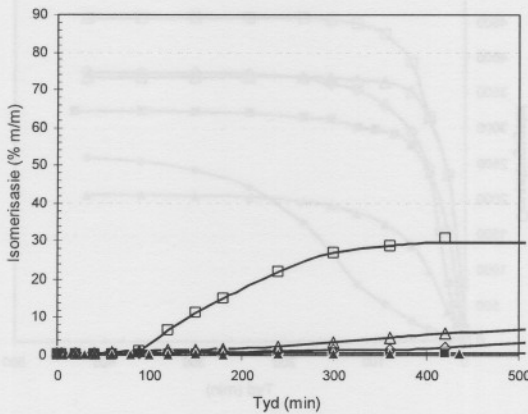
Figuur 4.17 Die invloed van die reaksietemperatuur op die metatese van 1-
okteen in die teenwoordigheid van die $\text{RuCl}_3 \cdot \text{xH}_2\text{O}/\text{EtOH}/\text{BDD}/$
 PCy_3/H_2 -sisteem ($\text{Ru:PCy}_3:\text{BDD} = 1:2.5:10$, $[\text{Ru}] = 100 \text{ dpm}$).
(◆ 50 °C ▲ 70 °C ■ 80 °C ◇ 90 °C △ 110 °C □ 120 °C)



Figuur 4.18 Die invloed van die reaksietemperatuur op die omsettingsgetal van
1-
okteen in die teenwoordigheid van die $\text{RuCl}_3 \cdot \text{xH}_2\text{O}/\text{EtOH}/\text{BDD}/$
 PCy_3/H_2 -sisteem ($\text{Ru:PCy}_3:\text{BDD} = 1:2.5:10$, $[\text{Ru}] = 100 \text{ dpm}$).
(◆ 50 °C ▲ 70 °C ■ 80 °C ◇ 90 °C △ 110 °C □ 120 °C)



Figuur 4.19 Die invloed van die reaksietemperatuur op die omsettingsfrekwensie van 1-okteen in die teenwoordigheid van die $\text{RuCl}_3 \cdot x\text{H}_2\text{O}/\text{EtOH}/\text{BDD}/\text{PCy}_3/\text{H}_2$ -sisteem ($\text{Ru:PCy}_3:\text{BDD} = 1:2.5:10$, $[\text{Ru}] = 100 \text{ dpm}$).
(◆ 50 °C ▲ 70 °C ■ 80 °C ◇ 90 °C △ 110 °C □ 120 °C)



Figuur 4.20 Die invloed van die reaksietemperatuur op die isomerisasie van 1-okteen in die teenwoordigheid van die $\text{RuCl}_3 \cdot x\text{H}_2\text{O}/\text{EtOH}/\text{BDD}/\text{PCy}_3/\text{H}_2$ -sisteem ($\text{Ru:PCy}_3:\text{BDD} = 1:2.5:10$, $[\text{Ru}] = 100 \text{ dpm}$).
(◆ 50 °C ▲ 70 °C ■ 80 °C ◇ 90 °C △ 110 °C □ 120 °C)

Die invloed van die reaksietemperatuur op isomerisasie met die $\text{RuCl}_3 \cdot x\text{H}_2\text{O}/\text{EtOH/BDD/PCy}_3/\text{H}_2$ -katalisatorsisteem word in Figuur 4.20 getoon.

Isomerisasie was gering by reaksietemperature tot 80 °C en ongeveer 0.5% isomerisasieprodukte is waargeneem aan die einde van die reaksie. By hoër reaksietemperature het isomerisasie sterk toegeneem, en is ongeveer 15.3% isomerisasieprodukte by 90 en 110 °C gevorm. By 120 °C is ongeveer 29.4% isomerisasieprodukte gevorm. Beduidende isomerisasie het veral na 60 min reaksietyd plaasgevind.

Die selektiwiteit het afgeneem met 'n toename in reaksietemperatuur en het gewissel tussen 99.5 en 100%. Die vorming van trideseen het toegeneem met 'n verhoging in reaksietemperatuur. By 120 °C is egter slegs 0.2% trideseen gevorm, en by die ander temperature minder as 0.1% trideseen.

Die invloed van temperatuur op die $\text{RuCl}_3 \cdot x\text{H}_2\text{O}/\text{EtOH/BDD/PCy}_3/\text{H}_2$ -katalisatorsisteem kan as volg opgesom word. Die hoeveelheid 7-tetradeen gevorm het toegeneem met 'n toename in reaksietemperatuur, met 'n gepaardgaande verhoging in die tempo van metatese, isomerisasie van 1-okteen en vorming van trideseen. Die tydperk waarvoor metatese waargeneem is, het afgeneem met 'n verhoging in temperatuur, terwyl die selektiwiteit min verander het met temperatuur.

4.3.2 Invloed van die [Ru]

Die invloed van [Ru] op die $\text{RuCl}_3 \cdot x\text{H}_2\text{O}/\text{EtOH/BDD/PCy}_3/\text{H}_2$ -katalisatorsisteem is ondersoek deur die hoeveelheid Ru te varieer met 'n konstante Ru:ligand:BDD-molverhouding van 1:2.5:10 by 80 °C. Die invloed van [Ru] op die katalisatorsisteem is ondersoek deur beide PCy₃ en EP as ligand te gebruik. Die resultate verkry met PCy₃ as ligand word eerste bespreek, gevolg deur die resultate met EP.

Die invloed van die [Ru] op die vorming van 7-tetradeen met die $\text{RuCl}_3 \cdot x\text{H}_2\text{O}/\text{EtOH/BDD/PCy}_3/\text{H}_2$ -katalisatorsisteem word in Figuur 4.21 getoon.

Die vorming van 7-tetradeen het toegeneem met toename in [Ru]. Hierdie toename het verminder namate die [Ru] na meer as 200 dpm Ru verhoog is, en die 7-tetradeen/Ru-konsentrasiekromme het meer beduidend afgeplat indien die konsentrasie verder vanaf 500 na 1380 dpm verhoog is.

Die invloed van [Ru] op die omsettingsgetal met die $\text{RuCl}_3 \cdot x\text{H}_2\text{O}/\text{EtOH}/\text{BDD}/\text{PCy}_3/\text{H}_2$ -katalisatorsisteem word in Figuur 4.22 getoon.

Die omsettingsgetal toon die katalitiese effektiwiteit van die katalisatorsisteem in terme van effektiewe metaalgebruik. 'n Beduidend hoér effektiwiteit is bereik met 15 dpm Ru, waar 4200 mol 7-tetradesen per mol Ru verkry is. By 1386 dpm Ru is slegs 250 mol 7-tetradesen per mol Ru verkry. Die laer konsentrasie was dus 16 keer meer effektiief in terme van ruteniummetaalverbruik.

Die invloed van [Ru] op die omsettingsfrekwensie met die $\text{RuCl}_3 \cdot x\text{H}_2\text{O}/\text{EtOH}/\text{BDD}/\text{PCy}_3/\text{H}_2$ -katalisatorsisteem word in Figuur 4.23 getoon.

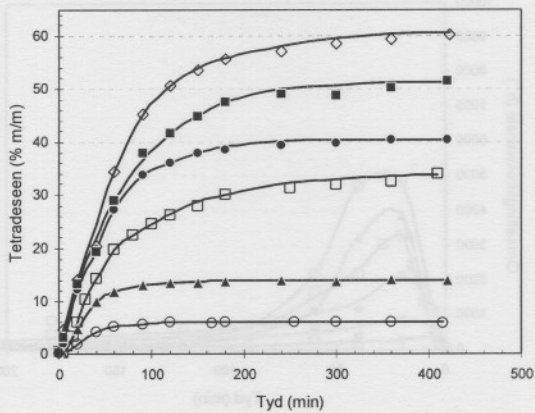
Die tempo van die metatesreaksie is ook konsentrasie-afhanklik. Die hoogste omsettingsfrekwensie is gevind by 'n lae [Ru]. Indien die konsentrasie verhoog is het die omsettingsfrekwensie afgeneem. Die maksimum omsettingsfrekwensies gemitteel by 15, 50, 100, 200, 500 en 1380 dpm was onderskeidelik 5000, 4000, 3300, 2100, 845 en 400 h^{-1} .

Die invloed van [Ru] op isomerisasie met die $\text{RuCl}_3 \cdot x\text{H}_2\text{O}/\text{EtOH}/\text{BDD}/\text{PCy}_3/\text{H}_2$ -katalisatorsisteem word in Figuur 4.24 getoon.

Beduidende isomerisasie het plaasgevind by [Ru] hoér as 100 dpm. Die grootste mate van isomerisasie is by 200 dpm Ru gevind. By 500 dpm Ru was die aanvanklike isomerisasie meer, maar die totale hoeveelheid isomerisasieprodukte was minder as by 200 dpm Ru. By 100 dpm Ru was die totale metatese en isomerisasie 50.7%. By 200 dpm Ru sowel as 500 dpm Ru was die totale isomerisasie en metatese 71%. By 1380 dpm Ru was die totale isomerisasie minder as by 500 dpm Ru met die totale isomerisasie en metatese 69.2%. Die totale isomerisasie en metatese het dus 'n maksimumwaarde van ongeveer 70% bereik. Indien meer metatese plaasvind het, was daar 'n ooreenstemmende verlaging in isomerisasie.

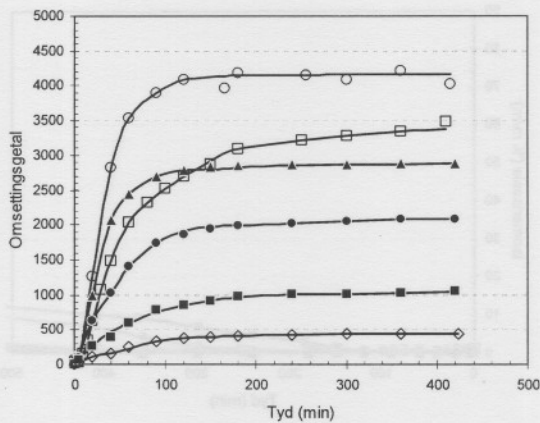
Die isomerisasie na 420 min en 1400 min was soos volg:

[Ru]/dpm	% na 420 min	% na 1400 min
15	0.87	1.7
50	0.55	1.1
100	0.92	17.19
200	7.19	31.5
500	9.13	21.8
1380	1.13	8.14



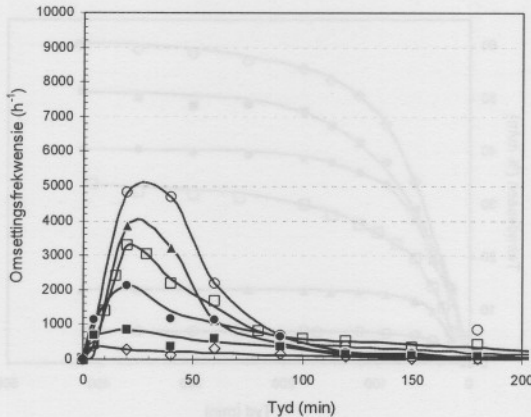
Figuur 4.21 Die invloed van die [Ru] op die metatese van 1-okteen in die teenwoordigheid van die $\text{RuCl}_3 \cdot x\text{H}_2\text{O}/\text{EtOH}/\text{BDD}/\text{PCy}_3/\text{H}_2^-$ -sisteem ($\text{Ru:PCy}_3:\text{BDD} = 1:2.5:10$, $T = 80^\circ\text{C}$).

(○ 15 dpm ▲ 50 dpm □ 100 dpm ● 200 dpm ■ 500 dpm
◇ 1380 dpm)

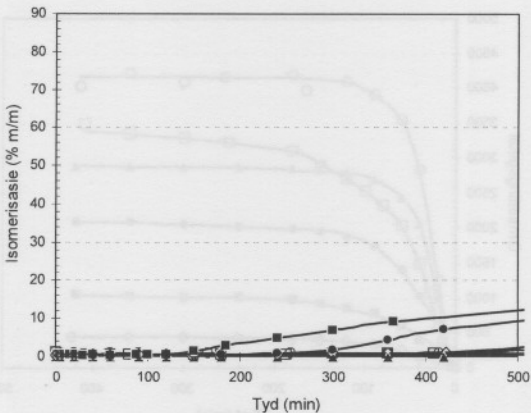


Figuur 4.22 Die invloed van die [Ru] op die omsettingsgetal van 1-okteen in die teenwoordigheid van die $\text{RuCl}_3 \cdot x\text{H}_2\text{O}/\text{EtOH}/\text{BDD}/\text{PCy}_3/\text{H}_2^-$ -sisteem ($\text{Ru:PCy}_3:\text{BDD} = 1:2.5:10$, $T = 80^\circ\text{C}$).

(○ 15 dpm ▲ 50 dpm □ 100 dpm ● 200 dpm ■ 500 dpm
◇ 1380 dpm)



Figuur 4.23 Die invloed van die [Ru] op die omsettingsfrekwensie van 1-okteen in die teenwoordigheid van die $\text{RuCl}_3 \cdot x\text{H}_2\text{O}/\text{EtOH}/\text{BDD}/\text{PCy}_3/\text{H}_2$ -sisteem ($\text{Ru:PCy}_3:\text{BDD} = 1:2.5:10$, $T = 80^\circ\text{C}$).
 (○ 15 dpm ▲ 50 dpm □ 100 dpm ● 200 dpm ■ 500 dpm
 ◇ 1380 dpm)



Figuur 4.24 Die invloed van die [Ru] op die isomerisasie van 1-okteen in die teenwoordigheid van die $\text{RuCl}_3 \cdot x\text{H}_2\text{O}/\text{EtOH}/\text{BDD}/\text{PCy}_3/\text{H}_2$ -sisteem ($\text{Ru:PCy}_3:\text{BDD} = 1:2.5:10$, $T = 80^\circ\text{C}$).
 (○ 15 dpm ▲ 50 dpm □ 100 dpm ● 200 dpm ■ 500 dpm
 ◇ 1380 dpm)

Die invloed van [Ru] op die $\text{RuCl}_3 \cdot x\text{H}_2\text{O}/\text{EtOH}/\text{BDD}/\text{PCy}_3/\text{H}_2$ -katalisatorsisteem kan dus as volg opgesom word: Die vorming van 7-tetradeseen het toegeneem met 'n toename in [Ru], maar die toename was nie reglynig nie. Die omsettingsgetal en omsettingsfrekwensie het afgeneem met 'n toename in [Ru]. Isomerisasie het ook toegeneem met 'n toename in [Ru], veral indien die [Ru] hoër as 100 dpm en die reaksietyd langer as 420 min was.

Die metatese-aktiwiteit van die reaksie het normaalweg binne 400 min opgehou. Gedurende hierdie tyd was daar min invloed van die [Ru] op selektiwiteit en was die selektiwiteit in alle gevalle hoër as 99.7%. In die geval van 200 dpm Ru het die selektiwiteit oornag tot 99.3% afgeneem.

Na 400 min reaksietyd was die hoeveelheid trideseen direk afhanglik van die [Ru]. Die grootste hoeveelheid trideseen, naamlik 0.16%, het gevorm met 1380 dpm Ru. Die vorming van trideseen by 'n konsentrasie van 200 dpm Ru het oorengestem met die hoë mate van isomerisasie wat by hierdie konsentrasie gevind is. Die grafiek vir die vorming van trideseen teen reaksietyd het ongeveer dieselfde vorm gehad as die grafiek vir die vorming van tetradeseen teen reaksietyd (kyk Figuur 4.21).

4.3.3 Invloed van die Ru:PCy₃-molverhouding

Vir die Grubbs-katalisator (1) word die metatesekatalisator vanuit die bis-fosfienkarbeen gevorm wanneer een fosfienligand vanaf die metaalkern dissosieer^{1,2,7} om 'n beskikbare koördinasie-punt vir alkeenkoördinasie te lewer. In hierdie toestand vind deaktivering van die metatesekatalisator ook plaas deurdat 'n metatese-onaktiewe metaalverbinding vorm in plaas daarvan dat die volgende katalytiese siklus binnegegaan word.^{10,11} Deur 'n groter hoeveelheid ligand in die reaksiemengsel teenwoordig te hê, sal hierdie dissosiasie teengewerk word, maar indien te veel ligand teenwoordig is, kan die metatesereaksie sodanig vertraag word dat 'n laer opbrengs verkry word alvorens die katalisator gedeaktivéer het. Verder duï die reaksietempo van die *in situ*-sisteem relatief tot die Grubbs-katalisator daarop dat die vorming van die katalisator die tempobepalende reaksie is. Daar is dus altyd meer ligand teenoor katalisator teenwoordig as wat aangedui word deur die oorspronklike metaal:ligand-molverhouding. Die verhouding op enige gegewe tydstip van die reaksieverloop is dus onbekend, en slegs die oorkoepelende effek is waargeneem.

Die reaksies om die effek van die Ru:PCy₃-molverhouding te ondersoek is uitgevoer by 100 dpm Ru, 80 °C en met 'n vaste Ru:BDD-molverhouding van 1:10. Die Ru:PCy₃-molverhoudings ondersoek is, was 1:10, 1:6, 1:4, 1:3, 1:2.5, 1:1 en 1:0.5.

Die invloed van die Ru:PCy₃-molverhouding op die vorming van 7-tetradeseen met die RuCl₃·xH₂O/EtOH/BDD/PCy₃/H₂-katalisatorsisteem word in Figuur 4.25 getoon.

'n Verhoging in die hoeveelheid ligand relatief tot ruteniummetaal het tot 'n verhoging in die vorming van 7-tetradeseen tot by Ru:PCy₃ = 1:4 gelei. 'n Verdere verhoging in die PCy₃-inhoud het nie tot 'n verdere verhoging in die vorming van 7-tetradeseen gelei nie.

Die invloed van die Ru:PCy₃-molverhouding op die omsettingsgetal en omsettingsfrekwensie met die RuCl₃·xH₂O/EtOH/BDD/PCy₃/H₂-katalisatorsisteem word onderskeidelik in Figuur 4.26 en 4.27 getoon.

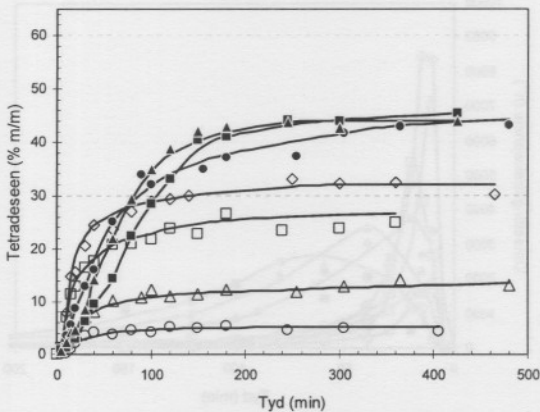
Die omsettingsfrekwensie het 'n maksimum by 'n Ru:PCy₃-molverhouding van 1:3 bereik. 'n Verdere verhoging in hierdie verhouding het geleei tot 'n afname in die maksimum frekwensie, wat egter na bereiking daarvan stadiger afgeneem het. Die maksimum omsettingsfrekwensie is reeds na ongeveer 10 min met 'n Ru:PCy₃-molverhouding van 1:2.5 bereik, terwyl dit met groter ligandhoeveelhede later in die reaksie bereik is. By 'n verhouding van 1:10 is die maksimum omsettingsfrekwensie na 40 min bereik.

Die invloed van die Ru:PCy₃-molverhouding op isomerisasie met die RuCl₃·xH₂O/EtOH/BDD/PCy₃/H₂-katalisatorsisteem word in Figuur 4.28 getoon.

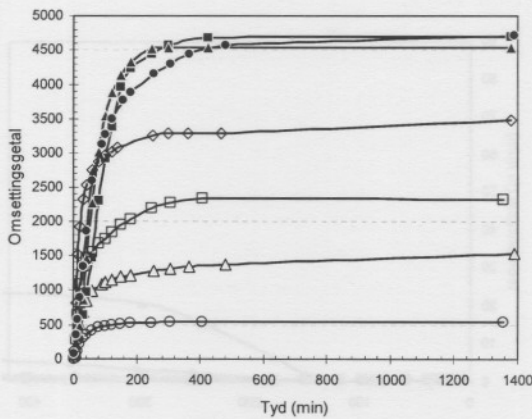
'n Toename in ligand relatief tot die metaal het tot 'n groter mate van isomerisasie van die 1-olsteen na 2-olsteen, 3-olsteen en 4-olsteen gelei. Die meeste isomerisasie het binne die eerste 420 min plaasgevind. Die hoeveelheid isomerisasie was soos volg:

Ru:PCy ₃	% na 420 min	% na 1400 min
1:0.5	0.61	0.68
1:1	0.87	1.56
1:2.5	1.38	2.46
1:3	1.13	1.68
1:4	4.57	8.41
1:6	0.59	1.81
1:10	23.4	27.4

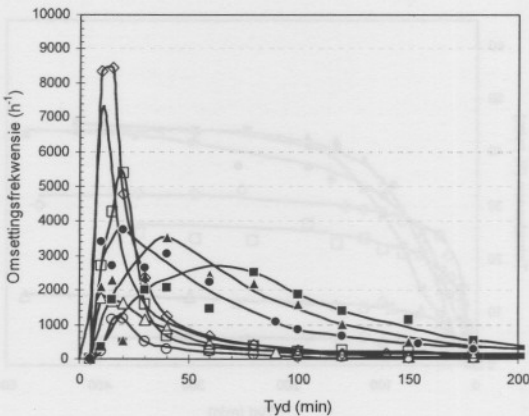
Die selektiwiteit van die reaksie het afgeneem met 'n toename in die hoeveelheid ligand. Die laagste selektiwiteit bereik was 99.7%, met 'n Ru:L-molverhouding van 1:10. Die vorming van trideseen het ooreengestem met die isomerisasie. Die hoeveelheid trideseen gevorm was laag, met 0.14% as die hoogste waarde vir 'n Ru:L-molverhouding van 1:10.



Figuur 4.25 Die invloed van die Ru:PCy₃-molverhouding op die metatiese van 1-okteen in die teenwoordigheid van die RuCl₃:xH₂O/EtOH/BDD/PCy₃/H₂-sisteem (Ru:BDD = 1:10, [Ru] = 100 dpm, T = 80 °C).
 (○ 1:0.5 △ 1:1 ◇ 1:2.5 □ 1:3 ● 1:4 ■ 1:6 ▲ 1:10)

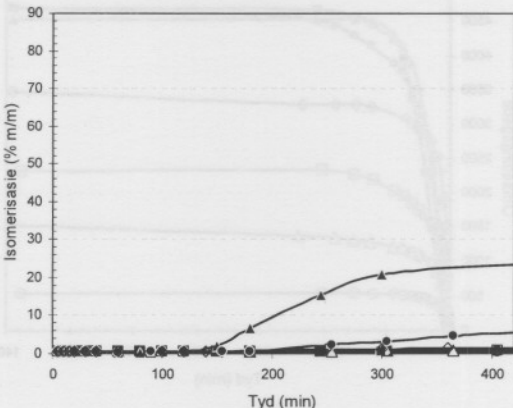


Figuur 4.26 Die invloed van die Ru:PCy₃-molverhouding op die omsettingsgetal van 1-okteen in die teenwoordigheid van die RuCl₃:xH₂O/EtOH/BDD/PCy₃/H₂-sisteem (Ru:BDD = 1:10, [Ru] = 100 dpm, T = 80 °C).
 (○ 1:0.5 △ 1:1 ◇ 1:2.5 □ 1:3 ● 1:4 ■ 1:6 ▲ 1:10)



Figuur 4.27 Die invloed van die Ru:PCy₃-molverhouding op die omsettingsfrekwensie van 1-okteen in die teenwoordigheid van die RuCl₃·xH₂O/EtOH/BDD/PCy₃/H₂-sisteem (Ru:BDD = 1:10, [Ru] = 100 dpm, T = 80 °C).

(○ 1:0.5 △ 1:1 ◇ 1:2.5 □ 1:3 ● 1:4 ■ 1:6 ▲ 1:10)



Figuur 4.28 Die invloed van die Ru:PCy₃-molverhouding op die isomerisasie van 1-okteen in die teenwoordigheid van die RuCl₃·xH₂O/EtOH/BDD/PCy₃/H₂-sisteem (Ru:BDD = 1:10, [Ru] = 100 dpm, T = 80 °C).

(○ 1:0.5 △ 1:1 ◇ 1:2.5 □ 1:3 ● 1:4 ■ 1:6 ▲ 1:10)

Die invloed van die Ru:PCy₃-verhouding op die RuCl₃:xH₂O/EtOH/BDD/PCy₃/H₂-katalisatorsisteem kan dus as volg opgesom word: Die maksimum hoeveelheid 7-tetradeseen is by Ru:PCy₃ = 1:4 gevorm, en die maksimum omsettingsfrekwensie is by Ru:PCy₃ = 1:3 na ongeveer 10 min bereik. 'n Verhoging in die hoeveelheid ligand het geleid tot 'n kleiner maksimum omsettingsfrekwensie, met 'n gepaardgaande langer tydperk van metatese-aktiwiteit asook meer isomerisasie van 1-okteen. Die selektiwiteit het afgeneem met 'n toename in ligandinhou, maar was steeds hoog.

4.3.4 Invloed van die Ru:BDD-molverhouding

Die effek van die metaal:alkynverhouding is bepaal deur die hoeveelheid alkyn (BDD) te varieer teenoor 'n vaste hoeveelheid metaal en ligand. Vanweë die gepubliseerde^{1,2} sukses van BDD as alkyn, in hierdie studie bevestig, is die metaal:alkyn-molverhouding getoets met BDD as alkyn en PCy₃ as ligand. Die Ru:BDD-molverhouding is gevareer tussen 1:0 en 1:20, terwyl die Ru:PCy₃-molverhouding konstant gehou is op 1:2.5. Al die reaksies is uitgevoer met 100 dpm Ru en by 80 °C.

Die invloed van die Ru:BDD-molverhouding op die vorming van 7-tetradeseen met die RuCl₃:xH₂O/EtOH/BDD/PCy₃/H₂-katalisatorsisteem word in Figuur 4.29 getoon.

Die Ru:BDD-molverhouding het 'n beduidende invloed op die vorming van 7-tetradeseen gehad. Indien die Ru:BDD-molverhouding verhoog is vanaf 1:0 tot 1:5, is 'n verhoging in die vorming van 7-tetradeseen gevind. Indien die verhouding verhoog is tot 1:20 het die vorming van 7-tetradeseen verminder. Die invloed van die Ru:BDD-verhouding op die vorming van 7-tetradeseen was klein gedurende die eerste 20 min reaksietyd, maar het 'n maksimumwaarde getoond by 'n verhouding van 1:5 na 420 min.

Die invloed van die Ru:BDD-molverhouding op die omsettingsgetal en die omsettingsfrekwensie met die RuCl₃:xH₂O/EtOH/BDD/PCy₃/H₂-katalisatorsisteem word onderskeidelik in Figuur 4.30 en 4.31 getoon.

Die omsettingsfrekwensie van die reaksie sonder BDD het 'n maksimumwaarde van ongeveer 3900h⁻¹ bereik na 10 min, waarna dit vinnig afgeneem het. Die maksimum omsettingsfrekwensies is na 60 min vir die verhouding 1:5 bereik (ongeveer 2700 min⁻¹), en na 20 min vir verhoudings van 1:10 (ongeveer 2900) en 1:20 (ongeveer 2700) bereik. Met BDD het die frekwensies stadiger afgeneem as in die afwesigheid daarvan, en met 'n Ru:BDD-molverhouding van 1:10 het die omsettingsfrekwensie die stadiest afgeneem.

Die invloed van die Ru:BDD-molverhouding op die isomerisasie met die $\text{RuCl}_3 \cdot x\text{H}_2\text{O}/\text{EtOH}/\text{BDD/PCy}_3/\text{H}_2$ -katalisatorsisteem word in Figuur 4.32 getoon.

Die reaksie sonder BDD het die meeste isomerisasie gelewer, 67.9% van die 1-okteen is geisoemeriseer. Dit het meegebring dat 78% van die 1-okteen gereageer het. Met 'n Ru:BDD-molverhouding van 1:5, 1:10 en 1:20 was die isomerisasie onderskeidelik 10.0, 0.4 en 1.6%.

Die invloed van die Ru:BDD-molverhouding op die metatese-selektiwiteit met die $\text{RuCl}_3 \cdot x\text{H}_2\text{O}/\text{EtOH}/\text{BDD/PCy}_3/\text{H}_2$ -katalisatorsisteem word in Figuur 4.33 getoon.

Sonder BDD was die selektiwiteit na tetradeseen 95%. Die selektiwiteite vir Ru:BDD-molverhoudings van 1:5, 1:10 en 1:20 was onderskeidelik 99.7, 99.8 en 99.8%.

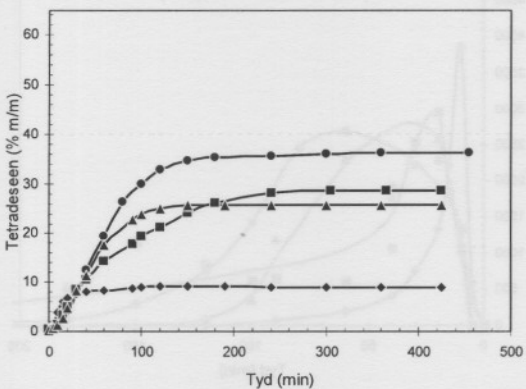
Die invloed van die Ru:BDD-molverhouding op die vorming van trideseen met die $\text{RuCl}_3 \cdot x\text{H}_2\text{O}/\text{EtOH}/\text{BDD/PCy}_3/\text{H}_2$ -katalisatorsisteem word in Figuur 4.34 getoon.

Die vorming van trideseen het afgeneem met 'n toename in die hoeveelheid BDD in die reaksiemengsel. Die hoeveelheid trideseen gevorm by Ru:BDD-verhoudings van 1:0, 1:5, 1:10 en 1:20 was onderskeidelik 0.59, 0.13, 0.03 en 0.04%.

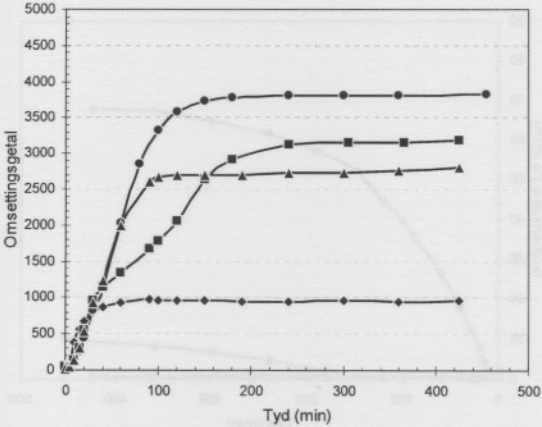
Die invloed van die Ru:BDD-molverhouding op die hoeveelheid BDD teenwoordig in die reaksiemengsel op 'n gegewe tydstip met die $\text{RuCl}_3 \cdot x\text{H}_2\text{O}/\text{EtOH}/\text{BDD/PCy}_3/\text{H}_2$ -katalisatorsisteem word in Figuur 4.35 getoon.

Die tempo waarmee die BDD in die reaksiemengsel minder geword het, was ongeveer dieselfde vir al die reaksies. Met 'n Ru:BDD-molverhouding van 1:5 het die hoeveelheid BDD afgeneem tot 0 na ongeveer 150 min. Met die hoër BDD-verhoudings het die hoeveelheid BDD tot aan die einde van die reaksie na 450 min nog afgeneem. Die afname in BDD het dus langer aangehou as wat die katalisatorsisteem metatese-aktief was, soos in Figuur 4.29 getoon.

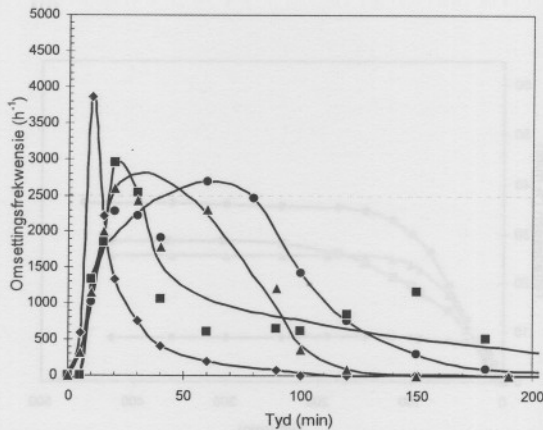
Die invloed van die Ru:BDD-molverhouding op $\text{RuCl}_3 \cdot x\text{H}_2\text{O}/\text{EtOH}/\text{BDD/PCy}_3/\text{H}_2$ -katalisatorsisteem kan dus as volg opgesom word: Die hoeveelheid 7-tetradeen gevorm het 'n maksimum bereik by 'n Ru:BDD-verhouding van 1:5, en het effens afgeneem met 'n verdere verhoging in die hoeveelheid BDD. Die maksimum omsettingsfrekwensies was ongeveer dieselfde vir al die Ru:BDD-verhoudings, maar is vinniger bereik met groter hoeveelhede BDD teenwoordig. 'n Toename in die hoeveelheid BDD het tot 'n verlaging in isomerisasie en trideseenvorming geleid. Die BDD is teen dieselfde tempo verbruik vir al die verhoudings soos getoets.



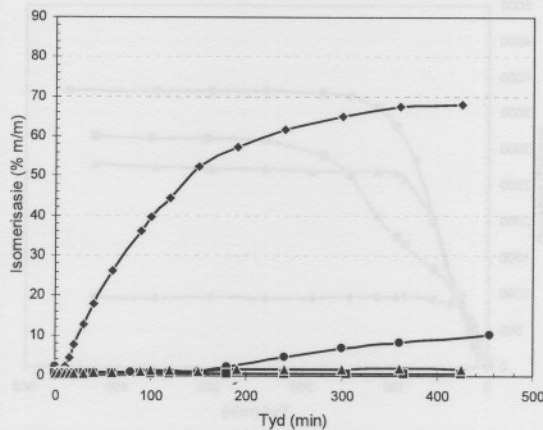
Figuur 4.29 Die invloed van die Ru:BDD-molverhouding op die metatese van 1-okeen in die teenwoordigheid van die $\text{RuCl}_3 \cdot x\text{H}_2\text{O}/\text{EtOH}/\text{BDD}/\text{PCy}_3/\text{H}_2$ -sisteem ($\text{Ru:PCy}_3 = 1:2.5$, $[\text{Ru}] = 100 \text{ dpm}$, $T = 80^\circ\text{C}$).
 (◆ 1:0 ● 1:5 ■ 1:10 ▲ 1:20)



Figuur 4.30 Die invloed van die Ru:BDD-molverhouding op die omsettingsgetal van 1-okeen in die teenwoordigheid van die $\text{RuCl}_3 \cdot x\text{H}_2\text{O}/\text{EtOH}/\text{BDD}/\text{PCy}_3/\text{H}_2$ -sisteem ($\text{Ru:PCy}_3 = 1:2.5$, $[\text{Ru}] = 100 \text{ dpm}$, $T = 80^\circ\text{C}$).
 (◆ 1:0 ● 1:5 ■ 1:10 ▲ 1:20)



Figuur 4.31 Die invloed van die Ru:BDD-molverhouding op die omsettingsfrekwensie van 1-okteen in die teenwoordigheid van die $\text{RuCl}_3 \cdot x\text{H}_2\text{O}/\text{EtOH}/\text{BDD}/\text{PCy}_3/\text{H}_2$ -sisteem ($\text{Ru:PCy}_3 = 1:2.5$, $[\text{Ru}] = 100 \text{ dpm}$, $T = 80^\circ\text{C}$).
 (◆ 1:0 ● 1:5 ■ 1:10 ▲ 1:20)



Figuur 4.32 Die invloed van die Ru:BDD-molverhouding op die isomerisasie van 1-okteen in die teenwoordigheid van die $\text{RuCl}_3 \cdot x\text{H}_2\text{O}/\text{EtOH}/\text{BDD}/\text{PCy}_3/\text{H}_2$ -sisteem ($\text{Ru:PCy}_3 = 1:2.5$, $[\text{Ru}] = 100 \text{ dpm}$, $T = 80^\circ\text{C}$).
 (◆ 1:0 ● 1:5 ■ 1:10 ▲ 1:20)

4.4 Optimisering van die $\text{RuCl}_3 \cdot x\text{H}_2\text{O}/\text{EtOH}/\text{BDD}/\text{EP}/\text{H}_2$ -sisteem

4.4.1 Invloed van die reaksietemperatuur

Reaksies met 100 dpm Ru en 'n Ru:EP:BDD-molverhouding van 1:2.5:10 is by temperature van 50, 70, 80, 90 en 110 °C uitgevoer.

Die invloed van die reaksietemperatuur op die vorming van 7-tetradeen met die $\text{RuCl}_3 \cdot x\text{H}_2\text{O}/\text{EtOH}/\text{BDD}/\text{EP}/\text{H}_2$ -katalisatorsisteem word in Figuur 4.36 getoon.

'n Verhoging in reaksietemperatuur het, net soos in die geval waar PCy_3 as ligand gebruik is, geleid tot 'n verhoging in die vorming van 7-tetradeen. Die hoogste opbrengs van 7-tetradeen is by 110 °C gevind. Die hoeveelheid 7-tetradeen gevorm by die onderskeie reaksietemperature vergelyk goed met die waardes verkry met PCy_3 as ligand. Al die opbrengste van 7-tetradeen het steeds opwaarts geneig aan die einde van die reaksieverloop, veral by temperature < 70 °C. Dit dui daarop dat 'n mate van metateseaktiwiteit steeds aan die einde van die onderskeie reaksies teenwoordig was.

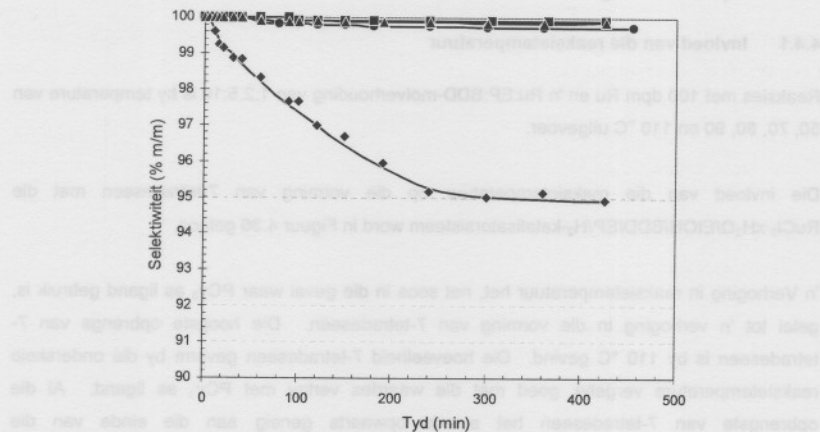
Die invloed van die reaksietemperatuur op die omsettingsfrekwensie met die $\text{RuCl}_3 \cdot x\text{H}_2\text{O}/\text{EtOH}/\text{BDD}/\text{EP}/\text{H}_2$ -katalisatorsisteem word in Figuur 4.37 getoon.

'n Lae maksimum omsettingsfrekwensie van 1000 h^{-1} is by 40 °C waargeneem. By 50 °C het hierdie waarde gestyg na 4900 h^{-1} , by 80 °C was dit 13500 h^{-1} en by 110 °C was dit $17\ 800 \text{ h}^{-1}$. Die omsettingsfrekwensie het vinniger gedaal by die hoër temperature en na 120 min was die omsettingsfrekwensie hoër by 50 °C as by 110 °C.

Die invloed van die reaksietemperatuur op die isomerisasie met die $\text{RuCl}_3 \cdot x\text{H}_2\text{O}/\text{EtOH}/\text{BDD}/\text{EP}/\text{H}_2$ -katalisatorsisteem word in Figuur 4.38 getoon.

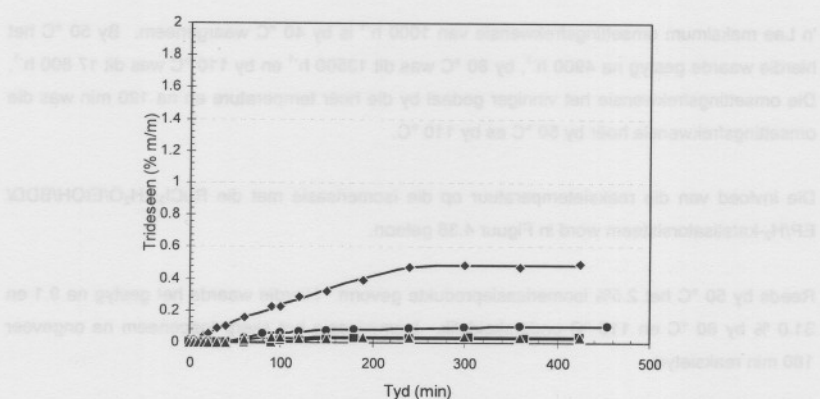
Reeds by 50 °C het 2.5% isomerisasieprodukte gevorm. Hierdie waarde het gestyg na 9.1 en 31.0 % by 80 °C en 110 °C onderskeidelik. Isomerisasie het skerp toegeneem na ongeveer 180 min reaksietyd.

Die selektiwiteit van die reaksies het effens afgeneem met 'n toename in temperatuur. By 110 °C was die selektiwiteit steeds 98.8%. Die selektiwiteit het vinnig 'n minimumwaarde bereik en het nie verder afgeneem met verlengde reaksietye nie, maar was reeds laer as die selektiwiteit verkry met PCy_3 as ligand. Minder as 0.1% trideseen het gevorm by temperature < 80 °C. By 110 °C het meer trideseen gevorm (0.4%) as vir die vergelykende reaksie met PCy_3 .



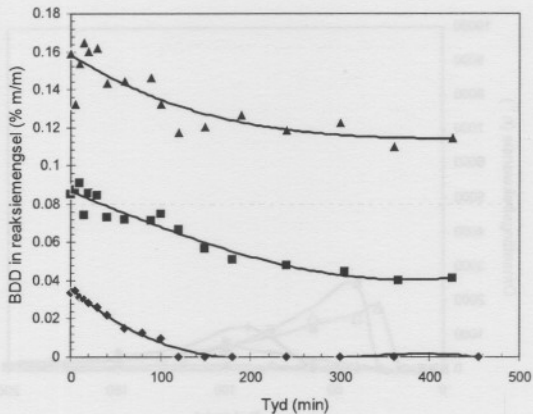
Figuur 4.33 Die invloed van die Ru:BDD-molverhouding op die metatiese selektiwiteit van 1-okeen in die teenwoordigheid van die $\text{RuCl}_3 \cdot x\text{H}_2\text{O}/\text{EtOH}/\text{BDD}/\text{PCy}_3/\text{H}_2$ -sisteem ($\text{Ru:PCy}_3 = 1:2.5$, $[\text{Ru}] = 100 \text{ dpm}$, $T = 80^\circ\text{C}$).

(◆ 1:10 ● 1:5 ■ 1:10 ▲ 1:20)

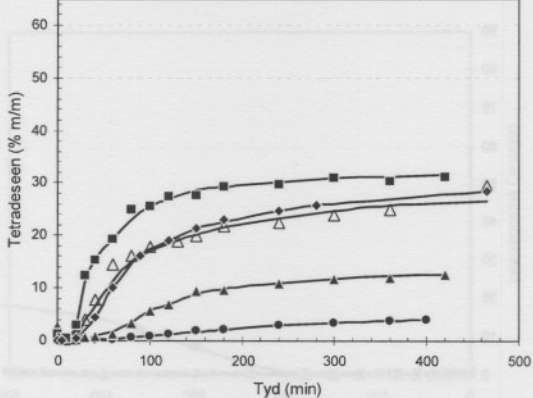


Figuur 4.34 Die invloed van die Ru:BDD-molverhouding op die vorming van tridene vanaf 1-okeen in die teenwoordigheid van die $\text{RuCl}_3 \cdot x\text{H}_2\text{O}/\text{EtOH}/\text{BDD}/\text{PCy}_3/\text{H}_2$ -sisteem ($\text{Ru:PCy}_3 = 1:2.5$, $[\text{Ru}] = 100 \text{ dpm}$, $T = 80^\circ\text{C}$).

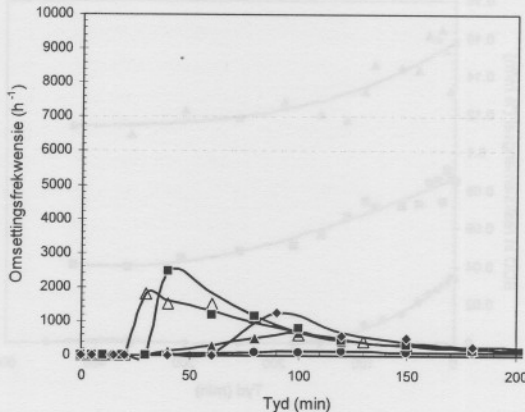
(◆ 1:10 ● 1:5 ■ 1:10 ▲ 1:20)



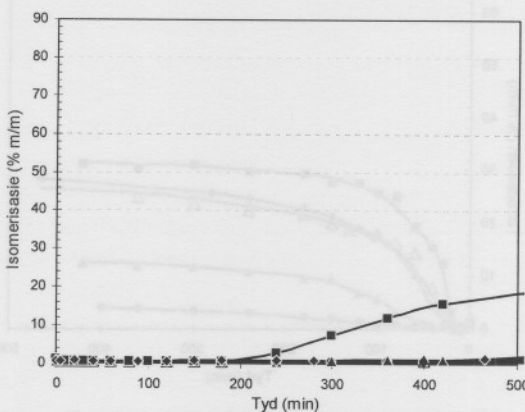
Figuur 4.35 Die afname in die [BDD] tydens die metatese van 1-okteen in die teenwoordigheid van die $\text{RuCl}_3 \cdot x\text{H}_2\text{O}/\text{EtOH}/\text{BDD}/\text{PCy}_3/\text{H}_2$ -sisteem ($\text{Ru:PCy}_3 = 1:2.5$, $[\text{Ru}] = 100 \text{ dpm}$, $T = 80^\circ\text{C}$).
($\text{Ru:BDD} = \blacklozen: 1:0$ ● 1:5 ■ 1:10 ▲ 1:20)



Figuur 4.36 Die invloed van die reaksietemperatuur op die metatese van 1-okteen in die teenwoordigheid van die $\text{RuCl}_3 \cdot x\text{H}_2\text{O}/\text{EtOH}/\text{BDD}/\text{EP}/\text{H}_2$ -sisteem ($\text{Ru:EP:BDD} = 1:2.5:10$, $[\text{Ru}] = 100 \text{ dpm}$).
(● 40 °C ▲ 50 °C ◆ 70 °C △ 80 °C ■ 110 °C)



Figuur 4.37 Die invloed van die reaksietemperatuur op die omsettingsfrekwensie van 1-okteen in die teenwoordigheid van die $\text{RuCl}_3 \cdot x\text{H}_2\text{O}/\text{EtOH}/\text{BDD}/\text{EP}/\text{H}_2$ -sisteem (Ru:EP:BDD = 1:2.5:10, $[\text{Ru}] = 100 \text{ dpm}$).
 (● 40 °C ▲ 50 °C ◆ 70 °C △ 80 °C ■ 110 °C)



Figuur 4.38 Die invloed van die reaksietemperatuur op die isomerisasie van 1-okteen in die teenwoordigheid van die $\text{RuCl}_3 \cdot x\text{H}_2\text{O}/\text{EtOH}/\text{BDD}/\text{EP}/\text{H}_2$ -sisteem (Ru:EP:BDD = 1:2.5:10, $[\text{Ru}] = 100 \text{ dpm}$).
 (● 40 °C ▲ 50 °C ◆ 70 °C △ 80 °C ■ 110 °C)

as ligand (0.1%). Hierdie waarde is steeds laag. Die hoër hoeveelheid trideseen wat by die hoër temperatuur gevorm het, het gepaard gegaan met meer metatese na 7-tetradeseen sodat die selektiwiteit steeds hoog was.

Die invloed van temperatuur op die $\text{RuCl}_3 \cdot x\text{H}_2\text{O}/\text{EtOH}/\text{BDD}/\text{EP}/\text{H}_2$ -katalisatorsisteem kan dus as volg opgesom word: 'n Verhoging in reaksietemperatuur het geleidelik tot 'n verhoging in die vorming van 7-tetradeseen en trideseen, isomerisasie van 1-okteen, met 'n gepaardgaande verhoging in die maksimum omsettingsfrekwensie en 'n toename in die tempo waarteen die omsettingsfrekwensie gedaal het. Reeds by 50 °C het 2.5% isomerisasieprodukte gevorm. Die selektiwiteit van die reaksies het effens afgeneem met 'n toename in temperatuur, maar was by 110 °C 98.8%.

4.4.2 Invloed van die [Ru]

Aangesien beduidende metatese met EP as ligand verkry is by 50 °C, en hierdie ligand nie in die literatuur vir metatese met die *in situ*-sisteem beskryf is nie, is die effek van [Ru] vir hierdie ligand by 80 °C sowel as 50 °C ondersoek. Die effek van die [Ru] op die vorming van 7-tetradeseen is bepaal aan die hand van drie konsentrasies (100, 250 en 500 dpm Ru) by 50 °C en twee konsentrasies (100 en 500 dpm Ru) by 80 °C. Alhoewel die $\text{RuCl}_3 \cdot x\text{H}_2\text{O}/\text{EtOH}/\text{BDD}/\text{EP}/\text{H}_2$ -katalisatorsisteem nie by hierdie kondisies geoptomiseer was ten opsigte van Ru:ligand:BDD of temperatuur nie, was die invloed van [Ru] wel by hierdie kondisies ondersoek.

Die invloed van die [Ru] op die vorming van 7-tetradeseen by 80 °C met die $\text{RuCl}_3 \cdot x\text{H}_2\text{O}/\text{EtOH}/\text{BDD}/\text{EP}/\text{H}_2$ -katalisatorsisteem word in Figuur 4.39 getoon.

By 80 °C was daar 'n toename in metatese met 'n verhoging in die [Ru]. By 100 dpm Ru was die vorming van 7-tetradeseen ongeveer 23% en by 500 dpm het dit gestyg tot ongeveer 50%. Hierdie waardes stem goed ooreen met die oorenstemmende waardes vir die PCy₃-sisteem, naamlik ongeveer 33 en 51% onderskeidelik.

Die invloed van die [Ru] op die vorming van 7-tetradeseen by 50 °C met die $\text{RuCl}_3 \cdot x\text{H}_2\text{O}/\text{EtOH}/\text{BDD}/\text{EP}/\text{H}_2$ -katalisatorsisteem word in Figuur 4.40 getoon.

'n Verhoging in die [Ru] het geleidelik tot 'n verhoging in die vorming van 7-tetradeseen. Indien 'n reguitlyn deur die data gepas word, word 'n helling van 0.068 by 80 °C en 0.034 by 50 °C verkry. Die invloed van die [Ru] op die vorming van 7-tetradeseen was dus groter by die hoër temperatuur.

'n Vergelyking van die effek van die [Ru] op die vorming van 7-tetradeseen by verskillende reaksietye het getoon dat die effek van die [Ru] met tyd verander het. Indien die effek van die [Ru] gemeet word by 80 min reaksietyd, was die toename in metatese direk eweredig aan die [Ru]. Die kromming van die grafiek vir metatese na 20 min het egter getoon dat 'n hoér [Ru] tot vinniger inisiering van metatese geleei het, terwyl die grafiek vir metatese na 420 min getoon het dat daar 'n effense aplatting in die vorming van 7-tetradeseen teen [Ru] was indien die [Ru] verhoog is. Dit stem ooreen met die waarneming met PCy_3 as ligand, waar 'n optimum [Ru] by ongeveer 500 dpm gevind is. Die aplatting wat by die sisteem met PCy_3 as ligand gekry is, was baie minder sigbaar met EP as ligand vir die [Ru] in hierdie ondersoek.

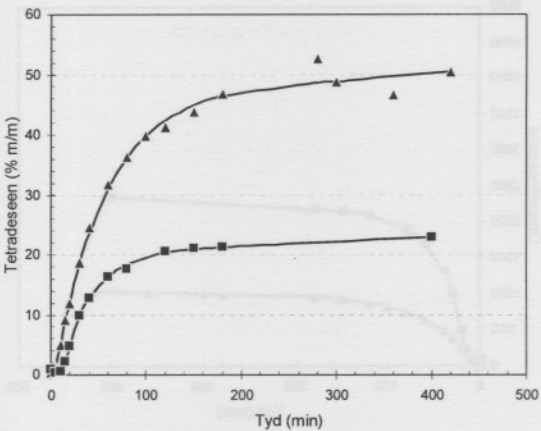
Die invloed van die [Ru] op die omsettingsgetal by 80 °C met die $\text{RuCl}_3 \cdot x\text{H}_2\text{O}/\text{EtOH}/\text{BDD}/\text{EP}/\text{H}_2$ -katalisatorsisteem word in Figuur 4.41 getoon en by 50 °C word in Figuur 4.42 getoon.

'n Toename in die [Ru] het tot 'n afname in omsettingsgetal by beide temperature geleei. By 80 °C is 16 900 mol tetradeseen gevorm per mol Ru (100 dpm Ru) en 7500 mol tetradeseen per mol Ru (500 dpm Ru). By 50 °C en 100, 250 en 500 dpm Ru is onderskeidelik 12 500, 7 500 en 4 700 mol tetradeseen gevorm per mol Ru.

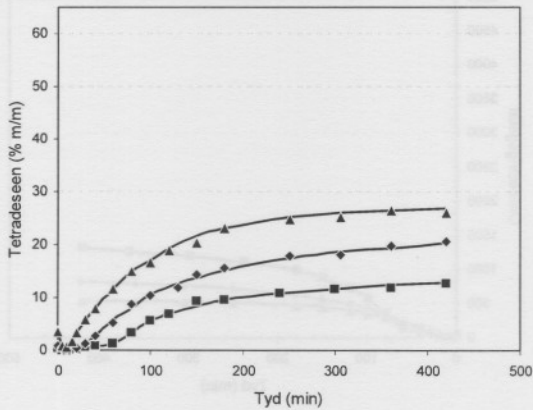
Die invloed van die [Ru] op die omsettingsfrekwensies by 80 °C met die $\text{RuCl}_3 \cdot x\text{H}_2\text{O}/\text{EtOH}/\text{BDD}/\text{EP}/\text{H}_2$ -katalisatorsisteem word in Figuur 4.43 getoon en by 50 °C in Figuur 4.44.

Die maksimum omsettingsfrekwensies gemeet by 80 °C, 100 en 500 dpm Ru was 23 500 en 7 500 h^{-1} onderskeidelik. Die maksimum omsettingsfrekwensies is na ongeveer dieselfde reaksietyd bereik. By beide konsentrasies het die frekwensie na 150 min afgeneem tot ongeveer 700 h^{-1} , waarna dit dieselfde was vir beide konsentrasies. By 50 °C was die invloed van die [Ru] groter op die reaksietyd wanneer die maksimum omsettingsfrekwensie bereik word as wat die [Ru] maksimum omsettingsfrekwensie beïnvloed het. By 50 °C en 500, 250 en 100 dpm Ru onderskeidelik het die omsettingsfrekwensie maksimumwaardes na ongeveer 20, 60 en 100 min bereik. Die omsettingsfrekwensies by hierdie konsentrasies was onderskeidelik 2800, 3500 en 5000 h^{-1} . Die katalisatorsisteem was oor 'n langer tyd aktief vir metatese, soos aangeleid kon word vanuit 'n beduidende omsettingsfrekwensie wat vir 'n langer tyd gehandhaaf is, en die aktiwiteit het stadiger afgeneem as wat die geval was by die hoér temperature.

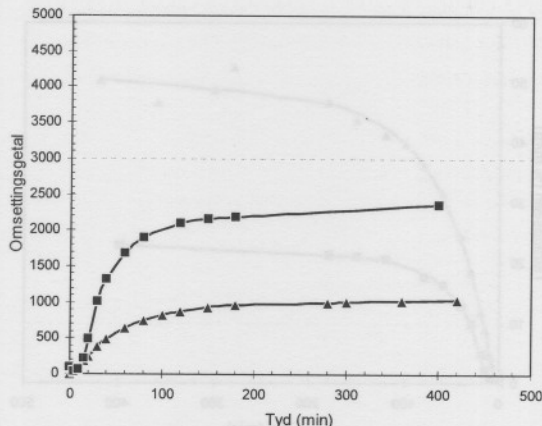
Die isomerisasie na 420 min reaksieverloop was bykans dieselfde vir beide temperature en verskillende konsentrasies. By 80 °C was die isomerisasie na 420 min ongeveer 1% by 100 sowel as 500 dpm Ru, en by 50 °C was die isomerisasie na 420 min onderskeidelik ongeveer 0,6, 0,8 en 1,2% by 100, 250 en 500 dpm Ru. Die isomerisasie by 500 dpm en 80 °C toon egter 'n beduidende toename na 420 min, wat nie die geval is by 100 dpm nie, en die



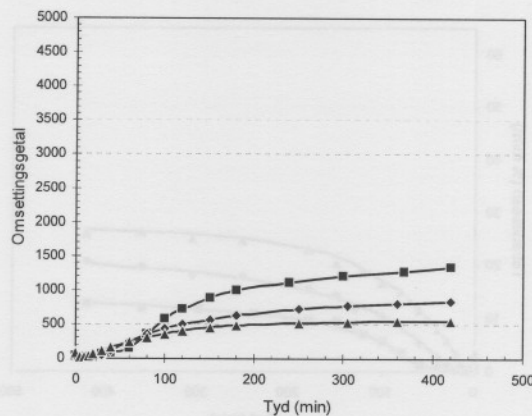
Figuur 4.39 Die invloed van die [Ru] op die metatese van 1-okteen in die teenwoordigheid van die $\text{RuCl}_3 \cdot x\text{H}_2\text{O}/\text{BDD}/\text{EP}/\text{H}_2$ -sisteem ($\text{Ru}:\text{EP}:\text{BDD} = 1:2.5:10$, $T = 80^\circ\text{C}$).
(■ 100 dpm ▲ 500 dpm)



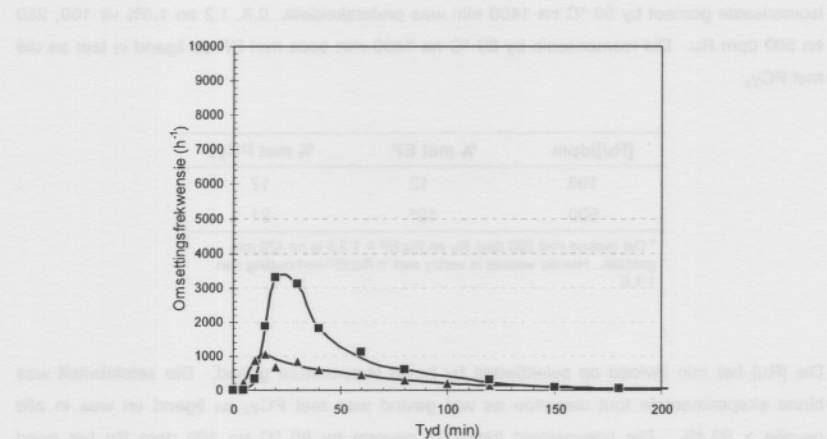
Figuur 4.40 Die invloed van die [Ru] op die metatese van 1-okteen in die teenwoordigheid van die $\text{RuCl}_3 \cdot x\text{H}_2\text{O}/\text{BDD}/\text{EP}/\text{H}_2$ -sisteem ($\text{Ru}:\text{EP}:\text{BDD} = 1:2.5:10$, $T = 50^\circ\text{C}$).
(■ 100 dpm ◆ 250 dpm ▲ 500 dpm)



Figuur 4.41 Die invloed van die [Ru] op die omsettingsgetal van 1-okteen in die teenwoordigheid van die $\text{RuCl}_3 \cdot x\text{H}_2\text{O}/\text{BDD}/\text{EP}/\text{H}_2$ -sisteem ($\text{Ru:EP:BDD} = 1:2.5:10$, $T = 80^\circ\text{C}$).
 (■ 100 dpm ▲ 500 dpm)

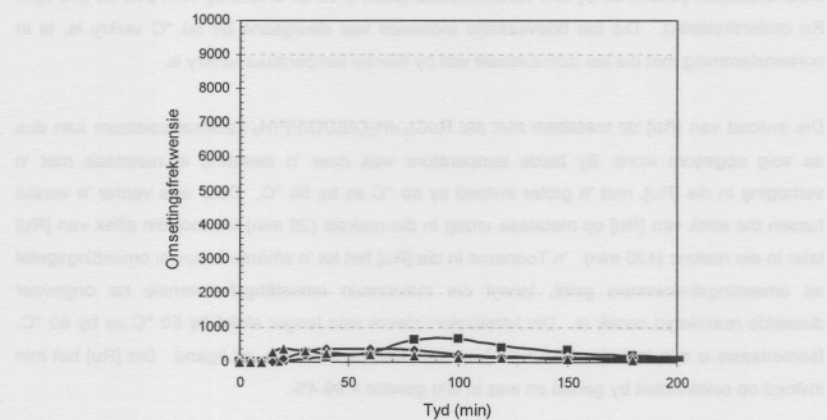


Figuur 4.42 Die invloed van die [Ru] op die omsettingsgetal van 1-okteen in die teenwoordigheid van die $\text{RuCl}_3 \cdot x\text{H}_2\text{O}/\text{BDD}/\text{EP}/\text{H}_2$ -sisteem ($\text{Ru:EP:BDD} = 1:2.5:10$, $T = 50^\circ\text{C}$).
 (■ 100 dpm ◆ 250 dpm ▲ 500 dpm)



Figuur 4.43 Die invloed van die [Ru] op die omsettingsfrekwensie van 1-octeen in die teenwoordigheid van die $\text{RuCl}_3 \cdot x\text{H}_2\text{O}/\text{BDD}/\text{EP}/\text{H}_2$ -sisteem ($\text{Ru}:\text{EP}:\text{BDD} = 1:2.5:10$, $T = 80^\circ\text{C}$).

(■ 100 dpm ▲ 500 dpm)



Figuur 4.44 Die invloed van die [Ru] op die omsettingsfrekwensie van 1-octeen in die teenwoordigheid van die $\text{RuCl}_3 \cdot x\text{H}_2\text{O}/\text{BDD}/\text{EP}/\text{H}_2$ -sisteem ($\text{Ru}:\text{EP}:\text{BDD} = 1:2.5:10$, $T = 50^\circ\text{C}$).

(■ 100 dpm ◆ 250 dpm ▲ 500 dpm)

isomerisasie gemeet by 50 °C na 1400 min was onderskeidelik 0.8, 1.2 en 1.5% vir 100, 250 en 500 dpm Ru. Die isomerisasie by 80 °C na 1400 min soos met EP as ligand is laer as dié met PCy₃:

[Ru]/dpm	% met EP	% met PCy ₃
100	12	17
500	12*	21

* Die reaksie met 500 dpm Ru en Ru:EP = 1:2.5 is na 420 min gestaak. Hierdie waarde is verkry met 'n Ru:EP-verhouding van 1:1.5.

Die [Ru] het min invloed op selektiwiteit by beide temperature gehad. Die selektiwiteit was binne eksperimentele fout dieselfde as wat gevind was met PCy₃ as ligand en was in alle gevalle > 99.4%. Die hoeveelheid trideseen gevorm by 80 °C en 100 dpm Ru het goed ooreengestem met die hoeveelheid gevorm met PCy₃ as ligand (0.066% teenoor 0.065%). Terwyl die waarde by 500 dpm en 80 °C effens hoër was (0.21% vir EP teenoor 0.11% vir PCy₃). Slegs klein hoeveelhede trideseen het by 50 °C gevorm. By die hoër konsentrasies het effens meer trideseen gevorm as by laer konsentrasies (0.04, 0.18 en 0.19% by 100, 250 en 500 dpm Ru onderskeidelik). Die lae hoeveelheid trideseen wat deurgaans by 50 °C verkry is, is in ooreenstemming met die lae isomerisasie wat hierdie temperatuur verkry is.

Die invloed van [Ru] op metatese met die RuCl₃·xH₂O/BDD/EP/H₂-katalisatorsisteem kan dus as volg opgesom word: By beide temperature was daar 'n toename in metatese met 'n verhoging in die [Ru], met 'n groter invloed by 80 °C as by 50 °C. Daar was verder 'n verskil tussen die effek van [Ru] op metatese vroeg in die reaksie (20 min) teenoor die effek van [Ru] later in die reaksie (420 min). 'n Toename in die [Ru] het tot 'n afname in sowel omsettingsgetal as omsettingsfrekwensie geleid, terwyl die maksimum omsettingsfrekwensie na ongeveer dieselfde reaksietyd bereik is. Die katalisatorsisteem was langer aktief by 50 °C as by 80 °C. Isomensasie is min beïnvloed deur [Ru], en was laer as met PCy₃ as ligand. Die [Ru] het min invloed op selektiwiteit by gehad en was in alle gevalle > 99.4%.

4.4.3 Invloed van die Ru:EP-molverhouding

Vir die Grubbs-katalisator word die metatese-aktiewe spesie gevorm wanneer een ligand vanaf die metaalkern dissosieer^{2,6} om 'n oop koördinasiepunt te vorm. In hierdie toestand vind een van die reaksies vir die deaktivering van die karbeen ook plaas.¹⁰ Deur 'n groter hoeveelheid ligand in die reaksiemengsel teenwoordig te hê, sal hierdie dissosiasie teengewerk word, maar indien te veel ligand teenwoordig is, kan die metatesereaksie sodanig vertraag word dat 'n laer

opbrengs verky word alvorens die katalisator gedeakteer het. Die optimum hoeveelheid ligand in die sisteem sal dus 'n funksie wees van sowel die koördinasiesterkte van die ligand as die steriese effekte van die gedeelte wat nie dissoosieer nie. Die optimum hoeveelheid ligand is dus nie noodwendig dieselfde vir alle ligande nie. In die *in situ*-katalisatorsisteem word die metaalkompleks tydens die reaksie gevorm. Die vorming van die kompleks kan dus ook afhanglik wees van die elektroniese en steriese eienskappe van die ligand, wat 'n invloed kan hê op die optimum konsentrasie vir sowel vorming van die katalisator as metatese. Verder sal die tempo waarteen die karbeen vorm, 'n invloed hê op die hoeveelheid vry ligand wat in die reaksiemengsel beskikbaar is. Die optimum ligandinhou van die *in situ*-katalisatorsisteem is dus ook bepaal vir EP as ligand deur die Ru:BDD-molverhouding sowel as [Ru] en temperatuur konstant te hou en die Ru:EP-molverhouding te varieer. Die Ru:EP-molverhoudings wat ondersoek is was 1:1, 1:1.5, 1:2, 1:2.5, 1:4 en 1:10. Die reaksies is by 80 °C en 100 dpm Ru uitgevoer.

'n Tweede reeks eksperimente is by 80 °C, 500 dpm Ru en Ru:EP-molverhoudings van 1:1, 1:1.5 en 1:2.5 uitgevoer. 'n Ru:BDD-molverhouding van 1:10 is in al die gevalle gebruik.

Vir enkele van die eksperimente is 'n addisionele reaksie onder identiese kondisies uitgevoer om die vorm van die isomerisasiekromme te bevestig. Die onderskeie ekstra datapunte is op die grafiese aangebring. Die herhaalbaarheid van die isomerisasie was sodanig dat hierdie punte by dié van vorige eksperimente gevoeg kon word. Die isomerisasiekromme het eers aan die einde van die reaksielopie aangeplat (na ongeveer 1200 min).

Die invloed van die Ru:EP-molverhouding op die vorming van 7-tetradeen met die $\text{RuCl}_3 \cdot x\text{H}_2\text{O}/\text{EtOH}/\text{BDD}/\text{EP}/\text{H}_2$ -katalisatorsisteem by 100 dpm Ru word in Figuur 4.45 getoon en by 500 dpm Ru in Figuur 4.46.

Die hoeveelheid 7-tetradeen by 100 dpm Ru gevorm, het stadig afgeneem vanaf 'n Ru:EP-molverhouding van 1:1 tot 1:2.5. Die hoeveelheid 7-tetradeen wat by hierdie Ru-konsentrasie gevorm is, het skerp afgeneem indien die verhouding verder na 1:4 en 1:10 verhoog is. Met 'n Ru:EP-molverhouding van 1:10 het slegs 3% tetradeen na 420 min gevorm. Die effek was veral sigbaar na 20 min, waar 16% tetradeen gevorm het by 'n Ru:EP-molverhouding van 1:1, terwyl dieselfde hoeveelheid tetradeen na 80 min gevorm het met 'n verhouding van 1:2.5. 'n Geringe mate van metatese-aktiwiteit is by al die verhoudings vir die tydperk 7 tot 24 h waargeneem.

Die invloed van die Ru:EP-molverhouding op die vorming van 7-tetradeen was klein by

500 dpm Ru. Na 20 min was daar 'n reglynige omgekeerde verband tussen die EP/Ru-molverhouding en metatese. Na 80 en 420 min was die verband nie meer reglynig nie. Die hoogste opbrengs is met 'n Ru:EP-molverhouding van 1:1 verkry, met geen verskil in opbrengs vir verhoudings van 1:1.5 en 1:2.5 nie.

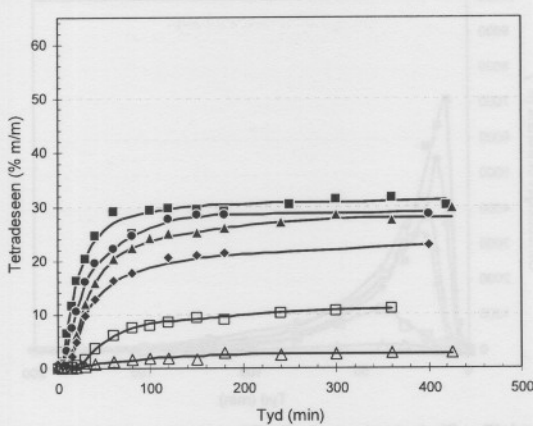
Die invloed van die Ru:EP-molverhouding op die omsettingsfrekwensie met die $\text{RuCl}_3 \cdot x\text{H}_2\text{O}/\text{EtOH/BDD/EP/H}_2$ -katalisatorsisteem by 100 dpm Ru word in Figuur 4.47 getoon en by 500 dpm in Figuur 4.48.

'n Verhoging in die Ru:EP-molverhouding by 100 sowel as 500 dpm Ru het tot 'n verlaging in die maksimum omsettingsfrekwensie geleid, en die reaksietyd wanneer die maksimum omsettingsfrekwensie bereik is, was later by hoër Ru:EP-molverhoudings. Met 'n Ru:EP-molverhouding van 1:1 en 1:5 by 500 dpm Ru het die omsettingsfrekwensie 'n aanvanklike vinnige inisiëring getoon, en is die maksimum omsettingsfrekwensie reeds na 10 min bereik. Met 'n Ru:EP-molverhouding van 1:2.5 was die reaksie beduidend stadiger, en is die maksimum omsettingsfrekwensie eers na 40 min bereik. Die omsettingsfrekwensie het ook stadiger afgeneem by 'n Ru:EP-molverhouding van 1:2.5 as by die ander twee verhoudings.

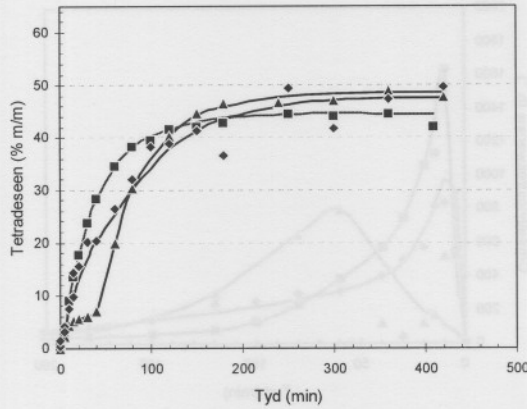
Die invloed van die Ru:EP-molverhouding op die isomerisasie met die $\text{RuCl}_3 \cdot x\text{H}_2\text{O/EtOH/BDD/EP/H}_2$ -katalisatorsisteem by 100 dpm Ru word in Figuur 4.49 getoon en by 500 dpm Ru in Figuur 4.50.

Die effek van die Ru:EP-molverhouding was meer prominent by isomerisasie as by metatese. By 100 dpm Ru en 'n verhouding van 1:1 was die isomerisasie dieselfde as by 1:1.5. Die isomerisasie het 'n minimum bereik by 'n verhouding van 1:2 en 1:2.5 en het toegeneem indien die Ru:EP-molverhouding verder verhoog is. Die hoogste isomerisasie het by 'n verhouding van 1:10 plaasgevind. Isomerisasie het vinnig toegeneem na 60 min met 'n verhouding van 1:10, en na 80 min met 1:4. Met die ander Ru:EP-molverhoudings het isomerisasie eers beduidend na ongeveer 300 min toegeneem. By 500 dpm Ru was daar 'n sigbare verskil in isomerisasie tussen 'n Ru:EP-molverhouding van 1:1.5 en 1:2.5. Laagste isomerisasie is verkry by 'n Ru:EP-molverhouding van 1:2.5 (8.1%), en het toegeneem met 'n verlaging in die verhouding tot 21.7 (1:1.5) en 46.8% (1:1). Isomerisasie het skerp toegeneem na 300 min met 'n Ru:EP-molverhouding van 1:1 en na 420 min met Ru:EP-molverhoudings van 1:1.5 en 1:2.5.

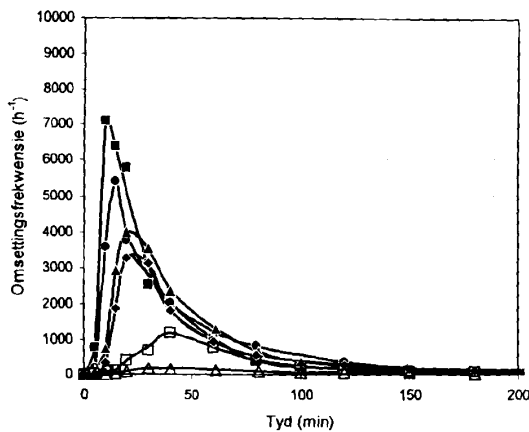
Die laagste selektiwiteit by 100 dpm Ru is gemeet met 'n Ru:EP-molverhouding van 1:10 (91.4%), gevvolg deur 96.3% met 'n verhouding van 1:4. Met Ru:EP-molverhoudings van 1:1, 1:1.5, 1:2 en 1:2.5 was die selektiwiteite na 1400 min tussen 98.4 en 99.5%. In al hierdie



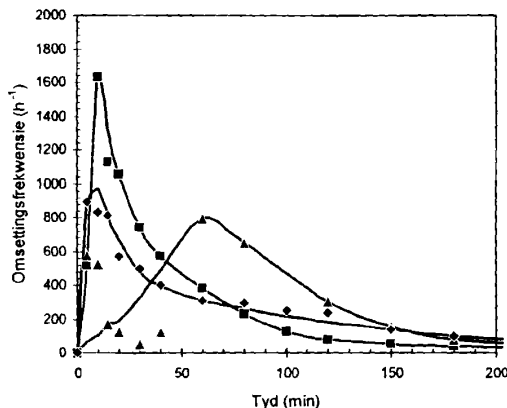
Figuur 4.45 Die invloed van die Ru:EP-molverhouding op die metatese van 1-okteen in die teenwoordigheid van die $\text{RuCl}_3 \cdot x\text{H}_2\text{O}/\text{BDD}/\text{EP}/\text{H}_2$ -sisteem ($[\text{Ru}] = 100 \text{ dpm}$, $\text{Ru:BDD} = 1:10$, $T = 80^\circ\text{C}$).
(■ 1:1 ● 1:1.5 ▲ 1:2 ◆ 1:2.5 □ 1:4 △ 1:10)



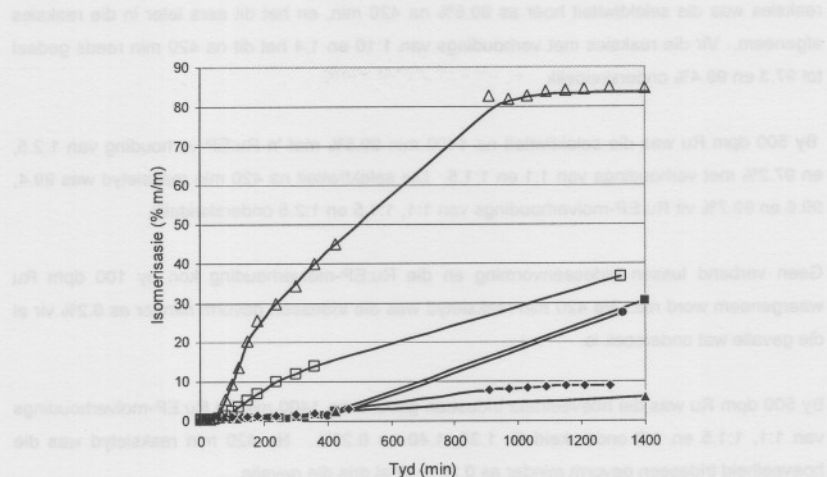
Figuur 4.46 Die invloed van die Ru:EP-molverhouding op die metatese van 1-okteen in die teenwoordigheid van die $\text{RuCl}_3 \cdot x\text{H}_2\text{O}/\text{BDD}/\text{EP}/\text{H}_2$ -sisteem ($[\text{Ru}] = 500 \text{ dpm}$, $\text{Ru:BDD} = 1:10$, $T = 80^\circ\text{C}$).
(■ 1:1 ◆ 1:1.5 ▲ 1:2.5)



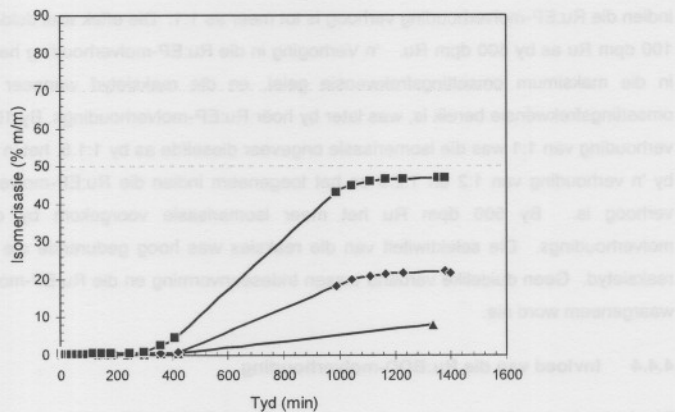
Figuur 4.47 Die invloed van die Ru:EP-molverhouding op die omsettingsfrekwensie van 1-okteen in die teenwoordigheid van die $\text{RuCl}_3 \cdot x\text{H}_2\text{O}/\text{BDD}/\text{EP}/\text{H}_2$ -sisteem ($[\text{Ru}] = 100 \text{ dpm}$, $\text{Ru:BDD} = 1:10$, $T = 80^\circ\text{C}$).
 (■ 1:1 ● 1:1.5 ▲ 1:2 ● 1:2.5 □ 1:4 △ 1:10)



Figuur 4.48 Die invloed van die Ru:EP-molverhouding) op die omsettingsfrekwensie van 1-okteen in die teenwoordigheid van die $\text{RuCl}_3 \cdot x\text{H}_2\text{O}/\text{BDD}/\text{EP}/\text{H}_2$ -sisteem ($[\text{Ru}] \approx 500 \text{ dpm}$, $\text{Ru:BDD} = 1:10$, $T = 80^\circ\text{C}$).
 (■ 1:1 ◆ 1:1.5 ▲ 1:2.5)



Figuur 4.49 Die invloed van die Ru:EP-molverhouding op die isomerisasie van 1-olsteen in die teenwoordigheid van die $\text{RuCl}_3 \cdot x\text{H}_2\text{O}/\text{BDD}/\text{EP}/\text{H}_2$ -sisteem ($[\text{Ru}] = 100 \text{ dpm}$, $\text{Ru:BDD} = 1:10$, $T = 80^\circ\text{C}$).
 (■ 1:1 ● 1:1.5 ▲ 1:2 ◆ 1:2.5 □ 1:4 △ 1:10)



Figuur 4.50 Die invloed van die Ru:EP-molverhouding op die isomerisasie van 1-olsteen in die teenwoordigheid van die $\text{RuCl}_3 \cdot x\text{H}_2\text{O}/\text{BDD}/\text{EP}/\text{H}_2$ -sisteem ($[\text{Ru}] = 500 \text{ dpm}$, $\text{Ru:BDD} = 1:10$, $T = 80^\circ\text{C}$).
 (■ 1:1 ◆ 1:1.5 ▲ 1:2.5)

reaksies was die selektiwiteit hoër as 99.6% na 420 min, en het dit eers later in die reaksies afgeneem. Vir die reaksies met verhoudings van 1:10 en 1:4 het dit na 420 min reeds gedaal tot 97.3 en 98.4% onderskeidelik.

By 500 dpm Ru was die selektiwiteit na 1400 min 99.5% met 'n Ru:EP-verhouding van 1:2.5, en 97.2% met verhoudings van 1:1 en 1:1.5. Die selektiwiteit na 420 min reaksietyd was 99.4, 99.6 en 99.7% vir Ru:EP-molverhoudings van 1:1, 1:1.5 en 1:2.5 onderskeidelik.

Geen verband tussen trideseenvorming en die Ru:EP-molverhouding kon by 100 dpm Ru waargeneem word nie. Na 420 min reaksietyd was die trideseen gevorm minder as 0.2% vir al die gevalle wat ondersoek is.

By 500 dpm Ru was die hoeveelheid trideseen gevorm na 1400 min by Ru:EP-molverhoudings van 1:1, 1:1.5 en 1:2 onderskeidelik 1.35, 1.40 en 0.23%. Na 420 min reaksietyd was die hoeveelheid trideseen gevorm minder as 0.23% vir al drie die gevalle.

Die invloed van die Ru:EP-molverhouding op die $\text{RuCl}_3 \cdot x\text{H}_2\text{O}/\text{EtOH}/\text{BDD}/\text{EP}/\text{H}_2$ -katalisatorsisteem kan dus as volg opgesom word: Die grootste hoeveelheid metatese is met 'n Ru:EP-molverhouding van 1:1 gevind, en die hoeveelheid 7-tetradeseen gevorm het stadig afgeneem indien die Ru:EP-molverhouding verhoog is tot meer as 1:1. Die effek was duideliker sigbaar by 100 dpm Ru as by 500 dpm Ru. 'n Verhoging in die Ru:EP-molverhouding het tot 'n verlaging in die maksimum omsettingsfrekwensie geleid, en die reaksietyd wanneer die maksimum omsettingsfrekwensie bereik is, was later by hoér Ru:EP-molverhoudings. By 100 dpm Ru en 'n verhouding van 1:1 was die isomerisasie ongeveer dieselfde as by 1:1.5, het 'n minimum bereik by 'n verhouding van 1:2 en 1:2.5 en het toegeneem indien die Ru:EP-molverhouding verder verhoog is. By 500 dpm Ru het meer isomersisasie voorgekom by die laer Ru:EP molverhoudings. Die selektiwiteit van die reaksies was hoog gedurende die eerste 420 min reaksietyd. Geen duidelike verband tussen trideseenvorming en die Ru:EP-molverhouding kon waargeneem word nie.

4.4.4 Invloed van die Ru:BDD-molverhouding

Die invloed van die alkyninhoud op die $\text{RuCl}_3 \cdot x\text{H}_2\text{O}/\text{EtOH}/\text{BDD}/\text{EP}/\text{H}_2$ -katalisatorsisteem is ondersoek deur reaksies met twee Ru:BDD-molverhoudings (1:5 en 1:10) by 'n Ru:EP-molverhouding van 1:2.5 by 80 °C uit te voer.

Die invloed van die Ru:BDD-molverhouding op die vorming van 7-tetradeseen met die $\text{RuCl}_3 \cdot x\text{H}_2\text{O}/\text{EtOH}/\text{BDD}/\text{EP}/\text{H}_2$ -katalisatorsisteem word in Figuur 4.51 getoon.

Met EP as ligand het die Ru:BDD-molverhouding bykans geen invloed op die vorming van 7-tetradeseen gedurende die eerste 300 min gehad nie. Na 300 min was die sisteem steeds aktief met 'n Ru:BDD-molverhouding van 1:10, terwyl geen verdere metatese-aktiwiteit met 'n verhouding van 1:5 sigbaar was nie.

Die invloed van die Ru:BDD-molverhouding op die omsettingsfrekwensie met die $\text{RuCl}_3 \cdot x\text{H}_2\text{O}/\text{EtOH/BDD/EP/H}_2$ -katalisatorsisteem word in Figuur 4.52 getoon.

Die verandering in die Ru:BDD-molverhouding het geen invloed op die omsettingsfrekwensie gehad vir die twee verhoudings soos gemeet nie.

Die invloed van die Ru:BDD-molverhouding op die isomerisasie van 1-okteen met die $\text{RuCl}_3 \cdot x\text{H}_2\text{O}/\text{EtOH/BDD/EP/H}_2$ -katalisatorsisteem word in Figuur 4.53 getoon.

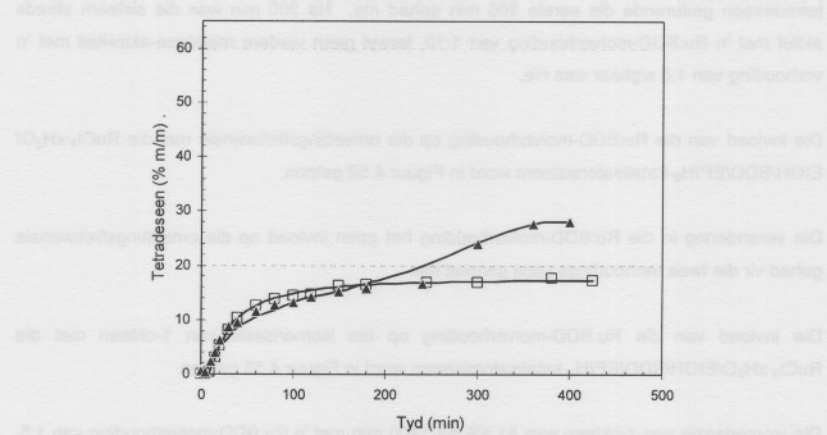
Die isomerisasie van 1-okteen was 51.8% na 1400 min met 'n Ru:BDD-molverhouding van 1:5. Met 'n Ru:BDD-molverhouding van 1:10 was dit 2% na 1400 min. Die ooreenstemmende waardes met PCy_3 as ligand was onderskeidelik 10 en 0.4%.

Die selektiwiteit na 1400 min was laer met 'n Ru:BDD-molverhouding van 1:5 as met 'n Ru:BDD-verhouding van 1:10. Na 1400 min was die selektiwiteit 96.1 en 99.7% met 'n Ru:BDD-verhouding van 1:5 en 1:10 onderskeidelik. Die selektiwiteit van die reaksie met 'n Ru:BDD-molverhouding van 1:5 het vanaf 240 min afgeneem en laer geword as die selektiwiteit van die reaksie met 'n verhouding van 1:10 in die ooreenstemmende tyd.

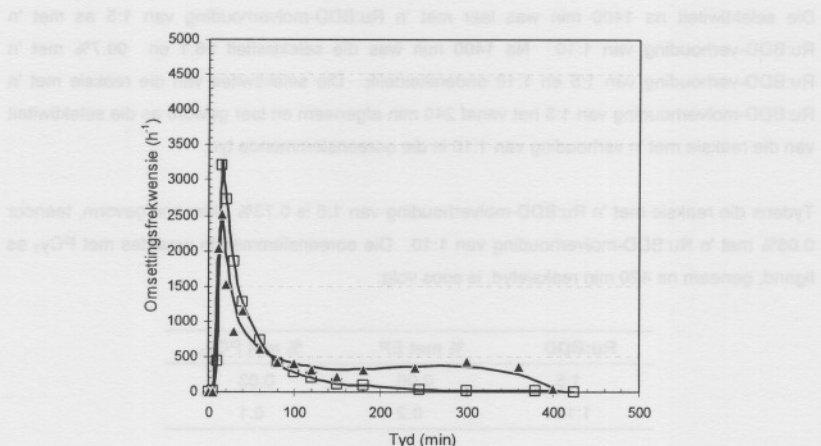
Tydens die reaksie met 'n Ru:BDD-molverhouding van 1:5 is 0.73% trideseen gevorm, teenoor 0.08% met 'n Ru:BDD-molverhouding van 1:10. Die ooreenstemmende waardes met PCy_3 as ligand, geneem na 420 min reaksietyd, is soos volg:

Ru:BDD	% met EP	% met PCy_3
1:5	0.06	0.03
1:10	0.2	0.1

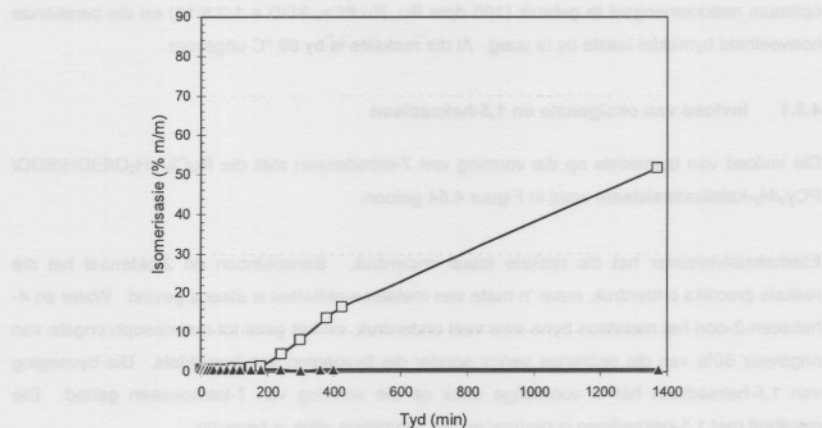
Die invloed van die Ru:BDD-molverhouding op die $\text{RuCl}_3 \cdot x\text{H}_2\text{O}/\text{EtOH/BDD/EP/H}_2$ -katalisatorsisteem kan dus as volg opgesom word: 'n hoër Ru:BDD-verhouding het geen invloed op die hoeveelheid en tempo van metatese gedurende die eerste 300 min gehad nie, maar het wel geleei tot 'n sisteem wat langer aktief was en het geleei tot minder isomerisasie van 1-okteen. 'n Groter hoeveelheid BDD in die reaksiesisteem het verder tot 'n hoër selektiwiteit geleei.



Figuur 4.51 Die invloed van die Ru:BDD-molverhouding op die metathese van 1-okteen in die teenwoordigheid van die $\text{RuCl}_3 \cdot \text{xH}_2\text{O}/\text{BDD}/\text{EP}/\text{H}_2$ -sisteem ($[\text{Ru}] = 100 \text{ dpm}$, $\text{Ru:EP} = 1:2.5$, $T = 80^\circ\text{C}$). (\square 1:5 \blacktriangle 1:10)



Figuur 4.52 Die invloed van die Ru:BDD-molverhouding op die omsettingsfrekwensie van 1-okteen in die teenwoordigheid van die $\text{RuCl}_3 \cdot \text{xH}_2\text{O}/\text{BDD}/\text{EP}/\text{H}_2$ -sisteem ($[\text{Ru}] = 100 \text{ dpm}$, $\text{Ru:EP} = 1:2.5$, $T = 80^\circ\text{C}$). (\square 1:5 \blacktriangle 1:10)



Figuur 4.53 Die invloed van die Ru:BDD-molverhouding op die isomerisasie van 1-okteen in die teenwoordigheid van die $\text{RuCl}_3 \cdot x\text{H}_2\text{O}/\text{BDD}/\text{EtOH}/\text{H}_2$ -sisteem ($[\text{Ru}] = 100 \text{ dpm}$, $\text{Ru:EP} = 1:2.5$, $T = 80^\circ\text{C}$).
 (□ 1:5 ▲ 1:10)

4.5 Die invloed van bymiddels op die $\text{RuCl}_3 \cdot x\text{H}_2\text{O}/\text{EtOH}/\text{BDD}/\text{PCy}_3/\text{H}_2$ -sisteem

Die invloed van verskillende bymiddels op die $\text{RuCl}_3 \cdot x\text{H}_2\text{O}/\text{EtOH}/\text{BDD}/\text{PCy}_3/\text{H}_2$ -katalisator-sisteem is ondersoek ten einde te bepaal watter van enkele van die verbindings wat normaalweg in 'n Fischer-Tropsch-alkeensnit gevind kan word, die katalisatorsisteem sal beïnvloed. Die metatesereksie kan op twee maniere onderdruk word: eerstens deur die vorming van die karbeen te verhoed, en tweedens deur die katalisator te vergiftig. Aangesien slegs die vorming van 7-tetradeseen bepaal is, is tydens hierdie studie nie onderskeid tussen die twee oorsake getref nie.

Die hoofgroepe bymiddels wat ondersoek is, was oksigenate en sure. Die oksigenate wat ondersoek was, is etielheksielvinieleter, bensokinoon, 2-oktenaal, water en 4-hekseen-3-on. As enkele koolwaterstof is 1,5-heksadien ondersoek. Die sure wat ondersoek is, was 4-tolueensulfoonsuur, trifluorometaansulfoonsuur, metaansulfoonsuur, asynsuur, soutsuur en trifluoroasynsuur.

Ten einde die effek van die bymiddels duidelik sigbaar te maak, is 'n oormaat van 1% (m/m teenoor 1-okteen) gebruik. Daar was dus 'n beduidende moloormaat bymiddel relatief tot Ru in

die reaksiemengsel teenwoordig. Al die eksperimente met bymiddels is uitgevoer deur 'n optimum reaksiemengsel te gebruik (100 dpm Ru, Ru:PCy₃:BDD = 1:2.5:10) en die berekende hoeveelheid bymiddel laaste by te voeg. Al die reaksies is by 80 °C uitgevoer.

4.5.1 Invloed van oksigenate en 1,5-heksadieen

Die invloed van bymiddels op die vorming van 7-tetradeseen met die RuCl₃·xH₂O/EtOH/BDD/PCy₃/H₂-katalisatorsisteem word in Figuur 4.54 getoon.

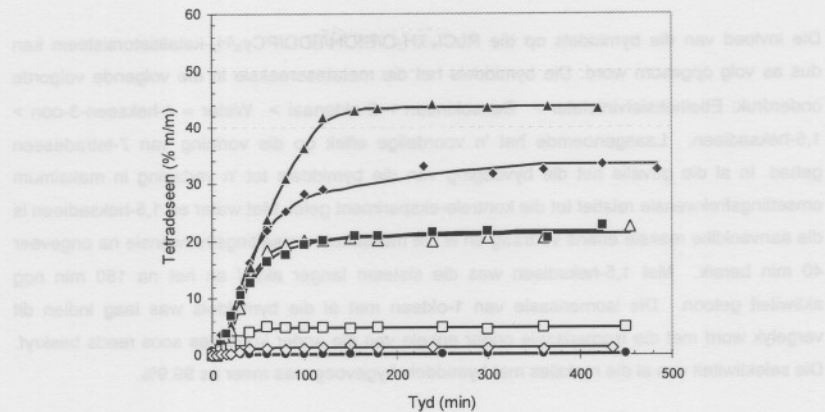
Etielheksielvinieleter het die reaksie totaal onderdruk. Bensokinoon en 2-oktenaal het die reaksie grootliks onderdruk, maar 'n mate van metatese-aktiwiteit is steeds gevind. Water en 4-hekseen-3-onn het metatese byna ewe veel onderdruk, en het geleidelik tot metatesopbrengste van ongeveer 60% van die opbrengs verkry sonder die byvoeging van bymiddels. Die byvoeging van 1,5-heksadieen het 'n voordeelige effek op die vorming van 7-tetradeseen gehad. Die resultaat met 1,5-heksadieen is herhaal en die voordeelige effek is bevestig.

Die invloed van bymiddels op die omsettingsfrekwensie met die RuCl₃·xH₂O/EtOH/BDD/PCy₃/H₂-katalisatorsisteem word in Figuur 4.55 getoon.

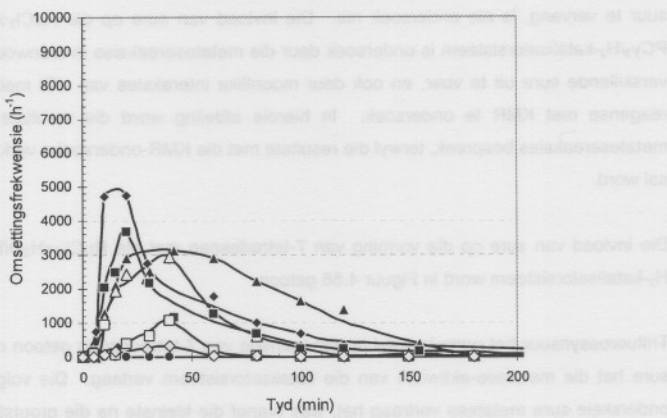
In al die gevalle het die byvoeging van die bymiddels tot 'n verlaging in maksimum omsettingsfrekwensie relatief tot die kontrole-eksperiment geleid. Die maksimum omsettingsfrekwensie is in al die gevalle behalwe met water en 1,5-heksadieen na ongeveer dieselfde tyd, naamlik 20 min, bereik. Met water is die aanvanklike reaksie effens vertraag en is die maksimum omsettingsfrekwensie na ongeveer 40 min bereik. Met 1,5-heksadieen is die maksimum omsettingsfrekwensie na 40 min bereik, maar die sisteem was langer aktief en het na 180 min nog aktiwiteit getoon. Hierdie langer aktiwiteit het aanleiding tot die vorming van meer 7-tetradeseen na die volle reaksieverloop gegee.

Die isomerisasie van 1-okteen met al die bymiddels behalwe water en 2-oktenaal was minder as 0.7% en het nie beduidend toegeneem met tyd nie. Met water as bymiddel het die isomerisasie 0.9% bereik. Met 2-oktenaal as bymiddel het die isomerisasie van 1-okteen met tyd ongeveer konstant toegeneem vanaf 80 min, en 'n finale waarde van 6% is bereik. Hierdie waarde is steeds laag indien dit vergelyk word met die isomerisasie onder enkele van die ander kondisies soos reeds beskryf.

Die selektiwiteit van al die reaksies met bymiddels bygevoeg was meer as 99.9%. Slegs met 1,5-heksadieen is meer trideseen gevorm as met die kontrole-eksperiment (0.07% teenoor 0.05%). Trideseenvorming was dus in alle gevalle laag, en verduidelik waarom die selektiwiteit



Figuur 4.54 Die invloed van bymiddels op die metatiese van 1-okteen in die teenwoordigheid van die $\text{RuCl}_3 \cdot x\text{H}_2\text{O}/\text{EtOH}/\text{BDD}/\text{PCy}_3/\text{H}_2$ -sisteem ($[\text{Ru}] = 100 \text{ dpm}$, $\text{Ru:PCy}_3:\text{BDD} = 1:2.5:10$, $T = 80^\circ\text{C}$, $[\text{bymiddel}] = 10\,000 \text{ dpm}$).
 (△ H_2O ● etelheksielvinieletter ■ 4-hekseen-3-on □ 2-oktenaal
 ▲ 1,5-heksadien ◇ bensokinoon ◆ geen bymiddel)



Figuur 4.55 Die invloed van bymiddels op die omsettingsfrekwensie van 1-okteen in die teenwoordigheid van die $\text{RuCl}_3 \cdot x\text{H}_2\text{O}/\text{EtOH}/\text{BDD}/\text{PCy}_3/\text{H}_2$ -sisteem ($[\text{Ru}] = 100 \text{ dpm}$, $\text{Ru:PCy}_3:\text{BDD} = 1:2.5:10$, $T = 80^\circ\text{C}$, $[\text{bymiddel}] = 10\,000 \text{ dpm}$).
 (△ H_2O ● etelheksielvinieletter ■ 4-hekseen-3-on □ 2-oktenaal
 ▲ 1,5-heksadien ◇ bensokinoon ◆ geen bymiddel)

in al die gevalle hoog was.

Die invloed van die bymiddels op die $\text{RuCl}_3 \cdot x\text{H}_2\text{O}/\text{EtOH}/\text{BDD}/\text{PCy}_3/\text{H}_2$ -katalisatorsisteem kan dus as volg opgesom word: Die bymiddels het die metatesereaksie in die volgorde onderdruk: Etielheksielvinieleter > Bensokinoon > 2-oktenaal > Water \approx 4-hekseen-3-on > 1,5-heksadieen. Laasgenoemde het 'n voordelige effek op die vorming van 7-tetradeen gehad. In al die gevalle het die byvoeging van die bymiddels tot 'n verlaging in maksimum omsettingsfrekwensie relatief tot die kontrole-eksperiment geleid. Met water en 1,5-heksadieen is die aanvanklike reaksie effens vertraag en is die maksimum omsettingsfrekwensie na ongeveer 40 min bereik. Met 1,5-heksdieen was die sisteem langer aktief en het na 180 min nog aktiwiteit getoon. Die isomerisasie van 1-okteen met al die bymiddels was laag indien dit vergelyk word met die isomerisasie onder enkele van die ander kondisies soos reeds beskryf. Die selektiwiteit van al die reaksies met bymiddels bygevoeg was meer as 99.9%.

4.5.2 Invloed van sure

Volgens die meganisme in die literatuur beskryf,^{2,12} vorm 'n metaalhidried, waaruit die karbeen vorm. Die H_2 wat deur die reaksiemengsel geborrel word, dien as moontlike protonbron vir hierdie reaksiestap. Die moontlikheid is ondersoek dat 'n suur as protonbron kan optree om sodende hierdie reaksiestap te bevoordeel. Die moontlikheid om die waterstofborreling met 'n suur te vervang, is nie ondersoek nie. Die invloed van sure op die $\text{RuCl}_3 \cdot x\text{H}_2\text{O}/\text{EtOH}/\text{BDD}/\text{PCy}_3/\text{H}_2$ -katalisatorsisteem is ondersoek deur die metatesereaksies in teenwoordigheid van die verskillende sure uit te voer, en ook deur moontlike interaksies van HCl met die verskillende reagense met KMR te ondersoek. In hierdie afdeling word die resultate verkry met die metatesereaksies bespreek, terwyl die resultate met die KMR-ondersoeke verkry later bespreek sal word.

Die invloed van sure op die vorming van 7-tetradeen met die $\text{RuCl}_3 \cdot x\text{H}_2\text{O}/\text{EtOH}/\text{BDD}/\text{PCy}_3/\text{H}_2$ -katalisatorsisteem word in Figuur 4.56 getoon.

Trifluoroasynsuur het geen invloed op die vorming van 7-tetradeen getoon nie. Al die ander sure het die metatese-aktiwiteit van die katalisatorsisteem verlaag. Die volgorde waarin die onderskeie sure metatese vertraag het, was (vanaf die kleinste na die grootste vertraging, die waarde tussen hakies is die hoeveelheid 7-tetradeen gevorm) soutsuur (22.8%), asynsuur (19.5%), metaansulfoonsuur (0.8%), trifluorometaansulfoonsuur (0.4%) en tolueen-4-sulfoonsuur (0.2%).

Die invloed van sure op die omsettingsfrekwensie na 7-tetradeen met die $\text{RuCl}_3 \cdot x\text{H}_2\text{O}/\text{EtOH}/$

BDD/PCy₃/H₂-katalisatorsisteem word in Figuur 4.57 getoon.

Die maksimum omsettingsfrekwensie behaal met sousuur was dieselfde as vir die kontrole-eksperiment en is na 20 min bereik. Die reaksie met trifluoroasynsuur het reeds na 5 min 'n maksimum omsettingsfrekwensie bereik, terwyl asynsuur veroorsaak het dat die maksimum omsettingsfrekwensie eers na 60 min bereik is. Die reaksies met die ander sure as bymiddels het baie stadig verloop.

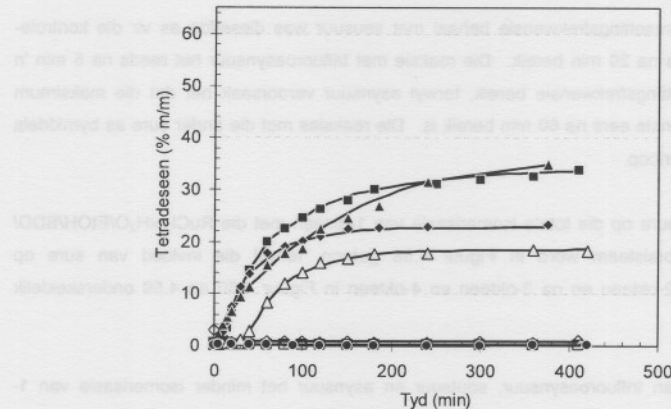
Die invloed van sure op die totale isomerisasie van 1-okteen met die RuCl₃·xH₂O/EtOH/BDD/PCy₃/H₂-katalisatorsisteem word in Figuur 4.58 getoon, terwyl die invloed van sure op isomerisasie na 2-okteen en na 3-okteen en 4-okteen in Figuur 4.60 en 4.59 onderskeidelik getoon word.

Die byvoeging van trifluoroasynsuur, soutsuur en asynsuur het minder isomerisasie van 1-okteen as die kontrole-eksperiment veroorsaak, terwyl die byvoeging van sulfoonsure tot bykans volledige isomerisasie sowel as hidrogenering van die 1-okteen gelei het. Verdere ondersoek van die effek van trifluorometaansulfoonsuur op die isomerisasie van 1-okteen het aan die lig gebring dat isomerisasie gepaard gegaan het met hidrogenering na oktaan. Figuur 4.58 sluit hidrogenering in, aangesien die GC-analises nie tussen 3-okteen, 4-okteen en oktaan kon onderskei nie. Die daling in 2-okteen wat in Figuur 4.59 waargeneem word, sluit dus isomerisasie na 3-okteen en 4-okteen, sowel as hidrogenering in. Figuur 4.60 toon dat die totaal van 3-okteen en 4-okteen 'n maksimum bereik het en daarna afgeneem het wanneer trifluorometaansulfoonsuur gebruik is. Aangesien dit hoogs onwaarskynlik is dat isomerisasie terug na 2-okteen sou plaasvind, kan afgelei word dat hierdie verlaging die gevolg was van oktaanvorming.

Die selektiwiteit bereik met soutsuur en asynsuur was ongeveer dieselfde as vir die kontrole eksperiment, en was ongeveer 99.7%. Met die byvoeging van trifluoroasynsuur was die selektiwiteit effens laer (99.1%). Met die byvoeging van trifluorometaansulfoonsuur was die selektiwiteit baie laer, en het gedaal tot 61%, waarna dit weer tot 83% toegeneem het. Hierdie selektiwiteit moet egter gesien word saam met die baie lae metatese (0.4%).

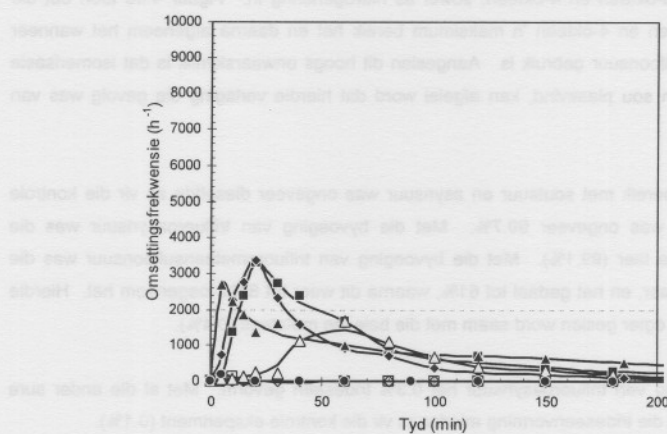
Met die byvoeging van trifluoroasynsuur het 0.3% trideseen gevorm. Met al die ander sure soos getoets was die trideseenvorming minder as vir die kontrole eksperiment (0.1%).

Die invloed van sure op die RuCl₃·xH₂O/EtOH/BDD/PCy₃/H₂-katalisatorsisteem kan dus as volg opgesom word: Die volgorde waarin die onderskeie sure metatese onderdruk sowel as vertraag

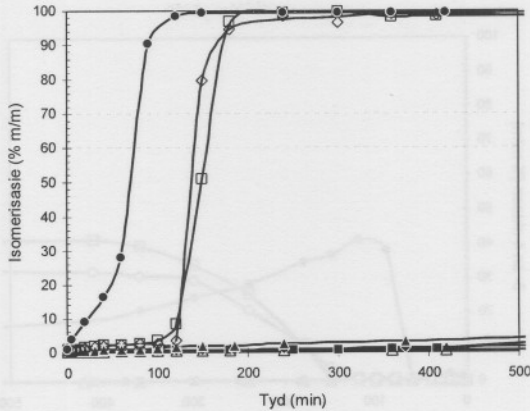


Figuur 4.56 Die invloed van suur op die metatese van 1-okteen in die teenwoordigheid van die $\text{RuCl}_3 \cdot x\text{H}_2\text{O}/\text{EtOH}/\text{BDD}/\text{PCy}_3/\text{H}_2$ -sisteem ($[\text{Ru}] = 100 \text{ dpm}$, $\text{Ru}:\text{PCy}_3:\text{BDD} = 1:2.5:10$, $T = 80^\circ\text{C}$, [suur] = 1 druppel).

($\Delta \text{CH}_3\text{CO}_2\text{H}$ $\blacktriangle \text{CF}_3\text{CO}_2\text{H}$ $\diamond \text{CH}_3\text{SO}_3\text{H}$ $\bullet \text{CF}_3\text{SO}_3\text{H}$
 $\square 4\text{-MeC}_6\text{H}_4\text{SO}_3\text{H}$ $\blacklozenge \text{HCl(aq)}$ $\blacksquare \text{geen suur}$)

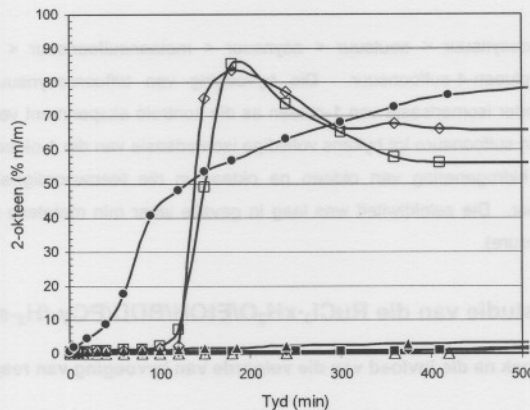


Figuur 4.57 Die invloed van suur op die omsettingsfrekwensie van 1-okteen in die teenwoordigheid van die $\text{RuCl}_3 \cdot x\text{H}_2\text{O}/\text{EtOH}/\text{BDD}/\text{PCy}_3/\text{H}_2$ -sisteem ($[\text{Ru}] = 100 \text{ dpm}$, $\text{Ru}:\text{PCy}_3:\text{BDD} = 1:2.5:10$, $T = 80^\circ\text{C}$, [suur] = 1 druppel).

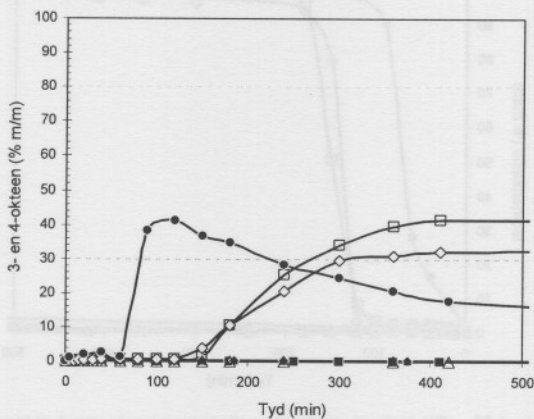


Figuur 4.58 Die invloed van suur op die isomerisasie van 1-olsteen in die teenwoordigheid van die $\text{RuCl}_3 \cdot x\text{H}_2\text{O}/\text{EtOH/BDD/PCy}_3/\text{H}_2$ -sisteem ($[\text{Ru}] = 100 \text{ dpm}$, $\text{Ru:PCy}_3:\text{BDD} = 1:2.5:10$, $T = 80^\circ\text{C}$, [suur] = 1 druppel).

(Δ $\text{CH}_3\text{CO}_2\text{H}$ \blacktriangle $\text{CF}_3\text{CO}_2\text{H}$ \diamond $\text{CH}_3\text{SO}_3\text{H}$ \bullet $\text{CF}_3\text{SO}_3\text{H}$
 \square $4\text{-MeC}_6\text{H}_4\text{SO}_3\text{H}$ \blacklozenge HCl(aq) ■ geen suur)



Figuur 4.59 Die invloed van suur op die isomerisasie van 1-olsteen na 2-olsteen in die teenwoordigheid van die $\text{RuCl}_3 \cdot x\text{H}_2\text{O}/\text{EtOH/BDD/PCy}_3/\text{H}_2$ -sisteem ($[\text{Ru}] = 100 \text{ dpm}$, $\text{Ru:PCy}_3:\text{BDD} = 1:2.5:10$, $T = 80^\circ\text{C}$, [suur] = 1 druppel).



Figuur 4.60 Die invloed van suur op die isomerisasie van 1-okteen na 3- en 4-okteen in die teenwoordigheid van die $\text{RuCl}_3 \cdot x\text{H}_2\text{O}/\text{EtOH}/\text{BDD/PCy}_3/\text{H}_2$ -sisteem ($[\text{Ru}] = 100 \text{ dpm}$, $\text{Ru:PCy}_3:\text{BDD} = 1:2.5:10$, $T = 80^\circ\text{C}$, [suur] = 1 druppel).
 ($\triangle \text{CH}_3\text{CO}_2\text{H}$ $\blacktriangle \text{CF}_3\text{CO}_2\text{H}$ $\diamond \text{CH}_3\text{SO}_3\text{H}$ $\bullet \text{CF}_3\text{SO}_3\text{H}$
 $\square 4\text{-MeC}_6\text{H}_4\text{SO}_3\text{H}$ $\blacklozenge \text{HCl(aq)}$ ■ geen suur)

het, was trifluoroasynsuur < soutsuur < asynsuur < metaansulfoonsuur < trifluorometaansulfoonsuur < tolueen-4-sulfoonsuur. Die byvoeging van trifluoroasynsuur, soutsuur en asynsuur het minder isomerisasie van 1-okteen as die kontrole eksperiment veroorsaak, terwyl die byvoeging van sulfoonsure tot bykans volledige isomerisasie van die 1-okteen geleei het, met gepaardgaande hidrogenering van okteen na oktaan in die teenwoordigheid van trifluorometaansulfoonsuur. Die selektiwiteit was laag in gevalle waar min metatese plaasgevind het (veral die sulfoonsure).

4.6 KMR-studie van die $\text{RuCl}_3 \cdot x\text{H}_2\text{O}/\text{EtOH}/\text{BDD/PCy}_3/\text{H}_2$ -sisteem

4.6.1 Onderzoek na die invloed van die volgorde van byvoeging van reagense.

Tydens die werk deur Van Schalkwyk² gedoen, is die reagense in 'n spesifieke volgorde bygevoeg, naamlik alkeen, fosfien, alkyn, Ru-oplossing. Hierdie volgorde is deurgaans gehandhaaf in hierdie studie. Ten einde te bepaal hoekom hierdie volgorde belangrik is, is 'n reeks KMR-eksperimente gedoen om te bepaal of daar reaksies tussen die onderskeie

komponente plaasvind. Verskillende kombinasies van die onderskeie komponente is ondersoek om vas te stel of hierdie komponente onderling reageer in afwesigheid van die ander komponente. Daar is gepoog om vanuit hierdie kombinasie eksperimente bevestiging vir die voorgestelde meganisme te kry.

Elke kombinasie is eers by kamertemperatuur vermeng en geanalyseer. Dit is daarna tot 80 °C verhit. 'n Tweede analise is gedoen en met die eerste vergelyk ten einde te bepaal of enige reaksie plaasgevind het. Daarna is gepoog om vanuit die verskille in KMR-spektra te bepaal of die reaksie in ooreenstemming kan wees met die voorgestelde meganisme. Aangesien die interaksie van die verskillende verbindings van so 'n aard is dat die tussenverbindings nie geïsoleer kan word nie, of dat isolasie van tussenprodukte weining inligting sal gee aangaande die meganisme, is slegs gepoog om vas te stel of die bepaalde veranderings ooreenstem met die voorgestelde meganisme.

Die reaksiemengsels wat gebruik is, was

1. $\text{RuCl}_3 + \text{BDD} = 1:10$: Volgens die voorgestelde meganisme word die karbeen vanuit die hidried gevorm, wat op sy beurt vorm wanneer die Ru-oplossing by die fosfien gevoeg word.
Indien die Ru-oplossing met die alkyn reageer, kan dit dui op 'n moontlike newereaksie indien dit saam met die fosfien in die oplossing teenwoordig is.
2. $\text{RuCl}_3 + 1\text{-okteen} = 1:179$: Indien 'n reaksie tussen die alkeen en die Ru-oplossing plaasvind, kan dit daarop dui dat 'n ongewensde reaksie in kompetisie met metatese plaasvind, of dit kan daarop dui dat die ander reagense nie nodig is vir metatese nie. Laasgenoemde moontlikheid word nie vir hierdie besprekingoorweeg nie op grond van die resultate met die optimisering van die reagensverhoudings.
3. $\text{RuCl}_3 + \text{PCy}_3 = 1:2.5$: Volgens die voorgestelde meganisme word hier 'n reaksie verwag, en word 'n metaalhidried van die tipe $\text{Ru}(\text{H})(\text{H}_2)(\text{PCy}_3)_2$ gevorm. Sodanige reaksie behoort vanuit 'n chemiese verskuiwing sigbaar te wees.
4. $\text{RuCl}_3 + \text{BDD} + \text{PCy}_3 = 1:10:2.5$: 'n Reaksie word wel hier verwag. Deur die resultaat van hierdie eksperiment met die resultaat van 'n eksperiment met die alkeen teenwoordig te vergelyk, kan gesien word of die alkeen nodig is vir die vorming van die katalisator. 'n Verskil tussen hierdie reaksie en een met die alkeen teenwoordig word verwag.
5. $\text{RuCl}_3 + (\text{BDD} + \text{PCy}_3 + 1\text{-okteen}) = 1:10:2.5:1800$: Hierdie reaksie moet met die reaksie 4 vergelyk word.
6. $\text{RuCl}_3 + \text{PCy}_3 + \text{H}_2 1:2.5$ met borreling = 1:2.5: Hierdie reaksie is gedoen om te bepaal of waterstofborreling 'n rol speel in die voorgestelde hidriedvorming in die afwesigheid van 'n alkeen.
7. $\text{RuCl}_3 + (\text{BDD} + \text{PCy}_3) + \text{H}_2 = 1:10:2.5$ met borreling: Hierdie reaksie sal na verwagting

- dieselde resultaat gee as 6, aangesien volgens die voorgestelde meganisme die alkyn geen rol speel met hidriedvorming nie, maar wel met karbeenvorming.
8. $\text{BDD} + 1,5\text{-heksadieen} = 1:1$: Hierdie reaksie poog om te bepaal of 'n interaksie tussen BDD en 1,5-heksadieen die rede is vir die groter metatese-aktiwiteit van die sisteem in die teenwoordigheid van 1,5-heksadieen.
 9. $\text{BDD} + \text{PCy}_3 = 4:1$: Volgens die voorgestelde meganisme word geen reaksie tussen hierdie twee reagense verwag nie.

Die reagense is in die volgorde soos aangetoon bymekaargevoeg. Waar reagense in hakies getoon word, is die reagense in hakies genoem bymekaargevoeg en hierdie mengsel by die ander reagense gevoeg. Daarna is 'n KMR-analise so vinnig as prakties moontlik gedoen.

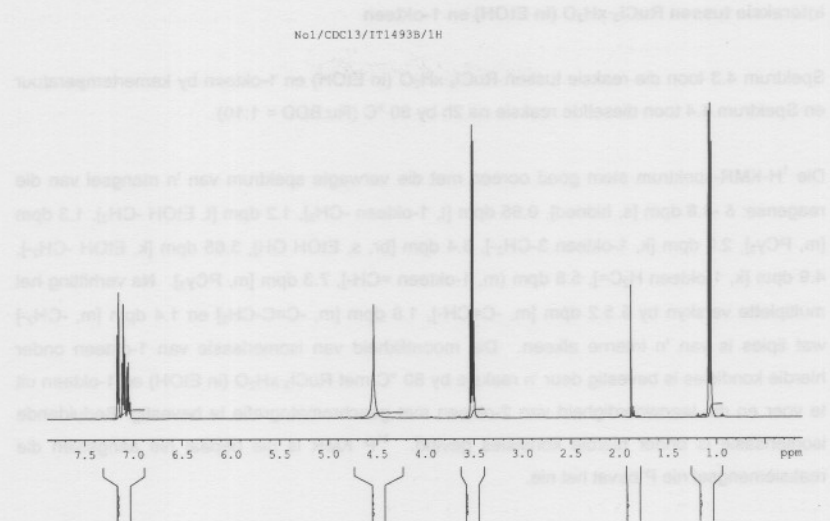
Van elkeen van die reaksies is 'n tweede KMR-analise gedoen nadat die reaksiemengsel vir 2h by 80 °C gehou was, om te onderskei watter van die gemete interaksies eers by die reaksietemperatuur van 80 °C, waarby die meeste van die reaksies uitgevoer is, plaasgevind het. Interaksies wat eers by 80 °C plaasvind, kan nie die volgorde waarby reagense bygevoeg word, beïnvloed nie, aangesien die reagense by kamertemperatuur bymekaargevoeg is. Reaksies wat onmiddellik plaasgevind het (d.w.s. klaar was voor die KMR-analise uitgevoer is) kan net waargeneem word deur die KMR-analise te vergelyk met 'n teoretiese analise van 'n mengsel van die reagense in die afwesigheid van 'n reaksie.

Interaksie tussen $\text{RuCl}_3 \cdot x\text{H}_2\text{O}$ (in EtOH) en BDD (in PhCl)

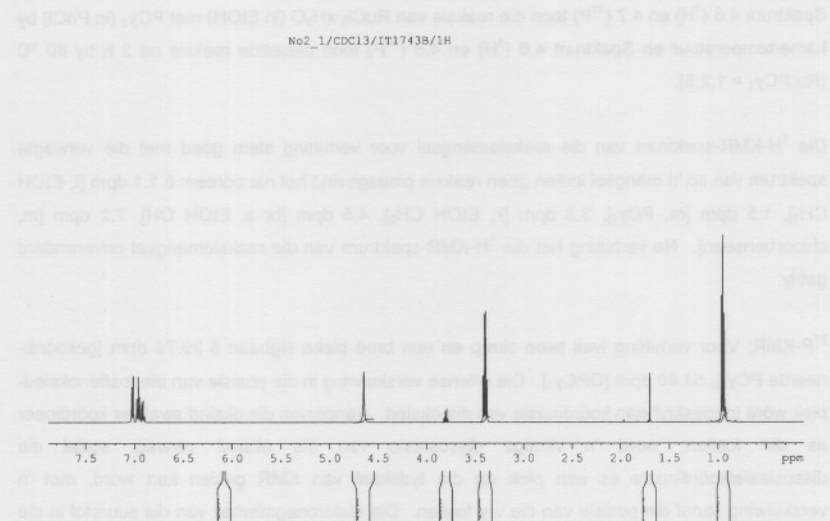
Spektrum 4.1 en toon die reaksie van $\text{RuCl}_3 \cdot x\text{H}_2\text{O}$ (in EtOH) met BDD (in PhCl) by kamertemperatuur met Ru:BDD = 1:10, en Spektrum 4.2 toon dieselde reaksie na 2h by 80 °C.

¹H-KMR: Die KMR-pieke is afkomstig vanaf die EtOH waarin die Ru-sout opgelos was, die chloorbenseen waarin die BDD opgelos was, die hidraatwater en die BDD protone. Gedeutereerde oplossings is nie gebruik nie, derhalwe is die spektrum van die onderskeie oplosmiddels teenwoordig. ¹H-KMR: δ 0.95 dpm [t, 3H, EtOH CH₃], 1.90 dpm [s, BDD –CH₂], 3.5 dpm [k, EtOH –CH₂], 4.5 dpm [s, oorvleuel met OH proton], 7.1 dpm [m, chloorbenseen]. Geen reaksie was sigbaar nie. 'n Piek is sigbaar by ongeveer –5 dpm, wat moontlik op die vorming van 'n ruteniumhidried duif.

³¹P-KMR-spektra is nie opgeneem nie aangesien die reaksie nie fosfor bevat nie.



Spektrum 4.1 ^1H KMR van die reaksie van $\text{RuCl}_3 \cdot \text{xH}_2\text{O}$ (in EtOH) met BDD (in PhCl) by kamertemperatuur (Ru:BDD = 1:10).



Spektrum 4.2 ^1H KMR van die reaksie van $\text{RuCl}_3 \cdot \text{xH}_2\text{O}$ (in EtOH) met BDD (in PhCl) by 80°C na 2h (Ru:BDD = 1:10).

Interaksie tussen $\text{RuCl}_3 \cdot x\text{H}_2\text{O}$ (in EtOH) en 1-okteen

Spektrum 4.3 toon die reaksie tussen $\text{RuCl}_3 \cdot x\text{H}_2\text{O}$ (in EtOH) en 1-okteen by kamertemperatuur en Spektrum 4.4 toon dieselfde reaksie na 2h by 80°C (Ru:BDD = 1:10).

Die ^1H -KMR-spektrum stem goed ooreen met die verwagte spektrum van 'n mengsel van die reagense: δ -4.8 dpm [s, hidried], 0.85 dpm [t, 1-okteen - CH_3], 1.2 dpm [t, EtOH - CH_3], 1.3 dpm [m, PCy_3], 2.0 dpm [k, 1-okteen 3- CH_2], 3.4 dpm [br, s, EtOH OH], 3.65 dpm [k, EtOH - CH_2], 4.9 dpm [k, 1-okteen $\text{H}_2\text{C}=\text{}$], 5.8 dpm [m, 1-okteen = $\text{CH}-$], 7.3 dpm [m, PCy_3]. Na verhitting het multiplette verskyn by δ 5.2 dpm [m, - $\text{C}=\text{CH}-$], 1.8 dpm [m, - $\text{C}=\text{C}-\text{CH}_2$] en 1.4 dpm [m, - CH_2-] wat tipies is van 'n interne alkeen. Die moontlikheid van isomerisasie van 1-okteen onder hierdie kondisies is bevestig deur 'n reaksie by 80°C met $\text{RuCl}_3 \cdot x\text{H}_2\text{O}$ (in EtOH) en 1-okteen uit te voer en die teenwoordigheid van 2-okteen met gaschromatografie te bevestig. Beduidende isomerisasie is onder hierdie kondisies gevind. ^{31}P KMR is nie bepaal nie aangesien die reaksiemengsel nie P bevat het nie.

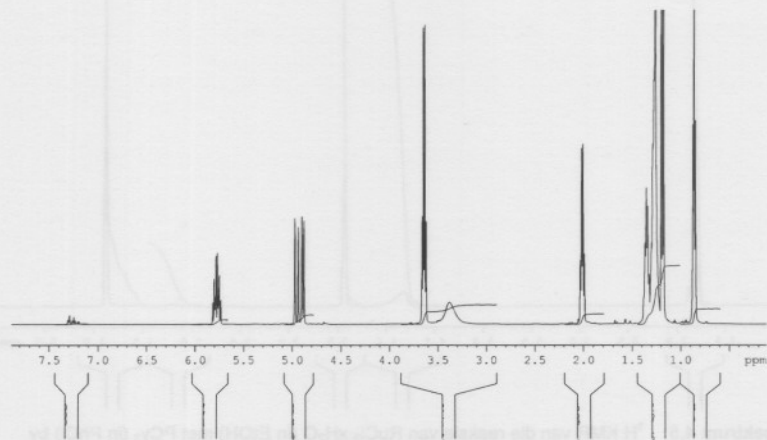
Interaksie tussen $\text{RuCl}_3 \cdot x\text{H}_2\text{O}$ (in EtOH) en PCy_3 (in PhCl)

Spektrum 4.5 (^1H) en 4.7 (^{31}P) toon die reaksie van $\text{RuCl}_3 \cdot x\text{H}_2\text{O}$ (in EtOH) met PCy_3 (in PhCl) by kamertemperatuur en Spektrum 4.6 (^1H) en 4.8 (^{31}P) toon dieselfde reaksie na 2 h by 80°C (Ru: PCy_3 = 1:2.5).

Die ^1H -KMR-spektrum van die reaksiemengsel voor verhitting stem goed met die verwagte spektrum van so 'n mengsel indien geen reaksie plaasgevind het nie ooreen: δ 1.1 dpm [t, EtOH CH_3], 1.5 dpm [m, PCy_3], 3.2 dpm [k, EtOH CH_2], 4.5 dpm [br s, EtOH OH], 7.2 dpm [m, chloorbenseen]. Na verhitting het die ^1H -KMR-spektrum van die reaksiemengsel onveranderd gebly.

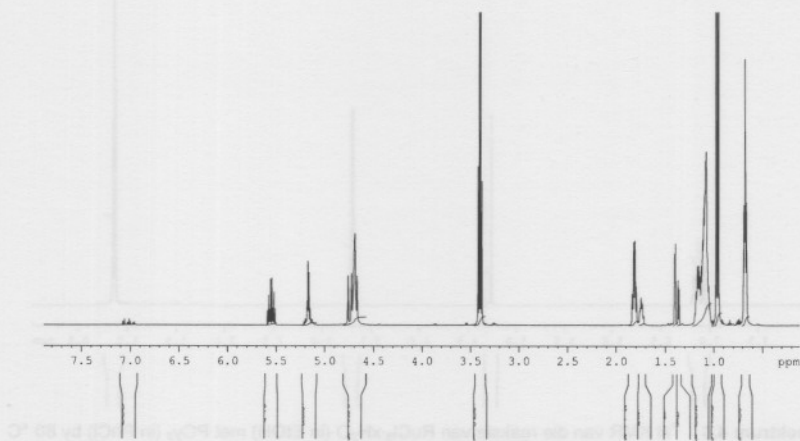
^{31}P -KMR: Voor verhitting was twee skerp en een breë piek sigbaar: δ 29.79 dpm [gekoördineerde PCy_3], 54.40 dpm [OPCy_3]. Die effense verskuiwing in die posisie van die fosfienoksiedpiek word toegeskryf aan koördinasie van die oksied. Aangesien die oksied swakker koördineer as die fosfien, word 'n vinnige dissosiasie van die oksied verwag, sodat die dissosiasie/koördinasie as een piek op die tydskaal van KMR gesien kan word, met 'n verskuiwing vanaf die posisie van die vry fosfien. Die elektronegativiteit van die suurstof in die oksied veroorsaak dat die verskuiwing, as gevolg van die kleiner afskerming van die elektrone, veldaf is. 'n Breë piek is by δ 32.72 dpm sigbaar.

No2/CDC13/IT1494B/1H



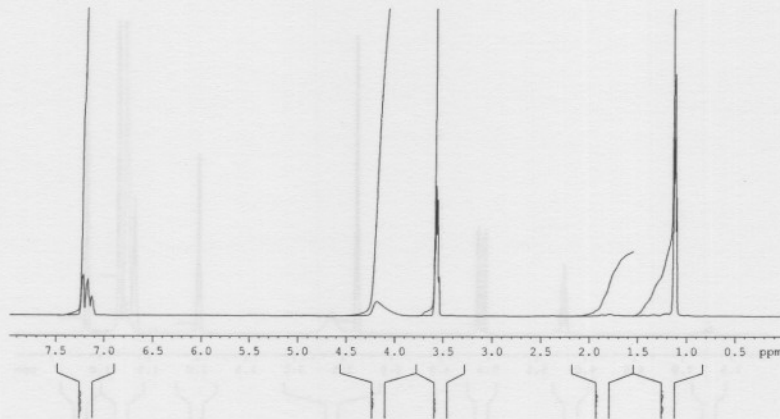
Spektrum 4.3 ¹H KMR van die reaksie van $\text{RuCl}_3 \cdot x\text{H}_2\text{O}$ (in EtOH) met 1-okteen by kamertemperatuur (Ru:BDD = 1:10).

No2_2/CDC13/IT1744B/1H



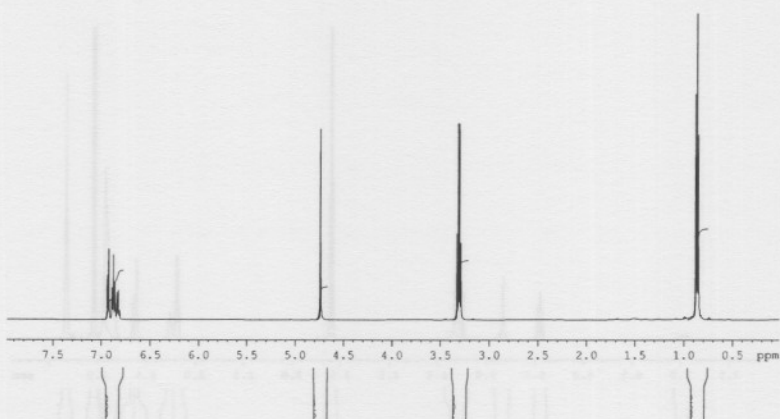
Spektrum 4.4 ¹H KMR van die reaksie van $\text{RuCl}_3 \cdot x\text{H}_2\text{O}$ (in EtOH) met 1-okteen by 80 °C na 2h (Ru:BDD = 1:10).

No3/CDC13/IT1495B/1H

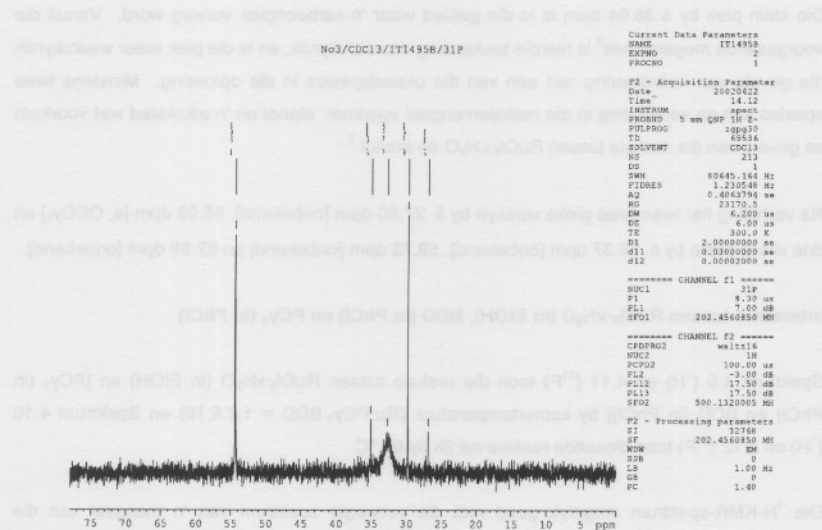


Spektrum 4.5 ¹H KMR van die reaksie van RuCl₃·xH₂O (in EtOH) met PCy₃ (in PhCl) by kamertemperatuur (Ru:PCy₃ = 1:2.5).

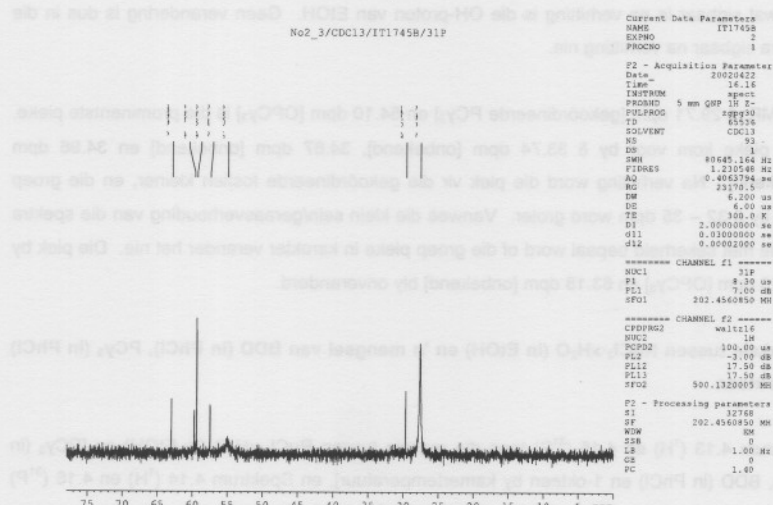
No2_3/CDC13/IT1745B/1H



Spektrum 4.6 ¹H KMR van die reaksie van RuCl₃·xH₂O (in EtOH) met PCy₃ (in PhCl) by 80 °C na 2 h (Ru:PCy₃ = 1:2.5).



Spektrum 4.7 ^{31}P KMR van die reaksie van $\text{RuCl}_3 \cdot x\text{H}_2\text{O}$ (in EtOH) met PCy_3 (in PhCl) by kamer temperatuur ($\text{Ru:PCy}_3 = 1:2.5$).



Spektrum 4.8 ^{31}P KMR van die reaksie van $\text{RuCl}_3 \cdot x\text{H}_2\text{O}$ (in EtOH) met PCy_3 (in PhCl) by 80°C na 2 h ($\text{Ru:PCy}_3 = 1:2.5$).

Die klein piek by δ 35.04 dpm is in die gebied waar 'n karbeenpiek verwag word. Vanuit die voorgestelde meganismes² is hierdie toekenning onwaarskynlik, en is die piek meer waarskynlik die gevolg van koördinering van een van die oksiedspesies in die oplossing. Minstens twee spesies kan na verwagting in die reaksiemengsel voorkom: etanol en 'n alkoksied wat voorkom as gevolg van die reaksie tussen $\text{RuCl}_3 \cdot x\text{H}_2\text{O}$ en etanol.²

Na verhitting het twee breë pieke verskyn by δ 27.60 dpm [onbekend], 55.03 dpm [s, OPCy_3] en drie skerp pieke by δ 59.37 dpm [onbekend], 59.73 dpm [onbekend] en 62.89 dpm [onbekend].

Interaksie tussen $\text{RuCl}_3 \cdot x\text{H}_2\text{O}$ (in EtOH), BDD (in PhCl) en PCy_3 (in PhCl)

Spektrum 4.9 (^1H) en 4.11 (^{31}P) toon die reaksie tussen $\text{RuCl}_3 \cdot x\text{H}_2\text{O}$ (in EtOH) en [PCy_3 (in PhCl) en BDD (in PhCl)] by kamertemperatuur ($\text{Ru:PCy}_3:\text{BDD} = 1:2.5:10$) en Spektrum 4.10 (^1H) en 4.12 (^{31}P) toon dieselfde reaksie na 2h by 80°C

Die ^1H -KMR-spektrum vergelyk goed met die verwagte spektrum van 'n mengsel van die onderskeie reagense: δ 1.2 dpm [t, EtOH -CH₃], 2.0 dpm [s, BDD], 3.6 dpm [br, onbekend], 3.7 dpm [k, EtOH -CH₂], 4.5 dpm [s, BDD -CH₂], 7.2 dpm [m, chloorbenseen]. Die piek by δ 4.7 dpm wat sigbaar is na verhitting is die OH-proton van EtOH. Geen verandering is dus in die spektra sigbaar na verhitting nie.

^{31}P -KMR: δ 29.71 dpm [gekoördineerde PCy_3] en 54.10 dpm [OPCy_3] is die prominentste pieke. Klein pieke kom voor by δ 33.74 dpm [onbekend], 34.67 dpm [onbekend] en 34.96 dpm [onbekend]. Na verhitting word die piek vir die gekoördineerde fosfien kleiner, en die groep pieke by δ 32 – 35 dpm word groter. Vanweë die klein sein/geraasverhouding van die spektra kan nie met sekerheid bepaal word of die groep pieke in karakter verander het nie. Die piek by δ 54.10 dpm [OPCy_3] en 63.18 dpm [onbekend] bly onveranderd.

Interaksie tussen $\text{RuCl}_3 \cdot x\text{H}_2\text{O}$ (in EtOH) en 'n mengsel van BDD (in PhCl), PCy_3 (in PhCl) en 1-okaneen

Spektrum 4.13 (^1H) en 4.15 (^{31}P) toon die reaksie tussen $\text{RuCl}_3 \cdot x\text{H}_2\text{O}$ (in EtOH) en [PCy_3 (in PhCl), BDD (in PhCl) en 1-okaneen by kamertemperatuur], en Spektrum 4.14 (^1H) en 4.16 (^{31}P) toon dieselfde reaksie na 2h by 80°C ($\text{Ru:PCy}_3:\text{BDD} = 1:2.5:10$).

^1H -KMR: 'n Meer komplekse spektrum as enige van die spektra reeds getoon, word verkry met die insluiting van die okteenspektra: δ 1 dpm [t, EtOH -CH₃], 1.3 dpm [m, PCy_3 , oorvleuel met 1-

okteen -CH₂-], 2.1 dpm [k, -CH₂-CH=CH₂], 3.7 dpm [k, EtOH -CH₃], 4.7 dpm [s, BDD -CH₂-], 5.0 dpm [k, 1-okteen -C=CH₂] 5.5 dpm [m, interne alkeen -CH=C-] 5.9 dpm [m, 1-okteen -CH=], en 7.3 dpm [m, PhCl]. Na verhitting kom een enkele piek by δ 2.0 dpm [k, BDD -CH₃]. Hierdie piek oorvleuel voor verhitting met die okteen CH₃-piek.

³¹P-KMR: Die verwagte piek vir die gekoördineerde fosfien is afwesig in beide spektra. Dieselfde groep pieke by δ 32 – 35 dpm soos beskryf tydens die interaksie tussen RuCl₃, BDD en PCy₃ is hier ook sigbaar. Die piek by δ 53.15 dpm [s, OPCy₃] is in beide spektra sigbaar en onveranderd. Na verhitting verskyn nuwe pieke by δ 35.68 dpm [s, Ru=R] en 62.73 dpm [onbekend].

Interaksie tussen RuCl₃·xH₂O (in EtOH), PCy₃ (in PhCl) en H₂

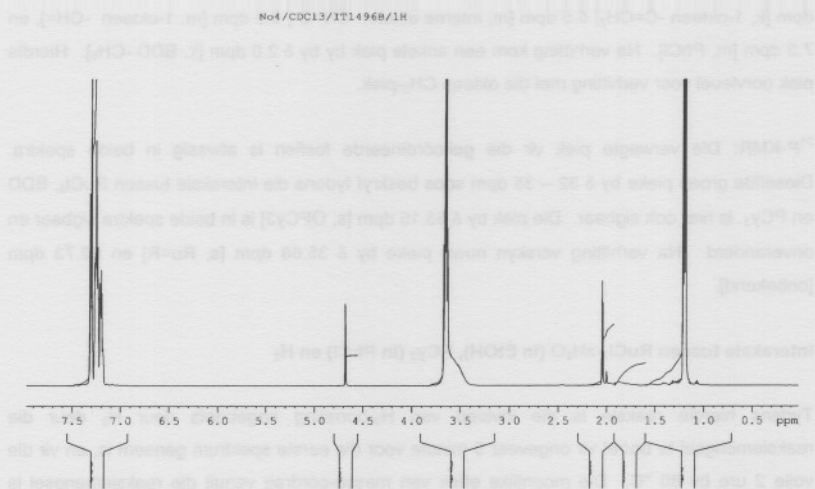
Tydens hierdie reaksie is die invloed van H₂-borreleng nageboots deur H₂ deur die reaksiemengsel te borrel vir ongeveer 5 minute voor die eerste spektrum geneem is, en vir die volle 2 ure by 80 °C. Die moontlike effek van massa-oordrag vanuit die reaksiemengsel is vanweë eksperimentele oorwegings geïgnoreer.

Spektrum 4.17 (¹H) en 4.19 (³¹P) toon die reaksie van RuCl₃·xH₂O (in EtOH) met PCy₃ (in PhCl) en H₂ by kamertemperatuur, en Spektrum 4.18 (¹H) en 4.20 (³¹P) toon dieselfde reaksie na 2h by 80 °C (Ru:PCy₃:BDD = 1:2.5:10).

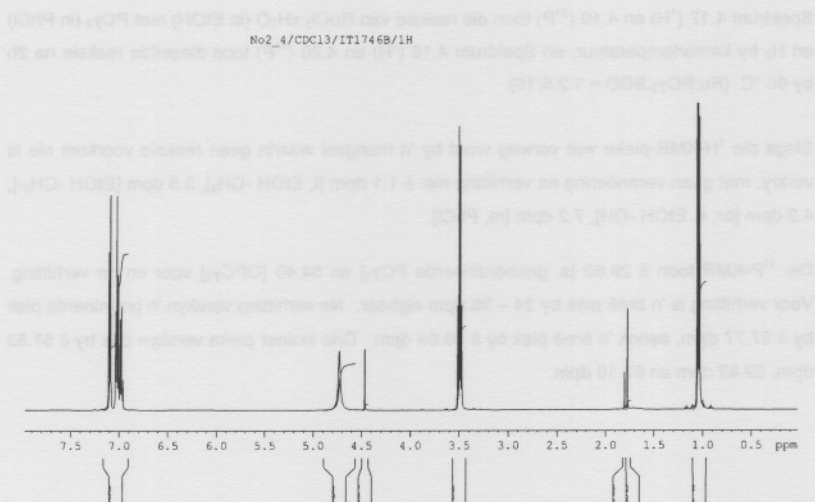
Slegs die ¹H-KMR-pieke wat verwag word by 'n mengsel waarin geen reaksie voorkom nie is verkry, met geen verandering na verhitting nie: δ 1.1 dpm [t, EtOH -CH₃], 3.5 dpm [EtOH -CH₂-], 4.2 dpm [br, s, EtOH -OH], 7.2 dpm [m, PhCl].

Die ³¹P-KMR toon δ 29.80 [s, gekoördineerde PCy₃] en 54.40 [OPCy₃] voor en na verhitting. Voor verhitting is 'n breë piek by 34 – 36 dpm sigbaar. Na verhitting verskyn 'n prominente piek by δ 27.77 dpm, asook 'n breë piek by δ 56.09 dpm. Drie kleiner pieke verskyn ook by δ 57.53 dpm, 59.82 dpm en 63.10 dpm.

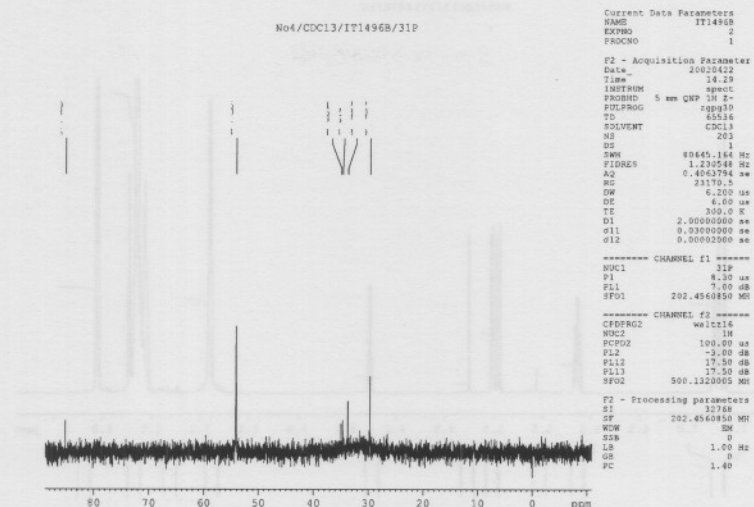
0.5 g HO-OBn (1 mol) + 0.5 g RuCl₃·xH₂O (0.5 mol) + 0.5 g BDD + 0.5 g PCy₃ (0.5 mol) + EtOH (5 ml) + H₂O (5 ml) = Ru(Ph₃Cy₂)₂(OBn)₂ (0.5 mol)



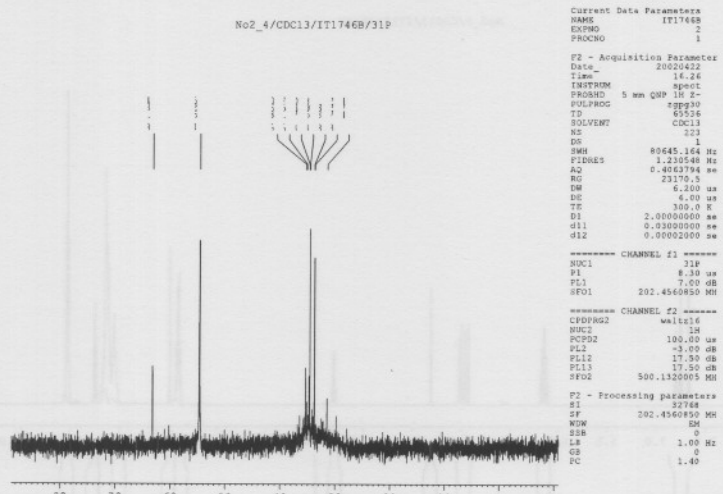
Spektrum 4.9 ¹H KMR van die reaksie van RuCl₃·xH₂O (in EtOH) met PCy₃ (in PhCl) en BDD (in PhCl) by kamertemperatuur (Ru:PCy₃:BDD = 1:2.5:10).



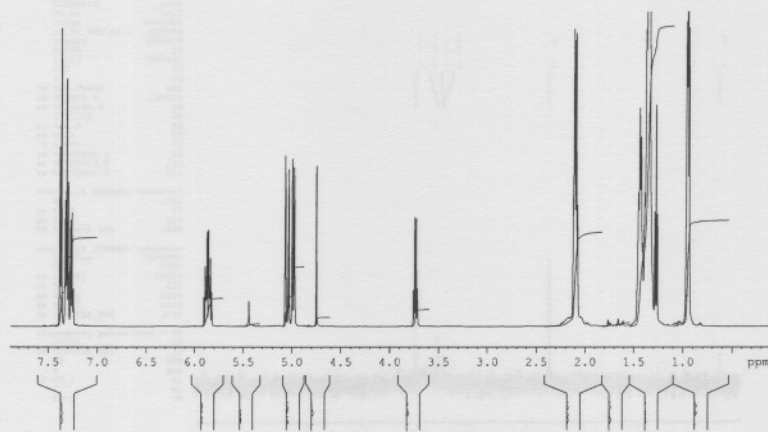
Spektrum 4.10 ¹H KMR van die reaksie van RuCl₃·xH₂O (in EtOH) met PCy₃ (in PhCl) en BDD (in PhCl) by 80 °C na 2h (Ru:PCy₃:BDD = 1:2.5:10).



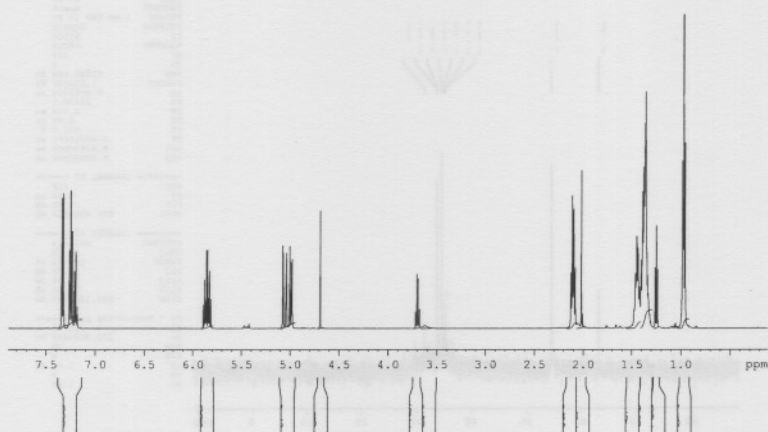
Spektrum 4.11 ^{31}P KMR van die reaksie van $\text{RuCl}_3 \cdot x\text{H}_2\text{O}$ (in EtOH) met PCy_3 (in PhCl) en BDD (in PhCl) by kamertemperatuur ($\text{Ru:PCy}_3:\text{BDD} = 1:2.5:10$).



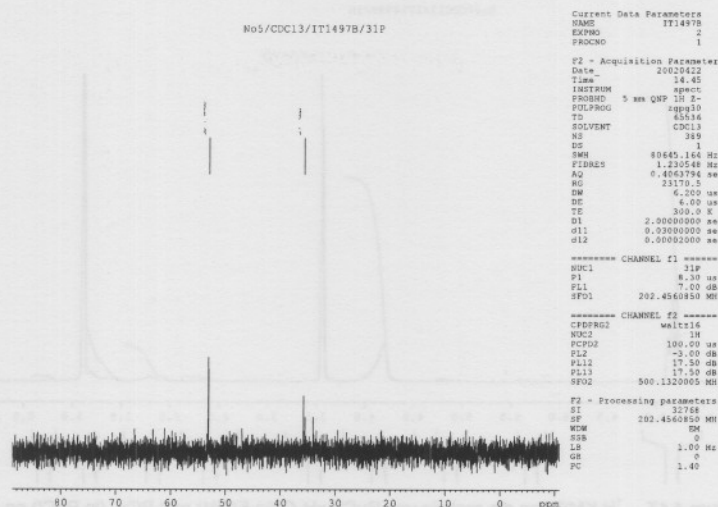
Spektrum 4.12 ^{31}P KMR van die reaksie van $\text{RuCl}_3 \cdot x\text{H}_2\text{O}$ (in EtOH) met PCy_3 (in PhCl) en BDD (in PhCl) by 80 °C na 2h ($\text{Ru:PCy}_3:\text{BDD} = 1:2.5:10$).

No5/CDCl₃/IT1497B/1H

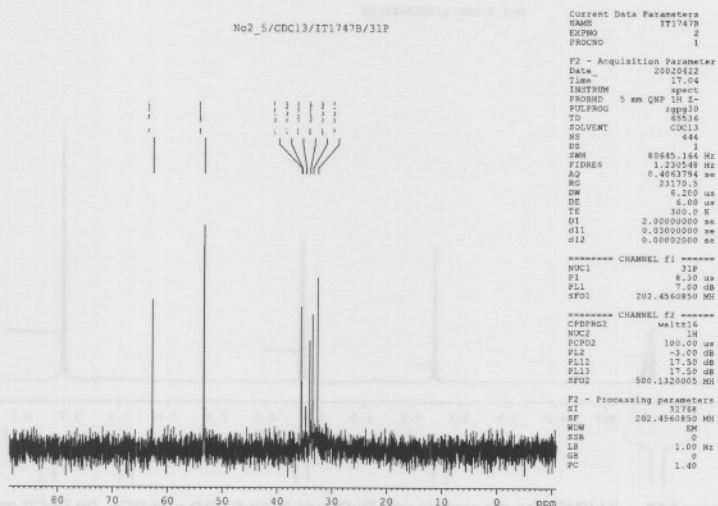
Spektrum 4.13 ¹H KMR van die reaksie van RuCl₃·xH₂O (in EtOH) met PCy₃ (in PhCl), BDD (in PhCl) en 1-okteen by kamertemperatuur (Ru:PCy₃:BDD = 1:2.5:10).

No2_5/CDCl₃/IT1747B/1H

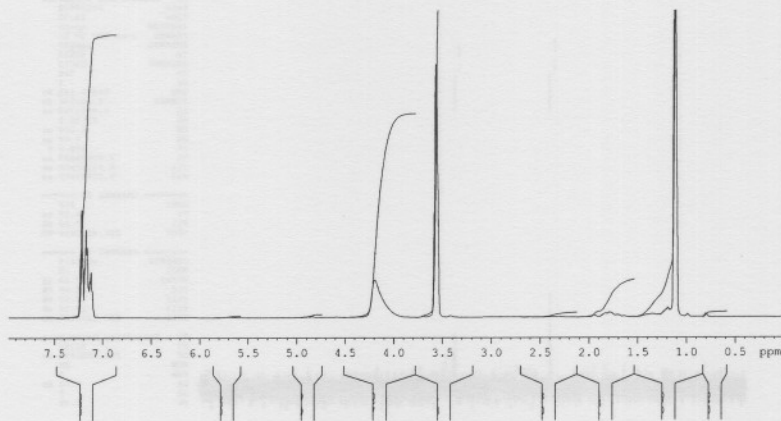
Spektrum 4.14 ¹H KMR van die reaksie van RuCl₃·xH₂O (in EtOH) met PCy₃ (in PhCl), BDD (in PhCl) en 1-okteen by 80 °C na 2h (Ru:PCy₃:BDD = 1:2.5:10).



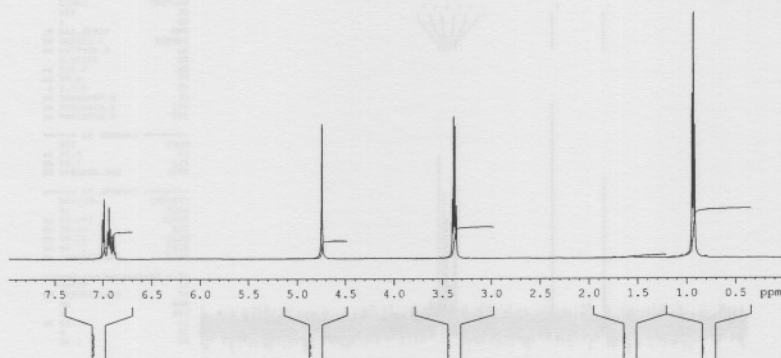
Spektrum 4.15 ^{31}P KMR van die reaksie van $\text{RuCl}_3 \cdot \text{xH}_2\text{O}$ (in EtOH) met PCy_3 (in PhCl), BDD (in PhCl) en 1-okeen by kamertemperatuur ($\text{Ru:PCy}_3:\text{BDD} = 1:2.5:10$).



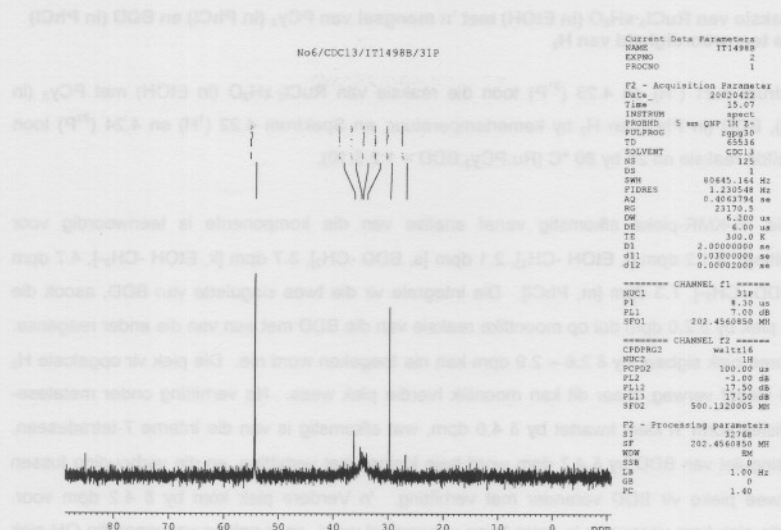
Spektrum 4.16 ^{31}P KMR van die reaksie van $\text{RuCl}_3 \cdot \text{xH}_2\text{O}$ (in EtOH) met PCy_3 (in PhCl), BDD (in PhCl) en 1-okeen by 80°C na 2 h ($\text{Ru:PCy}_3:\text{BDD} = 1:2.5:10$).

No6/CDCl₃/IT1498B/1H

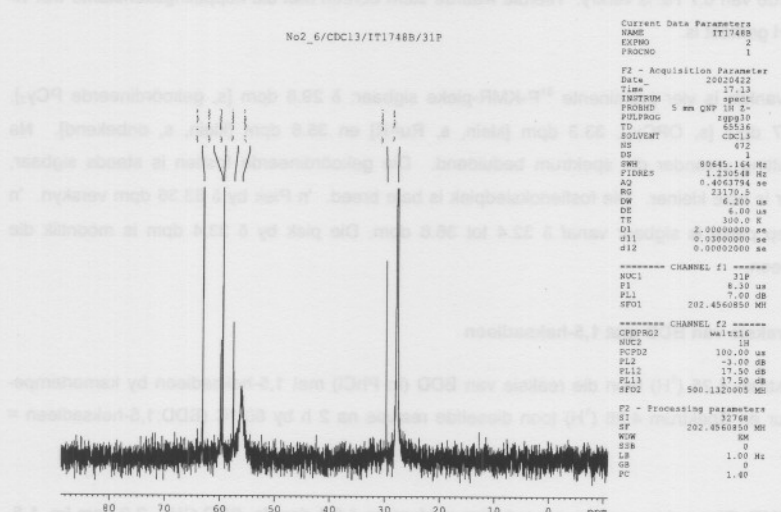
Spektrum 4.17 ¹H KMR van die reaksie van RuCl₃·xH₂O (in EtOH) met PCy₃ (in PhCl) en H₂ by kamertemperatuur (Ru:PCy₃:BDD = 1:2.5:10).

No2_6/CDCl₃/IT1748B/1H

Spektrum 4.18 ¹H KMR van die reaksie van RuCl₃·xH₂O (in EtOH) met PCy₃ (in PhCl) en H₂ by 80 °C na 2h (Ru:PCy₃:BDD = 1:2.5:10).



Spektrum 4.19 ^{31}P KMR van die reaksie van $\text{RuCl}_3 \cdot x\text{H}_2\text{O}$ (in EtOH) met PCy_3 (in PhCl) en H_2 by kamertemperatuur ($\text{Ru:PCy}_3:\text{BDD} = 1:2.5:10$).



Spektrum 4.20 ^{31}P KMR van die reaksie van $\text{RuCl}_3 \cdot x\text{H}_2\text{O}$ (in EtOH) met PCy_3 (in PhCl) en H_2 by 80°C na 2 h ($\text{Ru:PCy}_3:\text{BDD} = 1:2.5:10$).

Interaksie van RuCl₃·xH₂O (in EtOH) met 'n mengsel van PCy₃ (in PhCl) en BDD (in PhCl) in die teenwoordigheid van H₂

Spektrum 4.21 (¹H) en 4.23 (³¹P) toon die reaksie van RuCl₃·xH₂O (in EtOH) met PCy₃ (in PhCl), BDD (in PhCl) en H₂ by kamertemperatuur, en Spektrum 4.22 (¹H) en 4.24 (³¹P) toon dieselfde reaksie na 2h by 80 °C (Ru:PCy₃:BDD = 1:2.5:10).

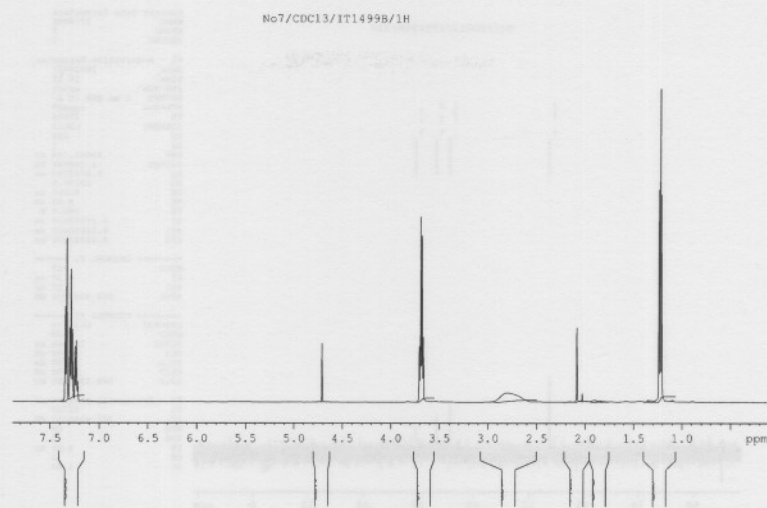
Al die ¹H-KMR-pieke afkomstig vanaf analise van die komponente is teenwoordig voor verhitting: δ 1.2 dpm [t, EtOH -CH₃], 2.1 dpm [s, BDD -CH₃], 3.7 dpm [k, EtOH -CH₂-], 4.7 dpm [s, BDD -CH₂-], 7.3 dpm [m, PhCl]. Die integrale vir die twee singulette van BDD, asook die klein piek by δ 2.0 dpm dui op moontlike reaksie van die BDD met een van die ander reagense. Die breë piek sigbaar by δ 2.6 – 2.9 dpm kan nie toegeken word nie. Die piek vir opgeloste H₂ word veldaf verwag, maar dit kan moontlik hierdie piek wees. Na verhitting onder metatesekondisies vorm 'n klein kwartet by δ 4.0 dpm, wat afkomstig is van die interne 7-tetradeseen. Die singulet van BDD by δ 4.7 dpm word baie kleiner met verhitting, en die verhouding tussen die twee pieke vir BDD verander met verhitting. 'n Verdere piek kom by δ 4.2 dpm voor. Hierdie piek kom voor waar 'n ester tipies verwag sal word, en is veldop van waar die OH-piek vir EtOH in die ander spektra verkry is. 'n Koppelingskonstante is vir hierdie piek gemeet, en 'n waarde van 6.7 Hz is verkry. Hierdie waarde stem ooreen met die koppelingskonstante wat vir EtOH gemeet is.

Aanvanklik is vier prominente ³¹P-KMR-pieke sigbaar: δ 29.6 dpm [s, gekoördineerde PCy₃], 58.77 dpm [s, OPCy₃], 33.3 dpm [klein, s, Ru=R] en 35.8 dpm [klein, s, onbekend]. Na verhitting verander die spektrum beduidend. Die gekoördineerde fosfien is steeds sigbaar, maar is baie kleiner. Die fosfienoksiedpiek is baie breed. 'n Piek by δ 63.36 dpm verskyn. 'n Groep pieke is sigbaar vanaf δ 32.4 tot 36.6 dpm. Die piek by δ 33.4 dpm is moontlik die karbeen.

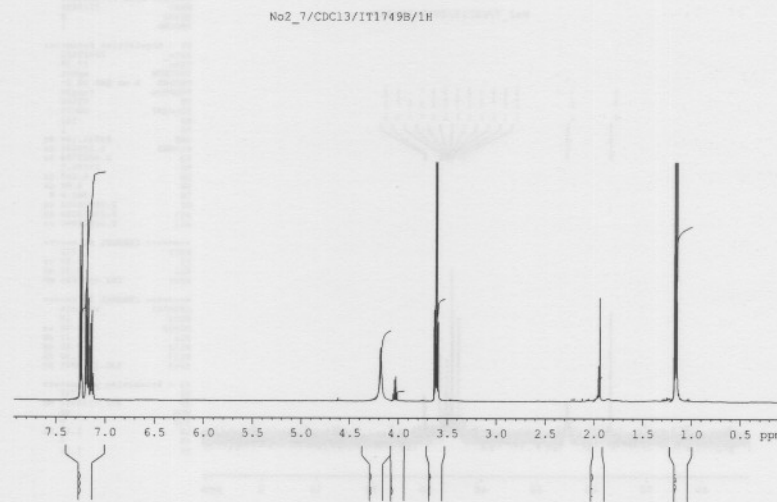
Interaksie van BDD met 1,5-heksadieen

Spektrum 4.25 (¹H) toon die reaksie van BDD (in PhCl) met 1,5-heksadieen by kamertemperatuur en Spektrum 4.26 (¹H) toon dieselfde reaksie na 2 h by 80 °C (BDD:1,5-heksadieen = 1:1).

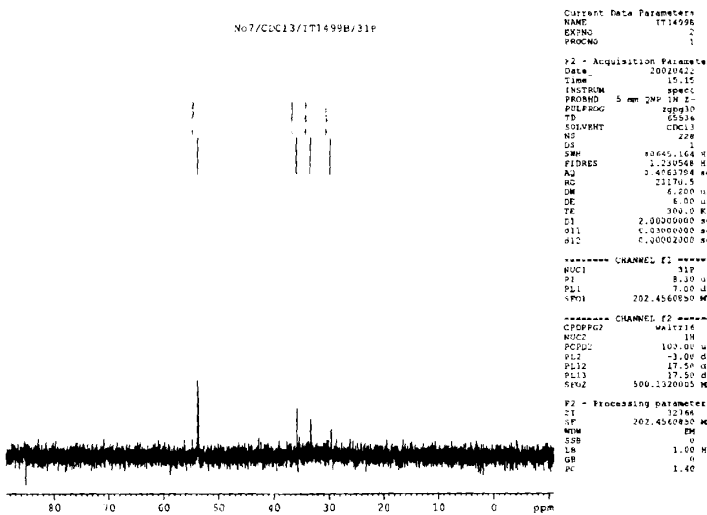
¹H KMR: Die spektra voor en na verhitting is identies: δ 2.1 dpm [s, BDD CH₃], 2.2 dpm [m, 1,5-heksadieen -CH₂-], 4.7 dpm [s, BDD -CH₂-], 5.0 dpm [m, 1,5-heksadieen =CH₂], 5.9 dpm [m, 1,5-heksadieen -CH=], 7.3 dpm [m, PhCl]. Die ³¹P-spektra is nie bepaal nie aangesien daar nie fosfor in die reaksiemengsel was nie.



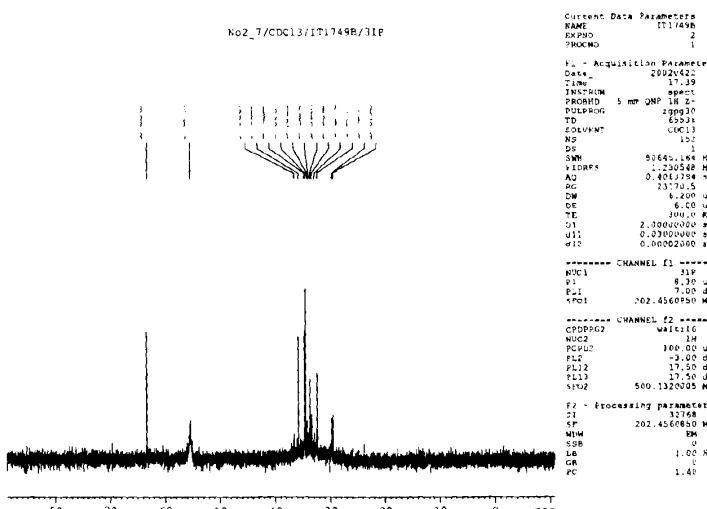
Spektrum 4.21 ^1H KMR van die reaksie van $\text{RuCl}_3 \cdot \text{xH}_2\text{O}$ (in EtOH) met PCy_3 (in PhCl), BDD (in PhCl) en H_2 by kamertemperatuur ($\text{Ru:PCy}_3:\text{BDD} = 1:2.5:10$).



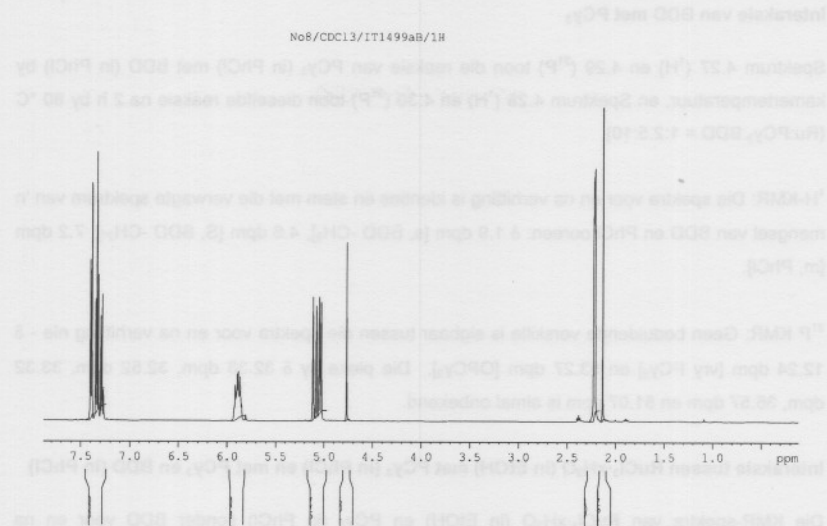
Spektrum 4.22 ^1H KMR van die reaksie van $\text{RuCl}_3 \cdot \text{xH}_2\text{O}$ (in EtOH) met PCy_3 (in PhCl), BDD (in PhCl) en H_2 by 80°C na 2h ($\text{Ru:PCy}_3:\text{BDD} = 1:2.5:10$).



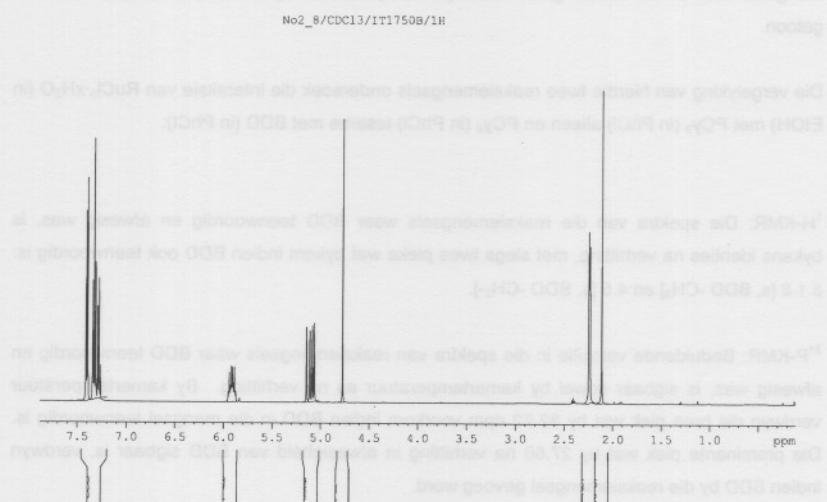
Spektrum 4.23 ^{31}P KMR van die reaksie van $\text{RuCl}_3 \cdot x\text{H}_2\text{O}$ (in EtOH) met PCy_3 (in PhCl), BDD (in PhCl) en H_2 by kamertemperatuur ($\text{Ru:PCy}_3:\text{BDD} = 1:2.5:10$).



Spektrum 4.24 ^{31}P KMR van die reaksie van $\text{RuCl}_3 \cdot x\text{H}_2\text{O}$ (in EtOH) met PCy_3 (in PhCl), BDD (in PhCl) en H_2 by 80°C na 2 h ($\text{Ru:PCy}_3:\text{BDD} = 1:2.5:10$).



Spektrum 4.25 ¹H KMR van die reaksie van BDD (in PhCl) en 1,5-heksadien by kamertemperatuur (Ru:PCy₃:BDD = 1:2.5:10).



Spektrum 4.26 ¹H KMR van die reaksie van BDD (in PhCl) en 1,5-heksadien by 80 °C na 2h (Ru:PCy₃:BDD = 1:2.5:10).

Interaksie van BDD met PCy₃

Spektrum 4.27 (¹H) en 4.29 (³¹P) toon die reaksie van PCy₃ (in PhCl) met BDD (in PhCl) by kamertemperatuur, en Spektrum 4.28 (¹H) en 4.30 (³¹P) toon dieselfde reaksie na 2 h by 80 °C (Ru:PCy₃:BDD = 1:2.5:10).

¹H-KMR: Die spektra voor en na verhitting is identies en stem met die verwagte spektrum van 'n mengsel van BDD en PhCl ooreen: δ 1.9 dpm [s, BDD -CH₃], 4.6 dpm [S, BDD -CH₂-], 7.2 dpm [m, PhCl].

³¹P KMR: Geen beduidende verskille is sigbaar tussen die spektra voor en na verhitting nie - δ 12.24 dpm [vry PCy₃] en 53.27 dpm [OPCy₃]. Die pieke by δ 32.38 dpm, 32.52 dpm, 33.32 dpm, 36.57 dpm en 51.07 dpm is almal onbekend.

Interaksie tussen RuCl₃·xH₂O (in EtOH) met PCy₃ (in PhCl) en met PCy₃ en BDD (in PhCl)

Die KMR-spektra van RuCl₃·xH₂O (in EtOH) en PCy₃ (in PhCl) sonder BDD voor en na verhitting word in Spektrum 4.5 tot Spektrum 4.8 getoon, en die KMR-spektra van die reaksiemengsels voor en na verhitting met BDD (in PhCl) word in Spektrum 4.9 tot Spektrum 4.12 getoon.

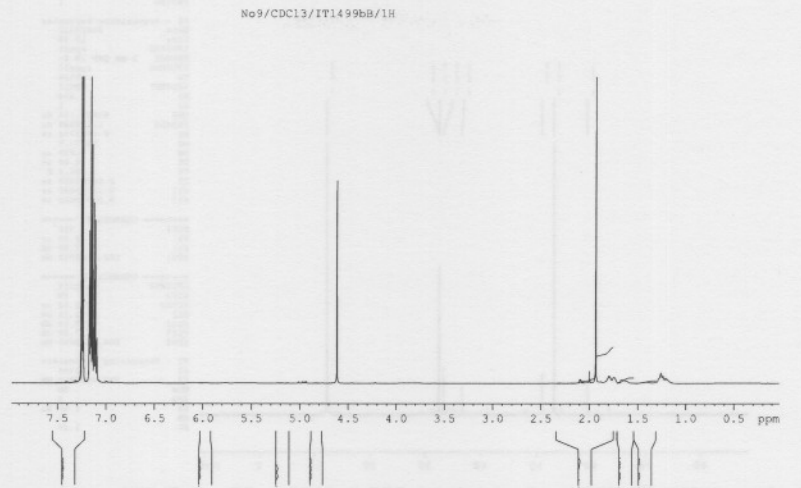
Die vergelyking van hierdie twee reaksiemengsels ondersoek die interaksie van RuCl₃·xH₂O (in EtOH) met PCy₃ (in PhCl) alleen en PCy₃ (in PhCl) tesame met BDD (in PhCl):

¹H-KMR: Die spektra van die reaksiemengsels waar BDD teenwoordig en afwesig was, is bykans identies na verhitting, met slegs twee pieke wat bykom indien BDD ook teenwoordig is: δ 1.8 [s, BDD -CH₃] en 4.5 [s, BDD -CH₂-].

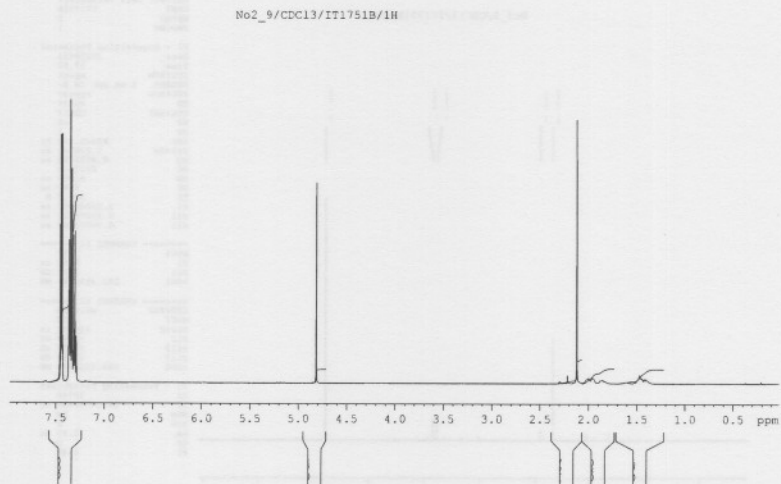
³¹P-KMR: Beduidende verskille in die spektra van reaksiemengsels waar BDD teenwoordig en afwesig was, is sigbaar sowel by kamertemperatuur as na verhitting. By kamertemperatuur verdwyn die breë piek wat by 32.72 dpm voorkom indien BDD in die mengsel teenwoordig is. Die prominente piek wat by 27.60 na verhitting in afwesigheid van BDD sigbaar is, verdwyn indien BDD by die reaksiemengsel gevoeg word.

Interaksie van RuCl₃·xH₂O met PCy₃ met en sonder H₂

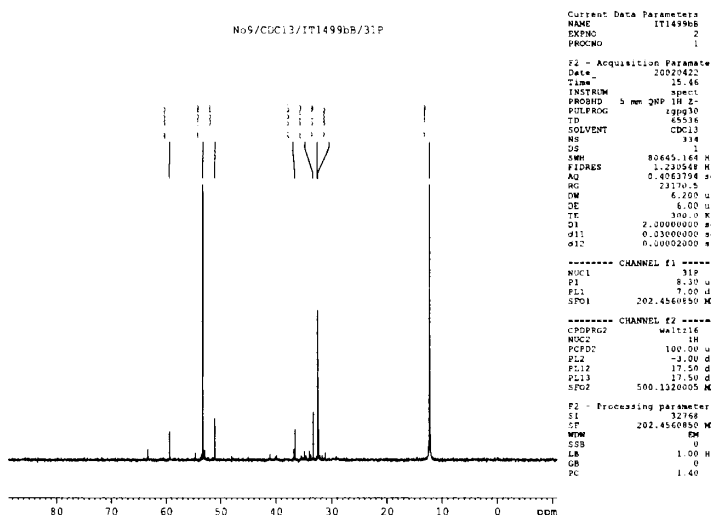
Die KMR-spektra van RuCl₃·xH₂O (in EtOH) en PCy₃ (in PhCl) sonder H₂ word in Spektrum 4.5



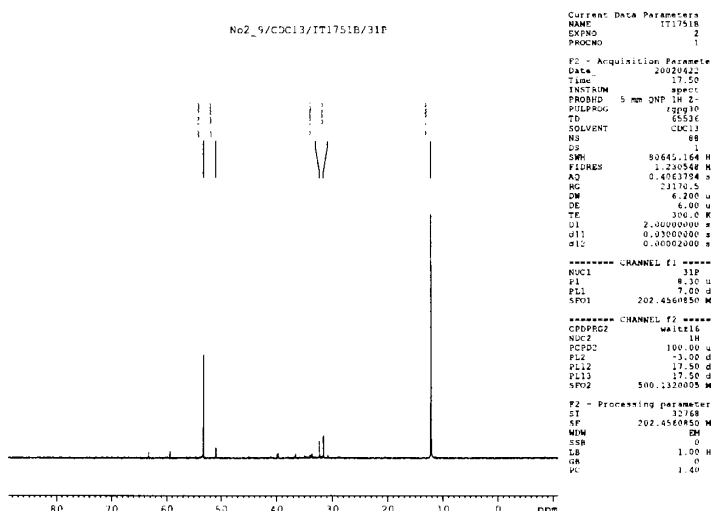
Spektrum 4.27 ^1H KMR van die reaksie van BDD (in PhCl) en PCy_3 (in PhCl) by kamertemperatuur ($\text{Ru:PCy}_3:\text{BDD} = 1:2.5:10$).



Spektrum 4.28 ^1H KMR van die reaksie van BDD (in PhCl) en PCy_3 (in PhCl) by 80°C na 2 h ($\text{Ru:PCy}_3:\text{BDD} = 1:2.5:10$).



Spektrum 4.29 ^{31}P KMR van die reaksie van BDD (in PhCl) en PCy_3 (in PhCl) by kamertemperatuur (Ru: PCy_3 :BDD = 1:2.5:10).



Spektrum 4.30 ^{31}P KMR van die reaksie van BDD (in PhCl) en PCy_3 (in PhCl) by $80\text{ }^{\circ}\text{C}$ na 2h (Ru: PCy_3 :BDD = 1:2.5:10).

tot 4.8 getoon, en die KMR-spektra van $\text{RuCl}_3 \cdot x\text{H}_2\text{O}$ (in EtOH) en PCy_3 (in PhCl) met H_2 word in Spektrum 4.17 tot 4.20 getoon.

Die vergelyking van hierdie twee groep spektra met mekaar toon die invloed van waterstof op die interaksie tussen $\text{RuCl}_3 \cdot x\text{H}_2\text{O}$ (in EtOH) en PCy_3 (in PhCl). Die ^1H - en ^{31}P -KMR van reaksiemengsels van $\text{RuCl}_3 \cdot x\text{H}_2\text{O}$ (in EtOH) en PCy_3 (in PhCl) toon dieselfde verandering voor en na verhitting ongeag of H_2 deur die reaksiemengsel geborrel is of nie.

Interaksie van $\text{RuCl}_3 \cdot x\text{H}_2\text{O}$ met BDD en PCy_3 met en sonder 1-okteen

Die KMR-spektra van $\text{RuCl}_3 \cdot x\text{H}_2\text{O}$ (in EtOH), BDD (in PhCl) en PCy_3 (in PhCl) sonder 1-okteen word in Spektrum 4.9 tot 4.12 getoon, en die KMR-spektra van $\text{RuCl}_3 \cdot x\text{H}_2\text{O}$ (in EtOH), BDD (in PhCl) en PCy_3 (in PhCl) met 1-okteen word in Spektrum 4.13 tot 4.16 getoon.

Die vergelyking van hierdie twee groep spektra met mekaar toon die effek van 1-okteen op die reaksie van $\text{RuCl}_3 \cdot x\text{H}_2\text{O}$ (in EtOH), BDD (in PhCl) en PCy_3 (in PhCl), en dus die nodigheid om 1-okteen reeds aan die begin van die reaksie teenwoordig te hê.

^1H -KMR: Die spektra word meer kompleks in die teenwoordigheid van die alkeen. Die vergelyking van die spektra van die twee reaksiemengsels na verhitting toon dat dieselfde verskille tussen spektra geneem van die reaksie by kamertemperatuur en die reaksie by 80°C voorkom indien 1-okteen teenwoordig is as wat voorkom indien 1-okteen nie teenwoordig is.

^{31}P -KMR: Die spektra voor verhitting is dieselfde. Die verskil in grootte van die gekoördineerde fosfienpiek kan aan die verdunning as gevolg van die alkeen toegeskryf word. Na verhitting toon die spektra van die reaksiemengsel met 1-okteen 'n piek by δ 35.7 dpm [s, Ru=R]. Die toekenning van hierdie piek word gedoen op grond van die KMR-resultate in § 4.6.3, waar die reaksieverloop gemonitor is.

Interaksie van $\text{RuCl}_3 \cdot x\text{H}_2\text{O}$ met BDD en PCy_3 met en sonder H_2

Die KMR-spektra van $\text{RuCl}_3 \cdot x\text{H}_2\text{O}$ (in EtOH), BDD (in PhCl) en PCy_3 (in PhCl) sonder H_2 word in Spektrum 4.9 tot 4.12 getoon, en die KMR-spektra van $\text{RuCl}_3 \cdot x\text{H}_2\text{O}$ (in EtOH), BDD (in PhCl) en PCy_3 (in PhCl) met H_2 word in Spektrum 4.21 tot 4.24 getoon.

Die vergelyking van hierdie twee groep spektra met mekaar toon die effek van waterstof op die reagense in die afwesigheid van alkeen.

¹H-KMR: Die piek by δ 2.5 dpm is beduidend groter in die teenwoordigheid van waterstof (voor verhitting). Na verhitting is die spektra van die twee reaksiemengsels identies.

³¹P-KMR: Die piek van die gekoördineerde PCy₃ is kleiner by die reaksiemengsel waar waterstof teenwoordig is, en integreer na die helfte van die waarde sonder waterstof. Na verhitting verskyn 'n piek by δ 36.57 [s, Ru=R] in die geval waar waterstof tydens verhitting deur die mengsel geborrel is.

4.6.2 Die invloed van suur op die reagense

Vanuit die eksperimente met verskillende bymiddels is gevind dat CHCl₃ as oplosmiddel aanleiding tot meer metatese gegee het. Hierdie verskynsel kan moontlik aan die hand van die teenwoordigheid van spoorhoeveelhede HCl in die CHCl₃ verklaar word. Ten einde intliging in te win oor die invloed van moontlike spoorhoeveelhede HCl op metatese, is enkele KMR-ondersoek gedoen om die invloed van suur op PCy₃ te bepaal. Gekonsentreerde soutsuur is by 'n oplossing van PCy₃ in CDCl₃ gevoeg en die produk is met KMR-analises ondersoek. Soutsuur is gekies ten einde moontlik interaksies tussen die Cl⁻-ione afkomstig vanaf HCl, en die Cl-atome in die RuCl₃·xH₂O te verhoed.

Die ¹H KMR spektrum van PCy₃ in CDCl₃ by kamertemperatuur voordat enige suur bygevoeg is, word in Spektrum 4.31 getoon.

Voordat die suur bygevoeg is, is 'n spektrum verkry: δ 0 dpm [s, TMS], 1.5 dpm [m, PCy₃], 7 dpm [s, onbekend]. Die enkele piek sigbaar by δ 7.2 dpm is by nie een van die metatese-eksperimente gesien nie en is waarskynlik 'n onsuiwerheid in die monster. Spektrum 4.31 stem verder goed ooreen met tipiese spektra verkry vanuit metatese-eksperimente.

Die ¹H KMR spektrum van PCy₃ in CDCl₃ by kamertemperatuur nadat soutsuur bygevoeg is, word in Spektrum 4.32 getoon.

Nadat suur bygevoeg is, verander die vorm van die multiplet by δ 1.5 dpm effens, en verskyn nuwe pieke by δ 2.1 dpm en 2.5 dpm. Daar moet egter in gedagte gehou word dat pieke afkomstig vanaf die protone van die soutsuur sowel as water wat daarin voorkom, ook in die spektra teenwoordig sal wees. 'n Breë piek verskyn by δ 4.7 dpm, en twee kleiner breë pieke by δ 7.2 dpm en 8.8 dpm onderskeidelik. Die piek by δ 7.3 dpm bly onveranderd.

Die ¹H KMR spektrum van PCy₃ in CDCl₃ by 55 °C nadat soutsuur bygevoeg is, word in

Spektrum 4.33 getoon.

Verhitting na 55 °C het geen verandering gebring nie, behalwe dat die pieke by δ 7.2 dpm en 8.8 dpm verder verbreed en bykans verdwyn het. Dit dui daarop dat hierdie pieke 'n vinnige uitruiling verteenwoordig.

Die ^{31}P KMR spektrum van PCy_3 in CDCl_3 by kamertemperatuur voordat enige suur bygevoeg is, word in spektrum 4.34 getoon.

Voor dat suur bygevoeg is, is twee prominente pieke sigbaar: δ 12.2 dpm [s, PCy_3], 51.1 dpm [s, OPCy_3], 58.4 dpm [klein, onsuiwerheid].

Die ^{31}P KMR spektrum van PCy_3 in CDCl_3 by kamertemperatuur nadat soutsuur bygevoeg is, word in spektrum 4.35 getoon.

Nadat suur bygevoeg is, het die spektrum beduidend verander. Die piek by δ 12.2 dpm [PCy_3] skuif na 21.6 dpm. Skerp pieke is sigbaar by δ 50.7 dpm en 58.7 dpm, asook 'n groot breë piek by δ 65.4 dpm.

Die proton-gekoppelde ^{31}P KMR spektrum van PCy_3 in CDCl_3 by kamertemperatuur nadat soutsuur bygevoeg is, word in spektrum 4.36 getoon.

Deur die spektrum te vergelyk met 'n proton-gekoppelde spektrum kan vanuit die proton-split-patroon afgelei word dat die suur met die vry fosfien gereageer het om die piek by 21.6 dpm te vorm: δ 21.6 dpm [s, HPCy_3]. Die piek by δ 50.7 dpm toon ook protonkoppeling, wat aandui dat dit die geprotoneerde fosfienoksied is: δ 50.7 dpm [s, HOPCy_3]. Die piek by δ 58.7 dpm is inert met betrekking tot suurbryooging en stem ooreen met wat verwag sou word van 'n onsuiwerheid.

Die proton-gekoppelde ^{31}P KMR spektrum van PCy_3 in CDCl_3 by 55 °C nadat soutsuur bygevoeg is, word in spektrum 4.37 getoon.

Verhitting het geen verandering tot gevolg gehad nie, behalwe dat die piek δ by 65.4 dpm skerper word.

4.6.3 Die reaksieverloop

Die reaksieverloop is ondersoek deur 'n eksperiment uit te voer met die onderstaande verhoudings by 80 °C, en op gesikte intervalle monsters te neem en dadelik KMR-analises uit te voer. Die reagenssamestellings soos gebruik was

- 500 dpm Ru, Ru: PCy₃:BDD = 1:2.5:10
- 500 dpm Ru, Ru: PCy₃:BDD = 1:5:10.
- 500 dpm Ru, Ru: PCy₃:BDD = 1:3:10 RuCl₃ in CD₃CD₂OD en PCy₃ en BDD in CDCl₃.

Die konsentrasie van 500 dpm is gekies op grond van die resultate reeds genoem in § 4.3.2, terwyl 'n hoog genoeg fosfienkonsentrasie nodig was vir aanvaarbare ³¹P KMR. Die tweede eksperiment is gekies ten einde die P-konsentrasie in die reaksiemengsel verder te verhoog sonder om die Ru-konsentrasie te verhoog.

Die eksperimente is uitgevoer deur die reaksiemonster met CDCl₃ te verdun en te skandeer. Vir die laaste paar skanderings is 'n kapillêr met H₃PO₄ in die KMR buis geplaas ten einde 'n nulpuntverwysing te kry. Eksperimente is nie *in situ* in die KMR uitgevoer nie, aangesien die vereiste van kontinue borreling sou inmeng met die homogeniteit van die monster, en dit ook sou inmeng met die spin van die KMR buis.

Eksperimente is nie geskandeer tot 'n ideale sein/geraasverhouding bereik is nie, maar 'n beperkte tyd is gekies vir monsterintervalle. Die sensitiwiteit van die spektra is dus minder as ideal ten einde genoeg meetpunte vir die meer prominente pieke te bekom.

Vir eksperimente 1 en 2 is ³¹P KMR bepaal, en vir eksperiment 3 is ¹H KMR bepaal.

4.6.3.1 Die reaksieverloop met Ru:PCy₃:BDD = 1:2.5:10

Die reaksieverloop met 'n Ru: PCy₃:BDD verhouding van 1:2.5:10 by 80 °C, soos met ³¹P KMR analises op gesikte tussenposes gevolg, word in spektrum 4.38 getoon

Met spektrum 4.38 is slegs twee duidelike pieke gesien: δ -12.5 dpm [onbekend] en 52.4 dpm [OPCy3]. Met die verdere spektra is slegs die enkele piek by δ 52.4 dpm waargeneem. By die laaste spektrum het die piek effens veldop geskuif na δ 50.0 dpm. Hierdie verskuwing is aan verandering in oplosmiddeleienskappe toegeskryf aangesien die EtOH waarin die RuCl₃·xH₂O opgelos was, uit die sisteem ontsnap het tydens reaksie. Hierdie tendens is by alle eksperimente waar kraanwater as verkoelingsmedium in die reflukskoeler gebruik is, waargeneem.

4.6.3.2 Die reaksieverloop met Ru:PCy₃:BDD = 1:5:10

Die reaksieverloop met 'n Ru:PCy₃:BDD-molverhouding van 1:5:10 by 80 °C, soos met ³¹P-KMR analises op gesikte tussenposes gevvolg, word in Spektrum 4.39 getoon.

Met die hoër fosfienkonsentrasie is pieke waargeneem by δ 11.7 pm [br, s, PCy₃], 36.2 dpm [s, Ru=R], 52.7 dpm [OPCy₃]. Die posisie van die vry fosfienpiek wat bepaal is deur die fosfienoplossing te analyseer was δ 12.2 dpm.

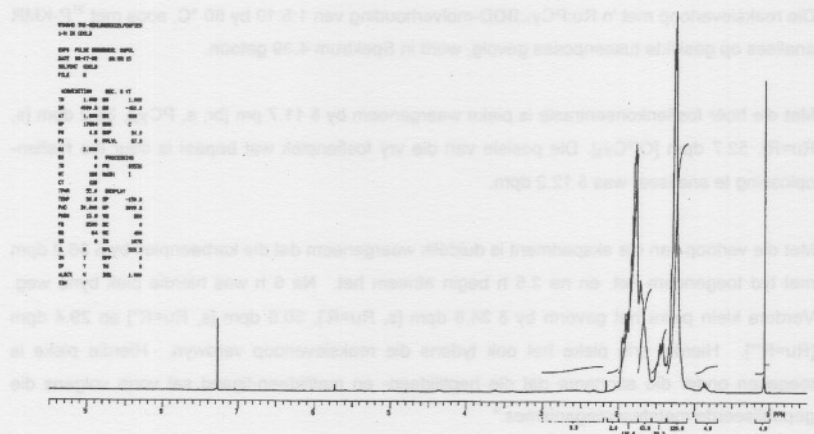
Met die verloop van die eksperiment is duidelik waargeneem dat die karbeenpiek by δ 36.2 dpm met tyd toegeneem het, en na 2.5 h begin afneem het. Na 6 h was hierdie piek byna weg. Verdere klein pieke het gevorm by δ 34.8 dpm [s, Ru=R'], 30.6 dpm [s, Ru=R"] en 29.4 dpm [Ru=R""]. Hierdie drie pieke het ook tydens die reaksieverloop verdwyn. Hierdie pieke is toegeken onder die aanname dat die heptilideen- en metilideen-ligand sal vorm volgens die gepubliseerde metatesemeganismes.²

Vanuit hierdie eksperiment is dit nie moontlik om te bepaal watter een van die alkildene meer prominent sal wees nie. Aangesien die eteen deur die waterstofborreling uit die reaksiemengsel verwyn word, kan egter aanvaar word dat die heptilideen die meer prominente karbeen sal wees. 'n Hoeveelheid van die karbeen wat oorspronklik vanaf die alkyn gevorm het, kan ook teenwoordig wees.

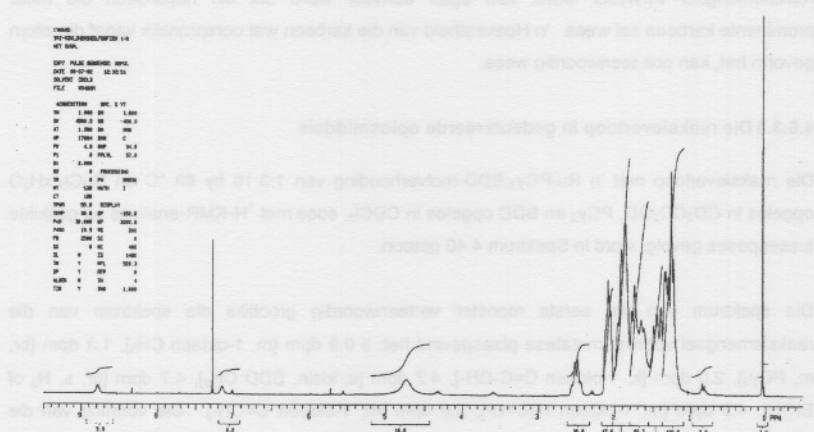
4.6.3.3 Die reaksieverloop in gedeutereerde oplosmiddels

Die reaksieverloop met 'n Ru:PCy₃:BDD-molverhouding van 1:3:10 by 80 °C en RuCl₃·xH₂O opgelos in CD₃CD₂OD, PCy₃ en BDD opgelos in CDCl₃, soos met ¹H-KMR-analises op gesikte tussenposes gevvolg, word in Spektrum 4.40 getoon.

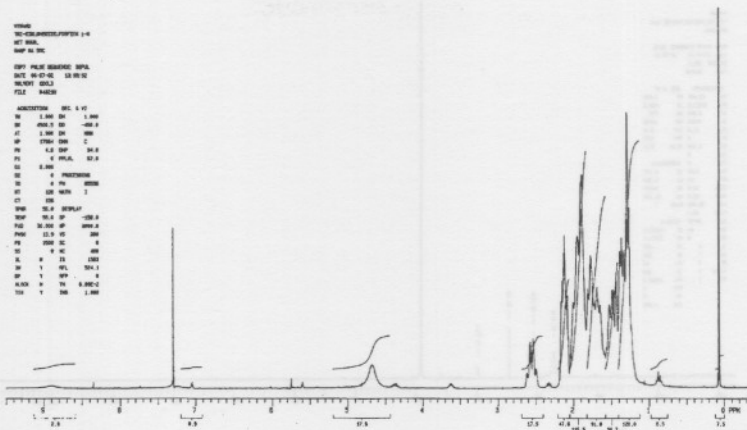
Die spektrum van die eerste monster verteenwoordig grootliks die spektrum van die reaksiemengsel voordat metatese plaasgevind het: δ 0.9 dpm [m, 1-okteen CH₃], 1.3 dpm [br, m, PCy₃], 2.0 dpm [k, 1-okteen C=C-CH-], 4.7 dpm [s, klein, BDD CH₂], 4.7 dpm [br, s, H₂ of EtOH], 4.9 dpm [m, 1-okteen H₂C=C-], 5.8 dpm [m, 1-okteen C=CH-]. Die vorming van die interne alkeen kan duidelik gesien word aan die groei van die multiplet by δ 5.4 dpm [m, 7-tetradeseen C=C-CH-].



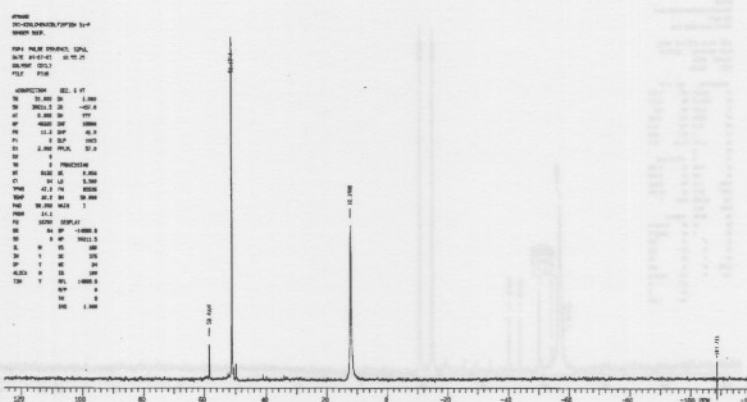
Spektrum 4.31 ^1H KMR spektrum van PCy₃ in CDCl₃ by kamertemperatuur.



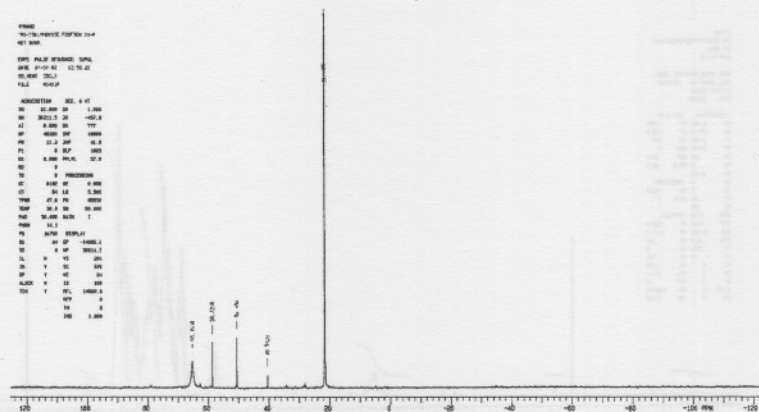
Spektrum 4.32 ^1H KMR spektrum van PCy₃ in CDCl₃ by kamertemperatuur nadat soutsuur bygevoegd is.



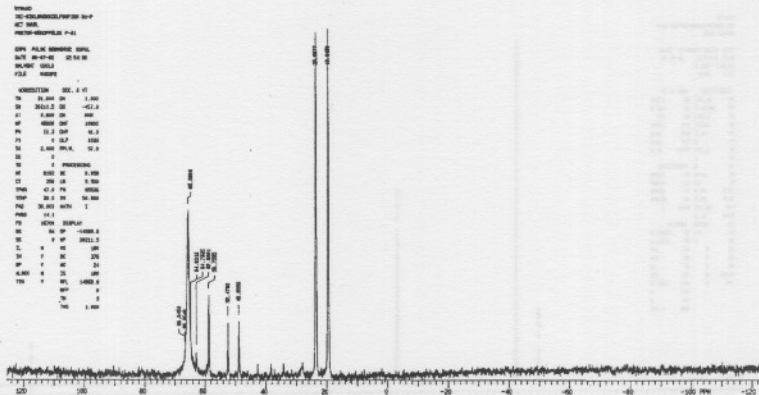
Spektrum 4.33 ¹H KMR spektrum van PCy₃ in CDCl_3 by 55 °C nadat soutsuur bygevoeg is.



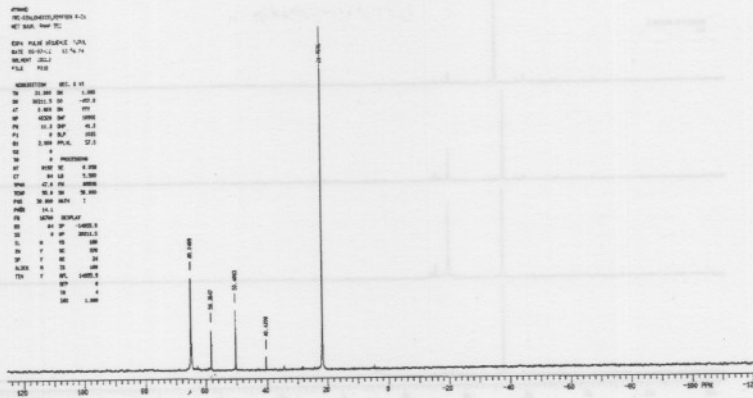
Spektrum 4.34 ³¹P KMR spektrum van PCy₃ in CDCl_3 by kamertemperatuur.



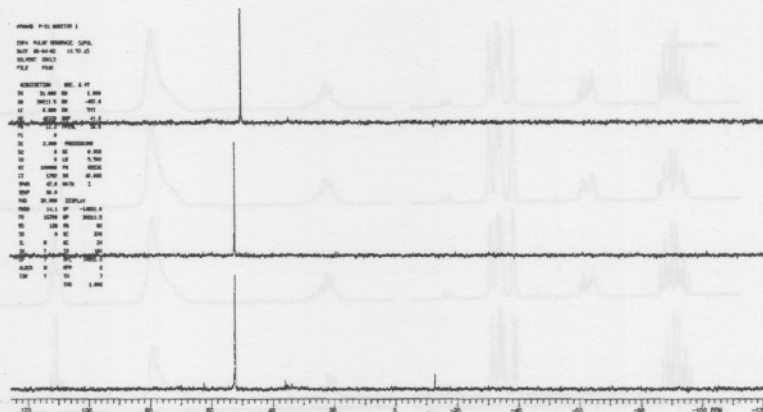
Spektrum 4.35 ^{31}P KMR spektrum van PCy₃ in CDCl₃ by kamertemperatuur nadat soutsuur bygevoegd is.



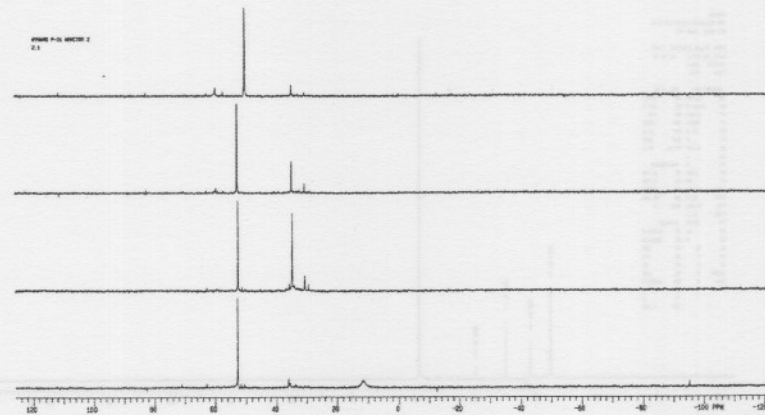
Spektrum 4.36 Proton-gekoppelde ^{31}P KMR spektrum van PCy₃ in CDCl₃ by kamertemperatuur nadat soutsuur bygevoegd is.



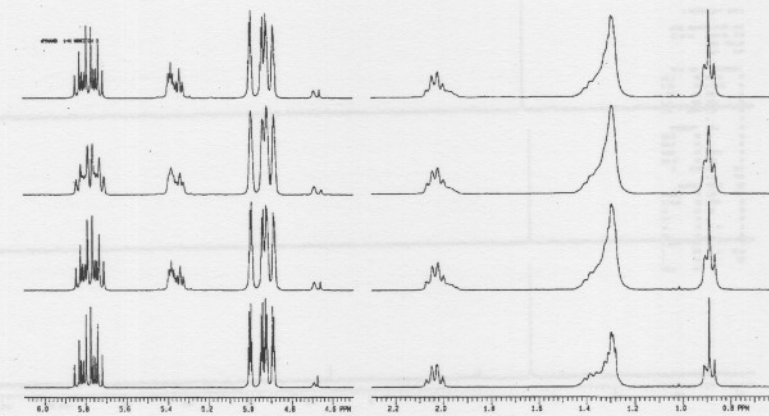
Spektrum 4.37 Proton-gekoppelde ^{31}P KMR spektrum van PCy_3 in CDCl_3 by 55 °C nadat soutsuur bygevoegd is.



Spektrum 4.38 Die reaksieverloop volgens ^{31}P KMR analise (500 dpm Ru, 80 °C, Ru: PCy_3 :BDD = 1:2.5:10)



Spektrum 4.39 Die reaksieverloop volgens 31P KMR analise (500 dpm Ru, 80 °C, Ru:PCy₃:BDD = 1:5:10).



Spektrum 4.40 ¹H KMR spektra van die reaksie by 80 °C (500 dpm Ru, Ru:PCy₃:BDD = 1:3:10) geneem op verskillende intervalle.

4.7 Reaksie van 'n Fischer-Tropsch industriële C7-alkeensnit met die RuCl₃·xH₂O/EtOH/BDD/fosfien/H₂-sisteem

Die reaksie van die RuCl₃·xH₂O/EtOH/BDD/fosfien/H₂-katalisatorsisteem is onder enkele gekose kondisies uitgevoer met 'n Fischer-Tropsch C7-alkeensnit. Die alkeensnit is met NMP gewas, en met GC-MS volgens 'n standaard interne metode geanaliseer. Die alkeensnit het uit 85% 1-hepteen en 'n balans bestaande uit heptaen en onsuiwerhede bestaan, waarvan minder as 100 dpm uit oksigenate bestaan het. Die kondisies wat gekies is, was:

- Ru:PCy₃-molverhoudings van 1:2.5, 1:4 en 1:8.
- Temperatuur van 50, 80 en 110 °C by 'n Ru:PCy₃:BDD-molverhouding van 1:2.5:10.
- [Ru] van 100, 250 en 500 dpm by 'n Ru:PCy₃:BDD-molverhouding van 1:2.5:10.
- Ru:EP-molverhouding van 1:1.5 en 1:2.5 by 500 dpm Ru.

Vanweë die kompleksiteit van die alkeensnit was dit nie moontlik om isomerisasie van 1-hepteen, die vorming van undeseen (SMP) en selektiwiteit vir hierdie reaksies te bepaal nie.

Die invloed van die Ru:PCy₃-molverhouding op die vorming van 6-dodeseen met 'n Fischer-Tropsch C7-alkeensnit met die RuCl₃·xH₂O/EtOH/BDD/PCy₃/H₂-katalisatorsisteem met 100 dpm Ru en by 80 °C word in Figuur 4.61 getoon.

Die vorming van 6-dodeseen was minder as die vorming van 7-tetradeseen wat onder dieselfde kondisies met suiever 1-okteen gevind was. 'n Toename in ligandinhoud het die dodeseen-opbrengs vanaf 5.7% vir 'n Ru:PCy₃-molverhouding van 1:2.5, na 12.7 en 18.0% vir Ru:PCy₃-molverhoudings van 1:4 en 1:8 onderskeidelik verhoog.

Die invloed van die Ru:PCy₃-molverhouding op die omsettingsfrekwensie na 6-dodeseen met 'n Fischer-Tropsch C7-alkeensnit met die RuCl₃·xH₂O/EtOH/BDD/PCy₃/H₂-sisteem met 100 dpm Ru en by 80 °C word in Figuur 4.62 getoon.

Die reaksie het stadiger met die Fischer-Tropsch C7-alkeensnit verloop as met suiever 1-okteen, en die omsettingsfrekwensies was minder as 700 h⁻¹ vir al die gevalle. Vir die reaksie waar 'n Ru:PCy₃-molverhouding van 1:8 gebruik is, het die aktiwiteit eers na 150 min begin daal, en is aktiwiteit tot na 240 min gevind.

Die invloed van temperatuur by 'n Ru:PCy₃-molverhouding van 1:2.5 en 100 dpm Ru op die vorming van 6-dodeseen met 'n Fischer-Tropsch C7-alkeensnit met die RuCl₃·xH₂O/EtOH/BDD/PCy₃/H₂-sisteem word in Figuur 4.63 getoon.

Die meeste 6-dodeseen het by 80 °C gevorm, en die tweede meeste by 50 °C. By 110 °C het slegs 1.3% dodeseen gevorm.

Die invloed van temperatuur by 'n Ru:PCy₃-verhouding van 1:2.5 en 100 dpm Ru op die omsettingsfrekwensie na 6-dodeseen met 'n Fischer-Tropsch C7-alkeensnit met die RuCl₃·xH₂O/EtOH/BDD/PCy₃/H₂-sisteem word in Figuur 4.64 getoon.

Die hoogste omsettingsfrekwensie van 600 h⁻¹ is by 80 °C gevind, gevolg deur 250 h⁻¹ by 50 °C en slegs 100 h⁻¹ by 110 °C.

Die invloed van die [Ru] by 'n Ru:PCy₃-molverhouding van 1:2.5 en by 80 °C op die vorming van 6-dodeseen met 'n Fischer-Tropsch C7-alkeensnit met die RuCl₃·xH₂O/EtOH/BDD/PCy₃/H₂-sisteem by 80 °C word in Figuur 4.65 getoon.

Die hoeveelheid 6-dodeseen gevorm het skerp vanaf 5.7 na 32.4% toegeneem indien die [Ru] vanaf 100 na 250 dpm verhoog was. Dit het egter bykans dieselfde gebly wanneer die [Ru] verder verhoog is tot 500 dpm.

Die laagste omsettingsgetal (687 mol 6-dodeseen per mol Ru) is by 100 dpm Ru gevind. Met 'n toename in die [Ru] vanaf 100 na 250 dpm het die omsettingsgetal vanaf 687 tot 1554 mol 6-dodeseen per mol Ru toegeneem. Met 'n verdere verhoging in [Ru] tot 500 dpm Ru het die omsettingsgetal weer tot 814 mol 6-dodeseen per mol Ru afgeneem.

Die invloed van die [Ru] by 'n Ru:PCy₃-verhouding van 1:2.5 en by 80 °C op die omsettingsfrekwensie na 6-dodeseen met 'n Fischer-Tropsch C7-alkeensnit met die RuCl₃·xH₂O/EtOH/BDD/PCy₃/H₂-sisteem by 80 °C word in Figuur 4.66 getoon.

Die hoogste omsettingsfrekwensie van 1114 h⁻¹ is by 250 dpm Ru gevind, gevolg deur 600 h⁻¹ by 100 dpm Ru en slegs 434 h⁻¹ by 500 dpm Ru.

Die invloed van die Ru:EP-molverhouding op die vorming van 6-dodeseen met 'n Fischer-Tropsch C7-alkeensnit met die RuCl₃·xH₂O/EtOH/BDD/EP/H₂-sisteem met [Ru] = 500 dpm en by 80 °C word in Figuur 4.67 getoon.

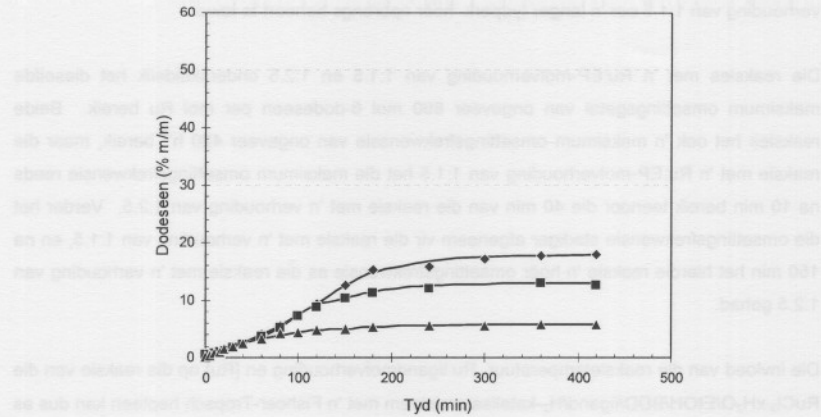
Die reaksie met 'n Ru:EP-molverhouding van 1:1.5 het aanvanklik stadiger verloop as die reaksie met 'n Ru:EP-verhouding van 1:2.5, maar die kromme van 6-dodeseen teen tyd het minder afgeplat sodat die onderskeie opbrengste na 500 min ongeveer dieselfde was. Indien

die reaksieprofiele egter geékstrapoleer word, kom dit voor asof die reaksie met 'n Ru:EP-verhouding van 1:1.5 oor 'n langer tydperk hoër opbrengs behoort te lewer.

Die reaksies met 'n Ru:EP-molverhouding van 1:1.5 en 1:2.5 onderskeidelik het dieselfde maksimum omsettingsgetal van ongeveer 890 mol 6-dodeseen per mol Ru bereik. Beide reaksies het ook 'n maksimum omsettingsfrekwensie van ongeveer 420 h^{-1} bereik, maar die reaksie met 'n Ru:EP-molverhouding van 1:1.5 het die maksimum omsettingsfrekwensie reeds na 10 min bereik teenoor die 40 min van die reaksie met 'n verhouding van 1:2.5. Verder het die omsettingsfrekwensie stadiger afgeneem vir die reaksie met 'n verhouding van 1:1.5, en na 150 min het hierdie reaksie 'n hoër omsettingsfrekwensie as die reaksie met 'n verhouding van 1:2.5 gehad.

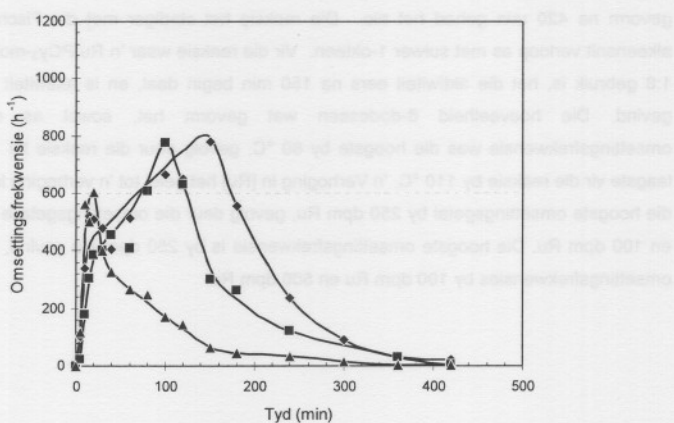
Die invloed van die reaksietemperatuur, Ru:ligandmolverhouding en [Ru] op die reaksie van die $\text{RuCl}_3 \cdot x\text{H}_2\text{O}/\text{EtOH}/\text{BDD}/\text{ligand}/\text{H}_2$ -katalisatorsisteem met 'n Fischer-Tropsch hepteen kan dus as volg opgesom word:

Die vorming van 6-dodeseen was minder as die vorming van 7-tetradeseen wat onder dieselfde kondisies met suiever 1-okteen gevind was. 'n Toename in PCy_3 -inhoud het die dodeseen-opbrengs verhoog, terwyl die EP-inhoud bykans geen invloed op die hoeveelheid 6-dodeseen gevorm na 420 min gehad het nie. Die reaksie het stadiger met die Fischer-Tropsch C7-alkeensnit verloop as met suiever 1-okteen. Vir die reaksie waar 'n Ru: PCy_3 -molverhouding van 1:8 gebruik is, het die aktiwiteit eers na 150 min begin daal, en is aktiwiteit tot na 240 min gevind. Die hoeveelheid 6-dodeseen wat gevorm het, sowel as die maksimum omsettingsfrekwensie was die hoogste by 80°C , gevolg deur die reaksie by 50°C , met die laagste vir die reaksie by 110°C . 'n Verhoging in [Ru] het geleid tot 'n verhoging in metatese, met die hoogste omsettingsgetal by 250 dpm Ru, gevolg deur die omsettingsgetalle by 500 dpm Ru en 100 dpm Ru. Die hoogste omsettingsfrekwensie is by 250 dpm Ru gevind, gevolg deur die omsettingsfrekwensies by 100 dpm Ru en 500 dpm Ru.



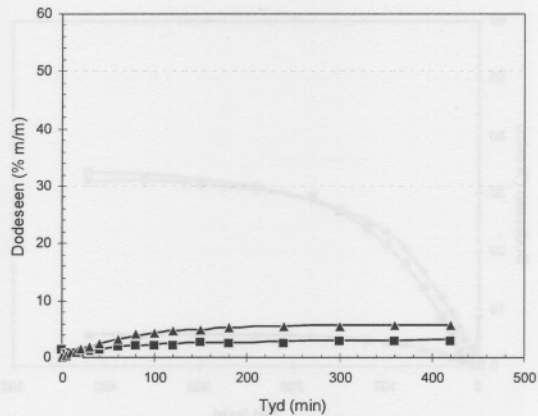
Figuur 4.61 Die invloed van die Ru:PCy₃-molverhouding op die metathese van 1-hepteen in 'n Fischer-Tropsch C₇-alkeensnit in die teenwoordigheid van die RuCl₃:xH₂O/BDD/PCy₃/H₂-sisteem ([Ru] = 100 dpm, Ru:BDD = 1:10, T = 80 °C).

(▲ 1:2.5 ■ 1:4 ◆ 1:8)

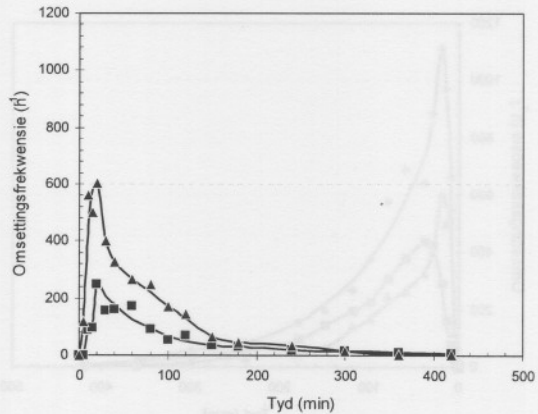


Figuur 4.62 Die invloed van die Ru:PCy₃-molverhouding op die omsettingsfrekwensi van 1-hepteen in 'n Fischer-Tropsch C₇-alkeensnit in die teenwoordigheid van die RuCl₃:xH₂O/BDD/PCy₃/H₂-sisteem ([Ru] = 100 dpm, Ru:BDD = 1:10, T = 80 °C).

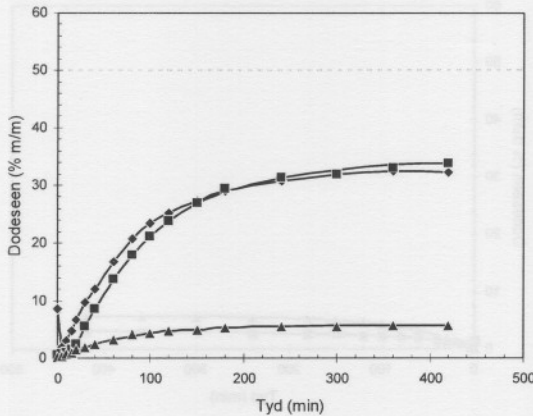
(▲ 1:2.5 ■ 1:4 ◆ 1:8)



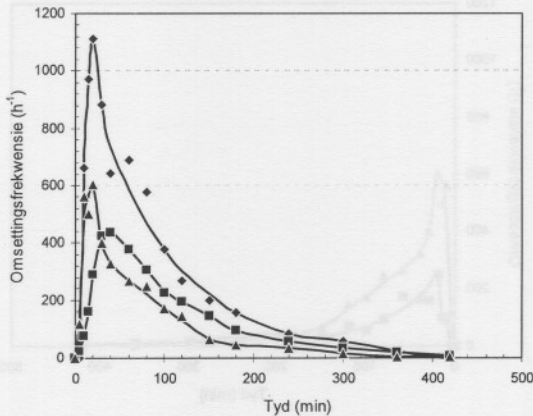
Figuur 4.63 Die invloed van die reaksietemperatuur op die metathese van 1-hepteen in 'n Fischer-Tropsch C₇-alkeensnit in die teenwoordigheid van die RuCl₃·xH₂O/BDD/PCy₃/H₂-sisteem ([Ru] = 100 dpm, Ru:PCy₃:BDD = 1:2.5:10). (■ 50 °C ▲ 80 °C)



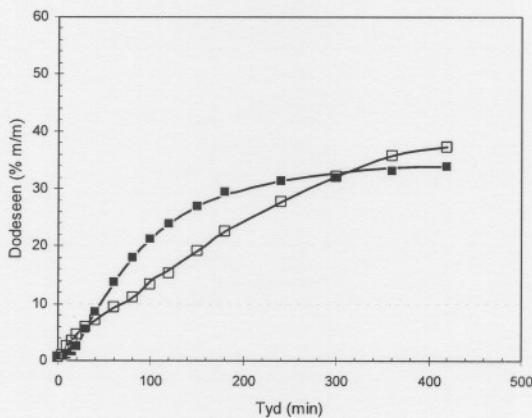
Figuur 4.64 Die invloed van die reaksietemperatuur op die omsettingsfrekvensie van 1-hepteen in 'n Fischer-Tropsch C₇-alkeensnit in die teenwoordigheid van die RuCl₃·xH₂O/BDD/PCy₃/H₂-sisteem ([Ru] = 100 dpm, Ru:PCy₃:BDD = 1:2.5:10). (■ 50 °C ▲ 80 °C)



Figuur 4.65 Die invloed van die [Ru] op die metathese van 1-hepteen in 'n Fischer-Tropsch C₇-alkeensnit in die teenwoordigheid van die RuCl₃:xH₂O/BDD/PCy₃/H₂-sisteem (Ru:PCy₃:BDD = 1:2.5:10, T = 80 °C).
(◆ 100 dpm ▲ 250 dpm ■ 500 dpm)



Figuur 4.66 Die invloed van die [Ru] op die omsettingsfrekvensie van 1-hepteen in 'n Fischer-Tropsch C₇-alkeensnit in die teenwoordigheid van die RuCl₃:xH₂O/BDD/EP/H₂-sisteem (Ru:PCy₃:BDD = 1:2.5:10, T = 80 °C).
(◆ 100 dpm ▲ 250 dpm ■ 500 dpm)



Figuur 4.67 Die invloed van die Ru:EP-molverhouding op die metatese van 1-hepteen in 'n Fischer-Tropsch C₇-alkeensnit in die teenwoordigheid van die RuCl₃·xH₂O/BDD/EP/H₂-sisteem ([Ru] = 500 dpm, Ru: BDD = 1:10, T = 80 °C).

(□ 1:1.5 ■ 1:2.5)

4.8 Literatuurverwysings

- PO Nubel, CL Hunt, *J. Mol. Catal. A: Chem.*, 1999, **145**, 323;
- AE Sutton, BA Seigal, DF Finnegan, ML Snapper, *J. Am. Chem. Soc.*, 2002, **124**, 13390
- C van Schalkwyk, *Die katalytiese sintese van lineêre alkene via 'n metatesereaksie*, PhD-proefskrif, PU vir CHO, 2001, pp 112.
- SE Lehman, Jr JE Schwendeman, PM O'Donnell, KB Wagener, *Inorg. Chim. Acta*, 2003, **345**, 190
- JC Sworen, JH Pawlow, W Case, J Lever, KB Wagener, *J. Mol. Catal. A: Chem.*, 2003, **194**, 69
- C van Schalkwyk, HCM Vosloo, JM Botha, *J. Mol. Catal. A: Chem.*, 2002, **190**, 185
- MS Sanford, JA Love, RH Grubbs, *J. Am. Chem. Soc.*, 2001, **123**, 6543
- N Döker, G Frenking, *J. Organomet. Chem.*, 2001, **617-618**, 225
- J Louie, RH Grubbs, *Angew. Chem. Int. Ed.*, 2001, **40**, 247
- KG Caulton, *J. Organomet. Chem.*, 2001, **617-618**, 56
- D Amoroso, GPA Yap, DE Fogg, *Organometallics*, 2002, **21**, 3335
- M Ulman en RH Grubbs, *J. Org. Chem.*, 1999, **64**, 7202
- J Wolf, W Stüer, C Grünwald, H Werner, P Schwab, M Schultz, *Angew. Chem.*, 1998, **100**, 1165; *Angew. Chem. Int. Ed. Engl.*, 1998, **37**, 1124

14. C Grünwald, J Wolf, P Gómez-Herrero, H Werner, *Organometallics*, 1996, **15**, 1960
15. W Stürer, J Wolf, H Werner, P Schwab, M Schultz, *Angew. Chem.*, 1998, **110**, 3603;
Angew. Chem. Int. Ed. Engl., 1998, **37**, 3421

na gronewerksheet naas skryfing sien vir tot n heuse mylde sien naas gronewerksheet soos volg
nou beoordeel sien naas silente omgaan naas beoordeel sien eksterne stem sien beoordeel

5 GEVOLGTREKKINGS

5.1 Ondersoek na die invloed van verskillende faktore op die RuCl₃·xH₂O/alkyn/fosfien/H₂-katalisatorsisteem

5.1.1 Die tipe alkyn

Met die alkyne gebruik in hierdie studie gee die terminale alkyn in elke geval 'n groter metatese-opbrengs as wat die geval is by die ooreenstemmende interne alkyn. Die enigste uitsondering is BDD, waar die interne alkyn tot 'n groter metatese-opbrengs lei as die terminale alkyn propargielasetaat. (Figuur 4.2 en 4.3, P 51) Die verskil tussen terminale en interne alkyne is groter vir die ongefunksionaliseerde alkyne as wat die geval is vir die gefunksionaliseerde alkyne. Verder is 'n korter koolstofkettingalkyn voordeeliger as 'n langer alkyn (heksyn gee hoër metatese as oktyn). Met die gefunksionaliseerde alkyne was die koolstofkettinglengte korter vir die terminale alkyne as vir die interne alkyne (nagenoeg helfte). Hierdie neiging sou dan meebring dat die terminale alkyne op grond van koolstofkettinglengte tot groter metateseomsettings lei. Dit was nie die geval nie, derhalwe kan aangelei word dat die effek van die tweede funksionele groep die effek van die korter koolstofkettinglengte teenwerk. So 'n teorie is in ooreenstemming met die resultate vanaf die DFT-berekening van Caulton.¹ Al die tendense stem ooreen met die resultate wat oorspronklik deur Nubel en Hunt² gepubliseer is, selfs al was daar 'n groot verskil in reaksiekondisies.

Vanuit die resultate waarin die *in situ*-sisteem met die Grubbs-sisteem vergelyk is (Figuur 4.1), asook die resultate verkry met die verandering in die typerk van waterstofborreling (Figuur 4.9 tot 4.12), kan gesien word dat karbeenvorming die tempobepalende stap van die gekombineerde reaksie van karbeenvorming en metatese is. Verder het die katalisator 'n beperkte leeftyd, en deaktivering vind voortdurend plaas.³ Deur te aanvaar dat die karbeen slegs 'n beperkte aantal katalytiese sirklusse deurgaan voordat dit deaktivéer, kan geformuleer word dat die metatese-opbrengs afhanklik is van die gemak van karbeenvorming. Uit hierdie resultate kan dus aangelei word dat karbeenvorming onderhewig is aan die volgende faktore:

- Ongefunksionaliseerde terminale alkyne vorm meer geredelik carbene met RuCl₃ as die ekwivalente ongefunksionaliseerde interne alkyne.
- Korter ketting ongefunksionaliseerde alkyne vorm meer geredelik carbene as langer ketting ongefunksionaliseerde alkyne (vergelyk heksyn en oktyn). Die limiete van hierdie neiging is nie bepaal nie.

- Die tipe funksionalisering van die alkyn speel 'n rol by die gemak van karbeenvorming en beïnvloed die mate waar toe die invloed van terminale alkyne verskil van die invloed van simmetriese, interne alkyne op metatese-opbrengs.
- Funksionalisering van die alkyn kan in minstens die geval van BDD lei tot meer geredelike karbeenvorming by die langer ketting interne alkyn (BDD) as die korter ketting terminale alkyn (propargielasataat).

Bogenoemde afleidings is onderhewig aan die aanname dat die rede vir die verskil in metatese-opbrengs hoofsaaklik die gevolg is van die rol van die alkyn by karbeenvorming, en nie om deaktivering van die katalitiese spesie te vertraag nie. Indien die effek van die alkyn op die vorming van 7-tetradeseen teen tyd vergelyk word (Figuur 4.4 en 4.5), word gesien dat die aanvanklike tempo van metatese nie afhangklik is van die aanvanklike alkynkonsentrasie nie. Indien die alkyn deaktivering teenwerk, sou verwag word dat alkynkonsentrasie 'n groter invloed op die tempo van metatese gedurende die eerste 60 min reaksietyd sou hê.

5.1.2 Die tipe ligand

Vanuit die literatuur^{2,4} is dit bekend dat $P(^3Pr)_3$, PCy_3 , $PCl(^3Bu)_2$ en $PH(^3Bu)_2$ bruikbare ligande vir metatese met die *in situ*-sisteem is, terwyl die sisteem met $P(^3Bu)_3$ as ligand in hierdie studie slegs 3% tetradeseen gevorm het (Figuur 4.8). Dit dui daarop dat die aard, en veral die steriese grootte, van die R-groep op die fosfien 'n beduidende invloed op die aktiwiteit van 'n metatesekatalisator het. Drie hidroformileringligande is as alternatiewe ligande ondersoek (Lewis-basisse en steriese groot). Hiervan het slegs die sisteem met EP as ligand geleid tot 'n metatese-aktiewe sisteem met 'n aktiwiteit wat vergelykbaar was met die sisteem met PCy_3 as ligand is.

Bourgeois⁵ het gevind dat $OPCy_3$ die dubbelbindingisomerisasie van terminale alkene onderdruk. In hierdie studie is met KMR gevind dat 10-15% $OPCy_3$, afkomstig vanaf die voorraadoplossing PCy_3 , deurgaans in die reaksie teenwoordig was. Isomerisasie van 1-okeen is telkens gevind, soos in Hoofstuk 4 beskryf. Die hoeveelheid isomerisasie met die *in situ*-sisteem was effens minder (4% na 200 min by 80 °C) as die isomerisasie met Grubbs-katalisator (ongeveer 7% na 200 min by 80 °C). By 110 °C is die effek baie meer sigbaar, en is ongeveer 70% isomerisasie met die Grubbs-katalisator gevind na 200 min, teenoor 15% met die *in situ*-sisteem. 'n Direkte vergelyking is egter ongeldig aangesien die mekanisme van die *in situ*-sisteem beide karbeenvorming en metatese insluit, en die newereaksies (insluitend deaktivering en isomerisasie) by beide sisteme onvolledig beskryf is.

5.1.3 Tydperk van waterstofvloeい

Tydens die *in situ*-metatesreaksies soos gepubliseer deur Nubel en Hunt² en van Schalkwyk^{6,7} is waterstof kontinu deur die reaksiemengsel geborreI. Tydens hierdie studie is gevind dat die metatesreaksie afhanklik is van die kontinuitéit van die waterstofvloeい: die metatese-aktiwiteit van die sisteem het in alle gevalle afgeneem indien die waterstofvloeい gestaak is (Figuur 4.9 tot 4.12). Daar is 'n verskil in die effek van die waterstofvloeい vir die twee ligande, PCy₃ en EP. Aangesien die reaksie afneem indien die waterstofvloeい gestaak word voordat metatese voltooi is, kan vanuit die meganisme soos in die literatuur beskryf,^{6,7} aangelei word dat die hidriedwaterstof primér vanaf die H₂ wat deur die mengsel geborreI word, afkomstig is.

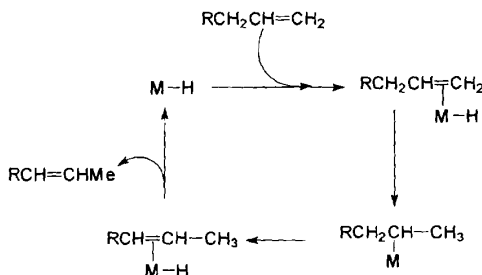
Die rede daarvoor dat die reaksie nie dadelik ophou wanneer die waterstofborreling gestaak word nie, is tweeledig:

- Die reeds gevormde karbeen neem deel aan die metatesreaksie, terhalwe sal metatese voortgaan totdat al die gevormde karbeen gedeakteer is.^{3,8} Die reaksieverloop word gemeet aan die vorming van tetradeseen, terhalwe kan die tempo van vorming van 'n nuwe karbeen, asook die tempo van deaktivering van die katalisator, nie direk waargeneem word nie.
- Die waterstof is in oplossing wanneer dit aan die reaksie deelneem. Nadat die waterstofborreling gestaak is, kan die reeds opgeloste waterstof voortgaan met karbeenvorming totdat al die waterstof in die reaksiemengsel opgebruik is, of totdat dit as gevolg van die argonborreling uit die reaksiemengsel verwyn is.

Beide hierdie verduidelikings verklaar waarom bykans dieselfde hoeveelheid 7-tetradeseen gevorm word in die teenwoordigheid van PCy₃ indien waterstofborreling na 5 of 30 min gestaak word, maar beduidend verskil van 'n reaksie waar waterstofborreling vir die volle reaksieverloop volgehou word. Verder is dit duidelik dat die katalisatorsisteem met verskillende ligande verskillend reageer ten opsigte van die kontinuitéit van waterstofborreling. Die resultate kan nie onderskei of die verskil in effek die gevolg is van 'n verskil in stabiliteit van die karbeen, en of dit die gevolg is van 'n verskil in gemak van karbeenvorming nie. 'n Vergelyking van die omsettingsfrekwensie met die twee ligande, sowel as die langer tyd wat die katalisatorsisteem met PCy₃ as ligand aktief was nadat waterstofborreling gestaak is, dui egter wel op die moontlikheid dat die katalisator vinniger vorm met EP as ligand, maar ook vinniger deaktiviseer.

Isomerisasie van 1-okteen was afhanklik van die teenwoordigheid van H₂ vir 'n volgehoudende tydperk (Figuur 4.13 en 4.14). In bykans al die reaksies wat in hierdie studie ondersoek is, is gevind dat isomerisasie van 1-okteen beduidend toeneem na meer as 400 min, terwyl metatese slegs in uitsonderlike gevalle nog na 400 min voorgekom het. Indien die waterstofborreling

gestaak is, het beduidend minder isomerisasie gedurende hierdie langer reaksietyd plaasgevind. Isomerisasie kan gekataliseer word deur 'n deaktiveringsproduk⁹ asook deur 'n isomerisasie-aktiewe katalisator *in situ* in teenwoordigheid van die H₂ te vorm volgens die meganisme voorgestel deur Herrmann:¹⁰



Die teenwoordigheid van isomerisasie van 1-olsteen vir die reaksiesisteme met ligande soos LimC₁₈ en VCH, waar isomerisasie plaasgevind het sonder beduidende metatese, dui daarop dat die gedeakteerde metatese-katalisator nie die enigste moontlike isomerisasiekatalisator is nie. Die teenwoordigheid van H₂ sal die vorming van 'n metaalhidried kan bevoordeel.¹¹⁻¹³ Beide reaksies vind waarskynlik in kompetisie plaas.

5.1.4 Invloed van oplosmiddels

Die RuCl₃·xH₂O/EtOH/H₂/alkyn/ligand-katalisatorsisteem is gevoelig vir die invloed van oplosmiddels.² Die verskillende oplosmiddels wat in hierdie studie getoets is, het uit gechlorineerde oplosmiddels vir die alkyn en ligand, asook EtOH en MeCOOH vir die RuCl₃·xH₂O bestaan (Figuur 4.15). Gechlorineerde oplosmiddels is ongewens in 'n nywerheidsomgewing as gevolg van koste en omgewingseffekte,¹⁴ maar bevoordeel die reaksie. Chloroform is 'n beter oplosmiddel vir die alkyn en ligand as chloorbenseen met betrekking tot metatese-opbrengs. Asynsuur is 'n swakker oplosmiddel as etanol vir die RuCl₃·xH₂O, in teenstelling met die resulatae verkry deur Van Schalkwyk.³ Die meganisme waarvolgens die oplosmiddels die reaksie beïnvloed is nie in hierdie studie bepaal nie.

5.2 Optimisering van die RuCl₃·xH₂O/BDD/Ligand/H₂-sisteem

5.2.1 Invloed van reaksietemperatuur

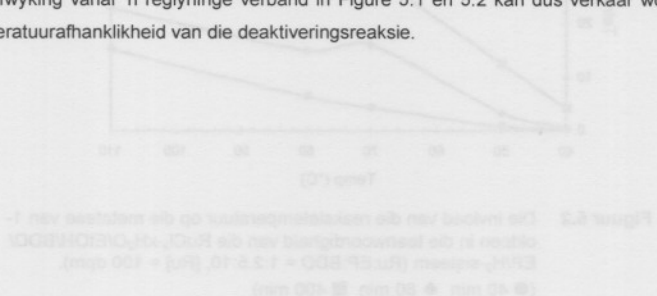
Die invloed van reaksietemperatuur op die vorming van 7-tetradeseen met die RuCl₃·xH₂O/EtOH/BDD/PCy₃/H₂-katalisatorsisteem met Ru:PCy₃:BDD = 1:2.5:10 en [Ru] = 100 dpm op die

vorming van 7-tetradeseen en met die $\text{RuCl}_3 \cdot x\text{H}_2\text{O}/\text{EtOH/BDD/EP/H}_2$ -katalisatorsisteem met $\text{Ru:EP:BDD} = 1:2.5:10$ en $[\text{Ru}] = 100 \text{ dpm}$ word in Figuur 5.1 en 5.2 onderskeidelik getoon. Die maksimum reaksietemperatuur is tot die kookpunt van 1-okteen (122°C) beperk.

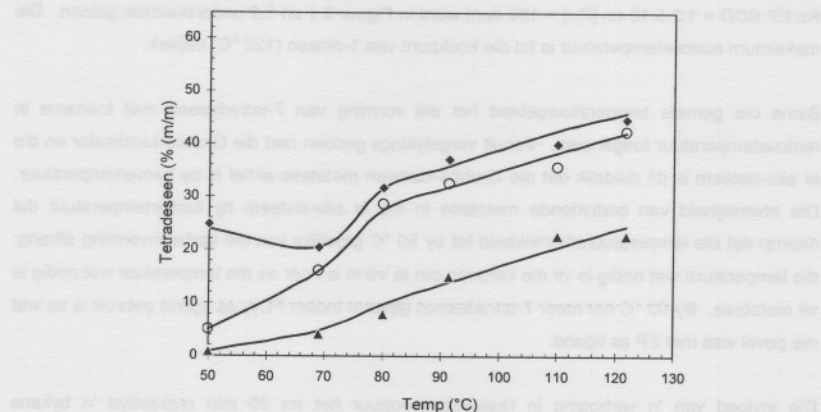
Binne die gemete temperatuurgebied het die vorming van 7-tetradeseen met toename in reaksietemperatuur toegeneem. Vanuit vergelykings gedoen met die Grubbs-katalisator en die *in situ*-sisteem is dit duidelik dat die Grubbs-karbeen metatiese-aktief is by kamertemperatuur. Die afwesigheid van beduidende metatiese in die *in situ*-sisteem by kamertemperatuur duï daarop dat die temperatuurafhanklikheid tot by 50°C grootliks van die karbeenvorming afhang: die temperatuur wat nodig is vir die karbeen om te vorm is hoër as die temperatuur wat nodig is vir metatiese. By 50°C het meer 7-tetradeseen gevorm indien PCy_3 as ligand gebruik is as wat die geval was met EP as ligand.

Die invloed van 'n verhoging in reaksietemperatuur het na 20 min reaksietyd 'n bykans reglyninge verband gelewer met die vorming van 7-tetradeseen. Na 90 min of langer reaksietyd was die neiging nie meer reglynig nie, en het 'n verhoging in temperatuur vanaf 50 tot 80°C 'n groter invloed op metatiese gehad as wat 'n verhoging in temperatuur vanaf 80 tot 120°C gehad het.

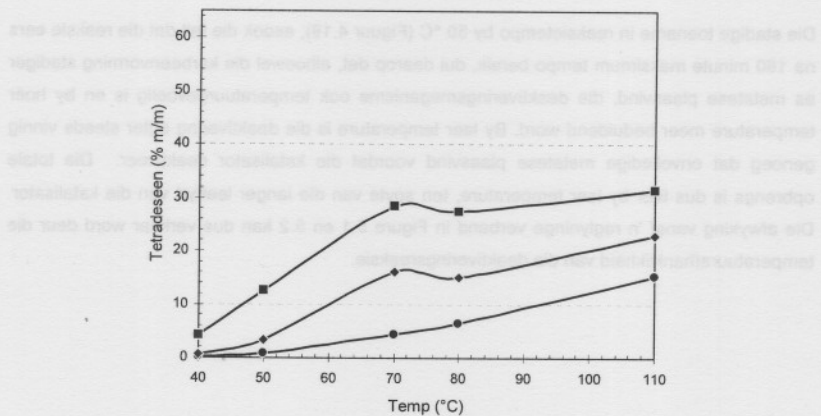
Die stadige toename in reaksietempo by 50°C (Figuur 4.19), asook die feit dat die reaksie eers na 180 minute maksimum tempo bereik, duï daarop dat, alhoewel die karbeenvorming stadiger as metatiese plaasvind, die deaktivieringsmeganisme ook temperatuurgevoelig is en by hoër temperature meer beduidend word. By laer temperature is die deaktivering egter steeds vinnig genoeg dat onvolledige metatiese plaasvind voordat die katalisator deaktiveer. Die totale opbrengs is dus laer by laer temperature, ten spye van die langer leeftyd van die katalisator. Die awyking vanaf 'n reglyninge verband in Figure 5.1 en 5.2 kan dus verkaar word deur die temperatuurafhanklikheid van die deaktivieringsreaksie.



Die invloed van die reaksietemperatuur op die metatese van 1-otkoen in die teenwoordigheid van die $\text{RuCl}_3 \cdot x\text{H}_2\text{O}/\text{EtOH}/\text{BDD}/\text{PCy}_3/\text{H}_2$ -sisteem (Ru:PCy₃:BDD = 1:2.5:10, [Ru] = 100 dpm).



Figuur 5.1 Die invloed van die reaksietemperatuur op die metatese van 1-otkoen in die teenwoordigheid van die $\text{RuCl}_3 \cdot x\text{H}_2\text{O}/\text{EtOH}/\text{BDD}/\text{PCy}_3/\text{H}_2$ -sisteem (Ru:PCy₃:BDD = 1:2.5:10, [Ru] = 100 dpm). (▲ 20 min ○ 90 min ◆ 420 min)



Figuur 5.2 Die invloed van die reaksietemperatuur op die metatese van 1-otkoen in die teenwoordigheid van die $\text{RuCl}_3 \cdot x\text{H}_2\text{O}/\text{EtOH}/\text{BDD}/\text{EP}/\text{H}_2$ -sisteem (Ru:EP:BDD = 1:2.5:10, [Ru] = 100 dpm). (● 40 min ◆ 80 min ■ 400 min)

Die afname in die vorming van 7-tetradsseen vanaf 50 tot 70 °C met PCy₃ as ligand en vanaf 70 tot 80 °C met EP as ligand kan moontlik daaraan toegeskryf word dat by hierdie temperature die effek van temperatuur op deaktivering teenoor tempo van metatese sigbaar word: by hoër temperature is beide deaktivering en karbeenvorming vinniger, maar die karbeenvorming neem vinniger toe as deaktivering. By temperatuur laer as 70 °C is deaktivering dus stadig genoeg dat beduidende metatese plaasvind selfs met die kleiner hoeveelheid karbeen beskikbaar. By hoër temperature is deaktivering vinniger, maar die groter toename in die tempo van karbeenvorming sowel as metatese het tot gevolg dat die totale hoeveelheid metatese toeneem met temperatuur, ten spyte van die vinniger deaktivering. Hierdie effek is selfs meer sigbaar in van Schalkwyk^{6,7} se resultate, waar 'n afname in metatese sigbaar word by temperatuur hoër as 75 °C.

Die opwaartse neiging van die 7-tetradsseen-tyd krommes by 70 en 80 °C met EP as ligand (Figuur 4.36) toon dat die RuCl₃-xH₂O/BDD/EP-sisteem langer reaktief is as die RuCl₃-xH₂O/BDD/PCy₃-sisteem, maar steeds 'n laer opbrengs van 7-tetradsseen toon (25% vir EP teenoor 35% vir PCy₃). Die klein hoeveelheid trideseen wat tydens hierdie reaksies gevorm het, dui daarop dat selfmetatese met die terminale alkeen bevoordeel word bo kruismetatese tussen 'n interne alkeen en enige ander alkeen.

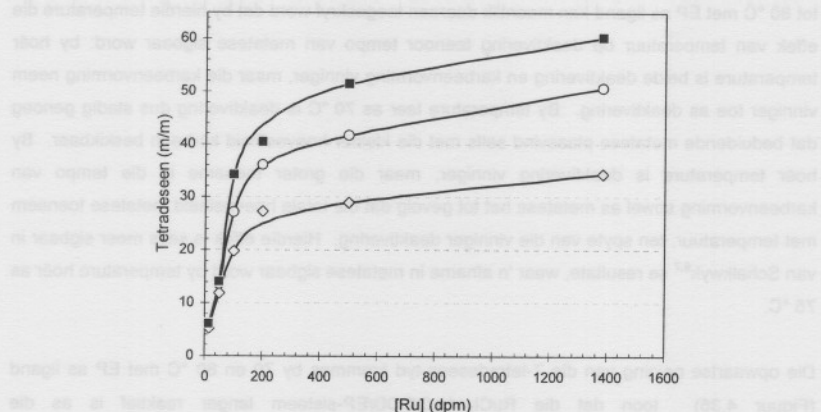
Die resultate hier aangetoon verskil van die resultate verkry deur van Schalkwyk⁶ deurdat laasgenoemde 'n optimum by 80 °C gevind het, waarna die vorming van 7-tetradsseen afgeneem het. Die verskil kan toegeskryf word aan verskille in eksperimentele kondisies, veral die groot verskil in die hoeveelheid chloorbenseen teenwoordig.

Isomerisasie van 1-okteen het toegeneem met toename in temperatuur, en by 120 °C het dit vanaf 90 min skerp toegeneem. Dit dui op 'n moontlike verdere reaksie wat eers vanaf 120 °C beduidend plaasvind. 'n Meer geleidelike oorgang sou verwag word indien dit slegs 'n toename in reaksietempo is.

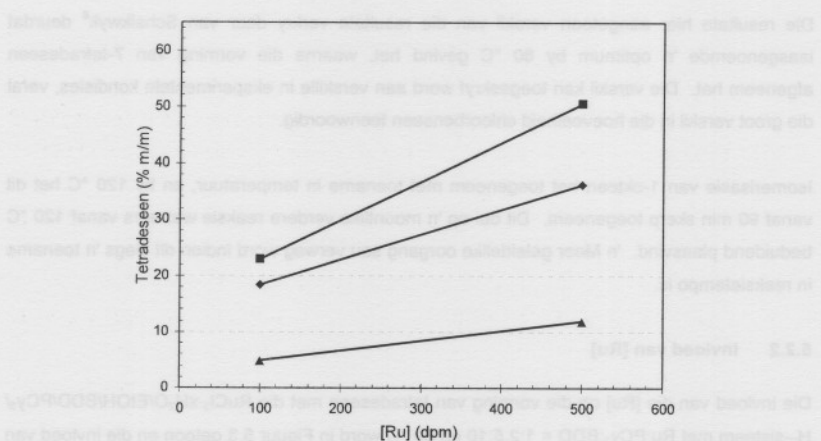
5.2.2 Invloed van [Ru]

Die invloed van die [Ru] op die vorming van tetradsseen met die RuCl₃-xH₂O/EtOH/BDD/PCy₃/H₂-sisteem met Ru:PCy₃:BDD = 1:2.5:10 en 80 °C word in Figuur 5.3 getoon en die invloed van [Ru] op die vorming van tetradsseen by 80 en 50 °C met Ru:EP:BDD = 1:2.5:10 met die RuCl₃-xH₂O/EtOH/BDD/EP/H₂-sisteem word in Figuur 5.4 en 5.5 onderskeidelik getoon.

die invloed van die [Ru] op die metatese van 1-okteen in die teenwoordigheid van die $\text{RuCl}_3 \cdot x\text{H}_2\text{O}/\text{EtOH}/\text{BDD}/\text{PCy}_3/\text{H}_2$ -sisteem ($\text{Ru}:\text{PCy}_3:\text{BDD} = 1:2.5:10$, $T = 80^\circ\text{C}$).

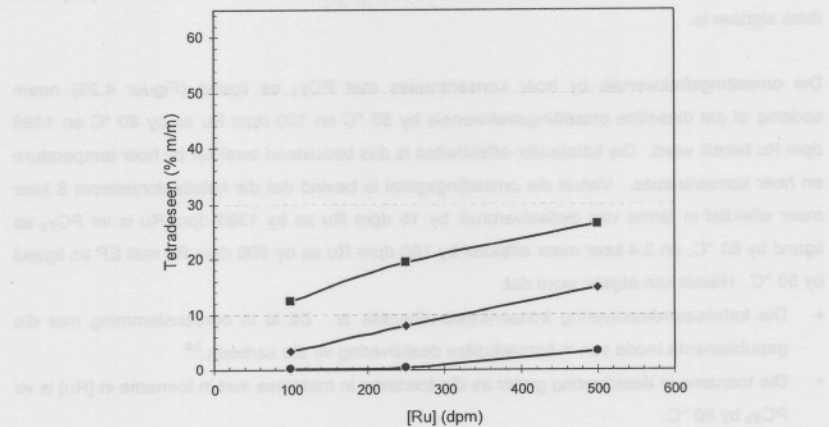


Figuur 5.3 Die invloed van die [Ru] op die metatese van 1-okteen in die teenwoordigheid van die $\text{RuCl}_3 \cdot x\text{H}_2\text{O}/\text{EtOH}/\text{BDD}/\text{PCy}_3/\text{H}_2$ -sisteem ($\text{Ru}:\text{PCy}_3:\text{BDD} = 1:2.5:10$, $T = 80^\circ\text{C}$).
(◊ 60 min ○ 120 min ■ 420 min)



Figuur 5.4 Die invloed van die [Ru] op die metatese van 1-okteen in die teenwoordigheid van die $\text{RuCl}_3 \cdot x\text{H}_2\text{O}/\text{EtOH}/\text{BDD}/\text{EP}/\text{H}_2$ -sisteem ($\text{Ru}:\text{EP}:\text{BDD} = 1:2.5:10$, $T = 80^\circ\text{C}$).
(▲ 20 min ◆ 80 min ■ 420 min)

Indien die invloed van die [Ru] op die metatese van 1-okeen in die teenwoordigheid van die $\text{RuCl}_3 \cdot x\text{H}_2\text{O}/\text{EtOH}/\text{BDD}/\text{EP}/\text{H}_2$ -sisteem (Ru:EP:BDD = 1:2.5:10, $T = 50^\circ\text{C}$) gevind word, dan kan hierdie resultate gesamentlik geïnterpreteer word.



Figuur 5.5 Die invloed van die [Ru] op die metatese van 1-okeen in die teenwoordigheid van die $\text{RuCl}_3 \cdot x\text{H}_2\text{O}/\text{EtOH}/\text{BDD}/\text{EP}/\text{H}_2$ -sisteem (Ru:EP:BDD = 1:2.5:10, $T = 50^\circ\text{C}$).
 (● 40 min ◆ 80 min ■ 400 min)

Die hoeveelheid 7-tetradeen wat gevorm het neem toe met 'n toename in [Ru] tot by 1400 dpm Ru. Die verband tussen [Ru] en 7-tetradeen gevorm plat af vanaf 200 dpm Ru by 80°C en met PCy_3 as ligand. Hierdie afplatting neem veral toe vanaf 500 dpm Ru. Hieruit kan twee afleidings gemaak word:

- Indien eksperimentele werk gedoen word by konsentrasies beduidend hoër as 200 dpm, en veral hoër as 500 dpm, kan sekere effekte verskans word. Voorbeeld hiervan sluit die effek van deaktiveringe bymiddels op die sisteem en die effek van oplosmiddels in.
- By konsentrasies hoër as 200 dpm Ru is 'n gedeelte van die karbeen onaktief, word die vorming van die karbeen onderdruk of deaktivéer die karbeen. Laasgenoemde is veral moontlik indien 'n bimolekulêre deaktivering plaasvind, aangesien 'n hoër konsentrasie 'n bimolekulêre reaksie sal bevoordeel.³

Die afplatting van die kromme vir die vorming van 7-tetradeen teen tyd, tesame met die laer finale opbrengs by laer konsentrasies, duif daarop dat deaktivering van die katalisatorsisteem plaasvind, en dat 'n beperkte aantal omsettings onder die gemete kondisies moontlik is. Indien die afplatting 'n suiwer ewewigseffek was, sou die finale omsetting bykans dieselfde vir al die

konsentrasies gewees het. Vir die reaksies met EP as ligand en vir die reaksies by 50 °C plat die grafiek van [Ru] teenoor die vorming van 7-tetradeen nie af nie. Dit is in ooreenstemming met 'n baie laer mate van deaktivering by hierdie temperatuur, sodat die effek van [Ru] meer direk sigbaar is.

Die omsettingsfrekwensie by hoër konsentrasies met PCy_3 as ligand (Figuur 4.23) neem sodanig af dat dieselfde omsettingsfrekwensie by 50 °C en 100 dpm Ru as by 80 °C en 1386 dpm Ru bereik word. Die katalisator-effektiwiteit is dus beduidend swakker by hoër temperature en hoër konsentrasies. Vanuit die omsettingsgetal is gevind dat die katalisatorsisteem 8 keer meer effektiel in terme van metaalverbruik by 15 dpm Ru as by 1386 dpm Ru is vir PCy_3 as ligand by 80 °C, en 2.4 keer meer effektiel by 100 dpm Ru as by 500 dpm Ru met EP as ligand by 50 °C. Hieruit kan aangeleid word dat:

- Die katalisatordeaktivering konsentrasie-afhanklik is. Dit is in ooreenstemming met die gepubliseerde teorie van 'n bimolekulêre deaktivering vir die karbeen.³⁸
- Die toename in deaktivering groter as die toename in metatese met 'n toename in [Ru] is vir PCy_3 by 80 °C.
- Die katalitiese effektiwiteit die hoogste by lae metaalkonsentrasies is. Die konsentrasie waarby maksimum effektiwiteit bestaan, is nie bepaal nie.

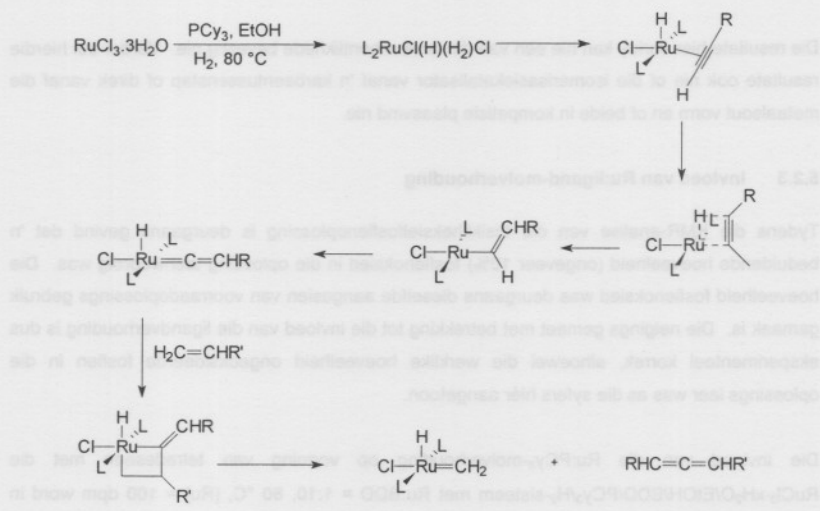
Die vinniger inisiëring by hoër [Ru] met EP as ligand en by 50 °C kan toegeskryf word daarvan dat die tempobepalende stap die karbeenvorming is. By hoër konsentrasies is daar dus vinniger voldoende karbeen om beduidende metatese te laat plaasvind. Na 5 min toon die verband tussen [Ru] en die vorming van 7-tetradeen dat 'n toename in [Ru] metatese vinniger laat plaasvind, en dat die toename in metatese vinniger as die [Ru] toeneem. Na 5 min is deaktivering waarskynlik nog nie 'n faktor nie. Na 'n beduidende reaksieverloop (meer as 60 min) word die omgekeerde effek waargeneem, naamlik dat die toename in konsentrasie die toename in deaktivering meer bevoordeel as die toename in metatese. Hieruit kan dus aangeleid word dat deaktivering wel deurlopend plaasvind, dat die deaktivermecanismus 'n inisiëringstyd het, en dat die inisiëringstyd as gevolg van die hoër koördinasiesterkte van EP aan Ru langer is as wat die geval is vir die koördinasie van PCy_3 aan Ru.

Vanuit die bovenoemde resultate kan dus geformuleer word dat 'n moontlike sterker koördinasie van die ligand, met gepaardgaande stediger dissosiasie, die monomolekulêre deaktivering sal vertraag, terwyl die groter konsentrasie die bimolekulêre deaktivermecanismus sal bevoordeel. 'n Groter konsentrasie sal dus wel metatese bevoordeel, maar die groter effek van deaktivering sal die netto metatese per molekuul Ru verlaag. Dit verduidelik ook waarom die omsettingsgetal afneem met toename in konsentrasie. Vanuit die vinniger metatese

waargeneem met die Grubbs-katalisator, kan aanvaar word dat massa-oordrageffekte nie die reaksietempo beïnvloed nie.

Die isomerisasie van 1-okteen met EP as ligand is hoër as isomerisasie van 1-okteen met PCy_3 as ligand gedurende die eerste 400 min van die reaksie, maar is laer as met PCy_3 as ligand na 1400 min reaksietyd (vergelyk Figuur 4.28, met Figuur 4.49 en 4.50). Dit, tesame met die waargenome metatese-aktiwiteit na 1400 min en die waargenome effek van H_2 (die sisteem met EP deaktivier vinniger as die H_2 gestaak word) dui daarop dat die katalisator met EP as ligand meer aktief is (vinniger metatese), maar ook vinniger deaktivier en stadiger vorm. Die metatese na 1400 min is dus nie die gevolg van 'n stabiele katalisator nie, maar eerder as gevolg daarvan dat karbeenvorming steeds na 1400 min plaasvind.

Indien dus aanvaar word dat die EP-ligand sterker koördineer as die PCy_3 -ligand,¹⁶ kan die stadiger karbeenvorming as volg verduidelik word:



Die sterker koördinasie van die EP-ligand sal veroorsaak dat die elektronendigteid meer op die Ru-kern sal wees, wat weer sal veroorsaak dat die alkyn stadiger sal koördineer, H-migrasie stadiger sal wees en die vinielkarbeen stadiger sal vorm.

Vanuit die effek van konsentrasie op isomerisasie van 1-okteen (Figuur 4.24) kan gesien word dat isomerisasie beduidend toeneem by metaalkonsentrasies hoër as 100 dpm Ru en nadat

metatese-aktiwiteit opgehou het. Die tempo van isomerisasie neem dus beduidend toe wanneer die metatese-effektiwiteit afneem. Hierdie resultate toon dus dat die gedeakteerde metatese-katalisator verantwoordelik is vir isomerisasie,⁶ maar dui ook daarop dat 'n aparte meganisme vir die vorming van nog 'n isomerisasiekatalisator verantwoordelik is.

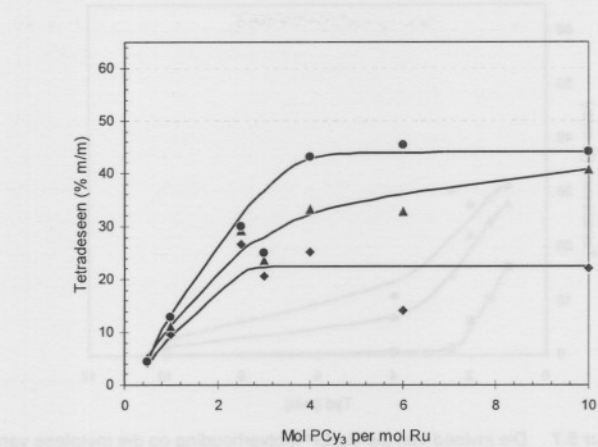
Dit kan soos volg verduidelik word: Indien die metaalkonsentrasie hoog is, vorm beide die isomerisasiekatalisator en die metatesekatalisator in kompetisie met mekaar. 'n Kleiner gedeelte van die metaal is dus beskikbaar om aan die metatesereaksie deel te neem. Die isomerisasiereaksie neem langer om te inisieer, derhalwe sal isomerisasie plaasvind nadat metatese opgehou het. In die sisteem sal beide die gedeakteerde metatesekatalisator en die RuH-isomerisasiekatalisator dus teenwoordig wees. Die isomerisasiestap is dus meer konsentrasie-afhanklik as die metatesestap. Verder is dit moontlik dat slegs 'n gedeelte van die aanvanklike Ru-hidried tydens die reaksie na die karbeen omgeskakel word. Die oorblywende hidried neem dus uitsluitlik aan isomerisasie deel. Dit sou meebring dat slegs 'n beperkte hoeveelheid karbeen kan vorm, en dat die balans groter word met 'n toename in [Ru].

Die resultate hier verkry kan nie een van die twee moontlikhede bevestig nie. Verder dui hierdie resultate ook nie of die isomerisasiekatalisator vanaf 'n karbeentussenstap of direk vanaf die metaalsout vorm en of beide in kompetisie plaasvind nie.

5.2.3 Invloed van Ru:ligand-molverhouding

Tydens die KMR-analise van die trisikliheksaelfosfienoplossing is deurgaans gevind dat 'n beduidende hoeveelheid (ongeveer 10%) fosfienoksied in die oplossing teenwoordig was. Die hoeveelheid fosfienoksied was deurgaans dieselfde aangesien van voorraadoplossings gebruik gemaak is. Die neigings gemeet met betrekking tot die invloed van die ligandverhouding is dus eksperimenteel korrek, alhoewel die werklike hoeveelheid ongeoksideerde fosfien in die oplossings laer was as die syfers hiér aangeloon.

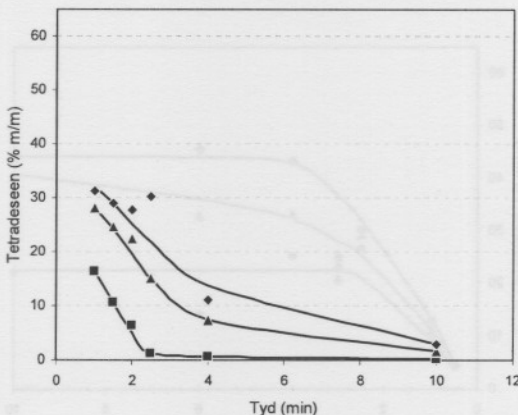
Die invloed van die Ru:PCy₃-molverhouding op vorming van tetradeseen met die RuCl₃·xH₂O/EtOH/BDD/PCy₃/H₂-sisteem met Ru:BDD = 1:10, 80 °C, [Ru] = 100 dpm word in Figuur 5.6 getoon en die invloed van die Ru:EP-verhouding op die vorming van tetradeseen met die RuCl₃·xH₂O/EtOH/BDD/EP/H₂-sisteem met Ru:BDD = 1:10, 80 °C en [Ru] = 100 dpm word in Figuur 5.7 en 5.8 getoon.



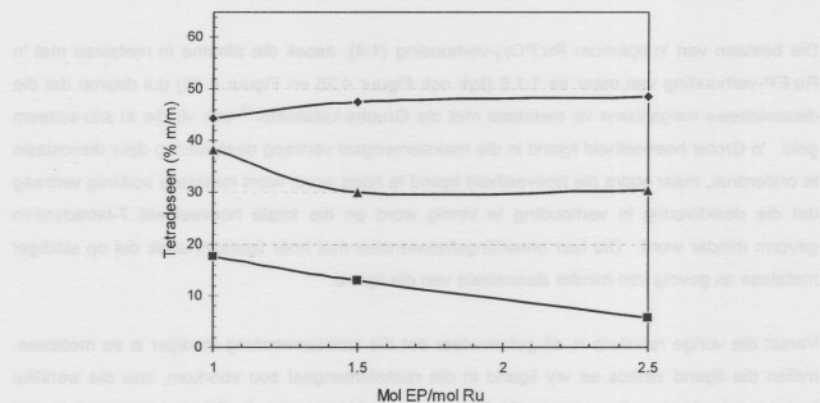
Figuur 5.6 Die invloed van die Ru:PCy₃-molverhouding op die metatese van 1-okteen in die teenwoordigheid van die RuCl₃·xH₂O/EtOH/BDD/PCy₃/H₂-sisteem (Ru:BDD = 1:10, [Ru] = 100 dpm, T = 80 °C).
 (◆ Na 60 min ▲ Na 120 min ● Na 360 min)

Die bestaan van 'n optimum Ru:PCy₃-verhouding (1:4), asook die afname in metatese met 'n Ru:EP-verhouding van meer as 1:1.5 (kyk ook Figuur 4.25 en Figuur 4.45) duï daarop dat die dissoziatiewe meganismes vir metatese met die Grubbs-katalisator¹⁵ ook vir die *in situ*-sisteem geld. 'n Groter hoeveelheid ligand in die reaksiemengsel vertraag deaktivering deur dissoiasie te onderdruk, maar sodra die hoeveelheid ligand te hoog word, word metatese sodanig vertraag dat die deaktivering in verhouding te vinnig word en die totale hoeveelheid 7-tetradeseen gevorm minder word. Die laer omsettingsfrekwensies met hoër ligandinhoude duï op stadiger metatese as gevolg van minder dissoiasie van die ligand.

Vanuit die vorige resultate is dit geformuleer dat die karbeenvorming stadiger is as metatese. Indien die ligand steeds as vry ligand in die reaksiemengsel sou voorkom, sou die werklike karbeen:ligandverhouding aansienlik hoër gewees het as die Ru:PCy₃-molverhouding wat aanvanklik gebruik is. So 'n groot verhouding sal na verwagting metatese baie meer vertraag as wat gevind is. Die eerste stap van die meganisme^{6,7} (koördinasie van die fosfien aan Ru, en die gepaardgaande vorming van die hidried) is dus vinnig, en die tweede stap, naamlik die vorming van die karbeen vanuit die hidried, is die tempobepalende stap van die reaksie. Die werklike hoeveelheid vry fosfien in die reaksiemengsel sal dus ongeveer dieselfde wees as die



Figuur 5.7 Die invloed van die Ru:EP-molverhouding op die metatese van 1-okeen in die teenwoordigheid van die $\text{RuCl}_3 \cdot x\text{H}_2\text{O}/\text{EtOH}/\text{BDD}/\text{EP}/\text{H}_2$ -sisteem ($\text{Ru:BDD} = 1:10$, $[\text{Ru}] = 100 \text{ dpm}$, $T = 80^\circ\text{C}$).
 (■ 20 min ▲ 80 min ◆ 420 min)



Figuur 5.8 Die invloed van die Ru:EP-molverhouding op die metatese van 1-okeen in die teenwoordigheid van die $\text{RuCl}_3 \cdot x\text{H}_2\text{O}/\text{EtOH}/\text{BDD}/\text{EP}/\text{H}_2$ -sisteem ($\text{Ru:BDD} = 1:10$, $[\text{Ru}] = 500 \text{ dpm}$, $T = 80^\circ\text{C}$).
 (■ 20 min ▲ 80 min ◆ 420 min)

oormaat wat in die reaksie gebruik is. Hierdie verduideliking verklaar die afwesigheid van vry fosfien in die reaksiemengsel by kamertemperatuur, soos met ^{31}P -KMR bepaal (Spektrum 4.34, asook Spektrum 4.38 tot 4.40).

Daar is weinig verskil tussen die hoeveelheid 7-tetradeseen gevorm met EP as ligand indien die Ru:EP-molverhouding tussen 1:1 en 1:2 gevarieer word (Figuur 4.45), maar 'n geleidelike afname in 7-tetradeseen word gesien met 'n verdere toename in ligandinhou. Hierdie afname neem skerp toe indien die verhouding meer as 1:2.5 word. Die sisteem toon steeds 'n mate van aktiwiteit na 7 h (vir die typerk 7 tot 24 h).

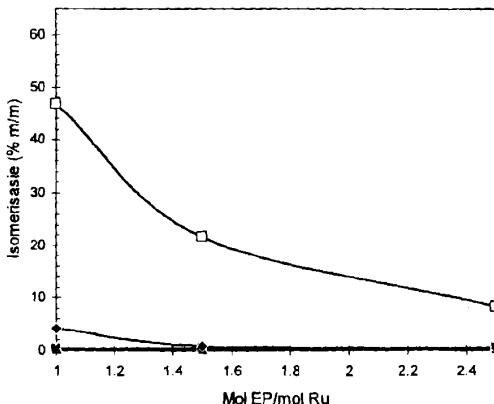
Hierdie waarneming tesame met die vorige beredenering, kan soos volg verduidelik word: Die sterker koördinasie van die EP-ligand veroorsaak dat dissosiasie van die tweede ligand moeiliker sal plaasvind. Die invloed van 'n oormaat ligand is dus duidelik sigbaar en die sisteem is minder aktief met dieselfde hoeveelheid ligand as die PCy_3 -sisteem. Indien die Ru:EP-molverhouding beduidend meer word as stoigiometries, neem die aktiwiteit beduidend af. Die aktiwiteit van die katalisatorsisteem met EP as ligand by 'n Ru:EP-molverhouding van minder as stoigiometries duï ook daarop dat karbeenvorming met EP stadiger is as met PCy_3 , sodat meer ongereageerde ligand in die reaksiemengsel teenwoordig is gedurende die eerste ongeveer 120 min van die reaksie. Die teenwoordigheid van vry ligand in die EP-katalisatorsisteem by lae Ru:EP-molverhoudings is egter nie met KMR-analises bevestig nie.

'n Toename in ligand met sowel PCy_3 as EP het geleid tot 'n toename in isomerisasie van 1-okteen (Figuur 4.28, asook Figuur 4.49) wat soos volg verduidelik kan word. Vir die hidriedmeganisme¹⁰ vind isomerisasie meer geredelik plaas met 'n toename in die labiliteit van die hidriedwaterstof. Deur die ligandkonsentrasie te verhoog, word die dissosiasie van die ligand onderdruk, en word die labiliteit van die hidriedwaterstof verhoog.

Die invloed van die Ru:EP-molverhouding op isomerisasie van 1-okteen met die $\text{RuCl}_3 \cdot x\text{H}_2\text{O}/\text{EtOH}/\text{BDD}/\text{EP}/\text{H}_2$ -sisteem met Ru:BDD = 1:10, 80 °C en 500 dpm Ru word in Figuur 5.9 getoon.

Die effek van die Ru:EP-molverhouding is meer prominent by isomerisasie as by metatese. Isomerisasie van 1-okteen neem beduidend toe met 'n toename in ligandinhou. Hierdie verskynsel is dieselfde as wat met PCy_3 as ligand gevind is. Dit duï daarop dat 'n oormaat ligand die dissosiasie van die ligand onderdruk met gepaardgaande verlaging in metatese, maar die isomerisasiekatalisator word gestabiliseer deur die groter oormaat ligand. Met 'n Ru:ligand-molverhouding van 1:10 isomeriseer bykans al die 1-okteen wat nie deur metatese

gereageer het nie. By laer verhoudings is na 22 h nog steeds 'n beduidende hoeveelheid 1-okteen in die reaksiemengsel aanwesig. Die teenwoordigheid van hierdie 1-okteen dui daarop dat voldoende substraat teenwoordig was vir isomerisasie van 1-okteen en die gebrek aan isomerisasie dui daarop dat daar nie voldoende isomerisasiekatalisator teenwoordig was nie. Deur hierdie waarneming in konteks te plaas met die vorige, kan dus voorgestel word dat 'n isomerisasiekatalisator inderdaad in kompetisie met die metatesekatalisator vorm. Hierdie kompleks is egter nie noodwendig die enigste moontlike isomerisasiekatalisator wat kan vorm nie en die anorganiese produkte wat met deaktivering vorm, kan moontlik ook voorlopers wees vir isomerisasiekatalisatore.



Figuur 5.9 Die invloed van die Ru:EP-molverhouding op die isomerisasie van 1-okteen in die teenwoordigheid van die $\text{RuCl}_3 \cdot x\text{H}_2\text{O}/\text{EtOH}/\text{BDD}/\text{EP}/\text{H}_2$ -sisteem ($\text{Ru:BDD} = 1:10$, $[\text{Ru}] = 500 \text{ dpm}$, $T = 80^\circ\text{C}$).
■ 40 min ▲ 80 min ◆ 420 min □ 1400 min

Die vorm van enkele van die isomerisasiekrommes is bepaal deur ekstra punte te bepaal met opeenvolgende eksperimente (Figuur 4.49). Die isomerisasie-aktiewe verbindings bly aktief tot aan die einde van die eksperimentele tyd. Die isomerisasiekromme vir die eksperiment met $\text{Ru:EP} = 1:10$, waar die residuale 1-okteen uitgeput raak, plat af, terwyl die res waar daar steeds beduidende residuale 1-okteen oor is, steeds opwaarts neig. Die een afwyking is by $\text{Ru:EP} = 1:2.5$, waar die kromme afplat met genoeg 1-okteen oor om te isomeriseer.

Die isomerisasie van 1-okteen bereik 'n minimum by 'n Ru:EP-molverhouding van 1:2. Dit is

ook die stoigiometriese verhouding vir die vorming van 'n Grubbs-tipe kompleks, $\text{RuCl}_2(\text{EP})_2(=\text{R})$. Hierdie minimum kan gerasionaliseer word deur die aanname dat die verbinding stabiel is vir ten minste die tydperk totdat al die ligand met 'n metaalkern gekoördineer het. Indien minder as 2 ekwivalente ligand teenwoordig is, sal 'n gedeelte van die ruteniumpotensiaal nie komplekseer nie, en kan 'n isomerisasiekatalisator (waarskynlik RuH) moontlik vorm. Die metatesekatalisator is stabiel genoeg om dieselfde totale omsetting te gee as met 'n voldoende ligandhoeveelheid, maar teen dieselfde tempo as 'n konsentrasie eweredig aan die ligandtekort. Met presies twee ekwivalente ligand vorm die optimum hoeveelheid Grubbs-tipe kompleks. Met meer as twee ekwivalente ligand word dissosiasie van die fosfien vanaf die Grubbs-tipe kompleks sodanig verhinder dat die tempo van metatese afneem. Die relatiewe tempo van deaktivering van die kompleks neem nie tot dieselfde mate af nie, sodat minder metatese plaasvind voordat beduidende deaktivering plaasgevind het, en die totale metatese-opbrengs daal. Die teenwoordigheid van ligand deaktiveer nie die isomerisasiekatalisator nie, en isomerisasie van 1-okteen neem toe as gevolg van die groter konsentrasie 1-okteen beskikbaar wanneer die isomerisasiekatalisator gevorm het.

Die vorming van trideseen is laag, en selektiwiteit van meer as 98% ten opsigte van 7-tetradeseen word bykans deurgaans gehandhaaf. By hoër Ru:ligand-verhoudings daal die selektiwiteit. Die laer selektiwiteit by hoë verhoudings kan aan die laer totale metatese-opbrengs by hierdie verhoudings toegeskryf word, sodat die konstante hoeveelheid trideseen wat gevorm word 'n groter invloed op die selektiwiteit het by kleiner as by groter hoeveelhede 7-tetradeseen gevorm. Die minimum trideseenvorming vind plaas by 'n Ru:EP-molverhouding van 1:2. Dit is ook die verhouding waarby die minste isomerisasie van 1-okteen waargeneem word, en is dus die ideale Ru:EP-molverhouding onder hierdie reaksiekondisies.

By 'n hoër [Ru] en EP as ligand is 'n kleiner effek vir die Ru:EP-molverhouding op metatese gevind (Figuur 4.46). Hierdie kleiner effek kan daaraan toegeskryf word dat die deaktivering as gevolg van die tekort aan ligand vir verhoudings kleiner as 1:2 verskuil word deur die effek van die afplatting van die verband tussen konsentrasie en metatese-opbrengs, wat reeds by 500 dpm Ru waargeneem is. Die effek van die ligandverhouding op die isomerisasie van 1-okteen by 500 dpm Ru toon wel 'n beduidende verskil. Dit kan moontlik die gevolg wees dat die ligandtekort by hierdie konsentrasie aanleiding gee tot die vorming van beduidende hoeveelhede van 'n isomerisasiekatalisator. Die verhoging in ligandinhoud tot 1:2.5 onderdruk die effek deurdat dit lei tot 'n groter vorming van Grubbs-tipe kompleks, maar die negatiewe konsentrasie-effek onderdruk die groter metatese-opbrengs wat deur die groter karbeeninhoud verwag sou word. Die groter mate van isomerisasie van 1-okteen by 500 dpm Ru vir $\text{Ru:EP} = 1:1$, teenoor kleiner waardes by $\text{Ru:EP} = 1:1.5$ en 1:2.5 ondersteun verder hierdie moontlikheid.

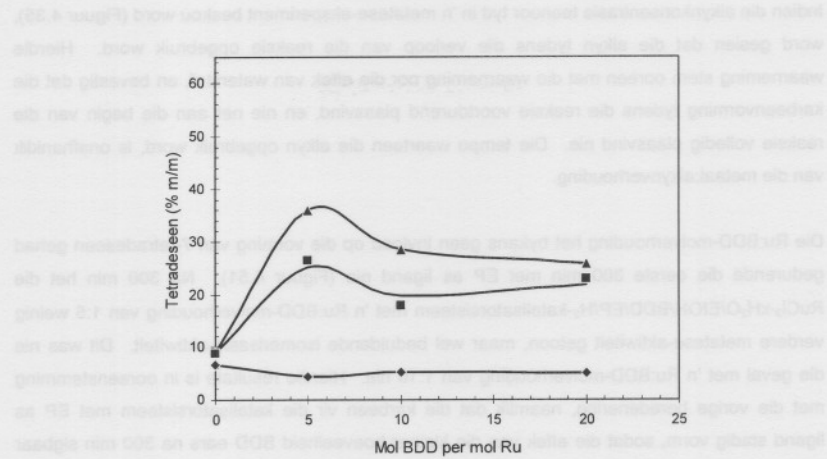
5.2.4 Invloed van Ru:BDD-molverhouding

Die invloed van die Ru:BDD-molverhouding op die vorming van tetradeseen met die $\text{RuCl}_3 \cdot x\text{H}_2\text{O}/\text{EtOH}/\text{BDD}/\text{PCy}_3/\text{H}_2$ -sisteem met $\text{Ru:PCy}_3 = 1:2.5$, 80°C , $[\text{Ru}] = 100 \text{ dpm}$ word in Figuur 5.10 getoon.

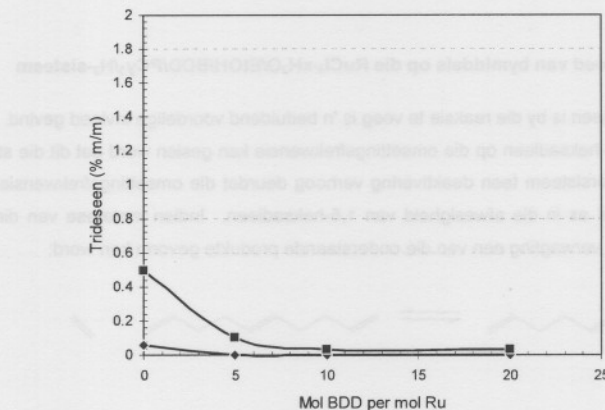
'n Oormaat alkyn is nodig vir die metatesreaksie om optimaal te verloop. Die grootste hoeveelheid 7-tetradeseen word gevorm wanneer die metaal:alkynverhouding 1:5 is. Die groter opbrengs van tetradeseen by hierdie Ru:BDD-verhouding gaan gepaard met 'n groter mate van isomerisasie van 1-okteen wat 'n groter vorming van sekondêre metateseprodukte tot gevolg het. Indien die alkyninhoud verder verhoog word, verlaag die vorming van 7-tetradeseen effens, maar die isomerisasie van 1-okteen neem af. Die optimumwaarde vir die vorming van tetradeseen met 'n hoë selektiwiteit is 1:10.

Die invloed van die Ru:BDD-molverhouding op die vorming van trideseen met die $\text{RuCl}_3 \cdot x\text{H}_2\text{O}/\text{EtOH}/\text{BDD}/\text{PCy}_3/\text{H}_2$ -sisteem met $\text{Ru:PCy}_3 = 1:2.5$, 80°C , $[\text{Ru}] = 100 \text{ dpm}$ word in Figuur 5.11 getoon.

Aangesien hidriedvorming die karbeenvorming voorafgaan,^{6,11-13} en metaalhidriede bekend is as isomerisasiekatalisatore,¹⁰ word voorgestel dat die teenwoordigheid van die oormaat alkyn karbeenvorming sodanig bevoordeel dat die hidried eerder aan karbeenvorming sal deelneem as om isomerisasie te laat plaasvind. Dit vind plaas omdat die karbeenvorming die tempobepalende stap in die reaksieskema is, en gesien in die voordelelike effek wat 'n oormaat alkyn op die sisteem het, die reaksie 'n ewewigsreaksie is. Die teenwoordigheid van die alkyn sal dus die ewewig na die karbeen bevorder. Indien die alkynkonsentrasie egter laag genoeg is, sal karbeenvorming stadiger plaasvind sodat meer hidried teenwoordig is. In hierdie geval sal sekondêre metateseprodukte (trideseen) vorm, aangesien toestande gunstig is vir beide isomerisasie en metatese. Indien die metatesekatalisator deaktiveer, bly slegs die isomerisasiekatalisator oor, en kan isomerisasie voortgaan sonder verdere vorming van sekondêre metateseprodukte. Die effense afname in metatese met 'n verhoging in die Ru:BDD-molverhouding bokant 1:10 kan moontlik toegeskryf word aan 'n groter mate van kompetisie tussen alkeen- en alkynkoördinasie.



Figuur 5.10 Die invloed van die Ru:BDD-molverhouding op die metatese van 1-octeen in die teenwoordigheid van die $\text{RuCl}_3 \cdot \text{xH}_2\text{O}/\text{EtOH}/\text{BDD}/\text{PCy}_3/\text{H}_2$ -sisteem ($\text{Ru:PCy}_3 = 1:2.5$, $[\text{Ru}] = 100 \text{ dpm}$, $T = 80^\circ\text{C}$). (◆ 20 min ■ 90 min ▲ 420 min)



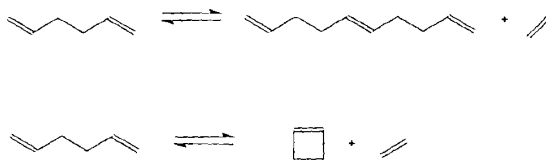
Figuur 5.11 Die invloed van die Ru:BDD-molverhouding op die vorming van trideseen vanaf 1-octeen in die teenwoordigheid van die $\text{RuCl}_3 \cdot \text{xH}_2\text{O}/\text{EtOH}/\text{BDD}/\text{PCy}_3/\text{H}_2$ -sisteem ($\text{Ru:PCy}_3 = 1:2.5$, $[\text{Ru}] = 100 \text{ dpm}$, $T = 80^\circ\text{C}$). (◆ 20 min ■ 420 min)

Indien die alkynkonsentrasie teenoor tyd in 'n metatese-eksperiment beskou word (Figuur 4.35), word gesien dat die alkyn tydens die verloop van die reaksie opgebruik word. Hierdie waarneming stem ooreen met die waarneming oor die effek van waterstof, en bevestig dat die karbeenvorming tydens die reaksie voortdurend plaasvind, en nie net aan die begin van die reaksie volledig plaasvind nie. Die tempo waarteen die alkyn opgebruik word, is onafhanklik van die metaal:alkynverhouding.

Die Ru:BDD-molverhouding het bykans geen invloed op die vorming van 7-tetradeseen gehad gedurende die eerste 300 min met EP as ligand nie (Figuur 4.51). Na 300 min het die $\text{RuCl}_3 \cdot x\text{H}_2\text{O}/\text{EtOH}/\text{BDD}/\text{EP}/\text{H}_2$ -katalisatorsisteem met 'n Ru:BDD-molverhouding van 1:5 weinig verdere metatese-aktiwiteit getoon, maar wel beduidende isomerisasie-aktiwiteit. Dit was nie die geval met 'n Ru:BDD-molverhouding van 1:10 nie. Hierdie resultate is in ooreenstemming met die vorige beredenering, naamlik dat die karbeen vir die katalisatorsisteem met EP as ligand stadig vorm, sodat die effek van die kleiner hoeveelheid BDD eers na 300 min sigbaar word. Dit stem ook ooreen met die omsettelfrekwensies wat dieselfde was vir beide alkynverhoudings gedurende hierdie reaksietyd (Figuur 4.52). Die hoë isomerisasie van 1-oteken met 'n Ru:BDD-verhouding van 1:5 (Figuur 4.53) is die gevolg daarvan dat na 300 min te min alkyn teenwoordig is vir karbeenvorming, en die beskikbaarheid van die Ru-hidried tot isomerisasie lei.

5.2.5 Die invloed van bymiddels op die $\text{RuCl}_3 \cdot x\text{H}_2\text{O}/\text{EtOH}/\text{BDD}/\text{PCy}_3/\text{H}_2$ -sisteem

Deur 1,5-heksadien is by die reaksie te voeg is 'n beduidend voordeelige invloed gevind. Vanuit die effek van 1,5-heksadien op die omsettelfrekwensie kan gesien word dat dit die stabiliteit van die katalisatorsisteem teen deaktivering verhoog deurdat die omsettelfrekwensie langer neem om te daal as in die afwesigheid van 1,5-heksadien. Indien metatese van die dien plaasvind, sal na verwagting een van die onderstaande produkte gevorm kan word:



Die voordeelige effek van 1,5-heksadien kan tans nie verklaar word nie.

In die literatuur word melding gemaak van die bestandheid van die Grubbs- katalisatorsisteem teen oksigenate.^{17,18} Alhoewel die karbeen wat tydens die reaksie vorm analoog is aan die

karbeen verkry vanaf die Grubbs-katalisator,^{6,7} is gevind dat die *in situ*-sisteem nie 'n hoë toleransie het teen alle funksionele groepe nie. Tersiëre butielhidroksieperoksied vergiftig die sisteem sodanig dat dit gebruik is om die reaksie in die GC-monstershouers te termineer voor analise. Net enkele van die oksigenate het metatese totaal onderdruk (etielheksielvinieleter) of tot 'n groot mate onderdruk (bensokinoon, 2-oktenaal) (Figuur 4.54). Bensokinoon kon moontlik 'n rol gespeel het in die reduksie van Ru^{II} na Ru⁰.¹² 'n Donker neerslag is inderdaad in hierdie eksperiment gevind.

Water het slegs 'n matig onderdrukkende effek getoon. Alhoewel die studie nie omvattend genoeg was om alle oksigenate te ondersoek nie, kan hieruit afgelei word dat, by die konsentrasies wat ondersoek is, sommige oksigenate wel 'n beduidende negatiewe effek op metatese uitoefen. Verder kan uit hierdie resultate nie definitiewe tendense afgelei word ten opsigte van watter eienskappe van die oksigenate vir die effek waargeneem verantwoordelik is nie. Die effek van etanol is ook nie ondersoek nie aangesien etanol as oplosmiddel vir RuCl₃·xH₂O gebruik is.

Die oksigenate het die maksimum omsettingsfrekwencies van die onderskeie reaksies verlaag (Figuur 4.55). Die onderdrukkende effek van oksigenate kan moontlik daaraan toegeskryf word dat die oksigenate in kompetisie met die ligand koördineer. Indien die suurstofverbinding sterker as die fosfien koördineer, sal dit eerder as die fosfien koördineer en 'n kompleks vorm met een of twee suurstofligande. So 'n kompleks kan dan minder aktief wees of glad nie aktief wees nie. Die laer isomerisasie van 1-okeen wat verkry word indien oksigenate bygevoeg word, duï daarop dat die oksigenate nie noodwendig karbeenvorming voorkom nie, maar moontlik metatese-onaktiewe carbene vorm. Verder kan verwag word dat swak koördinerende oplosmiddels die 14e⁻-spesie wat gevorm word deur dissosiasie van die ligand sal stabiliseer deur swak aan die metaal te koördineer en tydens metatese deur die alkeen verplaas te word. In so 'n geval kan verwag word dat die koördinerende oplosmiddel die deaktivering van die karbeen sal vertraag met 'n gepaardgaande groter totale metatese-opbrengs. Hierdie eienskap is nie waargeneem nie.

'n Verdere moontlikheid is dat die bymiddels 'n invloed uitoefen op die oplosbaarheid vanveral die ruteniunsout. RuCl₃·xH₂O is goed oplosbaar in water, maar nie in die alkeen nie. Die byvoeging van water sou dus 'n gedeelte van die ruteniun in oplossing in 'n ander vloeistoffase as die alkeen hou, sodat die totale hoeveelheid Ru nie beskikbaar is vir metatese nie. Katalise op die fase-grens val buite die spektrum van hierdie studie. Die effek van oplosbaarheid kan moontlik vir ander oksigenate ook geld. So 'n verklaring is ook geldig vir Van Schalkwyk⁶ se resultate, waar hy getoon het dat 'n klein hoeveelheid water voordeelig is, maar dat die

byvoeging van meer water tot 'n verlaging in die vorming van 7-tetradeseen lei. Ten einde hierdie moontlikhede te evalueer, sou verdere KMR-analises nuttig wees.

5.2.6 Invloed van sure

Die sterk organiese sulfoonsure onderdruk metatese volledig, terwyl trifluoroasynsuur geen invloed op die opbrengs het nie (Figuur 4.56). Asynsuur het bykans dieselfde invloed op die sisteem as soutsuur, ten spye daarvan dat soutsuur 'n baie sterker Brønsted-suur as asynsuur is. Verder toon die verskil tussen asynsuur en trifluoroasynsuur dat suursterkte nie 'n beduidende invloed op metatese-opbrengs het nie, aangesien trifluoroasynsuur 'n sterker suur is as asynsuur as gevolg van die groter elektronentrekkende eienskappe van die fluooratome. Die effek van sure op die vorming van 7-tetradeseen het dus 'n ander oorsaak as suursterkte soos gemeet in terme van protondoneringsvermoë.

Die teenwoordigheid van sekere sterk sure mag dus lei tot onderdrukking van metatese en lei tot oormatige isomerisasie en hidrogenering van die 1-okteen. Die invloed van soutsuur word aan die hand van die KMR-ondersoek verder hieronder bespreek.

5.3 KMR-studie van die $\text{RuCl}_3 \cdot x\text{H}_2\text{O}/\text{EtOH}/\text{BDD}/\text{PCy}_3/\text{H}_2$ -sisteem

5.3.1 Volgorde van byvoeging van reagense

Die volgorde van die byvoeging van reagense is bepaal deur KMR-ondersoeke op reagenskombinasies uit te voer. Hierdie metodiek het die nadeel gehad dat onmiddelike reaksies by kamertemperatuur nie waargeneem kon word nie. Enkele aannames is wel gemaak op grond van die verskille tussen reagensmengsels en die KMR-spektrum wat verky sou kon word deur superponering van spektra van die onderskeie reagense. Die volgende interaksies is met behulp van KMR bepaal:

- Interaksie tussen $\text{RuCl}_3 \cdot x\text{H}_2\text{O}$ en BDD

Geen reaksie is uit die ^1H -KMR-resultate waargeneem met verhitting nie (Spektrum 4.1 en 4.2). Die teenwoordigheid van 'n piek by $\delta = 5$ dpm dui op die moontlike vorming van 'n Ru-hidried.¹¹⁻¹³

- Interaksie tussen $\text{RuCl}_3 \cdot x\text{H}_2\text{O}$ en 1-okteen

Indien $\text{RuCl}_3 \cdot x\text{H}_2\text{O}$ in EtOH by 1-okteen gevoeg en verhit word, word isomerisasie van die 1-okteen gevind (Spektrum 4.4). Hierdie isomerisasie bewys dat 'n gedeakteiveerde

metatesekatalisator⁹ nie die enigste moontlike isomerisasiekatalisator vorm nie. Isomerisasie met 'n katalisator gevorm direk vanuit $\text{RuCl}_3 \cdot x\text{H}_2\text{O}$ is dus een moontlike newereaksie wat in die afwesigheid van voldoende alkyn kan plaasvind.

- Interaksie tussen $\text{RuCl}_3 \cdot x\text{H}_2\text{O}$ en PCy_3

Indien $\text{RuCl}_3 \cdot x\text{H}_2\text{O}$ by PCy_3 gevoeg en verhit word, is reaksies in die ^{31}P -KMR-spektrum sigbaar (Spektrum 4.7 en 4.8). Dit stem ooreen met die voorgestelde meganisme dat die fosfienligande sal koördineer. 'n Hidriedpiek is nie soos verwag in die ^1H -KMR-spektrum sigbaar nie. Die afwesigheid van 'n hidriedpiek bewys egter nie die afwesigheid van 'n hidried nie. Die koördinasie van die fosfien vind reeds by kamertemperatuur plaas en geen vry fosfien is by kamertemperatuur sigbaar nie. Die piek wat by δ 27.60 dpm gevorm word by 80 °C in die ^{31}P -KMR-spektrum, kan moontlik 'n uitruiling tussen vry fosfien (tipies δ 12.5 dpm) en gekoördineerde fosfien (tipies δ 36 dpm) verteenwoordig, veral aangesien dit 'n breë piek is.

- Interaksie tussen $\text{RuCl}_3 \cdot x\text{H}_2\text{O}$, PCy_3 en BDD

Indien $\text{RuCl}_3 \cdot x\text{H}_2\text{O}$ by PCy_3 en BDD gevoeg word, verander verhitting die relatiewe grootte van die pieke vir gekoördineerde fosfien (kleiner) en die groep pieke by ongeveer δ 34 dpm (groter) (Spektrum 4.11 en 4.12). Die fosfien neem dus verder aan die reaksie deel. Hierdie resultaat kom ooreen met die meganisme, naamlik dat die een Ru-kompleks verder reageer om 'n volgende kompleks (moontlik die karbeen) te vorm. Die afwesigheid van verskille in die ^1H -KMR-spektra met BDD voor en na verhitting, duï daarop dat die stadige stap in die meganisme die vorming van 'n metallasiklobuteen is, en dat die daaropvolgende stappe tot karbeenvorming vinnig is. Dit verklaar ook waarom dit moontlik is om die $\text{RuHCl}(\text{H}_2)\text{L}_2$ te isolateer,¹¹⁻¹³ maar nie die daaropvolgende produkte nie. Die reaksie tussen die alleen en die ander twee reagense vind egter nie by kamertemperatuur plaas nie, derhalwe behoort dit nie die byvoegingsvolgorde te beïnvloed nie. Dit behoort wel 'n rol te speel indien die reaksiemengsel verhit sou word voordat al die reaksiekomponente bymekaar gevoeg is.

- Interaksie tussen $\text{RuCl}_3 \cdot x\text{H}_2\text{O}$ -oplossing, BDD, PCy_3 en 1-okteen

Wanneer 'n $\text{RuCl}_3 \cdot x\text{H}_2\text{O}$ -oplossing by 'n reaksiemengsel bestaande uit BDD, PCy_3 en 1-okteen gevoeg word, verdwyn die piek vir die gekoördineerde fosfien (Spektrum 4.15 en 4.16) in die ^{31}P -KMR. Hierdie verskynsel is ook in die KMR-spektruma van die reaksieverloop gesien. 'n Moontlike verklaring hiervoor is dat die fosfien aan 'n uitruilreaksie deelneem, of dat 'n paramagnetiese tussenproduk vorm. Hierdie reaksie vind reeds by kamertempera-

tuur plaas, en kan dui op die belangrikheid van die byvoegingsvolgorde. Die piek by δ 35.68 is vanaf die karbeen afkomstig. Aangesien die piek eers na verhitting in die spektrum voorkom, dui dit daarop dat die karbeen eers na verhitting vorm, alhoewel die ligand reeds by kamertemperatuur met Ru koördineer.

- Interaksie tussen $\text{RuCl}_3 \cdot x\text{H}_2\text{O}$, PCy_3 en H_2

Die ^1H -KMR-spektrum toon geen verskil voor en na verhitting nie, en ook geen duidelike aanduiding van reaksie nie (Spektrum 4.17 en 4.18). Die ^{31}P -KMR-spektra toon wel verandering na verhitting (Spektrum 4.19 en 4.20). Dit dui daarop dat daar wel verskillende produkte vorm met verhitting. Die breë piek wat voor verhitting vorm, toon 'n resonans tipies in die gebied waar die karbeen voorkom, maar is breër as wat van die karbeenpiek verwag sou word. Die teenwoordigheid van waterstof het geen verskil aan die interaksie tussen RuCl_3 en PCy_3 gemaak nie. Daar is dus wel interaksie tussen RuCl_3 en PCy_3 by kamertemperatuur. Hierdie interaksie is een van die redes waarom die byvoegingsvolgorde belangrik is, aangesien die KMR-spektra toon dat veelvuldige produkte vorm, wat nie noodwending met 'n volgende stap almal aan karbeenvorming sal deelneem nie.

- Interaksie van $\text{RuCl}_3 \cdot x\text{H}_2\text{O}$ met 'n mengsel van BDD en PCy_3 en H_2 .

Daar is sigbare interaksie sigbaar vanuit beide die ^1H -KMR en ^{31}P -KMR (Spektrum 4.21 tot 4.24), en die relatiewe integrale van die BDD-pieke in die ^1H -KMR spektra dui daarop dat BDD reageer onder hierdie kondisies. Volgens die meganisme sal die teenwoordigheid van BDD 'n rol speel in karbeenvorming. Die ^{31}P -KMR-spektra is in ooreenstemming met hierdie meganisme, en 'n mate van karbeenvorming vind plaas in die afwesigheid van die alleen selfs by kamertemperatuur.

- Interaksie tussen BDD en 1,5-heksadieen, asook tussen BDD en PCy_3

Die KMR-analises gee geen verklaring vir die voordele effek van 1,5-heksadieen nie (Spektrum 4.25 en 4.26). Daar is ook geen reaksie tussen BDD en PCy_3 in die afwesigheid van Ru nie (Spektrum 4.27 tot 4.30).

- Interaksie van 'n mengsel van $\text{RuCl}_3 \cdot x\text{H}_2\text{O}$ en PCy_3 met BDD

Die vergelyking van interaksie tussen $\text{RuCl}_3 \cdot x\text{H}_2\text{O}$ en PCy_3 met en sonder BDD teenwoordig (Spektrum 4.5 tot 4.12) toon verskille in die ^{31}P -KMR-spektrum, sowel by kamertemperatuur as by 80 °C, wat daarop dui dat die teenwoordigheid van BDD aanleiding gee tot die vorming van ander produkte as wat gevorm word in die afwesigheid van BDD. Volgens die voorgestelde meganisme speel BDD 'n rol tydens karbeenvorming.

Daar is dus reeds interaksie tussen BDD en die produk gevorm vanuit die interaksie tussen

RuCl₃·xH₂O en PCy₃. Volgens die voorgestelde meganisme sal die BDD dus reeds aan die Ru-hidriedkompleks koördineer by kamertemperatuur, maar die metallasiklobuteen vorm eers met verhitting.

- Interaksie van 'n mengsel van RuCl₃·xH₂O en PCy₃ met H₂

Die vergelyking van die interaksie tussen 'n mengsel van RuCl₃·xH₂O en PCy₃ met en sonder H₂ (Spektrum 4.5 tot 4.8, asook Spektrum 4.17 tot 4.20) toon dat die H₂ geen interaksie met die ander twee reagense het nie. Hierdie resultaat is onverwags aangesien die ander resultate toon dat die waterstof vir die vorming van die Ru-hidried van die H₂ afkomstig is. Die afwesigheid van 'n hidriedpiek in die KMR-spektrum bewys egter nie die afwesigheid 'n hidried nie, derhalwe kan hierdie resultaat nie die voorgestelde meganisme^{6,7} as ongeldig bewys nie.

- Interaksie van 'n mengsel van RuCl₃·xH₂O, BDD en PCy₃ met H₂

Die teenwoordigheid van H₂ in 'n mengsel van RuCl₃·xH₂O, BDD en PCy₃ by 80 °C (Spektrum 4.9 tot 4.12, asook Spektrum 4.21 tot 4.24) toon karbeenvorming, selfs in die afwesigheid van die alkeen. Hierdie resultaat is weer in ooreenstemming met die voorgestelde meganisme.^{6,7} Dit toon dus dat die alkyn (BDD) nodig vir karbeenvorming in die afwesigheid van substraat is.

- Interaksie van 'n mengsel van RuCl₃·xH₂O, BDD en PCy₃ met 1-okaneen

Die vergelyking van die reaksie van RuCl₃·xH₂O, BDD en PCy₃ in die teenwoordigheid of afwesigheid van 1-okaneen (Spektrum 4.9 tot 4.12, asook Spektrum 4.13 tot 4.16) dui daarop dat, alhoewel die karbeen kan vorm in afwesigheid van die alkeen, die teenwoordigheid van die alkeen bydra tot makliker karbeenvorming. Dit is moontlik volgens die meganisme,^{6,7} aangesien die alkeen ook 'n karbeen kan vorm. Die oormaat alkeen het dus die uitwerking dat dit volgens Le Chatelier se beginsel 'n dryfkrag vir die reaksie kan verskaf.

5.3.2 Die invloed van sure

HCl reageer met beide PCy₃ en OPCy₃ om geprotoneerde ligande te vorm (Spektrum 4.31 tot 4.37). Die geprotoneerde ligande vorm steeds 'n metatese-aktiewe katalisator, alhoewel dit die sisteem minder aktief maak in terme van 7-tetradeseenvorming. Ander sure soos sulfoonsure

het 'n sterk deaktiverende invloed, en 4-tolueensulfoonsuur en metaansulfoonsuur skep gunstige kondisies vir hidrogenering van die dubbelbinding (Figuur 4.56 tot 4.60). Die mekanisme vir hidrogenering is nie ondersoek nie.

5.3.3 Die reaksieverloop

Vanuit die eksperiment met die hoér fosfienkonsentrasie ($\text{Ru:PCy}_3:\text{BDD} = 1:5:10$), kan die volgende afleidings gemaak word (Spektrum 4.39): Die reaksie tussen die vry fosfien en die Ru begin reeds by kamertemperatuur plaasvind, aangesien die vorm van die fosfienpiek verander. Hierdie waarneming stem ooreen met dié gekry toe die interaksies van die onderskeie komponente ondersoek is. Die breedte van die piek dui op 'n vinnige uitruiling. Dit verklaar waarom die piek nie by die eksperiment met 'n laer fosfienkonsentrasie sigbaar is nie. Die konsentrasie is so klein en die uitruiling so vinnig dat die piek in die basislyngeraas wegraak. Met die eerste eksperiment (Spektrum 4.38) is die karbeenpiek slegs in die derde spektrum sigbaar wanneer die karbeenkonsentrasie 'n maksimum bereik. Die intervalle is te groot om te bepaal wanneer die karbeenpiek 'n maksimum bereik het.

Die verandering in grootte van die karbeenpieke toon duidelik dat die karbeen nie stabiel is onder die reaksiekondisies nie. Die verdwyning van die karbeen toon duidelik dat die gemete metatese-opbrengste die gevolg is van die stabilitet van die karbeen, en nie van ewewigsfaktore nie. Aangesien dit egter reeds aangetoon is dat die karbeenvorming die tempobepalende stap is, kan die leeftyd van die karbeen nie vanuit hierdie resultate bereken word nie.

Die pieke wat sigbaar word by die laaste twee spektra is waarskynlik die vorming van nuwe spesies, wat toegeskryf kan word aan die vorming van verskeie deaktiveringsprodukte. Alhoewel geen afleidings gemaak kan word vanuit die aantal nuwe pieke nie, ondersteun dit wel die moontlikheid dat verskeie deaktiveringsmeganismes in die sisteem moontlik is.

Die ^1H -KMR-spektrum van 'n reaksie (Spektrum 4.40) toon die vorming van 'n interne alkeen. Hierdie interne alkeen is waarskynlik die metateseproduk, 7-tetradeen, aangesien vergelykende eksperimente toon dat in dieselfde reaksietyd min isomerisasie van 1-okteen plaasvind. Aangesien die konsentrasie van die karbeen baie kleiner is as die konsentrasie van die alkeen, word die karbeen nie in die spektra waargeneem nie. Die ^1H -KMR-spektrum toon ook nie die vorming van 'n deaktiveringsprodukt nie.

5.4 Metatese van 'n Fischer-Tropsch C7-alkeensnit

Die metatese met die Fischer-Tropsch C7-alkeensnit het resultate gelewer wat beduidend verskil het van resultate wat met die 1-okteen verkry is. Enkele eksperimente is uitgevoer met 'n gesuiwerde 1-okteen afkomstig vanaf 'n Fischer-Tropsch-bron, en hierdie eksperimente het ook resultate gelewer wat verskil het met resultate verkry met die Aldrich 1-okteen. Die verskil in resultate word derhalwe toeskryf aan onsuiwerhede in die Fischer-Tropsch C7-alkeensnit en nie aan die enkele koolstof minder in die alkeenkettinglengte nie. Die verskille was sigbaar in die swakker omsettings en laer omsettingsfrekwencies.

5.4.1 Die invloed van die Ru:PCy₃-molverhouding

Die invloed van die Ru:PCy₃-molverhouding op die vorming van dodeseen met die RuCl₃·xH₂O/EtOH/BDD/PCy₃/H₂-sisteem met Ru:BDD = 1:10, 80 °C, [Ru] = 100 dpm word in Figuur 5.12 getoon.

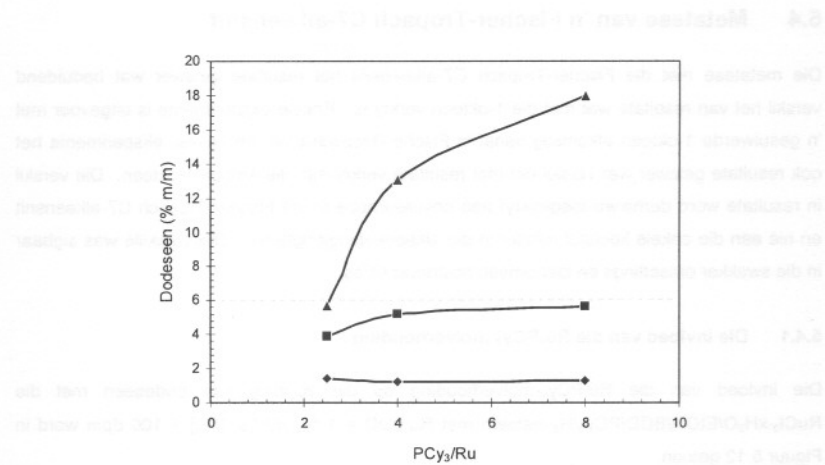
Met die Fischer-Tropsch C7-alkeensnit het 'n toename in Ru:ligand-molverhouding van 1:2.5 tot 1:8 tot 'n groter hoeveelheid gevormde 6-dodeseen geleei. Die toename in die hoeveelheid 6-dodeseen gevorm per hoeveelheid ekstra ligand bygevoeg, het kleiner geword indien die verhouding Ru:EP tot meer as 1:4 verhoog is. Hierdie waargenome afplatting in die Ru:EP-verband was minder as wat met 1-okteen waargeneem is.

Die hoeveelheid 6-dodeseen wat gevorm het, was baie laag by beide temperature met PCy₃ as ligand en 'n Ru:PCy₃-molverhouding van 1:2.5. Uit hierdie resultate is dit egter nie moontlik om te bepaal of karbeenvorming onderdruk word en of die karbeen vinniger deaktivéer nie. Indien karbeenvorming onderdruk word, sal die positiewe effek van 'n groter hoeveelheid ligand op die omsettingfrekwensie daarop dui dat onsuiwerhede in kompetisie met die ligand met die Ru koördineer. Indien die karbeen vinniger deaktivéer, dui die effek van die groter ligandinhoud op die onderdrukking van liganddissoosiasie, met 'n gepaardgaande groter katalisatorstabiliteit.

Die invloed van [Ru] op die vorming van dodeseen met die RuCl₃·xH₂O/EtOH/BDD/PCy₃/H₂-sisteem met Ru:PCy₃:BDD = 1:2.5:10, 80 °C word in Figuur 5.13 getoon.

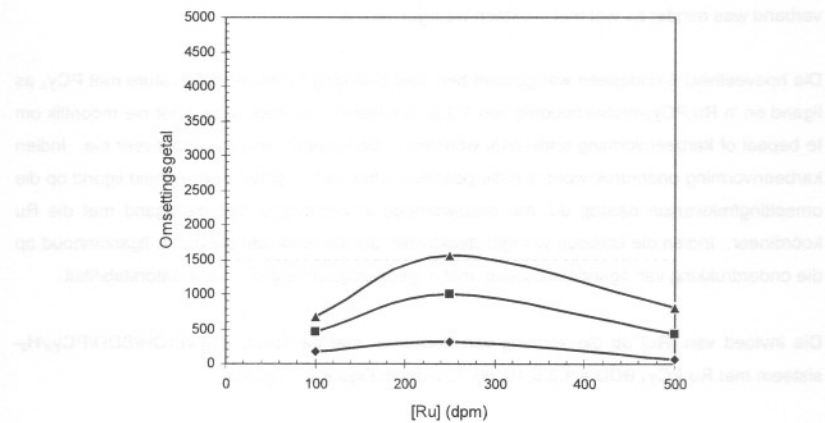
Die afname in 6-dodeseen by die hoogste konsentrasie kan nie vanuit hierdie resultate verklaar word nie.

Die reaksie met EP as ligand dui daarop dat die katalisatorsisteem met EP as ligand meer bestand is teen onsuiwerhede as die katalisatorsisteem met PCy₃ as ligand. Alhoewel die



Figuur 5.12 Die invloed van die Ru:PCy₃-molverhouding op die vorming van dodecane vanaf 1-okteen in die teenwoordigheid van die RuCl₃·xH₂O/EtOH/BDD/PCy₃/H₂-sisteem (Ru:BDD = 1:10, [Ru] = 100 dpm, T = 80 °C).

(◆ 20 min ■ 80 min ▲ 420 min)



Figuur 5.13 Die invloed van die [Ru] op die vorming van dodecane vanaf 1-okteen in die teenwoordigheid van die RuCl₃·xH₂O/EtOH/BDD/PCy₃/H₂-sisteem (Ru:PCy₃:BDD = 1:2.5:10, [T = 80 °C]).

(◆ 20 min ■ 80 min ▲ 420 min)

reaksie met 'n Ru:EP-molverhouding van 1:1.5 en 500 dpm Ru nie soveel 6-dodeseen gevorm

het as wat verwag sou word vanuit resultate met 1-okteen nie, duï dit daarop dat EP 'n beter ligand vir metatese in 'n nywerheidsomgewing is, veral waar daar van Fischer-Tropsch-alkeesnitte gebruik gemaak word. 'n Meer volledige analise van die Fischer-Tropsch alkene is egter nodig om te bepaal presies teen watter onsuiwerhede die katalisatorsisteem met EP meer bestand is as die katalisatorsisteem met PCy_3 as ligand.

5.5 Opsomming

1. Die karbeen vorm deurlopend tydens die reaksieverloop, en karbeenvorming is stadiger met EP as ligand as met PCy_3 as ligand.
2. Die reaksiestap waarin die alkyn koördineer en die karbeen vorm, is tempobepalend. Die koördinering van die ligand vind vinnig plaas, en min (geen) vry ligand is in die reaksiemengsel sigbaar indien die metaal teenwoordig is nie. Die vorming van 'n metallasiklobuteen is waarskynlik die stadigste stap in die totale proses vanaf hidriedvorming tot by metatese.
3. Die teenwoordigheid van die alkyn dryf die ewewig van die reaksie in die rigting van koördinasie van die alkyn, met gepaardgaande karbeenvorming. 'n Oormaat alkyn lewer optimale metatese en verminder isomerisasie.
4. Die proton vir die vorming van die hidried wat karbeenvorming voorafgaan, is hoofsaaklik vanaf die toegevoegde H_2 afkomstig.
5. Die katalisatorsisteme met sowel EP as PCy_3 as ligand deaktiveer onder metatesereaksiekondisies. Die sisteem met EP as ligand deaktiveer vinniger as die sisteem met PCy_3 as ligand.
6. Isomerisasie, wat eers tot 'n beduidende mate plaasvind nadat metatese opgehou het, vind hoofsaaklik plaas met 'n hidriedmeganisme, met 'n isomerisasiekatalisator afkomstig vanaf gedeakteerde metatesekatalisator ook teenwoordig. Die selektiwiteit is dus hoog omdat metatese nie meer plaasvind wanneer beduidende hoeveelhede interne alkene teenwoordig is nie.
7. Met EP as ligand vind metatese by voorkeur tussen terminale alkene plaas.
8. Die katalisatorsisteem is meer stabiel by temperature < 70°C, maar ook minder aktief. Die optimumtemperatuur is ligandafhanklik.
9. Die invloed van en bestaan van 'n optimum ligandinhou in die katalisatorsisteem is in ooreenstemming met 'n dissosiatiewe metatesemeganisme.
10. Sommige oksigenate deaktiveer die sisteem, terwyl ander dit nie doen nie.
11. Die optimum alkyne is kortketting terminale alkyne (1-hekseen) en BDD, 'n simmetriese, interne alkyn met twee goeie verlatende groepe.
12. Sure kan met die PCy_3 -ligand reageer om geprotoneerde ligande te vorm. Suurbryooging

kan metatese beduidend inhibeer. Die resultate in hierdie studie verkry, stem goed ooreen met die mekanisme vir karbeenvorming en metatese soos gepubliseer en opgesom in Hoofstuk 2.

5.6 Literatuurverwysings

- KG Caulton, *J. Organomet. Chem.*, 2001, 617-618, 56
- PO Nubel, CL Hunt, *J. Mol. Catal. A: Chem.*, 1999, 145, 323
- D Amoroso, GPA Yap, DE Fogg, *Organometallics*, 2002, 21, 3335
- PO Nubel, CL Hunt, DS Choi, TJ Marks, *VSA patent* 6,159,890, 2000
- D Bourgeois, A Pancrazi, SP Nolan, J Prunet, *J. Organomet. Chem.*, 2002, 643-644, 247
- C van Schalkwyk, *Die katalytiese sintese van lineêre alkene via 'n metatesereaksie*, PhD proefskrif, PU vir CHO, 2001, pp 112.
- C van Schalkwyk, HCM Vosloo, JM Botha, *J. Mol. Catal. A: Chem.*, 2002, 190, 185
- D Amoroso, GPA Yap, DE Fogg, *Can. J. Chem.*, 2002, 79, 958
- MB Dinger, JC Mol, *Organometallics*, 2003, 22, 1089
- TS Weskamp, WC Schattenmann, M Spiegler, WA Herrmann, *J. Mol. Catal. A: Chem.*, 2002, 180, 67; *Angew. Chem. Int. Ed.*, 1998, 37, 2490
- E. Montorsi, *Pitt. Vernici Eur.*, 1992, 68, 29
- J McMurray, *Organic Chemistry*, Brooks Cole, USA, Fifth Edition, 1999, 687

OPSOMMING

In hierdie studie is die gedrag van 'n *in situ*-bereide $\text{RuCl}_3 \cdot x\text{H}_2\text{O}$ -katalisatorsisteem ondersoek. Tydens reaksies met die katalisatorsisteem word die metatese-aktiewe karbeen *in situ* gevorm deur die reaksie van $\text{RuCl}_3 \cdot x\text{H}_2\text{O}$ opgelos in EtOH, tesame met 'n alkyn, ligand en 'n lineêre alkeen in die teenwoordigheid van 'n klein H_2 -vloei. Die invloed van verskillende reagense op die sisteem is ondersoek aan die hand van metatesereaksies asook KMR-ondersoekte.

Enkele bymiddels wat 'n invloed op die metatesekatalisatorsisteem het, is geïdentifiseer en die aard van die invloed is vasgestel.

Die gepubliseerde meganisme vir die katalisatorsisteem is deur hierdie resultate ondersteun, en enkele bykomende faktore is geïdentifiseer. Die meganisme verloop volgens 'n hidried-na-karbeenmeganisme, en die tempobepalende stap is die vorming van 'n metallasiklobuteen waaruit die metatese-aktiewe Ru-karbeen vorm.

Die karbeen vorm vanuit die $\text{RuCl}_3 \cdot x\text{H}_2\text{O}$, tesame met 'n reduserende olosmiddel (EtOH), 'n ligand, alkyn en 'n lineêre alkeen. Die meganisme waarvolgens die olosmiddel die Ru^{III} na Ru^{II} reduseer is nie ondersoek nie. Die optimum alkyn is 'n kortketting, terminale alkyn sonder funksionele groepe. BDD as alkyn is egter bevestig as 'n goeie alkyn vir die reaksie, alhoewel 1-heksyn aanleiding gegee het tot meer metatese.

Die metatesereaksie is gevoelig vir die byvoegingsvolgorde van die reagense. Met KMR-studies is bepaal dat die fosfienligand vinnig by kamertemperatuur aan die Ru-kern koördineer. Die daaropvolgende reaksie met die alkyn om die karbeen te vorm vind eers by temperature groter as 50 °C plaas. Indien die byvoegingsvolgorde nie gevolg word nie, vind newereaksies plaas wat karbeenvorming belemmer.

'n Reaksie met P^tBu_3 het getoon dat die steriese effek van die fosfienligand belangrik is, aangesien dit tot beduidend minder metatese aanleiding gegee het as die steriese groter P^tPr_3 . Benewens die bekende trialkielfosfiene is 'n bisikliese fosfienligand (EP) gevind wat tot metatese-aktiwiteit aanleiding gee. Deur hierdie ligand met PCy_3 te vergelyk, is gevind dat die bisikliese ligand tot stadiger karbeenvorming aanleiding gee, maar ook tot vinniger deaktivering. Die totale hoeveelheid metatese vir die twee ligande was in dieselfde orde. Die optimum

Ru:ligandverhouding het verskil vir die twee ligande, en met EP was die optimum hoeveelheid ligand minder as met PCy₃.

Die verloop van die metatesereaksie is met KMR gevolg. Die KMR resultate tesame met resultate van eksperimente waartydens die tydperk van H₂-vloeい gevarieer is, het getoon dat die karbeen tydens die reaksie vorm, maar ook weer deaktivéer. Die presiese aard van die deaktivéering kon nie vanuit hierdie resultate bepaal word nie. Die invloed van soutsuurbyvoeging is ook met KMR-analises bepaal. Indien suur by die fosfienoplossing gevoeg word, protoneer beide die fosfien en die fosfienoksied. Metatesereaksies met ander suur toon verder dat suur wel die reaksie beïnvloed, maar dat die Brønstedsuursterkte nie die enigste faktor is wat die reaksie beïnvloed nie. Die byvoeging van sommige suur lei tot 'n verhoging in isomerisasie van 1-okteen, in ooreenstemming met 'n hidriedmeganisme vir isomerisasie. Byvoeging van sterk sulfoonsure kan verder lei tot hidrogenering van die alkeen.

Die gebruik van gechlorineerde oplosmiddels vir die alkyn en ligand, veral chloorbenseen en chloroform, het 'n positiewe invloed op die metatesereaksies gehad. Die beste resultate is met EtOH as oplosmiddel vir RuCl₃·xH₂O gevind. Geen veroudering van die voorraadoplossings is gevind nie.

Die *in situ*-katalisatorsisteem het bestandheid teen enkele oksigenate getoon, maar ander oksigenate het die katalise verminder. Hierdie resultate het getoon dat die teenwoordigheid van 'n O-atoom nie die hooffaktor is vir deaktivéering nie, en verdere studies in hierdie verband is nodig.

Metatese van 'n Fischer-Tropsch C₇ alkeensnit het minder 6-dodeseen gevorm as wat vanuit resultate met 1-okteen verwag sou word. Die reaksie het nie alleen minder produk gevorm nie, maar het ook baie stadiger plaasgevind. Indien EP as ligand in die katalisatorsisteem gebruik is, het beduidend meer metatese plaasgevind as wanneer PCy₃ as ligand gebruik is. Die metatese was egter steeds minder as wat met 1-okteen verkry is.

electrolyte

allowed to react

SUMMARY

The *in situ* ruthenium(III) chloride catalyst system for alkene metathesis in an industrial environment

In this study, the behaviour of an *in situ*-prepared RuCl₃·xH₂O catalytic system, where the active catalyst is generated using RuCl₃·xH₂O in EtOH, together with an alkyne, a ligand and an alkene substrate in the presence of a small H₂ sparge, was investigated. The influence of different reagents on the catalytic system was investigated by looking at metathesis of linear alkenes and NMR studies.

A few additives that have an influence on the metathesis catalyst system were identified and the effects of these additives determined.

The published mechanism of the catalyst system was verified by the results reported here, and some additional findings about the reaction rate were found. The reaction occurs *via* a hydride-to-carbene mechanism. It was found that the formation of the hydride is a fast reaction, and the subsequent formation of the carbene is the rate-determining step. The carbene is the metathesis active species.

The carbene is formed by the reaction of RuCl₃·xH₂O dissolved in a reducing solvent (EtOH), in the presence of an alkyne, a ligand and a linear alkene. The reaction with which the EtOH reduces Ru^{III} to Ru^{II} was not investigated. It was found that the best alkyne is a short-chain, terminal, unfunctionalised alkyne (1-hexyne). BDD was also confirmed to be a good alkyne for the reaction, although 1-hexyne afforded the highest metathesis of the alkynes investigated.

The metathesis reaction is sensitive to the order of addition of the reagents. NMR studies showed that the phosphine ligand coordinates at room temperature to the Ru core, while the formation of the carbene only took place after heating of the reaction mixture to at least 50 °C. If the order of addition of the reagents is changed, side reactions take place that inhibits the formation of the carbene.

A reaction with P^tBu₃ as ligand showed that the steric bulk of the ligand is important, since it afforded considerably less metathesis than the more bulky P^tPr₃. In addition to

trialkylphosphines, a bicyclic phosphine ligand (EP) was found that afforded metathesis activity in the same order than PCy₃. By comparing this ligand with PCy₃, it was found that the bicyclic ligand afforded slower carbene formation and faster deactivation. The overall metathesis yield was still comparable. The optimum Ru:ligand ratio was different for the two ligands, with EP reaching an optimum ratio of 1:1.5, compared to the optimum of 1:4 for PCy₃.

The metathesis reaction was followed using NMR. This, together with results found when the time of H₂ sparge was varied, showed that the carbene forms continuously during the reaction, but also deactivates continuously. The exact nature of the deactivation process was not determined during this study. The influence of the addition of hydrochloric acid to the reaction was also determined using NMR techniques. It was found that HCl protonates the phosphine as well as the phosphine oxide. Metathesis with other acids showed that acids have an effect on the metathesis reaction. The addition of strong sulphonnic acids suppressed metathesis while promoting isomerisation and, in some cases, hydrogenation. The similar results from metathesis reactions with the addition of acetic acid and trifluoro acetic acid showed that the Brønsted acid strength is not the only factor that influences the reaction. The increased isomerisation using acid addition supports a hydride isomerisation mechanism.

The use of chlorinated solvents, especially chloroform and chlorobenzene, for the ligand and alkyne increased metathesis. The best metathesis conversions were found using EtOH as solvent for the RuCl₃·xH₂O. No adverse effect due to ageing of the stock solutions was found, even after 3 months.

The *in situ* catalyst system showed resistance to some oxygenates, but not to all of them. This shows that the presence of an O-atom is not sufficient for catalyst deactivation. Further studies in this field will be beneficial.

Metathesis of an industrial C₇ alkene cut afforded less 6-dodecene than expected from results obtained using 1-octene. The turnover frequencies were lower using the industrially derived cut than using 1-octene. The reactions using EP as ligand afforded significantly higher yields of 6-dodecene than reactions using PCy₃ as ligand, but still less than the yields afforded by reactions using 1-octene.

BEDANKINGS

1. Sasol Technology Research and Development wat die studie moontlik gemaak het, en vir toestemming om die resultate te publiseer.
2. Mev Megan Kirk vir die KMR analises uitgevoer te Sasol Technology en hulp met die oordra van die spektra.
3. Mnr André Joubert by PU vir CHO vir die hulp met die KMR analises by PU vir CHO.
4. Dr Cathy Dwyer vir hulp en ondersteuning met die uitvoer en interpreteer van resultate.
5. Prof Manie Vosloo vir hulp en ondersteuning.
6. Dr Charl van Schalkwyk vir praktiese wenke met die uitvoer van eksperimente.
7. Die Homogene Katalise navorsingsgroep te Sasol Technology vir ondersteuning en geduld met die tyd gespandeer aan die navorsing.
8. Dr Thys Botha wat die projek geïnisieer het.
9. Elsie, Rudi en Riana wat menige aand en naweek sonder eggenoot en pa moes klaarkom.
10. God Drieënig van Wie ek al my vermoëns gekry het.

